稱員冗多構架府政駁反司政布 工勞量大需展發場機口港然雖

近年

● 每呎租 \$ 26起 平過中區一半 歡迎駕臨該廈一字樓管理員引着 電話:8544956 華英昌有限公司 電話:5456208

皇后大道中158-164號華英昌中區大廈十二樓

CANADA A class by itself. Montreal Westmount Le Chategu Westmount Square. A unique masterpiece in condominium living. Sale or rental. Tel. 514-937-6313 Fax 514-937-6285 CALIF. USA BURHANK

CANADA 4400ft sandy shoreline on large lake only 15 miles from Sudbury Parcel is approx 200acres could be split in 3 or subdivided. For details call or write: Gord Peterson, Sales Assoc. Re/Max Sudbury Ing. Realtor, 293 Larch St.

(B四M ( 09 ) 366-6280 ·東 門 347927

中頃种旬乍約37號(鹽花街10號)腐實商業大厦1803-5堂

出場があったのは様とは服務を果りて単

**論電:8932307治。** 



(3935859 - 3937474 - 3937977 - 3957376)

全套設備連翻紗車 可即時生產各類色 紗毎日壹萬磅

廠房和售另議) 請電 7904633 唐先生治

Angalo Trimarchi, 4175 St. Catherine W. Sto. 1702, Westmount, Quebec, Canada H3Z3C9

By Gwner Homey Neighborhood 3Br - 2Ba 1.5 lots, formal din em' wifn doors to patio. 2305 N. Orchid Call collect 206/385-1599 Owner will consider carrying and mortgage \$325,000

Sudbury, Ontario, Canada P3B1M2 705/671-2222 Fax:705/671-2678

已於本年五月入日(星期二)離職 ,此後丘君在外一切華洋響轉事項外 **航與本集團公司無關,特此聲明。** 

島遨遊及海外釣魚皆宜港海及離島銀

每人每天只費 300 元 誠員工幅利之最佳選擇

商子紗缸平沽

意

項

支管

展

國貨公司均萬任君選擇

司

SUEN YUE COMPANY, LIMITED 59, Bartharn Strand, West, HONGKONG. Telephone Nos. 5-459007 • 5-431038 • 5-410095 • 410681 • 5-442435

USA

洽租處:

Horse & cattle tarm 4 miles south of historic Virginia rown. Ita ocres. Just 20 min tr Lake Gaston & the North Carolina line. Four-both, 3600 S F, I story house, swimming pool in park-like setting. Two other excellent houses & form cottage. Elegant 38 stoll horse born. 4200 if trainings on Meherrin River. \$595,000 with owner financing. I can should consequent. supply management, statting & stock-ing Broker's cooperation invited Dave Commo, POB 145, Butner, NC 27509, (9)9)575-4993 or (9)9)575-4646; Free brochurt & foots shipt on raquest.

AINT MARY HE SENCE TO THE 女營業員

一五天工作 一智升機會佳 一海外旅遊獎勵 請職8388811

一中四程度 一動會上進 一新優佣摩

》期可乘載70至75人

**香港總代理: 【**营

歡迎公司或圖憶預訂

####·捷昇有限公司

形奪 班選軍五連冠心願志奪 亞選里半數金牌

最佳的

臣 大藥廠費 贈獎 品 禮 居住之兒童,年齡滿三歲

新

國健児狀態極性

大局仍然是穩定的。「八老」健在一天 <u>-</u> +

屈兒 比 日六十月四年午庚曆夏

美國大幅度

嚴黃 個有農克 放親臨執締 在香港殯儀 成

感哀此鳴 惠赐厚賻 高誼隆情歿存均 之喪於昨(九)日

騰向向伯 嫻平光鏗

勞玉桐

婿

培恆 知華俸

美國反對世界銀行 融資

中國大陸 希望早日 五周年紀念軍事巡遊中,蘇聯軍隊整實操紀念原招商局船員起 道書話的。

世界大戰前的廣形章。 世界大戰前的廣形章。 世界大戰前的廣形章。 世界大戰前的廣形章。 世界大戰前的廣形章。 世界大戰前的廣形章。 世界大戰前的廣形章。 世界大戰前的廣形章。 中奶供應要沙尼亞聯會 中奶供應要沙尼亞聯會

**成骨北京** 

而對如此嚴峻的失業、持業局面,儘管人門有理由把它歸結為治理整項經濟所必不可免的階段性效應。然而,它與意是一個必須予以的階段性效應。然而,它與意是一個必須予以的階段性效應。然而,它與意是一個必須予以的聯發性效應。然而,它與意是一個必須予以的聯發性效應。然而,它與意是一個必須予以前繼續不可能與對於與一方面積極安排就業,以維護社會安定。有關等一方面積極安排就業,以維護社會安定。有關等一方面積極安排就業,以維護社會安定。有關等一方面積極安排就業,以維護社會接近,已採取措施。 這些建議或成為當局的對策。

會

檢

合作關係

辦

五月廿七日上午十時五月廿七日上午十時

大月十日上午十時

癌腔口治光流

管 未局 進改

營

胃 中國健兒狀態機能 志奪亞運半數金牌

港

新

殊政府之間,壁要撒賽爭論。

羽毛球冀圓五連冠

座被

比賽

站

站

助辨

-

臣

孝男 無 無 悪 間 開 明 明 中 光 経 婿 媾

親李籴余 屬培恆世 知華俸

雷成雨 阻醫管局成 盟盡辦法 者會上公開向港府提出 (特訊)關注自石 開注組促作答覆 以下的工程。 (特訊)關注自石

印港安排會議 解決扣營事件 

图已得明得二二〇、三 電壓下,電費較低電壓 在二百伏特的電壓下,國家的出口潛力。而電 過研究,結果順示在新 發現「個大十火的燈匠區」的製造業來說,提高壓 網絡海充裕時間的通知。 效率高,用戶使用頻繁的製造業來說,提高壓 獲得充裕時間的通知。 效率高,用戶使用頻繁的製造業來說,提高壓 獲得充裕時間的通知。 效率高,用戶使用頻繁的製造業來說,提高壓 獲得充裕時間的通知。 效率高,用戶使用頻繁的製造業來說,提高壓 獲得充裕時間的通知。 效率高,用戶使用頻繁 費政策目標

\*申請人之個人資料全部保密 數迎查詢:866 3609

# 專

**抓需面配,無需英語能力证明** 

大角咀必發递67號四樓

延至下

月六日

人權法

諮詢期

東加王國辦事處 COLOMOTVA NUKUALO FA KINGDOM OF TONGA

告

紙品廠等 漿紗廠<sup>、</sup> ,整染 中、港食品加工廠 籽,歐洲產生粉,哥士的,硼砂

(注) 電傳:63789 NETC 深圳聯絡電話:254901 香港電話:5400968(4綫)

五華國際發展有限公司

無論任何數重寿 無論任何數重寿 無論任何數重寿 無論任何數重寿 無論是 知 一次徹底根 治

法律 諮詢

移註公卸收單文精 民間司責條操件摸 填地章條 表發 當合 表址程数 格異信約

治

建量兒屆十

名

家

長

家長簽名:

\*\*\*\*\*

電

性別 出生 住山(加藤城新界) 出生證號碼 日 期 話

者姓名 年歲·

轉職安排福利若無保證

統,道點實在值得表揚。應而有些人甚至可傾取相等於開支而設。實際上,接受訛

基建構思17

在 1 名 司里克林及殿籍员作出决定。

"相决定"

"相关"

**填寫清楚,附参加者「一吋半」半身**治體券一百元。 亞軍:銀杯一隻、建券三百元

**亚軍:銀杯一獎、禮劵八百元** 

· 禮祭一年元·

· 决赛,将邀請赴會名流租任肸钊。 · 及九龍兩區初賽及被賽肸判員;新界各區初奪 · 天聯當舉行之全港總決賽。 · 强出冠、亚、季寧各一名,及優勝智九名。各 及被實際利員,則由各

- 及優勝者 九名。各區群、班、 水町极名,届時在香港**軍等** 可報名,屆時前往陳始参加

墨可在天平體育館比賽。至於嚴島之運動兒童,如有意學加足賽站,但在各樣比賽站所在地附近地區居住之運輸兒童,如有意學加入月二日上午十時假沙田大會堂舉行 五月廿七日上午上五月廿七日上午上 五月廿二日上午十時五月廿二日上午十時五月廿四日上午十時五月廿二日上午十時五月七午十時 大月十日上午十時

)姚峰偏日報,何封精寫『兒童健康比賽』,當即依址寄上卷賽題,伴屆時前往指定地「何對用,凡有意參加者,可城實報名喪格,連問參加者本人「一吋半」半身相一號,(國籍,均可免對報名參加。 《武器,係為三歲至六數之兒童而股,凡在香港,几值及新界居住之兒童,年齡滿三萬 **泉重而散・凡在** 費 禮 住之兒童 如 **平** 日 期

十屆兒 **始滿三堂** 

健康 比

勞玉樨

飛虎隊

**亦奉派出動** 

· 因為突然感到反感,但是 · 因為突然感到反感,但是 就家情後,裁定被告課級罪 需要區別聯訊。全案至昨日

遍搜

T坡找尋證物

慈雲山空置單位

德籍婦人遭扒竊

失五百萬元珠寶

港 新新

聞

龍洋非洲 見 奇

並向其追討會租 / 中華管理 聲咧 廠體啓

香港中 画街 298 號,本校校口至十八日上午十時本校现公開招標系出 華廠商聯合會 部 修中

育成預料 (校外課程部) 招生

6376263 HA 492015/ 元明 3954187

4769162



争訟力

吸利用交易毒品

八曾爲雛妓

**幕解各地特快黃證、滕價機果、酒店旅行園** 歡迎各社團、公司、工廠獨立組團

持中華民國本土護照可免簽證往星馬南韓、印尼並代辦美加簽證

加加《九龍旺角彌敦道618號好望海太恆1010室

六天\$3660 四天\$3880 代定台北機樂 各大酒店 \$270 起 天天出發

高華旅運有限公司 台灣定居 \$ 3500.

包括: 1.台灣入場簽証 2. 辦安設立戶籍 3.中華民國畫州 特快台灣入出境証 代售世界各國機業 代辦世界各國簽証 九龍白加士街26號韓華商價与字傳「盧敦廣場五韓公開傳

並行社牌概: 350520 牌图场侧学350074 展量(響頂, 柏保, 接城)七天 <sup>建星開</sup>=、西川新 \$5,490

\$5,790

屬尼拉,百勝海、碧坻,碧桃湖七天 <sup>建金林一、云、五山</sup>田 \$3 990 \$4,790 省制,城尼拉,百點進七天 @ 6 期 六 以 4 年

723-0628 川賀初悠り お演み管 特別最大編 ほどじ I ATA 漢號,溫陽,華克山莊四/五天豪華團 \$4,190起 消削品。消候,華克山肚四/五天景樂蘭 \$4,390起 連舉用一定用報 港 新

澳洲青年擊斃美商

區士培稱船民中 旨在探親兼令 以保安已加强

台灣當削重人

村將如何面對

南越訪費自然浩薛 因成民船驗體身親

彌敦道六五五號胡社生行1412室 中環德己立街17-19號卻和大厦4字至層自置物業

EASY HOLIDAYS LTD. Licence No. 350857 電腦直製訂位一块面準 世界機構。價幾不取巧 澳門,產港及各地訂房 特的代理:參解實獻團 金怕北國洲通關文假期5天 8 3,990起 金怕服則地中海9/10/11天 8 15,480起 金怕服即地中海9/10/11天 8 15,480起 金怕服城地中海巴林13/14天 8 19,980

尖沙明柯上河道42號地下 7238578

九龍旺角彌教道636號銀行中心2110堂 域威旅行社 t界各地機栗 î



/ 基 语 逝 協會。聯合属告

3323567-0 TEL

台灣(阿里山, 花蓮) 堪勝七大量幸國 84,480

增加:似曲场化等曲前目 相主体的自 **非關連** 

**到了** 縣尼拉,發統海,百餘湖五天最幸運 建立場一、至、並出在

尖沙阻金巴利道44號地下

\$6,590£

台 \$5 000

清溫。清潔、金三角、曼谷、德堤雅七天 與星相三、近山縣 布吉島。清邁、曼谷、萨堤雅八天 海里開西。日田紀 曼各、芭堤雅。小人國五大 班里門一、二、五、八田紀 本土田人公司 100 5年 115 4 \$3 590

\$4,090 · 西北分社直接安排 , 上午報出聲, 下午報本項

星膨聚(布吉島)九天/十一天 <sup>導車製車出機</sup>

17

九州本州八天

九州(鹿兒島、福岡)六天 · 旅福日朝班劉里(A7年)祖江卓。計劃城市。

本州(大阪、花卉博覧書、富士山、東京)

免費解答移民申請成功率特高 定期舉辦考察團

· 好稿 医表面性病 经公司的 医电影 医多种 医多种 新香油

16,490 \$8,290

布吉島(PEE PEE離島)五大 連盟網際出版 曼各,芭塔雅,七岩七天 連載網票。自由難 布吉島,學牙灣,芭提雅,曼谷七天 4 跨別往海北洋七早終日 (開州人住祭物

\$4,190

· 加湖小人鄉,好生動物源,九湖其化村

安裝碟

邁進最後首

上擬階段

郵政署長出席亞太電訊

國際有限公司

德勤會計師行

發揚孝道頌

鬧市派花

要求受重建影响住口

接受編配

房署

函件態度

强硬

黃大

區議

員譴責

木公司有全加拿大學校地址,由小學至大學

如想知思樣取得一份全加國學校地址,請聞

International Trade Co.

4373 Steeles Ave. West

請

女

\* 年30-45歲;

\*體健及刻苦耐勞;

\*深水埗區工作,要留宿;

\* 現職私人煮飯及有處理

優先取錄。

家庭清潔雜務工作經驗

傭

私立、公立。你再不要經那些留學辦事處了 你可以申請到你想去的學校了,和本地加拿大學

中或英 0011-416-663-9862 联密以下地址:

Downsview, Ontario

Canada M8N IVT

Suite 823

生一起留學

本人鄧秀兒於1990年5月7日起退出元 朗廣場二樓 237 號深環童裝股權。 後深珠童裝一切華洋轉轉與本人無關 NO.771 OF 1990年 NO.771 OF 1990年 在香港上丹利衛10至 では、100 OF GOODS - 1990年 現銀紙優足並限於指 の、200 OF GOODS - 1990年 では、1990年 の、200 OF GOODS - 1990年 では、1990年 の、200 OF GOODS - 1990年 では、1990年 の、200 OF GOODS - 1990年 の で、200 OF GOODS - 1990年 の で

~~~~~~~~~~~ 兹現通知 C. & D. TRADING CO/BUGATCHI UOMO · 如欲取阅 E J775之貨品,請於兇報後三日內帶同 F J 242/440/775 之貨款及辦費親选本

由五月十日起,如 C. & D. TRADING COI BUGATCHI

南昌街 298 號,本校校務處領取章程及申請表。 四日至十八日上午十時至下午四時親到九龍深木坊 在灣中離廠階聯合會 職業先條中學 食物 部 招 棵 啓 專

任課 營民業

54415

◆ 組西蘭特快移民 ▶ 免費解答移民申請成功率特高 定期舉辦考察團

兹定於一九九〇年五月十八日(星期五) 下午二時三十分在本行公開拍賣

FAX. 845 3409

**省名貴古** 

定於一九九〇年五

月十四《李五及十

六日至午十時至下

午四時爭於本拍賣

行公開展覽,並於

五月十六日後期

十餘號・拍賣章程

資行索取。

及說明書請向本拍 為

(除拍賣前售出外)

田九龍美子新邨哲老准街40號15字樓日單位 實用面積 約684平方呎

(2)九龍深水地通州街254號通明大廈8字權 建築面積。約848平方呎 (3)九龍油麻地彌敦道525-543 A 寶寧大潭13字

樓13日室 建築面積:約546平为呎

(4)九龍尖沙咀中間道5-6號遠東大廈2字模工室。

協聯佔個及沿處行 ※海中城平勝湖中河至河域平島10万大東河李橋 522 2088 521 6366

詩 校 **香港欖勿兄弟拍賽行啓** 對

卵拍實行啓

氣系統,圖文傳真機電話 就拍賣行拍賣 JETBO GARMENT

本於一九九〇年五月十一日即星期五日上午十一時正在香港士丹利衛10下S十四號 SZE HING LOONG IND. BLDG. 機下工場へ廠房) DEFT. WINNER MOTOR WORKS LTD.(NATURE OF GOODS—ONE ELECTRIC COPIER CANON, ONE FAX MACHINE PANAFAX、WITH TELEPHONE 貨物性質——影印 MACHINE PANAFAX WITH TELEPHONE 貨物性質) PIME MACHINE PANAFAX WITH TELEPHONE 貨物性質——影印 MACHINE PANAFAX WITH TELEPHONE 貨物性質 ——影印 MACHINE PANAFAX WITH TELEPHONE LANGT WITH TELEPHONE PANAFAX WITH TELEPHONE LANGT WITH WITH TELEPHONE LANGT WITH WITH TELEPHONE LANGT WITH WITH

地方の統治實行拍賣 WINNER MOTOR WORK 海語三三五四四人香港拍賣行及地達代理有限公司書

九州本州八天 連星開拓出程

**Nursing Review Seminar** in Hong Kong News for Registered Nurses who are preparing for CGFNS and NCLEX Examinations: Nursing Review Seminar: June 25 - July 6, 1990 8:30 am — 12:30 pm (Every Mon, Wed & Fri) Update your knowledge of Nursing in: MEDICAL SURGICAL **OBSTETRIC** PEDIATRIC MENTAL HEALTH

詳情請與雷先生治。

July 9 (Mon) & July 10 (Tue) 8:30 am — 5:30 pm

Offered by faculty from the nationally accredited Oklahoma City University School of Nursing, USA.

For more information/registration; please call the Hong Kong Overseas Studies Centre at 725-3868 Miss Siu.

**建设 类似的外针级口心** Hung Kong Overseas Studies Centre

HK Office Rm. 524 Trade Square 681 Choung She Wan Rd., Kin. 725-3868 Mecan Office 12/E Mei Mei Edificio. 13 De Rúa Do Campo, Marau. 311-100

「吉百利韓蛋考眼光」 得獎者名單

告百利五彩朱古力**蛋於較早前攀辦**之「害百 和導强考眼光」有獎遊戲已完滿結束,並於 5月4日進行抽獎,大獎得正名單公佈如下: **國**5-子論 K 463499(3) 離樂[] E 648485 全部域 E344821(9)

体脉場 A /0/452(5) Carol Tam. K 616232(0) 司徒宏泰 E 552629 **區姚儀** K 793775(3) 張偉倫 K40//15(6) 黄家輝 A886632(1) 桑逸華 E 466802(6)

香港政府

招標承租政府土地中

東區 走廊 北角段 臨時交通措施
東區 走廊 北角段 臨時交通措施
「星期五)上午九時起,東區走廊介平往民康街支路與往楊水道支路」「星期五)上午九時起,東區走廊介平往民康街支路與往楊水道支路」「星期五)上午九時起,東區走廊介平往民康街支路與往楊水道支路」「一直的外線。
「何期地點將設有道路輔導交通設施,指導駕事人士。
「有關地點將設有道路輔導交通設施,指導駕事人士。

等權信用報信箱 308 號,有經驗者優先為審應日報信箱 308 號,有經驗者優先為審應日報信箱 308 號,有經驗者優先為應。 請

为<br/>
者<br/>
清<br/>
院<br/>
九時<br/>
半後<br/>
、<br/>
一<br/>
本報聘請男性<br/>
校<br/>
對<br/>
員<br/>
,中學程度<br/>
中<br/>

小亦容作不要

Degree Express

章成刊科(校外球理解)招生 到度第一8332166 油海地 7701721 引度 6376263 胜利 3954187 至第 4920157 元朝 4769162

| 華中 經馬 日六十月四年午庚曆夏                                                                                                                                                                                                                                                                                                                                                                                                                                                                                                                                                                                                                                                                                                                                                                                                                                                                                                                                                                                                                                                                                           | 黎日橋举                                                                            | 四期星 日十月五(〇九九一)年九十七國民華中( 6 )                                                                                                                                                                                                                                                                                                                                                                                                                                                                                                                                                                                                                                                                                                                                                                                                                                                                                                                                                                                                                                                                                                                                                                                                                                                                                                                                                                                                                                                                                                                                                                                                                                                                                                                                                                                                                                                                                                                                                                                                                                                                                                                                                                                                                                                                                                                                                                                                                                                                                                                                                                                                                                                                                                                                          |
|------------------------------------------------------------------------------------------------------------------------------------------------------------------------------------------------------------------------------------------------------------------------------------------------------------------------------------------------------------------------------------------------------------------------------------------------------------------------------------------------------------------------------------------------------------------------------------------------------------------------------------------------------------------------------------------------------------------------------------------------------------------------------------------------------------------------------------------------------------------------------------------------------------------------------------------------------------------------------------------------------------------------------------------------------------------------------------------------------------|---------------------------------------------------------------------------------|----------------------------------------------------------------------------------------------------------------------------------------------------------------------------------------------------------------------------------------------------------------------------------------------------------------------------------------------------------------------------------------------------------------------------------------------------------------------------------------------------------------------------------------------------------------------------------------------------------------------------------------------------------------------------------------------------------------------------------------------------------------------------------------------------------------------------------------------------------------------------------------------------------------------------------------------------------------------------------------------------------------------------------------------------------------------------------------------------------------------------------------------------------------------------------------------------------------------------------------------------------------------------------------------------------------------------------------------------------------------------------------------------------------------------------------------------------------------------------------------------------------------------------------------------------------------------------------------------------------------------------------------------------------------------------------------------------------------------------------------------------------------------------------------------------------------------------------------------------------------------------------------------------------------------------------------------------------------------------------------------------------------------------------------------------------------------------------------------------------------------------------------------------------------------------------------------------------------------------------------------------------------------------------------------------------------------------------------------------------------------------------------------------------------------------------------------------------------------------------------------------------------------------------------------------------------------------------------------------------------------------------------------------------------------------------------------------------------------------------------------------------------|
| 本<br>************************************                                                                                                                                                                                                                                                                                                                                                                                                                                                                                                                                                                                                                                                                                                                                                                                                                                                                                                                                                                                                                                                                  | 大田   10   10   10   10   10   10   10   1                                       | 第一场。<br>第二场。<br>第二场。<br>第二场。<br>第二场。<br>第二场。<br>第二场。<br>第二场。<br>第二场。<br>第二场。<br>第一场。<br>第二场。<br>第二场。<br>第二场。<br>第二场。<br>第一场。<br>第一场。<br>第一场。<br>第一场。<br>第一场。<br>第一场。<br>第一场。<br>第一场。<br>第一场。<br>第一场。<br>第一场。<br>第一场。<br>第一场。<br>第一场。<br>第一场。<br>第一场。<br>第一场。<br>第一场。<br>第一场。<br>第一场。<br>第一场。<br>第一场。<br>第一场。<br>第一场。<br>第一场。<br>第一场。<br>第一场。<br>第一场。<br>第一场。<br>第一场。<br>第一场。<br>第一场。<br>第一场。<br>第一场。<br>第一场。<br>第一场。<br>第一场。<br>第一场。<br>第一场。<br>第一场。<br>第一场。<br>第一场。<br>第一场。<br>第一场。<br>第一场。<br>第一场。<br>第一场。<br>第一场。<br>第一场。<br>第一场。<br>第一场。<br>第一场。<br>第一场。<br>第一场。<br>第一场。<br>第一场。<br>第一场。<br>第一场。<br>第一场。<br>第一场。<br>第一场。<br>第一场。<br>第一场。<br>第一场。<br>第一场。<br>第一场。<br>第一场。<br>第一场。<br>第一场。<br>第一场。<br>第一场。<br>第一场。<br>第一场。<br>第一场。<br>第一场。<br>第一场。<br>第一场。<br>第一场。<br>第一场。<br>第一场。<br>第一句。<br>第一句。<br>第一句。<br>第一句。<br>第一句。<br>第一句。<br>第一句。<br>第一句。<br>第一句。<br>第一句。<br>第一句。<br>第一句。<br>第一句。<br>第一句。<br>第一句。<br>第一句。<br>第一句。<br>第一句。<br>第一句。<br>第一句。<br>第一句。<br>第一句。<br>第一句。<br>第一句。<br>第一句。<br>第一句。<br>第一句。<br>第一句。<br>第一句。<br>第一句。<br>第一句。<br>第一句。<br>第一句。<br>第一句。<br>第一句。<br>第一句。<br>第一句。<br>第一句。<br>第一句。<br>第一句。<br>第一句。<br>第一句。<br>第一句。<br>第一句。<br>第一句。<br>第一句。<br>第一句。<br>第一句。<br>第一句。<br>第一句。<br>第一句。<br>第一句。<br>第一句。<br>第一句。<br>第一句。<br>第一句。<br>第一句。<br>第一句。<br>第一句。<br>第一句。<br>第一句。<br>第一句。<br>第一句。<br>第一句。<br>第一句。<br>第一句。<br>第一句。<br>第一句。<br>第一句。<br>第一句。<br>第一句。<br>第一句。<br>第一句。<br>第一句。<br>第一句。<br>第一句。<br>第一句。<br>第一句。<br>第一句。<br>第一句。<br>第一句。<br>第一句。<br>第一句。<br>第一句。<br>第一句。<br>第一句。<br>第一句。<br>第一句。<br>第一句。<br>第一句。<br>第一句。<br>第一句。<br>第一句。<br>第一句。<br>第一句。<br>第一句。<br>第一句。<br>第一句。<br>第一句。<br>第一句。<br>第一句。<br>第一句。<br>第一句。<br>第一句。<br>第一句。<br>第一句。<br>第一句。<br>第一句。<br>第一句。<br>第一句。<br>第一句。<br>第一句。<br>第一句。<br>第一句。<br>第一句。<br>第一句。<br>第一句。<br>第一句。<br>第一句。<br>第一句。<br>第一句。<br>第一句。<br>第一句。<br>第一句。<br>第一句。<br>第一句。<br>第一句。<br>第一句。<br>第一句。<br>第一句。<br>第一句。<br>第一句。<br>第一句。<br>第一句。<br>第一句。<br>第一句。<br>第一句。<br>第一句。<br>第一句。<br>第一句。<br>第一句。<br>第一句。<br>第一句。<br>第一句。<br>第一句。<br>第一句。<br>第一句。<br>第一句。<br>第一句。<br>第一句。<br>第一句。<br>第一句。<br>第一句。<br>第一句。<br>第一句。<br>第一句。<br>第一句。<br>第一句。<br>第一句。<br>第一句。<br>第一句。<br>第一句。<br>第一句。<br>第一句。<br>第一句。<br>第一句。<br>第一句。<br>第一句。<br>第一句。<br>第一句。<br>第一句。<br>第一句。<br>第一句。<br>第一句。<br>第一句。<br>第一句。<br>第一句。<br>第一句。<br>第一句。<br>第一句。<br>第一句。<br>第一句。<br>第一句。<br>第一句。<br>第一句。<br>第一句。<br>第一句。<br>第一句。<br>第一句。<br>第一句。<br>第一句。<br>第一句。<br>第一句。<br>第一句。<br>第一句。<br>第一句。<br>第一句。<br>第一句。<br>第一句。<br>第一句。<br>第一句。<br>第一句。<br>第一句。<br>第一句。<br>第一句。<br>第一句。<br>第一句。<br>第一句。<br>第一句。<br>第一句。<br>第一句。<br>第一句。<br>第一句。<br>第一句。<br>第一句。<br>第一句。<br>第一句。<br>第一句。<br>第一句。<br>第一句。<br>第一句。<br>第一句。<br>第一句。<br>第一句。<br>第一句。<br>第一句。<br>第一句。<br>第一句。<br>第一句。<br>第一句。<br>第一句。<br>第一句。<br>第一句。<br>第一句。<br>第一句。<br>第一句。<br>第一句。<br>第一句。 |
| 第一場 第五班 九七五米 (連顧位) (三重彩) (第一口孖賣首關)  [編                                                                                                                                                                                                                                                                                                                                                                                                                                                                                                                                                                                                                                                                                                                                                                                                                                                                                                                                                                                                                                                                     | 世界の<br>一型の<br>一型の<br>一型の<br>一型の<br>一型の<br>一型の<br>一型の<br>一型                      | 上 1 1 1 1 1 1 1 1 1 1 1 1 1 1 1 1 1 1 1                                                                                                                                                                                                                                                                                                                                                                                                                                                                                                                                                                                                                                                                                                                                                                                                                                                                                                                                                                                                                                                                                                                                                                                                                                                                                                                                                                                                                                                                                                                                                                                                                                                                                                                                                                                                                                                                                                                                                                                                                                                                                                                                                                                                                                                                                                                                                                                                                                                                                                                                                                                                                                                                                                                              |
| 21.7 (24.6) 大熱門連覇: (①一③)2,475,580<br>大熱門連覇: (①一③)2,475,580<br>大熱門連覇: (①一③)2,475,580<br>近端勝季軍34馬位<br>三重彩: \$ 116.00<br>三重彩: \$ 116.00<br>三重彩: \$ 116.00<br>三重彩: \$ 11.70                                                                                                                                                                                                                                                                                                                                                                                                                                                                                                                                                                                                                                                                                                                                                                                                                                                                                                                                    | } 随所使之前。事不是後自摩於多日營運關組之前。飲飯轉外往看時世,觀訊號之外與後自摩於多日營運關組之前。飲飯轉外往看                      | 第一位置第二位置第二位置第二位 十二元九 十二元九 十二元九 十二元九 十二元九 十二元九 十二元九 十二元九                                                                                                                                                                                                                                                                                                                                                                                                                                                                                                                                                                                                                                                                                                                                                                                                                                                                                                                                                                                                                                                                                                                                                                                                                                                                                                                                                                                                                                                                                                                                                                                                                                                                                                                                                                                                                                                                                                                                                                                                                                                                                                                                                                                                                                                                                                                                                                                                                                                                                                                                                                                                                                                                                                              |
| 2   2   2   3   5   5   5   5   5   5   5   5   5                                                                                                                                                                                                                                                                                                                                                                                                                                                                                                                                                                                                                                                                                                                                                                                                                                                                                                                                                                                                                                                          | (中)                                         | 大大 (連貫) (中国) (中国) (中国) (中国) (中国) (中国) (中国) (中国                                                                                                                                                                                                                                                                                                                                                                                                                                                                                                                                                                                                                                                                                                                                                                                                                                                                                                                                                                                                                                                                                                                                                                                                                                                                                                                                                                                                                                                                                                                                                                                                                                                                                                                                                                                                                                                                                                                                                                                                                                                                                                                                                                                                                                                                                                                                                                                                                                                                                                                                                                                                                                                                                                                       |
| 第一口丹東派形: 145.20 安慰美: 8 44.30   大澤邦第二開) (                                                                                                                                                                                                                                                                                                                                                                                                                                                                                                                                                                                                                                                                                                                                                                                                                                                                                                                                           | 中一十一                                                                            | 公出资。  《出资。  《出资。  《出资。  《知资。  《知资。  《知资。  《知资。  《知资。  《知资。  《知灵。                                                                                                                                                                                                                                                                                                                                                                                                                                                                                                                                                                                                                                         |
| 1                                                                                                                                                                                                                                                                                                                                                                                                                                                                                                                                                                                                                                                                                                                                                                                                                                                                                                                                                                                                                                                                                                          | 一次一次                                                                            | 大坂   大坂   大坂   大坂   大坂   大坂   大坂   大                                                                                                                                                                                                                                                                                                                                                                                                                                                                                                                                                                                                                                                                                                                                                                                                                                                                                                                                                                                                                                                                                                                                                                                                                                                                                                                                                                                                                                                                                                                                                                                                                                                                                                                                                                                                                                                                                                                                                                                                                                                                                                                                                                                                                                                                                                                                                                                                                                                                                                                                                                                                                                                                                                                                 |
| 第二口召卖派彩: 86.50                                                                                                                                                                                                                                                                                                                                                                                                                                                                                                                                                                                                                                                                                                                                                                                                                                                                                                                                                                                                                                                                                             | ○ (本)                                       |                                                                                                                                                                                                                                                                                                                                                                                                                                                                                                                                                                                                                                                                                                                                                                                                                                                                                                                                                                                                                                                                                                                                                                                                                                                                                                                                                                                                                                                                                                                                                                                                                                                                                                                                                                                                                                                                                                                                                                                                                                                                                                                                                                                                                                                                                                                                                                                                                                                                                                                                                                                                                                                                                                                                                                      |
| 大                                                                                                                                                                                                                                                                                                                                                                                                                                                                                                                                                                                                                                                                                                                                                                                                                                                                                                                                                                                                                                                                                                          | の                                                                               | 本                                                                                                                                                                                                                                                                                                                                                                                                                                                                                                                                                                                                                                                                                                                                                                                                                                                                                                                                                                                                                                                                                                                                                                                                                                                                                                                                                                                                                                                                                                                                                                                                                                                                                                                                                                                                                                                                                                                                                                                                                                                                                                                                                                                                                                                                                                                                                                                                                                                                                                                                                                                                                                                                                                                                                                    |
| 大                                                                                                                                                                                                                                                                                                                                                                                                                                                                                                                                                                                                                                                                                                                                                                                                                                                                                                                                                                                                                                                                                                          | 1A 24 K7 A4                                                                     | 第八人<br>第八人<br>第八人<br>第八人<br>第八人<br>第八人<br>第八人<br>第八人                                                                                                                                                                                                                                                                                                                                                                                                                                                                                                                                                                                                                                                                                                                                                                                                                                                                                                                                                                                                                                                                                                                                                                                                                                                                                                                                                                                                                                                                                                                                                                                                                                                                                                                                                                                                                                                                                                                                                                                                                                                                                                                                                                                                                                                                                                                                                                                                                                                                                                                                                                                                                                                                                                                 |
| 大文<br>① 全連鶴士 69 130 保立徳 ③ 方 3 8 6 一展環 1馬位 4.8 8×26,370 1,407。<br>② 自 力 65 138 伯 務 ⑤ 摩 4 4 4 6 半周位 11馬位 3.4 4,545,030 2,209.4<br>② 自 力 65 138 伯 務 ⑤ 摩 7 7 5 7 21周位 31馬位 10 1,455,970 1,075,10<br>河 梅 能 52 120 陳柏鴻 ② 樹 7 7 5 7 21周位 31馬位 10 1,455,970 1,075,10<br>③ 自由 務 62 128 阮世亮 ① 朱 5 6 9 8 三周位 61馬位 28 658,550 436,6<br>⑤ 頂 新 55 113 談樹文 ⑥ 陳 9 8 8 9 一鬼位 71周位 31 498,220 302,2<br>總票數: \$ 18,789,390 9,336,4<br>時間: 29.7 54.6 1.19.0 1.44.5<br>連載位總投注: \$ 42,070,020<br>大熱門連貫: (①一②) 4,543,870<br>座車 勝手取半馬位<br>三重形: \$ 6,779.00<br>丹丁: \$ 40,723.00 (十元計)                                                                                                                                                                                                                                                                                                                                                                                                                                                                                                                                               | 20 全国 一                                                                         | 一大学 (大学) (大学) (大学) (大学) (大学) (大学) (大学) (大                                                                                                                                                                                                                                                                                                                                                                                                                                                                                                                                                                                                                                                                                                                                                                                                                                                                                                                                                                                                                                                                                                                                                                                                                                                                                                                                                                                                                                                                                                                                                                                                                                                                                                                                                                                                                                                                                                                                                                                                                                                                                                                                                                                                                                                                                                                                                                                                                                                                                                                                                                                                                                                                                                                            |
| 位置: \$ 38.40 18.90 21.60 安慰獎: \$ 77.50 第四口丹賣派彩: \$ 1,860.10 安慰獎: \$ 77.50 (中華) (中華) (中華) (中華) (中華) (中華) (中華) (中華)                                                                                                                                                                                                                                                                                                                                                                                                                                                                                                                                                                                                                                                                                                                                                                                                                                                                                 | 10<br>10<br>10<br>10<br>10<br>10<br>10<br>10                                    | 中 子                                                                                                                                                                                                                                                                                                                                                                                                                                                                                                                                                                                                                                                                                                                                                                                                                                                                                                                                                                                                                                                                                                                                                                                                                                                                                                                                                                                                                                                                                                                                                                                                                                                                                                                                                                                                                                                                                                                                                                                                                                                                                                                                                                                                                                                                                                                                                                                                                                                                                                                                                                                                                                                                                                                                                                  |
| 1                                                                                                                                                                                                                                                                                                                                                                                                                                                                                                                                                                                                                                                                                                                                                                                                                                                                                                                                                                                                                                                                                                          | 76 20 30 30 30 30 30 30 30 30 30 30 30 30 30                                    | 第一次                                                                                                                                                                                                                                                                                                                                                                                                                                                                                                                                                                                                                                                                                                                                                                                                                                                                                                                                                                                                                                                                                                                                                                                                                                                                                                                                                                                                                                                                                                                                                                                                                                                                                                                                                                                                                                                                                                                                                                                                                                                                                                                                                                                                                                                                                                                                                                                                                                                                                                                                                                                                                                                                                                                                                                  |
| 成馬贏,<br>兩非過光<br>獨之有馬日<br>之多馬王等<br>能向養。<br>作實事<br>能向養。<br>一大五〇米<br>(連鳳位) (三重彩) (大職彩第大院)<br>(三重彩) (大職彩第大院)<br>(三重彩) (大職彩第大院)<br>(三重彩) (大職彩第大院)<br>(三重彩) (三重彩) (大職彩第大院)<br>(三重彩) (三重彩) (三重彩)<br>(三重彩) (三重彩) (三重彩)<br>(三重彩) (三重彩) (三重彩)<br>(三重彩) (三重彩) (三重彩)<br>(四)(三重彩) (三)(三)(三)(三)(三)(三)(三)(三)(三)(三)(三)(三)(三)( |                                                                                 | 一二〇〇米<br>上一一一一一一一一一一一一一一一一一一一一一一一一一一一一一一一一一一一一                                                                                                                                                                                                                                                                                                                                                                                                                                                                                                                                                                                                                                                                                                                                                                                                                                                                                                                                                                                                                                                                                                                                                                                                                                                                                                                                                                                                                                                                                                                                                                                                                                                                                                                                                                                                                                                                                                                                                                                                                                                                                                                                                                                                                                                                                                                                                                                                                                                                                                                                                                                                                                                                                                                       |
| 及型制度                                                                                                                                                                                                                                                                                                                                                                                                                                                                                                                                                                                                                                                                                                                                                                                                                                                                                                                                                                                                                                                                                                       | 220<br>610<br>890<br>800<br>800<br>800<br>800<br>800<br>800<br>800<br>800<br>80 | ( )   ( )   ( )   ( )   ( )   ( )   ( )   ( )   ( )   ( )   ( )   ( )   ( )   ( )   ( )   ( )   ( )   ( )   ( )   ( )   ( )   ( )   ( )   ( )   ( )   ( )   ( )   ( )   ( )   ( )   ( )   ( )   ( )   ( )   ( )   ( )   ( )   ( )   ( )   ( )   ( )   ( )   ( )   ( )   ( )   ( )   ( )   ( )   ( )   ( )   ( )   ( )   ( )   ( )   ( )   ( )   ( )   ( )   ( )   ( )   ( )   ( )   ( )   ( )   ( )   ( )   ( )   ( )   ( )   ( )   ( )   ( )   ( )   ( )   ( )   ( )   ( )   ( )   ( )   ( )   ( )   ( )   ( )   ( )   ( )   ( )   ( )   ( )   ( )   ( )   ( )   ( )   ( )   ( )   ( )   ( )   ( )   ( )   ( )   ( )   ( )   ( )   ( )   ( )   ( )   ( )   ( )   ( )   ( )   ( )   ( )   ( )   ( )   ( )   ( )   ( )   ( )   ( )   ( )   ( )   ( )   ( )   ( )   ( )   ( )   ( )   ( )   ( )   ( )   ( )   ( )   ( )   ( )   ( )   ( )   ( )   ( )   ( )   ( )   ( )   ( )   ( )   ( )   ( )   ( )   ( )   ( )   ( )   ( )   ( )   ( )   ( )   ( )   ( )   ( )   ( )   ( )   ( )   ( )   ( )   ( )   ( )   ( )   ( )   ( )   ( )   ( )   ( )   ( )   ( )   ( )   ( )   ( )   ( )   ( )   ( )   ( )   ( )   ( )   ( )   ( )   ( )   ( )   ( )   ( )   ( )   ( )   ( )   ( )   ( )   ( )   ( )   ( )   ( )   ( )   ( )   ( )   ( )   ( )   ( )   ( )   ( )   ( )   ( )   ( )   ( )   ( )   ( )   ( )   ( )   ( )   ( )   ( )   ( )   ( )   ( )   ( )   ( )   ( )   ( )   ( )   ( )   ( )   ( )   ( )   ( )   ( )   ( )   ( )   ( )   ( )   ( )   ( )   ( )   ( )   ( )   ( )   ( )   ( )   ( )   ( )   ( )   ( )   ( )   ( )   ( )   ( )   ( )   ( )   ( )   ( )   ( )   ( )   ( )   ( )   ( )   ( )   ( )   ( )   ( )   ( )   ( )   ( )   ( )   ( )   ( )   ( )   ( )   ( )   ( )   ( )   ( )   ( )   ( )   ( )   ( )   ( )   ( )   ( )   ( )   ( )   ( )   ( )   ( )   ( )   ( )   ( )   ( )   ( )   ( )   ( )   ( )   ( )   ( )   ( )   ( )   ( )   ( )   ( )   ( )   ( )   ( )   ( )   ( )   ( )   ( )   ( )   ( )   ( )   ( )   ( )   ( )   ( )   ( )   ( )   ( )   ( )   ( )   ( )   ( )   ( )   ( )   ( )   ( )   ( )   ( )   ( )   ( )   ( )   ( )   ( )   ( )   ( )   ( )   ( )   ( )   ( )   ( )   ( )   ( )   (                                                                                                                                                                                                                                                                                                                                                                                                                                                                                                                                                                                                                                            |
| 時間: 27.9 52.4 1.16.5 1.43.0 連顯(都很性: \$55,772,620<br>24.5 24.1 (26.5) 大熱門連贏: (③)—④) \$7,762,510<br>大學,較一<br>出法如便<br>學生上與單<br>,硬一,之<br>使,仗後實<br>能放之數一<br>來得可無确<br>就出及法左                                                                                                                                                                                                                                                                                                                                                                                                                                                                                                                                                                                                                                                                                                                                                                                                                                                                                                                                      | 大・名   ○                                                                         | 一                                                                                                                                                                                                                                                                                                                                                                                                                                                                                                                                                                                                                                                                                                                                                                                                                                                                                                                                                                                                                                                                                                                                                                                                                                                                                                                                                                                                                                                                                                                                                                                                                                                                                                                                                                                                                                                                                                                                                                                                                                                                                                                                                                                                                                                                                                                                                                                                                                                                                                                                                                                                                                                                                                                                                                    |

〇九九一)年九十七國民

生物康樂設施和服務,一用。 生物康樂設施和服務,一用。 中理合市民日益提高及一個物類和角子入關機。 監察及在合理的情况下一峰下的泳池安裝自助式 監察及在合理的情况下一峰下的泳池安裝自助式 市局致力 廣建康樂設施 台市民需求 八發展

賽馬

·賽突然見界如雨 起低化地出闹喝 起碼佢地出闹喝

更好 大侠仁

**给妈别** 

呎售七一八元起上宜商增值力强

洋貿易中

澳洲新南威 當等於廿四次華爾迪森 當等於廿四次華爾迪森 以漏油污總量。」 與漏油污總量。」 與漏油污總量。」 與漏油污總量。」 與國人丢棄之廢油,便相 可必高(香港)有 知。 如

市局致力

發展

港

新新

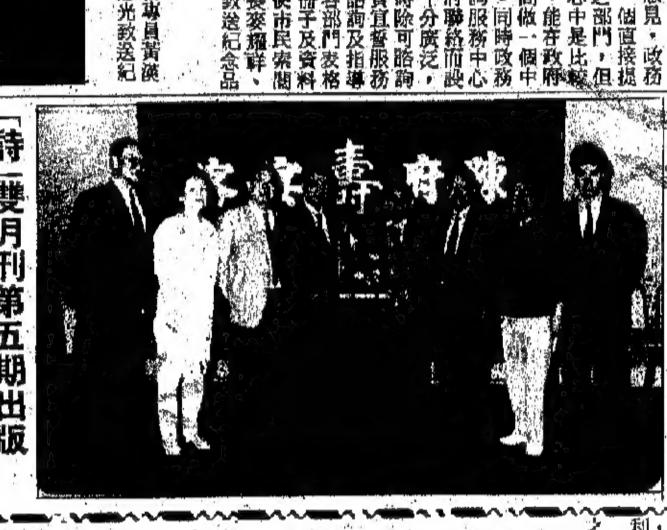
聞

廣建康樂設施

迎合市民需求

金華大厦等

旅遊串



更有信心

道 

舰張人季下叔華



週日可

勝馬王賽

而出已成熟



海有較多實力馬匹。 會有較多實力馬匹。 會有較多實力馬匹。 會有較多實力馬匹。 會有較多實力馬匹。 自時托,相信會陸權有更多馬房支持,尤其是羅志信 一更提供不少坐騎給他,像「幸運 一更提供不少坐騎給他,像「幸運 一時提供不少坐騎給他,像「幸運 一時提供不少坐騎給他,像「幸運 一時提供不少坐騎給他,像「幸運 一時提供不少坐騎給他,像「幸運

大人為 後 在 鄉時來說,未必用,共有廿三場頭馬,與同去屆累積七場頭馬,即在大學馬房,以是夠畢業。
以是夠畢業。

馬王大賽必要講求底細

有料到

軟爛擅長天雨料到血系並不

雨再曳

怪死

再爆

出仍然可爭 ,今次平磁上,再用回戴利,住于大米角建,負上一四〇萬一周四四人,

便了「金鑰匙」上陣,實力是其餘兩駒之最,唐數· 共有三駒報戰,分別為「腿繞世界」、「威利高」 「中力做戰。

**没拉往獸醫處照鼻** 放圈

記日獲

天天更好已夠銳利

美候仁

木球武士有冷門

明日東平相當地 原非常之多,而且有分 原非常之多,而且有分 原非常之多,而且有分 原非常之多,而且有分 原非常之多,而且有分 原非常之多,而且有分 原非常之多,而且有分 原非常之多,而且有分 原非常之多,而且有分

虹健康

昨晚谷中七 第五十九次賽馬

時間: 26.8 50.8 1.16.1 24.0 (25.3) 勝負距離: 冠軍勝碩軍14馬位 連載:\$ 77.60 獨職:\$ 37.10 位置:\$ 16.10 16.40 第五口行實派彩:\$ 1,365.50

**80000000** 92 80 80 一心一意特別助 時間: 27.9 52.4 1.16.5 24.5 24.1 (26 接角距離: 冠軍勝亞單短馬頭 連載: \$ 105.80 獨觀: \$ 48.00 位置: \$ 19.20 14.80 幣大口再賣派彩: \$ 191.20

大概形: 8 4,117.00

龍中

央獅子

屯門 屆兒童健康 初賽盛 \*\*\* 比賽 舉行 新

薩達姆

丁龄半至下午七時,五月十九日則從上午十時半室。開放時間,由五月十日下午二時至七時,五月十展覽,訂於本月十日至十九日,「連十天在香港大

**會堂低座學** 

具展覽

明裔指揮華 貝桑松大賽首獎

名家藝術中

學員作品展覽

18至30日聚

は物館。

本週末沙田大會堂舉行

秀携手演

聲樂晚會

青年交响樂團 本週日舉行音樂會

東南部

司統教

ingress or a

,那麼扣緊,我相信,只要有人類,就們他也影响我們的生活和成長,我們的問題、「離」陪着我們成長、成爲我們問題的,們就是在爲主題,亦可能是這個原因,

港的稻米耕種」:荃灣三棟屋

| (文化神恩) 音樂 交響樂團不僅在本港定事務統籌處屬下的香港 財奉行音樂會,而且更十二日(星期日)晚 之處包括澳洲、墨浦路上八時,在香港文化中 斯、法國、以色外、澳心音樂廳舉行選年音樂 門、英國及中國各地。中七二名成員的樂團 伊甸及鄭米卿、湖尼縣和時的領導下,該除辦 樂家及指揮家如傳灣、神山十三名成員的樂團 伊甸及鄭米卿、湖尼縣和時的領導下,該除辦 樂家及指揮家如傳灣、海山十三名成員的樂團 伊甸及鄭米卿、湖尼縣 士及蘇健豪等

增建卅

間學校

施爲例,表示追並非朝一針對人口的分布的大年級採用全日制的措 他說:「我們格會多以小學五、」夕之問可以達致的人格計算估計為八億二百萬

教育學

探全日制





造

略策展發育教 港申 司統教 重

St. Louis Group Of Schools

功課醫導班

標:由經驗教師指導及督促學生完成學校每日指定 家課、溫智校內所教課程和準備校內及公開考 試, 並提供有效讀書方法, 培養學生學習興趣 ,以鞏固學業基礎。

級:小學P.1-P.6 中學F.1-F.3

上課地點:香港西區山道38號(聖類斯) 548 7188. 568 1134 香港鰂魚涌太古城(地利亞) 香港華富邨華富道55號(利瑪寶)5513501 香港灣仔點克道237號(聖類斯) 572 0256 九龍官塘月華街19號(地利亞) 342 2289 九龍官塘協和街223號(利馬寶) 389 3289 九龍美学百 台灣街80號( 地利亞 ) 743 9313

> ● 聖類斯校友會中學(山道38號) 開設上午、下午及晚間各組

> (為利便學生進修,每月均開設新班)

• 其他各屬校祇閉設晚間組

聯合主辦公開研討會 HIGHER EDUCATION IN THE 1990'S:

TN ENGLISHT

DEVELOPMENT AND CHALLENGES

刀十年代高等教育:誤展與挑戰

教育統籌委員會主席范徐麗泰議員

PROF. YIU-CHUNG CHENG, DIRECTOR, CITY POLYTECHNIC OF HONG KONG 香港城市理工學院院長鄭耀宗教授 PROF, CHARLES K. KAO, VICE-CHANCELLOR, THE CHINESE UNIVERSITY OF HONG KONG 香港中文大學校長高錕教授

MR. PATRICK MAULE, PERSONNEL DIRECTOR, MASS TRANSIT RAILWAY CORPORATION & IMMEDIATE PAST PRESIDENT, INSTITUTE OF PERSONNEL MANAGEMENT 地下鐵路公司人事總監及香港人事管理學會前任會長梅柏庭先生

DATE THURSDAY 10 VAY 1980

多数学生**化学**等主题等的企业的企业

日期は一九九〇年五月十日《紀期四》 TIME TO 10 00 AM STEE CO NOON 時間:上午十份至中午十二時 VENUE THE LUYCURE HALL LINGVAY COURSES AUDITORIUM 地點。圖南學院大會當音樂廳

ALL INTERESTED ARE WELCOME 歡迎各界人士參加

1. 1. And 12. 2) 1. 25 M. 点词 1734 3 572 2220 PH\$ 163



。備戒山鑒慧在員警批大學

在各自的崗位上努力,保持各項成就事在本港工作四年多了,他在下個月

發展中國沿海 香港擔當重要角色 區域

租

官塘道 338 號星洲工業大厦

⑥字樓5000呎 每呎HK\$5.50

包差餉,管理費 \$3000

塑膠,染廠,紡織及紙品廠免問)

荃灣江南工業大厦

交通方便,租金相宜。

工廠大厦招

大厦2000餘呎起

冷租精電:5438960

《柴灣豐業街 2 號楊耀松第七工業》

適合空運及輕重工業用途

5231637 區先生治

有意請電:

美國駐港總領事臨別贈言

瓷磚潔具·電器燈飾

**傢俬裝修・居室設計** 

港島高尚海景住宅》特價出售 西寧閣

**毎呎\$1200餘元起** 

1/F L16貨 車 位 月租\$2000 馬鞍山露天倉 中環寫字樓招租

面積 320 呎及 552 呎,中 貨櫃直達 央冷氣系統,管理完善, 適合擺放大車或鐵器

中環樓字廉租

士丹利街18號 六樓全層出 交通方便り租金↓ 曾塘大業街:43號楊耀松第五工業() 71 大鷹3000餘呎起另地下4000餘呎 相宜,合寫字樓用途

報日僑華 學助量救 翁仁畏舊 复善解請

德輔通西327號路接500呎近水街

每天收費

加印紅色每段五十七元半

加印紅色每段一百一十五元

長沙灣青山道廠房出租

\*新工廠大廈管理好

•全層 9552 火出租

• 合輕工業寫字樓用

•近巴士站地鐵站口

• 伙數少特大停車場

•電梯多部上落便利

有意請電:7856066鑑洽

灣仔寫字樓招租

譚臣道76-78號

卓信商業大厦

面積六百餘呎

交通方便 租金相宜

• 三面大單邊多窗通爽

黃竹坑廠招租 英基工業中心2400呎 高層光猛,冷氣,管理完善 有意論電 5625161談洽

該機構是美國的 Greiner Inc. 及在香港的英國工程公司人咋日表示,當局即將會與 Greiner Airport consortium 進

美駐港總領事分析中港關係

華南香港互惠互利

彼此依賴無法改變

成完月七絡網纜電碼數

港

| 5月9日<br>出 升 跌 |        |      | 票收市      | 渗胀         |   | 460 310 |
|---------------|--------|------|----------|------------|---|---------|
|               | 黄      | 7    | <b>T</b> | 栗          |   | 殷       |
| . во —0.05    | 11.    | . 60 | 1.1      |            |   | Æ       |
| +0.10         | 13. 2  | 00   | 1 13     | 燈          |   | 九       |
| .60 -0.05     | 7. 6   | . 40 | 7        | 燈          |   | 港       |
| . 55          | 7. 8   | . 35 | 7        | 倉          |   | カ・      |
| .90 -0.05     | 7.9    | , 70 | . 7      | 14         |   |         |
| 90 0          | 5.9    | . 75 | 5        | -          |   | 滙       |
| 0.30 -0.10    | 10.    | . 10 | 10       | 黃          |   | 和       |
| +0.15         | . 29.4 | . 80 | 28       | <b>季</b> 0 |   | 倫       |
| 7.75 +0.10    | 17.3   | . 50 | 17       | A          | 古 | *       |
| 3.40 -0.05    | 13.    | , 20 | 13       | 基          | T | 素斤      |
| 5.95 -0.10    | 6.     | . 80 | 6        | 基          |   | 小豆      |
| 3.60 → 0.05   | 8.     | . 40 | 8        | 泰          |   |         |
| 3.            | 6.     | . 80 | 6        | 基泰         |   | 恒       |

5.059 +0.00 -24.97

少處案取。 學處案取。 學數與局別絡。學實表格可向實 學數與局別絡。學實表格可向實 辦局展發易貿 賽比計設表鐘 念意新創勵鼓

欲征

最高峯

日熱氣味

(五)警方成

炮戰激烈東貝民

戰後多處大火 救

《援隊疲



停泊補給

北四島還日立陶宛支持

避 風 颱 部南東度印散疏人萬十

高峯會議

四國總統

押解途徑有異議解是整理和

盧泰愚當



西德經長表示

が奔命

(合衆國際社具魯特九日電)正當哈威總統在人馬士革與叙利 黎巴嫩危機時,敵對派系問三在東貝魯特徵生小規模戰爭 新方指出:效忠奧恩將軍的部隊與黎巴嫩電民防兵控制的海岛 務巴城總統阿薩特舉行會談。消息指出:哈威會要求叙利亞預助在貝魯 發巴城總統阿薩特舉行會談。消息指出:哈威會要求叙利亞預助在貝魯 發巴城總統阿薩特舉行會談。消息指出:哈威會要求叙利亞預助在貝魯 發巴城總統阿薩特舉行會談。消息指出:哈威會要求叙利亞預助在貝魯 發巴城總統阿薩特舉行會談。消息指出:哈威會要求叙利亞預助在貝魯 發巴城總統阿薩特舉行會談。消息指出:哈威會要求叙利亞預助在貝魯 與巴城總統阿薩特舉行會談。消息指出:哈威會要求叙利亞預助在貝魯 與巴城總統阿薩特舉行會談。消息指出:哈威會要求叙利亞預助在貝魯 與巴城總統阿薩特舉行會談。消息指出:哈威會要求叙利亞預助在貝魯 與巴城總統阿薩特魯 與恩將軍會多次經訴告基亞為海盜與國際社員魯 等認為沒利亞並不能提供有關協助,原因是紀權特考慮及在基督徒 內政。

東貝異教派昨炮戰日

他昨日借用中國古語「千里送鶴毛・物輕情蔥重」的故事志送給賣港成功邁向廿一世紀。香港成功邁向廿一世紀。香港,他希望所有人會繼續在各自的崗位上努力,保持各項成就,協同一(特訊)美國駐港總領事在本港工作四年多了,他在下個月便難

面積 320 呎及 552 呀 央冷氣系統,管理另 交通方便,和金相宜 有意請電: 5231637 區先生

工廠大厦招 **/ 黄竹坑業發街12號松栢** 

3000餘呎 《柴灣豐業街 2 號楊耀松》 大厦2000餘呎起 曾塘大業街34號楊繼松3 大厦3000餘呎起另地下4

適合空運及輕重工業 **洽租精體**:5438960

學助量教 報日

備成山雲总在員警批大▼

食

身

港會花花對豐 組足球移師港會場夜海

盟

瓦

最高 蘭高 居第 調查報告 消費城

美國商 公司

美蘇棋壇

泰后盃

哥

票價:150元、120元、80元、50元及30元。

香港萬得

美國家庭生活體驗升學計劃

 Study in a US public high school; • Live with an American family • Be a Cultural Ambassador

: August 90 to June 91 Duration : Students aged 15-18 (E3 to 1.6 students) 1 ligibility Program fees: 4800 USD (covers 1 year tuition, boarding and round trip tickets from HK to USA) Deadline for application: 19 May 90

An intercultural student exchange program sponsored by the AHS scholarship boundation For more information please call 725 3868

山中學什么與關學 322 Hong Kong Overseas Studies Centre (長沙灣地鐵站元州邨出口)

-2.8

-20

-20

初步已達二百多萬平方碼。現時巴基斯坦掃亞布司斯比較快宜一些,便權城少,最近恢復增加,除了購買中國人陸產品之外,又購買巴華權有匹預消息:南韓商家透過本港在匹預購買中國大陸權胚布以數量亦有相當。 以亦有相當。 (特訊)南韓商家來港購買布匹恢復增加,除了購買巴基斯坦棉胚布。由於巴基斯坦、部分棉胚布較為適合南韓買賣數量,有相當。

14, 625 :

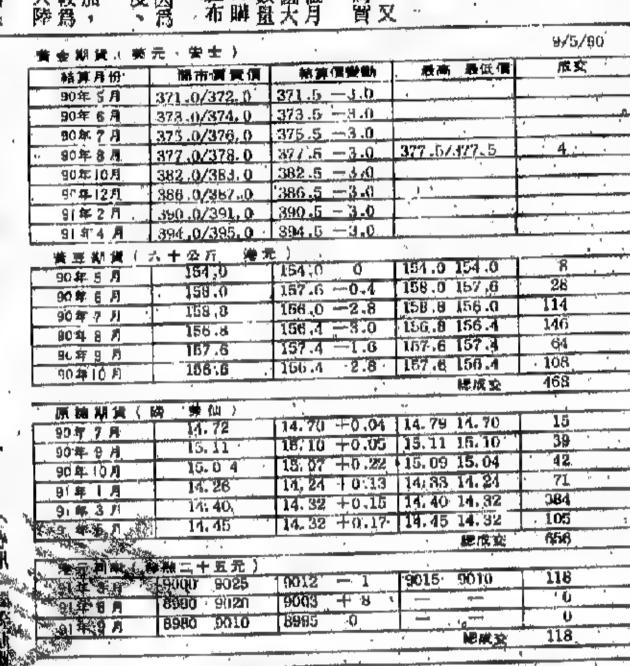
6.625

港針繼漂染收費率口

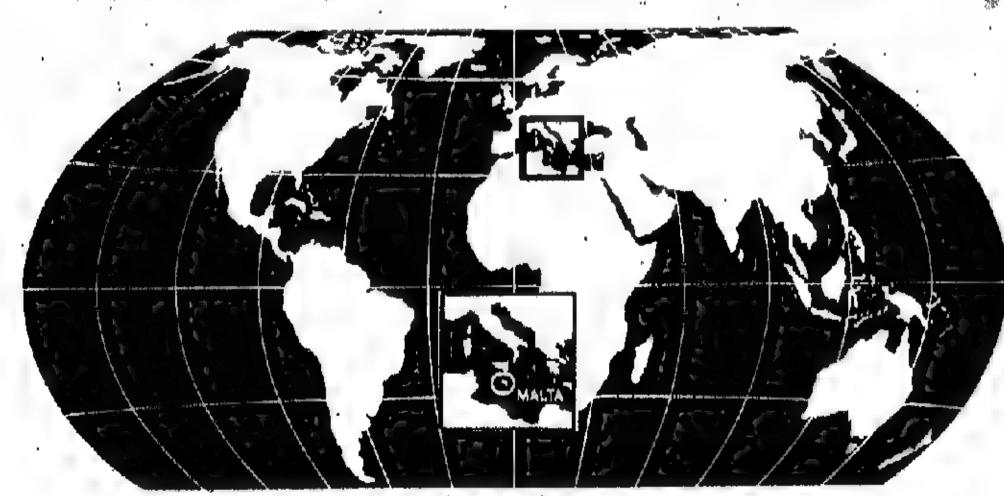


壓拋到受續値兌地各在元美

港元拆息 受到壓 美電市勢回軟



| 美夏 一颗    | 市                                            | 收 市           | 升,                                        |
|----------|----------------------------------------------|---------------|-------------------------------------------|
| カール・金    | 3447                                         | 3440          | 24                                        |
| 期金(6)月   | 373.5                                        | 373.5         | 3                                         |
| 本地倫敦金    | 370.3/0.8                                    | 369.5/0       | -2.                                       |
| # 金      | 3740                                         | 3740          | . —                                       |
| 飾 白 金    | 4900                                         | 4900          | · —                                       |
| 白線       | 390                                          | 390           | - 2                                       |
| 3斯 . 另6  | <b>美</b>                                     | 黄出            | 升                                         |
| 75 10 20 | 3435                                         | 3445          | A. C. |
| 富格林      | 2850                                         | 2880          | 20                                        |
| 金 概念集    | 3000                                         | 3010          | -20                                       |
| 鴻運金      | 3000                                         | 3010          | -20                                       |
|          | 3000                                         | 3010          | -20                                       |
| 銀條(十両)   | 486                                          | 492           |                                           |
|          | A CONTRACTOR OF THE PERSON NAMED IN COLUMN 1 | <b>阿腿公司提供</b> | ŧ                                         |



## 船務公司……信託基金" 可獲下列裨益:

- ●最任地即位置,
- ●較廉宜之經營成本,
- ●低标制:支免稅優惠,
- ●事業人材濟濟,加上其展好 教育及操與語員工充足。

及其他好處,不勝枚舉……

在馬爾他閣下之公司可在完善的環境下臻至最佳的業績 欲知詳情, 請逕向下列地址聯絡。

MESA

MALTA INTERNATIONAL BUSINESS AUTHORITY Palazzo Spinola, P.O. Box St. Julians 29, Malta. Tel: (+356) 319055 Fax: (+356) 336851 Telex: 1692 MIBA MW

國際公

過去四退公司在古過去四退公司在古

美元

地位無

須懷疑

標新

哪一個國家可以抵當?首先,一個快定性的條理實論據的,無非「想當然」而已。 國際經濟中的領導地包的想法和說法,都是缺國際經濟中的領導地包的想法和說法,都是缺國際經濟中的領導地包的想法和說法,都是缺

了 ·

US

九九一)年九十七國民華中

**購羅馬土地發展計劃其** 

利率從八十 - 至尾市短期票據拍 八四厘城争 **原學二個兩** 

的,所以,當其發裝了不明收價。你的股份,其基礎却是十分脆弱。如是,這麼的一種「炒」起

四有道察大的开幅,無怪平市場 大有議頭,而在五月份更是氣勢 大有議頭,而在五月份更是氣勢 大有議頭,而在五月份更是氣勢 於平」的市勢仍差 的事。 與起墨铁 的事。

彩星」成市 場熱 是與少家有關,一些人市的無 之資產淨值及盈利學值,自然是 之資產淨值及盈利學值,自然是 之資產淨值及盈利學值,自然是 之資產淨值及盈利學值,自然是 一個有價值的投資 以納,自然是一項有價值的投資 以納,自然是一項有價值的投資 以納,自然是一項有價值的投資 以納,自然是一項有價值的投資 一個數,那麼,在市場中趁低 一個數,那麼,在市場中趁低 PH 話題

景場 額否?持

漁農處將

已列瀕臨絕種

時會被檢查,為發展的歌五萬元及人出來点的個案有編加,漁農處提醒

通過分配

型 改委會通 程撥款 分配 過

會進協務服士人智弱 廿祝慶 五 持主聯人头兩治勵彭信奕衞 嘉行學韻松埔大

行月立務 一 進 准 建

一萬七つ

十個攤包响應義賣,並於七月一日、午四年在成準度的應義賣,並於七月一日、午四期不住成學校,屋房互委會鑿川,轉款形式與外流金占萬色相同,同時,並請官方首與公益金占萬色相同,同時,並請官方首與公益金占萬色相同,同時,並於此難安所屬起步,直至馬鞍山對安川等,

博愛醫院籌募擴展經費 舉辦籌款活動設獎鼓勵 即受香業,這個時會,無限銘感。(君) 一一、中學可用解釈成功,基策量力,發揚高,十二的士勇會,此劃及學校踴躍等。 全型進品由本港著名旅行社贊助。全型進品由本港著名旅行社贊助。 空電上名澳門 天免费旅遊。

博愛月 泰冠會副 國軍; 屋山 大名 委員

葉文輝讚鄉親團結 立法局議員劉皇發戴展華主頒證書 物語、心理、小雅會方致送 份禮等所以底,小雅會方則以上任主席許勝元意品,他會方則以上任主席許勝元意品,他會方則以上任主席許勝元意品,他會方則以上任主席許勝元數量被及戴展華兩議員主持頒格來在各選區投票。 同鄉聯會就 **鄧志良、楊緘照、陳湖清、温鳴阜區議員陶鑑籌、趙玉全、鄧台樓、趙磯聲有:太平紳士梁小發、** 主席致詞 **秉承宗旨謀取福利** 

個重要的橋 作, 尤為著 數本, 對敬者

任重要角色,一种一种管理事務的與管理事務的



增城

△庸力投資

五月十八月宣佈宋五月十二月宣作。

公司消

息

2953.58

2954.70

2953, 39

2950, 48

2946, 48

2946, 75

2941.382938, 41

2933, 18

2937.41

2930, 24

-23,34

2932, 43

2934, 94

2935.96

前收

10:15AM

10:30AM

10:45AM

11:00AM

11:15AM

11:30AM

11:45AM

12": 15PM

12:30PM

變動(點

2:45PM

3:00PM

3:15PM

12:00

8948.49

證監

會促

表

白嘉度強調幣

市條例不足

購羅馬土地發展計劃其

奔達

獨

委會研究

中期股息。在建富財務顧問

喻買賣該公司股份須力董事會亦已决定現階段

不宜 (特無)實 (特無)實 (特無)實

日

TZ 1486微型元件,推出顾录常腦(INTC)的38-1和至百分之六十六。 和至百分之六十六。 所選腦可望年中推出 「強些可以兼容萬國亞 元件,推田爾舜新根型 「C)的83-MEGA 「C)的83-MEGA 國際

報等。 贴七。 年同期的三十 旅客飛行哩數 加工航

過去四處公司交通去四處公司交

要角色,市民們選手民們選手有重

6.脚不當局無當由扦萬利率度5四厘,與分析家預期陷合。次元三年期債券推出反應熱烈 (两大中男、遠期債券拍 一像四千四百十二美仙-升 彩星

」成

市

熱

門

話題

至尾市短切果球拍

THE APPLICATION OF THE PROPERTY OF THE PROPERT

通期利率從八種進好。在連厂大日後

八四

, 崖期二, 會略

港股市續反覆偏

**経頭蓋月九日窓:紅西城股市 紀西隣股止跌回升** 

百分四十點五權益。計劃完成後,將直接

利電訊去年度業績

損近

千五百萬

9.94%

+ 19.78%

-1- 18.07%

+ 16.02% + 7.89% - 5.59%

以作得吸引及挽留員工業公債金計劃的驚要・公会司出現人才嚴重流失

軟

及僱員回時受惠。」 及僱員回時受惠。」 及僱員回時受惠。」 及僱員同時受惠。」 及僱員同時受惠。」 是是是其現行公積金 他們,以則提

至十一日上平夏图 安东王司用: 一年馬最困難之於衛戰至八年十一為五百寧七萬八千元 - 年馬最困難之於職至八年十一為五百寧七萬八千元 - 年馬最困難之於職等之為,於東應佔從利。 董事會建議不派發末期息。 董事會建議不派發末期息。 罗有非經常性項目溢利近三千萬

富地產去年度

公司名稱 實力國際 海嘉實業

羅氏國際 明仁企業 華原馨國際

上日收市 0.95

1.76 0.73

1.98

2.65

2,275

10.90

1.62

金成高角层基 制造亦可随着 其一,以配合 以配合 以配合 以配合

的經濟而有效的方法。 個員流失率與止達到百 個員流失率與止達到百 個員流失率與止達到百 學大相出:「每年

2.46

大市尚

以上, 以二九四二 以二九四二 所 生十二元 八角 生十二元 八角 生十二元 八角 生十二元 

**志正國際近年業績頗反** 

伽重要的橋作、尤為著作、尤為著一對敬者

粉苦功高、亦獲會方致送一份禮勢苦功高、亦獲會方致送一份禮意品,而會方則以上任主席許勝元念品,而會方則以上任主席許勝元念品,而會方則以上任主席許勝元為聯審任各選區投票。

鄉志良、楊納県、陳湖清、温瑞玲區議員陶鑑籌、趙玉金、鄧介偲、臨議員陶鑑籌、趙玉金、鄧介偲、曹機慶者有;太平紳士梁水發、

| <del>31</del> 8% . | 升铁次序        | . 成女皇                                                                                                                                                                                                                                                                                                                                                                                                                                                                                                                                                                                                                                                                                                                                                                                                                                                                                                                                                                                                                                                                                                                                                                                                                                                                                                                                                                                                                                                                                                                                                                                                                                                                                                                                                                                                                                                                                                                                                                                                                                                                                                                          | 洛價%                                   | 行使做                   |
|--------------------|-------------|--------------------------------------------------------------------------------------------------------------------------------------------------------------------------------------------------------------------------------------------------------------------------------------------------------------------------------------------------------------------------------------------------------------------------------------------------------------------------------------------------------------------------------------------------------------------------------------------------------------------------------------------------------------------------------------------------------------------------------------------------------------------------------------------------------------------------------------------------------------------------------------------------------------------------------------------------------------------------------------------------------------------------------------------------------------------------------------------------------------------------------------------------------------------------------------------------------------------------------------------------------------------------------------------------------------------------------------------------------------------------------------------------------------------------------------------------------------------------------------------------------------------------------------------------------------------------------------------------------------------------------------------------------------------------------------------------------------------------------------------------------------------------------------------------------------------------------------------------------------------------------------------------------------------------------------------------------------------------------------------------------------------------------------------------------------------------------------------------------------------------------|---------------------------------------|-----------------------|
| -160               | ***         | 11.380                                                                                                                                                                                                                                                                                                                                                                                                                                                                                                                                                                                                                                                                                                                                                                                                                                                                                                                                                                                                                                                                                                                                                                                                                                                                                                                                                                                                                                                                                                                                                                                                                                                                                                                                                                                                                                                                                                                                                                                                                                                                                                                         | 15.94                                 | 8.00                  |
|                    | '           |                                                                                                                                                                                                                                                                                                                                                                                                                                                                                                                                                                                                                                                                                                                                                                                                                                                                                                                                                                                                                                                                                                                                                                                                                                                                                                                                                                                                                                                                                                                                                                                                                                                                                                                                                                                                                                                                                                                                                                                                                                                                                                                                | 20.96                                 | 8 76                  |
| 4 4 5018-1         | -           |                                                                                                                                                                                                                                                                                                                                                                                                                                                                                                                                                                                                                                                                                                                                                                                                                                                                                                                                                                                                                                                                                                                                                                                                                                                                                                                                                                                                                                                                                                                                                                                                                                                                                                                                                                                                                                                                                                                                                                                                                                                                                                                                |                                       |                       |
|                    | ]           | the second secon | 35 34                                 | 1 18                  |
| 0.050              | 777         | 190,200                                                                                                                                                                                                                                                                                                                                                                                                                                                                                                                                                                                                                                                                                                                                                                                                                                                                                                                                                                                                                                                                                                                                                                                                                                                                                                                                                                                                                                                                                                                                                                                                                                                                                                                                                                                                                                                                                                                                                                                                                                                                                                                        | 29 40                                 | 287                   |
|                    | r           |                                                                                                                                                                                                                                                                                                                                                                                                                                                                                                                                                                                                                                                                                                                                                                                                                                                                                                                                                                                                                                                                                                                                                                                                                                                                                                                                                                                                                                                                                                                                                                                                                                                                                                                                                                                                                                                                                                                                                                                                                                                                                                                                | 274                                   | 375                   |
|                    | "           | 5 71 B 000                                                                                                                                                                                                                                                                                                                                                                                                                                                                                                                                                                                                                                                                                                                                                                                                                                                                                                                                                                                                                                                                                                                                                                                                                                                                                                                                                                                                                                                                                                                                                                                                                                                                                                                                                                                                                                                                                                                                                                                                                                                                                                                     | 5 83                                  | 0.69                  |
| 1 0 005 j          | 1.48        | 5,718,000<br>1,662,000                                                                                                                                                                                                                                                                                                                                                                                                                                                                                                                                                                                                                                                                                                                                                                                                                                                                                                                                                                                                                                                                                                                                                                                                                                                                                                                                                                                                                                                                                                                                                                                                                                                                                                                                                                                                                                                                                                                                                                                                                                                                                                         | 2.92                                  | 0.71                  |
| 100.0              | 196<br>64   | 4 000                                                                                                                                                                                                                                                                                                                                                                                                                                                                                                                                                                                                                                                                                                                                                                                                                                                                                                                                                                                                                                                                                                                                                                                                                                                                                                                                                                                                                                                                                                                                                                                                                                                                                                                                                                                                                                                                                                                                                                                                                                                                                                                          | 53.04                                 | 3 62                  |
| 0 00 <u>0</u>      |             | 4 000                                                                                                                                                                                                                                                                                                                                                                                                                                                                                                                                                                                                                                                                                                                                                                                                                                                                                                                                                                                                                                                                                                                                                                                                                                                                                                                                                                                                                                                                                                                                                                                                                                                                                                                                                                                                                                                                                                                                                                                                                                                                                                                          | , 55,04                               | harden - 1 an en pro- |
| -0,010             | -19         | 80,000                                                                                                                                                                                                                                                                                                                                                                                                                                                                                                                                                                                                                                                                                                                                                                                                                                                                                                                                                                                                                                                                                                                                                                                                                                                                                                                                                                                                                                                                                                                                                                                                                                                                                                                                                                                                                                                                                                                                                                                                                                                                                                                         | 47.88                                 | 0.90                  |
| 0 008              | - 8         | 500,000                                                                                                                                                                                                                                                                                                                                                                                                                                                                                                                                                                                                                                                                                                                                                                                                                                                                                                                                                                                                                                                                                                                                                                                                                                                                                                                                                                                                                                                                                                                                                                                                                                                                                                                                                                                                                                                                                                                                                                                                                                                                                                                        | ř-,                                   | 0 93                  |
|                    |             |                                                                                                                                                                                                                                                                                                                                                                                                                                                                                                                                                                                                                                                                                                                                                                                                                                                                                                                                                                                                                                                                                                                                                                                                                                                                                                                                                                                                                                                                                                                                                                                                                                                                                                                                                                                                                                                                                                                                                                                                                                                                                                                                |                                       | H                     |
|                    |             |                                                                                                                                                                                                                                                                                                                                                                                                                                                                                                                                                                                                                                                                                                                                                                                                                                                                                                                                                                                                                                                                                                                                                                                                                                                                                                                                                                                                                                                                                                                                                                                                                                                                                                                                                                                                                                                                                                                                                                                                                                                                                                                                | 13,70                                 | 20 12                 |
|                    |             |                                                                                                                                                                                                                                                                                                                                                                                                                                                                                                                                                                                                                                                                                                                                                                                                                                                                                                                                                                                                                                                                                                                                                                                                                                                                                                                                                                                                                                                                                                                                                                                                                                                                                                                                                                                                                                                                                                                                                                                                                                                                                                                                |                                       |                       |
|                    |             |                                                                                                                                                                                                                                                                                                                                                                                                                                                                                                                                                                                                                                                                                                                                                                                                                                                                                                                                                                                                                                                                                                                                                                                                                                                                                                                                                                                                                                                                                                                                                                                                                                                                                                                                                                                                                                                                                                                                                                                                                                                                                                                                | 20.07                                 | 2 5 5                 |
|                    |             | 00,000                                                                                                                                                                                                                                                                                                                                                                                                                                                                                                                                                                                                                                                                                                                                                                                                                                                                                                                                                                                                                                                                                                                                                                                                                                                                                                                                                                                                                                                                                                                                                                                                                                                                                                                                                                                                                                                                                                                                                                                                                                                                                                                         | 9 15                                  | 1.79                  |
| -0.010             | 1-24        | 548 000<br>20 200                                                                                                                                                                                                                                                                                                                                                                                                                                                                                                                                                                                                                                                                                                                                                                                                                                                                                                                                                                                                                                                                                                                                                                                                                                                                                                                                                                                                                                                                                                                                                                                                                                                                                                                                                                                                                                                                                                                                                                                                                                                                                                              | 8 05<br>6 67                          | 3 12                  |
| _0.200             | 66          | 4 094                                                                                                                                                                                                                                                                                                                                                                                                                                                                                                                                                                                                                                                                                                                                                                                                                                                                                                                                                                                                                                                                                                                                                                                                                                                                                                                                                                                                                                                                                                                                                                                                                                                                                                                                                                                                                                                                                                                                                                                                                                                                                                                          | 1 30                                  | 13 47                 |
| -0.200             | -00         | 230                                                                                                                                                                                                                                                                                                                                                                                                                                                                                                                                                                                                                                                                                                                                                                                                                                                                                                                                                                                                                                                                                                                                                                                                                                                                                                                                                                                                                                                                                                                                                                                                                                                                                                                                                                                                                                                                                                                                                                                                                                                                                                                            | 6 D6                                  | 14 11                 |
|                    |             |                                                                                                                                                                                                                                                                                                                                                                                                                                                                                                                                                                                                                                                                                                                                                                                                                                                                                                                                                                                                                                                                                                                                                                                                                                                                                                                                                                                                                                                                                                                                                                                                                                                                                                                                                                                                                                                                                                                                                                                                                                                                                                                                | 32 86                                 | 1.12                  |
| +0 QP              | 4 15        | 5,514,000                                                                                                                                                                                                                                                                                                                                                                                                                                                                                                                                                                                                                                                                                                                                                                                                                                                                                                                                                                                                                                                                                                                                                                                                                                                                                                                                                                                                                                                                                                                                                                                                                                                                                                                                                                                                                                                                                                                                                                                                                                                                                                                      | 17,55                                 | 4,56                  |
| - 45               |             | 452 000                                                                                                                                                                                                                                                                                                                                                                                                                                                                                                                                                                                                                                                                                                                                                                                                                                                                                                                                                                                                                                                                                                                                                                                                                                                                                                                                                                                                                                                                                                                                                                                                                                                                                                                                                                                                                                                                                                                                                                                                                                                                                                                        | 210 99                                | 1.41                  |
| · - ·              |             | 198,000                                                                                                                                                                                                                                                                                                                                                                                                                                                                                                                                                                                                                                                                                                                                                                                                                                                                                                                                                                                                                                                                                                                                                                                                                                                                                                                                                                                                                                                                                                                                                                                                                                                                                                                                                                                                                                                                                                                                                                                                                                                                                                                        | 40.91                                 | 0.64                  |
|                    |             | a b model to receive a profess dan translate                                                                                                                                                                                                                                                                                                                                                                                                                                                                                                                                                                                                                                                                                                                                                                                                                                                                                                                                                                                                                                                                                                                                                                                                                                                                                                                                                                                                                                                                                                                                                                                                                                                                                                                                                                                                                                                                                                                                                                                                                                                                                   |                                       |                       |
|                    |             |                                                                                                                                                                                                                                                                                                                                                                                                                                                                                                                                                                                                                                                                                                                                                                                                                                                                                                                                                                                                                                                                                                                                                                                                                                                                                                                                                                                                                                                                                                                                                                                                                                                                                                                                                                                                                                                                                                                                                                                                                                                                                                                                | AP 1991 - H H AN                      |                       |
| 10.005             | 2761        | 660,088                                                                                                                                                                                                                                                                                                                                                                                                                                                                                                                                                                                                                                                                                                                                                                                                                                                                                                                                                                                                                                                                                                                                                                                                                                                                                                                                                                                                                                                                                                                                                                                                                                                                                                                                                                                                                                                                                                                                                                                                                                                                                                                        | 57 68                                 | 1.69                  |
| 9999<br>           |             | 500,000                                                                                                                                                                                                                                                                                                                                                                                                                                                                                                                                                                                                                                                                                                                                                                                                                                                                                                                                                                                                                                                                                                                                                                                                                                                                                                                                                                                                                                                                                                                                                                                                                                                                                                                                                                                                                                                                                                                                                                                                                                                                                                                        | 48.38                                 | 0.90                  |
| -0000              | 31          | 97,000                                                                                                                                                                                                                                                                                                                                                                                                                                                                                                                                                                                                                                                                                                                                                                                                                                                                                                                                                                                                                                                                                                                                                                                                                                                                                                                                                                                                                                                                                                                                                                                                                                                                                                                                                                                                                                                                                                                                                                                                                                                                                                                         | 6 49                                  | 5.37<br>4.10          |
| -0.010             | 1 2 4       | 886 000                                                                                                                                                                                                                                                                                                                                                                                                                                                                                                                                                                                                                                                                                                                                                                                                                                                                                                                                                                                                                                                                                                                                                                                                                                                                                                                                                                                                                                                                                                                                                                                                                                                                                                                                                                                                                                                                                                                                                                                                                                                                                                                        | 58 /3                                 | 3 73                  |
| •                  |             | 1,140 000                                                                                                                                                                                                                                                                                                                                                                                                                                                                                                                                                                                                                                                                                                                                                                                                                                                                                                                                                                                                                                                                                                                                                                                                                                                                                                                                                                                                                                                                                                                                                                                                                                                                                                                                                                                                                                                                                                                                                                                                                                                                                                                      | 161                                   | 1 22                  |
| 13018              | 1.1         | 37 646 000                                                                                                                                                                                                                                                                                                                                                                                                                                                                                                                                                                                                                                                                                                                                                                                                                                                                                                                                                                                                                                                                                                                                                                                                                                                                                                                                                                                                                                                                                                                                                                                                                                                                                                                                                                                                                                                                                                                                                                                                                                                                                                                     | 3 82                                  | 1 26                  |
| 0.015              | 26          | 176 000                                                                                                                                                                                                                                                                                                                                                                                                                                                                                                                                                                                                                                                                                                                                                                                                                                                                                                                                                                                                                                                                                                                                                                                                                                                                                                                                                                                                                                                                                                                                                                                                                                                                                                                                                                                                                                                                                                                                                                                                                                                                                                                        | 33 15                                 | 1 18                  |
| orak               | 35,         | 410 000                                                                                                                                                                                                                                                                                                                                                                                                                                                                                                                                                                                                                                                                                                                                                                                                                                                                                                                                                                                                                                                                                                                                                                                                                                                                                                                                                                                                                                                                                                                                                                                                                                                                                                                                                                                                                                                                                                                                                                                                                                                                                                                        | 109 62                                | 1.02                  |
| 1.0 0.05           | 1 18        | 000 011,                                                                                                                                                                                                                                                                                                                                                                                                                                                                                                                                                                                                                                                                                                                                                                                                                                                                                                                                                                                                                                                                                                                                                                                                                                                                                                                                                                                                                                                                                                                                                                                                                                                                                                                                                                                                                                                                                                                                                                                                                                                                                                                       | 182 29                                | U31                   |
| €0€15              | 1.22        | 518,200                                                                                                                                                                                                                                                                                                                                                                                                                                                                                                                                                                                                                                                                                                                                                                                                                                                                                                                                                                                                                                                                                                                                                                                                                                                                                                                                                                                                                                                                                                                                                                                                                                                                                                                                                                                                                                                                                                                                                                                                                                                                                                                        | 19 53                                 | 1 53                  |
| 0.001              | 133         | 1,968,800                                                                                                                                                                                                                                                                                                                                                                                                                                                                                                                                                                                                                                                                                                                                                                                                                                                                                                                                                                                                                                                                                                                                                                                                                                                                                                                                                                                                                                                                                                                                                                                                                                                                                                                                                                                                                                                                                                                                                                                                                                                                                                                      | 0.24                                  | 1.39                  |
| * D C 05           | 1           | 8,044,691                                                                                                                                                                                                                                                                                                                                                                                                                                                                                                                                                                                                                                                                                                                                                                                                                                                                                                                                                                                                                                                                                                                                                                                                                                                                                                                                                                                                                                                                                                                                                                                                                                                                                                                                                                                                                                                                                                                                                                                                                                                                                                                      | 2170                                  | 0.29                  |
|                    |             | 346,264                                                                                                                                                                                                                                                                                                                                                                                                                                                                                                                                                                                                                                                                                                                                                                                                                                                                                                                                                                                                                                                                                                                                                                                                                                                                                                                                                                                                                                                                                                                                                                                                                                                                                                                                                                                                                                                                                                                                                                                                                                                                                                                        | 12.26                                 | 0.56<br>0.76          |
|                    |             | 730,000<br>3 060,000                                                                                                                                                                                                                                                                                                                                                                                                                                                                                                                                                                                                                                                                                                                                                                                                                                                                                                                                                                                                                                                                                                                                                                                                                                                                                                                                                                                                                                                                                                                                                                                                                                                                                                                                                                                                                                                                                                                                                                                                                                                                                                           | 039                                   | 194                   |
| 0.04               | (d)         | 600,000                                                                                                                                                                                                                                                                                                                                                                                                                                                                                                                                                                                                                                                                                                                                                                                                                                                                                                                                                                                                                                                                                                                                                                                                                                                                                                                                                                                                                                                                                                                                                                                                                                                                                                                                                                                                                                                                                                                                                                                                                                                                                                                        | 5250                                  | ) 5 <u>5</u>          |
| ~0 003             | 9 .         | 39,020,000                                                                                                                                                                                                                                                                                                                                                                                                                                                                                                                                                                                                                                                                                                                                                                                                                                                                                                                                                                                                                                                                                                                                                                                                                                                                                                                                                                                                                                                                                                                                                                                                                                                                                                                                                                                                                                                                                                                                                                                                                                                                                                                     | 4 44                                  | 0 34                  |
|                    | -           | 20,010,000                                                                                                                                                                                                                                                                                                                                                                                                                                                                                                                                                                                                                                                                                                                                                                                                                                                                                                                                                                                                                                                                                                                                                                                                                                                                                                                                                                                                                                                                                                                                                                                                                                                                                                                                                                                                                                                                                                                                                                                                                                                                                                                     | - '''                                 | 7 7 7                 |
|                    |             | · -                                                                                                                                                                                                                                                                                                                                                                                                                                                                                                                                                                                                                                                                                                                                                                                                                                                                                                                                                                                                                                                                                                                                                                                                                                                                                                                                                                                                                                                                                                                                                                                                                                                                                                                                                                                                                                                                                                                                                                                                                                                                                                                            | 1                                     | , ,                   |
|                    |             |                                                                                                                                                                                                                                                                                                                                                                                                                                                                                                                                                                                                                                                                                                                                                                                                                                                                                                                                                                                                                                                                                                                                                                                                                                                                                                                                                                                                                                                                                                                                                                                                                                                                                                                                                                                                                                                                                                                                                                                                                                                                                                                                |                                       |                       |
|                    |             |                                                                                                                                                                                                                                                                                                                                                                                                                                                                                                                                                                                                                                                                                                                                                                                                                                                                                                                                                                                                                                                                                                                                                                                                                                                                                                                                                                                                                                                                                                                                                                                                                                                                                                                                                                                                                                                                                                                                                                                                                                                                                                                                |                                       |                       |
|                    | 1           |                                                                                                                                                                                                                                                                                                                                                                                                                                                                                                                                                                                                                                                                                                                                                                                                                                                                                                                                                                                                                                                                                                                                                                                                                                                                                                                                                                                                                                                                                                                                                                                                                                                                                                                                                                                                                                                                                                                                                                                                                                                                                                                                |                                       |                       |
|                    |             |                                                                                                                                                                                                                                                                                                                                                                                                                                                                                                                                                                                                                                                                                                                                                                                                                                                                                                                                                                                                                                                                                                                                                                                                                                                                                                                                                                                                                                                                                                                                                                                                                                                                                                                                                                                                                                                                                                                                                                                                                                                                                                                                |                                       |                       |
|                    |             | SEL TAVES CH                                                                                                                                                                                                                                                                                                                                                                                                                                                                                                                                                                                                                                                                                                                                                                                                                                                                                                                                                                                                                                                                                                                                                                                                                                                                                                                                                                                                                                                                                                                                                                                                                                                                                                                                                                                                                                                                                                                                                                                                                                                                                                                   | · · · · · · · · · · · · · · · · · · · | 現債事率                  |
| 升                  | (大 <u>)</u> | 政次序 成                                                                                                                                                                                                                                                                                                                                                                                                                                                                                                                                                                                                                                                                                                                                                                                                                                                                                                                                                                                                                                                                                                                                                                                                                                                                                                                                                                                                                                                                                                                                                                                                                                                                                                                                                                                                                                                                                                                                                                                                                                                                                                                          |                                       | <b>美国基本</b>           |
|                    |             |                                                                                                                                                                                                                                                                                                                                                                                                                                                                                                                                                                                                                                                                                                                                                                                                                                                                                                                                                                                                                                                                                                                                                                                                                                                                                                                                                                                                                                                                                                                                                                                                                                                                                                                                                                                                                                                                                                                                                                                                                                                                                                                                |                                       |                       |
|                    | ALTO COLOR  | A CONTRACT OF A                                                                                                                                                                                                                                                                                                                                                                                                                                                                                                                                                                                                                                                                                                                                                                                                                                                                                                                                                                                                                                                                                                                                                                                                                                                                                                                                                                                                                                                                                                                                                                                                                                                                                                                                                                                                                                                                                                                                                                                                                                                                                                                | Walter Walter                         | 8 33                  |
|                    |             |                                                                                                                                                                                                                                                                                                                                                                                                                                                                                                                                                                                                                                                                                                                                                                                                                                                                                                                                                                                                                                                                                                                                                                                                                                                                                                                                                                                                                                                                                                                                                                                                                                                                                                                                                                                                                                                                                                                                                                                                                                                                                                                                | Ť                                     | 8 91                  |
|                    |             |                                                                                                                                                                                                                                                                                                                                                                                                                                                                                                                                                                                                                                                                                                                                                                                                                                                                                                                                                                                                                                                                                                                                                                                                                                                                                                                                                                                                                                                                                                                                                                                                                                                                                                                                                                                                                                                                                                                                                                                                                                                                                                                                |                                       | 5 10                  |
| 0.50               |             | †                                                                                                                                                                                                                                                                                                                                                                                                                                                                                                                                                                                                                                                                                                                                                                                                                                                                                                                                                                                                                                                                                                                                                                                                                                                                                                                                                                                                                                                                                                                                                                                                                                                                                                                                                                                                                                                                                                                                                                                                                                                                                                                              |                                       | g Ji                  |
| ****               |             | -                                                                                                                                                                                                                                                                                                                                                                                                                                                                                                                                                                                                                                                                                                                                                                                                                                                                                                                                                                                                                                                                                                                                                                                                                                                                                                                                                                                                                                                                                                                                                                                                                                                                                                                                                                                                                                                                                                                                                                                                                                                                                                                              | 1,60,0                                | 7.59                  |
|                    |             | 1                                                                                                                                                                                                                                                                                                                                                                                                                                                                                                                                                                                                                                                                                                                                                                                                                                                                                                                                                                                                                                                                                                                                                                                                                                                                                                                                                                                                                                                                                                                                                                                                                                                                                                                                                                                                                                                                                                                                                                                                                                                                                                                              | ,                                     |                       |
| 1                  |             | 1 ,,                                                                                                                                                                                                                                                                                                                                                                                                                                                                                                                                                                                                                                                                                                                                                                                                                                                                                                                                                                                                                                                                                                                                                                                                                                                                                                                                                                                                                                                                                                                                                                                                                                                                                                                                                                                                                                                                                                                                                                                                                                                                                                                           |                                       |                       |
|                    |             |                                                                                                                                                                                                                                                                                                                                                                                                                                                                                                                                                                                                                                                                                                                                                                                                                                                                                                                                                                                                                                                                                                                                                                                                                                                                                                                                                                                                                                                                                                                                                                                                                                                                                                                                                                                                                                                                                                                                                                                                                                                                                                                                |                                       |                       |

1,300

| 7         | 上  |      | 股 |      |    | 情          | 表 (一               | -)          |
|-----------|----|------|---|------|----|------------|--------------------|-------------|
| 今年<br>最高價 | 代號 | 投票名稱 |   | 上日枚市 | 最高 | <b>副使</b>  | ス<br>最後以信<br>実入 実出 | 枚市          |
|           |    |      |   |      |    | A SA SA SA |                    | property of |

日六十月四年午庚曆夏

成交金額: 1,068,014,196 866,127,989

|                                                                                                                                                                                                                                                                                                                                                                                                                                                                                                                                                                                                                                                                                                                                                                                                                                                                                                                                                                                                                                                                                                                                                                                                                                                                                                                                                                                                                                                                                                                                                                                                                                                                                                                                                                                                                                                                                                                                                                                                                                                                                                                              | 息會創                                                                                                                                                                                                                                                                                                                                                                                                                                                                                                                                                                                                                                                                                                                                                                                                                                                                                                                                                                                                                                                                                                                                                                                                                                                                                                                                                                                                                                                                                                                                                                                                                                                                                                                                                                                                                                                                                                                                                                                                                                                                                                                                                                                                                                                                                                                                                                                                                                                                                                                                                                                                                                                                                                                                                                                                                                    |                                                                                                                                                                                                                                                                                                                                                                                                                                                                                                                                                                                                                                |                                                                                                                                                                                                                                                                                                                                                                                                                                                                                                                                                                                                                                                                                                                                                                                                                                                                                                                                                                                                                                                                                                                                                                                                                                                                                                                                                                                                                                                                                                                                                                                                                                                                                                                                                                                                                                                                                                                                                                                                                                                                                                                                                                                                                                                                                                                                                                                                                                                                                                                                                                                                                                                                                                                                                                                                                                                                                                                                                                                                                                                                                                                                                                                                  | 爲恒指成                                                                                                                                                                                                                                                                                                                                                                                                                                                                                                                                                                                                                                                                                                                                                                                                                                                                                                                                                                                                                                                                                                                                                                                                                                                                                                                                                                                                                                                                                                                                                                                                                                                                                                                                                                                                                                                                                                                                                                                                                                                                                                                                                                                                                                                                                                                                                                                                                                                                                                                                                                                                                                                                                                                                                                                                                                                                                                                                                                                                                                                                                                                                                                                            | 份股                                                                                                                                                                                                                                                                                                              | ь,                                                                                                                                                                                                                                                                                                                                                                                                                                                                                                                                                                                                                                                                                                                                                                                                                                                                                                                                                                                                                                                                                                                                                                                                                                                                                                                                                                                                                                                                                                                                                                                                                                                                                                                                                                                                                                                                                                                                                                                                                                                                                                                                                                                                                                                                                                                                                                                                                                                                                                                                                                                                                                                                                                                                                                                                                                     |                                                                                                                                                                                                                                                                                                                                                                                                                                                                                                                                                                                                                                                                                                                                                                                                                                                                                                                                                                                                                                                                                                                                                                                                                                                                                                                                                                                                                                                                                                                                                                                                                                                                                                                                                                                                                                                                                                                                                                                                                                                                                                                                                                                                                                                                                                                                                                                                                                                                                                                                                                                                                                                                                                                                        |                                                                                                                                                                        | 0年 5月                                                                                                                                                                                                                                                                                                                                                                                                                                                                                                                                                                                                                                                                                                                                                                                                                                                                                                                                                                                                                                                                                                                                                                                                                                                                                                                                                                                                                                                                                                                                                                                                                                                                                                                                                                                                                                                                                                                                                                                                                                                                                                                                                                                                                                                                                                                                                                                                                                                                                                                                                                                                                                                                                                                                                                                                                                                                                                                                                                                                                         | 9日(星期                                                                                                                                                                                                                                                                                                                                                                                                                                                                                                                                                                                                                                                                                                                                                                                                                                                                                                                                                                                                                                                                                                                                                                                                                                                                                                                                                                                                                                                                                                                                                                                                                                                                                                                                                                                                                                                                                                                                                                                                                                                                                                                                                                                                                                                                                                                                                                                                                                                                                                                                                                                                | 11.<br>]三)                                                                                                                                                                                                                                                                                                                                                                                                                                                                                                                                                                                                                                                                                                                                                                                                                                                                                                                                                                                                                                                                                                                                                                                                                                                                                                                                                                                                                                                                                                                                                                                                                                                                                                                                                                                                                                                                                                                                                                                                                                                                                                                                                                                                                                                                                                                                                                                                                                                                                                                                                                                                                                                                                                                                                                                                                             | .01                                                                                                                                                                                                                                                                                                                                                                                                                                                                                                                                                                                                                                                                                                                                                                                                                                                                                                                                                                                                                                                                                                                                                                                                                                                                                                                                                                                                                                                                                                                                                                                                                                                                                                                                                                                                                                                                                                                                                                                                                                                                                                                                                                                                                                                                                                                                                                                                                                                                                                                                                                                                                                                                                                                                                                                                                                       |                                                                                                                                                                                                                                                                                                                                                                                                                                                                                                                                                                                                                                                                                                                                                                                                                                                                                                                                                                                                                                                                                                                                                                                                                                                                                                                                                                                                                                                                                                                                                                                                                                                                                                                                                                                                                                                                                                                                                                                                                                                                                                                                                                                                                                                                                                                                                                                                                                                                                                                                                                                                                                                                                                                                                                                                                                                                                                                                                                                                                                                                                                                                                                                                  |
|------------------------------------------------------------------------------------------------------------------------------------------------------------------------------------------------------------------------------------------------------------------------------------------------------------------------------------------------------------------------------------------------------------------------------------------------------------------------------------------------------------------------------------------------------------------------------------------------------------------------------------------------------------------------------------------------------------------------------------------------------------------------------------------------------------------------------------------------------------------------------------------------------------------------------------------------------------------------------------------------------------------------------------------------------------------------------------------------------------------------------------------------------------------------------------------------------------------------------------------------------------------------------------------------------------------------------------------------------------------------------------------------------------------------------------------------------------------------------------------------------------------------------------------------------------------------------------------------------------------------------------------------------------------------------------------------------------------------------------------------------------------------------------------------------------------------------------------------------------------------------------------------------------------------------------------------------------------------------------------------------------------------------------------------------------------------------------------------------------------------------|----------------------------------------------------------------------------------------------------------------------------------------------------------------------------------------------------------------------------------------------------------------------------------------------------------------------------------------------------------------------------------------------------------------------------------------------------------------------------------------------------------------------------------------------------------------------------------------------------------------------------------------------------------------------------------------------------------------------------------------------------------------------------------------------------------------------------------------------------------------------------------------------------------------------------------------------------------------------------------------------------------------------------------------------------------------------------------------------------------------------------------------------------------------------------------------------------------------------------------------------------------------------------------------------------------------------------------------------------------------------------------------------------------------------------------------------------------------------------------------------------------------------------------------------------------------------------------------------------------------------------------------------------------------------------------------------------------------------------------------------------------------------------------------------------------------------------------------------------------------------------------------------------------------------------------------------------------------------------------------------------------------------------------------------------------------------------------------------------------------------------------------------------------------------------------------------------------------------------------------------------------------------------------------------------------------------------------------------------------------------------------------------------------------------------------------------------------------------------------------------------------------------------------------------------------------------------------------------------------------------------------------------------------------------------------------------------------------------------------------------------------------------------------------------------------------------------------------|--------------------------------------------------------------------------------------------------------------------------------------------------------------------------------------------------------------------------------------------------------------------------------------------------------------------------------------------------------------------------------------------------------------------------------------------------------------------------------------------------------------------------------------------------------------------------------------------------------------------------------|--------------------------------------------------------------------------------------------------------------------------------------------------------------------------------------------------------------------------------------------------------------------------------------------------------------------------------------------------------------------------------------------------------------------------------------------------------------------------------------------------------------------------------------------------------------------------------------------------------------------------------------------------------------------------------------------------------------------------------------------------------------------------------------------------------------------------------------------------------------------------------------------------------------------------------------------------------------------------------------------------------------------------------------------------------------------------------------------------------------------------------------------------------------------------------------------------------------------------------------------------------------------------------------------------------------------------------------------------------------------------------------------------------------------------------------------------------------------------------------------------------------------------------------------------------------------------------------------------------------------------------------------------------------------------------------------------------------------------------------------------------------------------------------------------------------------------------------------------------------------------------------------------------------------------------------------------------------------------------------------------------------------------------------------------------------------------------------------------------------------------------------------------------------------------------------------------------------------------------------------------------------------------------------------------------------------------------------------------------------------------------------------------------------------------------------------------------------------------------------------------------------------------------------------------------------------------------------------------------------------------------------------------------------------------------------------------------------------------------------------------------------------------------------------------------------------------------------------------------------------------------------------------------------------------------------------------------------------------------------------------------------------------------------------------------------------------------------------------------------------------------------------------------------------------------------------------|-------------------------------------------------------------------------------------------------------------------------------------------------------------------------------------------------------------------------------------------------------------------------------------------------------------------------------------------------------------------------------------------------------------------------------------------------------------------------------------------------------------------------------------------------------------------------------------------------------------------------------------------------------------------------------------------------------------------------------------------------------------------------------------------------------------------------------------------------------------------------------------------------------------------------------------------------------------------------------------------------------------------------------------------------------------------------------------------------------------------------------------------------------------------------------------------------------------------------------------------------------------------------------------------------------------------------------------------------------------------------------------------------------------------------------------------------------------------------------------------------------------------------------------------------------------------------------------------------------------------------------------------------------------------------------------------------------------------------------------------------------------------------------------------------------------------------------------------------------------------------------------------------------------------------------------------------------------------------------------------------------------------------------------------------------------------------------------------------------------------------------------------------------------------------------------------------------------------------------------------------------------------------------------------------------------------------------------------------------------------------------------------------------------------------------------------------------------------------------------------------------------------------------------------------------------------------------------------------------------------------------------------------------------------------------------------------------------------------------------------------------------------------------------------------------------------------------------------------------------------------------------------------------------------------------------------------------------------------------------------------------------------------------------------------------------------------------------------------------------------------------------------------------------------------------------------------|-----------------------------------------------------------------------------------------------------------------------------------------------------------------------------------------------------------------------------------------------------------------------------------------------------------------|----------------------------------------------------------------------------------------------------------------------------------------------------------------------------------------------------------------------------------------------------------------------------------------------------------------------------------------------------------------------------------------------------------------------------------------------------------------------------------------------------------------------------------------------------------------------------------------------------------------------------------------------------------------------------------------------------------------------------------------------------------------------------------------------------------------------------------------------------------------------------------------------------------------------------------------------------------------------------------------------------------------------------------------------------------------------------------------------------------------------------------------------------------------------------------------------------------------------------------------------------------------------------------------------------------------------------------------------------------------------------------------------------------------------------------------------------------------------------------------------------------------------------------------------------------------------------------------------------------------------------------------------------------------------------------------------------------------------------------------------------------------------------------------------------------------------------------------------------------------------------------------------------------------------------------------------------------------------------------------------------------------------------------------------------------------------------------------------------------------------------------------------------------------------------------------------------------------------------------------------------------------------------------------------------------------------------------------------------------------------------------------------------------------------------------------------------------------------------------------------------------------------------------------------------------------------------------------------------------------------------------------------------------------------------------------------------------------------------------------------------------------------------------------------------------------------------------------|----------------------------------------------------------------------------------------------------------------------------------------------------------------------------------------------------------------------------------------------------------------------------------------------------------------------------------------------------------------------------------------------------------------------------------------------------------------------------------------------------------------------------------------------------------------------------------------------------------------------------------------------------------------------------------------------------------------------------------------------------------------------------------------------------------------------------------------------------------------------------------------------------------------------------------------------------------------------------------------------------------------------------------------------------------------------------------------------------------------------------------------------------------------------------------------------------------------------------------------------------------------------------------------------------------------------------------------------------------------------------------------------------------------------------------------------------------------------------------------------------------------------------------------------------------------------------------------------------------------------------------------------------------------------------------------------------------------------------------------------------------------------------------------------------------------------------------------------------------------------------------------------------------------------------------------------------------------------------------------------------------------------------------------------------------------------------------------------------------------------------------------------------------------------------------------------------------------------------------------------------------------------------------------------------------------------------------------------------------------------------------------------------------------------------------------------------------------------------------------------------------------------------------------------------------------------------------------------------------------------------------------------------------------------------------------------------------------------------------------|------------------------------------------------------------------------------------------------------------------------------------------------------------------------|-------------------------------------------------------------------------------------------------------------------------------------------------------------------------------------------------------------------------------------------------------------------------------------------------------------------------------------------------------------------------------------------------------------------------------------------------------------------------------------------------------------------------------------------------------------------------------------------------------------------------------------------------------------------------------------------------------------------------------------------------------------------------------------------------------------------------------------------------------------------------------------------------------------------------------------------------------------------------------------------------------------------------------------------------------------------------------------------------------------------------------------------------------------------------------------------------------------------------------------------------------------------------------------------------------------------------------------------------------------------------------------------------------------------------------------------------------------------------------------------------------------------------------------------------------------------------------------------------------------------------------------------------------------------------------------------------------------------------------------------------------------------------------------------------------------------------------------------------------------------------------------------------------------------------------------------------------------------------------------------------------------------------------------------------------------------------------------------------------------------------------------------------------------------------------------------------------------------------------------------------------------------------------------------------------------------------------------------------------------------------------------------------------------------------------------------------------------------------------------------------------------------------------------------------------------------------------------------------------------------------------------------------------------------------------------------------------------------------------------------------------------------------------------------------------------------------------------------------------------------------------------------------------------------------------------------------------------------------------------------------------------------------------|------------------------------------------------------------------------------------------------------------------------------------------------------------------------------------------------------------------------------------------------------------------------------------------------------------------------------------------------------------------------------------------------------------------------------------------------------------------------------------------------------------------------------------------------------------------------------------------------------------------------------------------------------------------------------------------------------------------------------------------------------------------------------------------------------------------------------------------------------------------------------------------------------------------------------------------------------------------------------------------------------------------------------------------------------------------------------------------------------------------------------------------------------------------------------------------------------------------------------------------------------------------------------------------------------------------------------------------------------------------------------------------------------------------------------------------------------------------------------------------------------------------------------------------------------------------------------------------------------------------------------------------------------------------------------------------------------------------------------------------------------------------------------------------------------------------------------------------------------------------------------------------------------------------------------------------------------------------------------------------------------------------------------------------------------------------------------------------------------------------------------------------------------------------------------------------------------------------------------------------------------------------------------------------------------------------------------------------------------------------------------------------------------------------------------------------------------------------------------------------------------------------------------------------------------------------------------------------------------|----------------------------------------------------------------------------------------------------------------------------------------------------------------------------------------------------------------------------------------------------------------------------------------------------------------------------------------------------------------------------------------------------------------------------------------------------------------------------------------------------------------------------------------------------------------------------------------------------------------------------------------------------------------------------------------------------------------------------------------------------------------------------------------------------------------------------------------------------------------------------------------------------------------------------------------------------------------------------------------------------------------------------------------------------------------------------------------------------------------------------------------------------------------------------------------------------------------------------------------------------------------------------------------------------------------------------------------------------------------------------------------------------------------------------------------------------------------------------------------------------------------------------------------------------------------------------------------------------------------------------------------------------------------------------------------------------------------------------------------------------------------------------------------------------------------------------------------------------------------------------------------------------------------------------------------------------------------------------------------------------------------------------------------------------------------------------------------------------------------------------------------------------------------------------------------------------------------------------------------------------------------------------------------------------------------------------------------------------------------------------------------------------------------------------------------------------------------------------------------------------------------------------------------------------------------------------------------------------------------------------------------------------------------------------------------------------------------------------------------------------------------------------------------------------------------------------------------|-------------------------------------------------------------------------------------------------------------------------------------------------------------------------------------------------------------------------------------------------------------------------------------------------------------------------------------------------------------------------------------------------------------------------------------------------------------------------------------------------------------------------------------------------------------------------------------------------------------------------------------------------------------------------------------------------------------------------------------------------------------------------------------------------------------------------------------------------------------------------------------------------------------------------------------------------------------------------------------------------------------------------------------------------------------------------------------------------------------------------------------------------------------------------------------------------------------------------------------------------------------------------------------------------------------------------------------------------------------------------------------------------------------------------------------------------------------------------------------------------------------------------------------------------------------------------------------------------------------------------------------------------------------------------------------------------------------------------------------------------------------------------------------------------------------------------------------------------------------------------------------------------------------------------------------------------------------------------------------------------------------------------------------------------------------------------------------------------------------------------------------------------------------------------------------------------------------------------------------------------------------------------------------------------------------------------------------------------------------------------------------------------------------------------------------------------------------------------------------------------------------------------------------------------------------------------------------------------------------------------------------------------------------------------------------------------------------------------------------------------------------------------------------------------------------------------------------------|--------------------------------------------------------------------------------------------------------------------------------------------------------------------------------------------------------------------------------------------------------------------------------------------------------------------------------------------------------------------------------------------------------------------------------------------------------------------------------------------------------------------------------------------------------------------------------------------------------------------------------------------------------------------------------------------------------------------------------------------------------------------------------------------------------------------------------------------------------------------------------------------------------------------------------------------------------------------------------------------------------------------------------------------------------------------------------------------------------------------------------------------------------------------------------------------------------------------------------------------------------------------------------------------------------------------------------------------------------------------------------------------------------------------------------------------------------------------------------------------------------------------------------------------------------------------------------------------------------------------------------------------------------------------------------------------------------------------------------------------------------------------------------------------------------------------------------------------------------------------------------------------------------------------------------------------------------------------------------------------------------------------------------------------------------------------------------------------------------------------------------------------------------------------------------------------------------------------------------------------------------------------------------------------------------------------------------------------------------------------------------------------------------------------------------------------------------------------------------------------------------------------------------------------------------------------------------------------------------------------------------------------------------------------------------------------------------------------------------------------------------------------------------------------------------------------------------------------------------------------------------------------------------------------------------------------------------------------------------------------------------------------------------------------------------------------------------------------------------------------------------------------------------------------------------------------------|
| 代號 股票名稱                                                                                                                                                                                                                                                                                                                                                                                                                                                                                                                                                                                                                                                                                                                                                                                                                                                                                                                                                                                                                                                                                                                                                                                                                                                                                                                                                                                                                                                                                                                                                                                                                                                                                                                                                                                                                                                                                                                                                                                                                                                                                                                      |                                                                                                                                                                                                                                                                                                                                                                                                                                                                                                                                                                                                                                                                                                                                                                                                                                                                                                                                                                                                                                                                                                                                                                                                                                                                                                                                                                                                                                                                                                                                                                                                                                                                                                                                                                                                                                                                                                                                                                                                                                                                                                                                                                                                                                                                                                                                                                                                                                                                                                                                                                                                                                                                                                                                                                                                                                        | 最高                                                                                                                                                                                                                                                                                                                                                                                                                                                                                                                                                                                                                             | 相使                                                                                                                                                                                                                                                                                                                                                                                                                                                                                                                                                                                                                                                                                                                                                                                                                                                                                                                                                                                                                                                                                                                                                                                                                                                                                                                                                                                                                                                                                                                                                                                                                                                                                                                                                                                                                                                                                                                                                                                                                                                                                                                                                                                                                                                                                                                                                                                                                                                                                                                                                                                                                                                                                                                                                                                                                                                                                                                                                                                                                                                                                                                                                                                               | 最後叫<br>實入                                                                                                                                                                                                                                                                                                                                                                                                                                                                                                                                                                                                                                                                                                                                                                                                                                                                                                                                                                                                                                                                                                                                                                                                                                                                                                                                                                                                                                                                                                                                                                                                                                                                                                                                                                                                                                                                                                                                                                                                                                                                                                                                                                                                                                                                                                                                                                                                                                                                                                                                                                                                                                                                                                                                                                                                                                                                                                                                                                                                                                                                                                                                                                                       | -2                                                                                                                                                                                                                                                                                                              | 牧市                                                                                                                                                                                                                                                                                                                                                                                                                                                                                                                                                                                                                                                                                                                                                                                                                                                                                                                                                                                                                                                                                                                                                                                                                                                                                                                                                                                                                                                                                                                                                                                                                                                                                                                                                                                                                                                                                                                                                                                                                                                                                                                                                                                                                                                                                                                                                                                                                                                                                                                                                                                                                                                                                                                                                                                                                                     | 升跌                                                                                                                                                                                                                                                                                                                                                                                                                                                                                                                                                                                                                                                                                                                                                                                                                                                                                                                                                                                                                                                                                                                                                                                                                                                                                                                                                                                                                                                                                                                                                                                                                                                                                                                                                                                                                                                                                                                                                                                                                                                                                                                                                                                                                                                                                                                                                                                                                                                                                                                                                                                                                                                                                                                                     | 升跌<br>次序                                                                                                                                                               | 成交股数                                                                                                                                                                                                                                                                                                                                                                                                                                                                                                                                                                                                                                                                                                                                                                                                                                                                                                                                                                                                                                                                                                                                                                                                                                                                                                                                                                                                                                                                                                                                                                                                                                                                                                                                                                                                                                                                                                                                                                                                                                                                                                                                                                                                                                                                                                                                                                                                                                                                                                                                                                                                                                                                                                                                                                                                                                                                                                                                                                                                                          | 成安全籍                                                                                                                                                                                                                                                                                                                                                                                                                                                                                                                                                                                                                                                                                                                                                                                                                                                                                                                                                                                                                                                                                                                                                                                                                                                                                                                                                                                                                                                                                                                                                                                                                                                                                                                                                                                                                                                                                                                                                                                                                                                                                                                                                                                                                                                                                                                                                                                                                                                                                                                                                                                                 | FI/S                                                                                                                                                                                                                                                                                                                                                                                                                                                                                                                                                                                                                                                                                                                                                                                                                                                                                                                                                                                                                                                                                                                                                                                                                                                                                                                                                                                                                                                                                                                                                                                                                                                                                                                                                                                                                                                                                                                                                                                                                                                                                                                                                                                                                                                                                                                                                                                                                                                                                                                                                                                                                                                                                                                                                                                                                                   | P/E                                                                                                                                                                                                                                                                                                                                                                                                                                                                                                                                                                                                                                                                                                                                                                                                                                                                                                                                                                                                                                                                                                                                                                                                                                                                                                                                                                                                                                                                                                                                                                                                                                                                                                                                                                                                                                                                                                                                                                                                                                                                                                                                                                                                                                                                                                                                                                                                                                                                                                                                                                                                                                                                                                                                                                                                                                       | <b>*</b>                                                                                                                                                                                                                                                                                                                                                                                                                                                                                                                                                                                                                                                                                                                                                                                                                                                                                                                                                                                                                                                                                                                                                                                                                                                                                                                                                                                                                                                                                                                                                                                                                                                                                                                                                                                                                                                                                                                                                                                                                                                                                                                                                                                                                                                                                                                                                                                                                                                                                                                                                                                                                                                                                                                                                                                                                                                                                                                                                                                                                                                                                                                                                                                         |
|                                                                                                                                                                                                                                                                                                                                                                                                                                                                                                                                                                                                                                                                                                                                                                                                                                                                                                                                                                                                                                                                                                                                                                                                                                                                                                                                                                                                                                                                                                                                                                                                                                                                                                                                                                                                                                                                                                                                                                                                                                                                                                                              |                                                                                                                                                                                                                                                                                                                                                                                                                                                                                                                                                                                                                                                                                                                                                                                                                                                                                                                                                                                                                                                                                                                                                                                                                                                                                                                                                                                                                                                                                                                                                                                                                                                                                                                                                                                                                                                                                                                                                                                                                                                                                                                                                                                                                                                                                                                                                                                                                                                                                                                                                                                                                                                                                                                                                                                                                                        |                                                                                                                                                                                                                                                                                                                                                                                                                                                                                                                                                                                                                                |                                                                                                                                                                                                                                                                                                                                                                                                                                                                                                                                                                                                                                                                                                                                                                                                                                                                                                                                                                                                                                                                                                                                                                                                                                                                                                                                                                                                                                                                                                                                                                                                                                                                                                                                                                                                                                                                                                                                                                                                                                                                                                                                                                                                                                                                                                                                                                                                                                                                                                                                                                                                                                                                                                                                                                                                                                                                                                                                                                                                                                                                                                                                                                                                  |                                                                                                                                                                                                                                                                                                                                                                                                                                                                                                                                                                                                                                                                                                                                                                                                                                                                                                                                                                                                                                                                                                                                                                                                                                                                                                                                                                                                                                                                                                                                                                                                                                                                                                                                                                                                                                                                                                                                                                                                                                                                                                                                                                                                                                                                                                                                                                                                                                                                                                                                                                                                                                                                                                                                                                                                                                                                                                                                                                                                                                                                                                                                                                                                 | A LAN                                                                                                                                                                                                                                                                                                           | 9 65                                                                                                                                                                                                                                                                                                                                                                                                                                                                                                                                                                                                                                                                                                                                                                                                                                                                                                                                                                                                                                                                                                                                                                                                                                                                                                                                                                                                                                                                                                                                                                                                                                                                                                                                                                                                                                                                                                                                                                                                                                                                                                                                                                                                                                                                                                                                                                                                                                                                                                                                                                                                                                                                                                                                                                                                                                   |                                                                                                                                                                                                                                                                                                                                                                                                                                                                                                                                                                                                                                                                                                                                                                                                                                                                                                                                                                                                                                                                                                                                                                                                                                                                                                                                                                                                                                                                                                                                                                                                                                                                                                                                                                                                                                                                                                                                                                                                                                                                                                                                                                                                                                                                                                                                                                                                                                                                                                                                                                                                                                                                                                                                        |                                                                                                                                                                        | 1,061                                                                                                                                                                                                                                                                                                                                                                                                                                                                                                                                                                                                                                                                                                                                                                                                                                                                                                                                                                                                                                                                                                                                                                                                                                                                                                                                                                                                                                                                                                                                                                                                                                                                                                                                                                                                                                                                                                                                                                                                                                                                                                                                                                                                                                                                                                                                                                                                                                                                                                                                                                                                                                                                                                                                                                                                                                                                                                                                                                                                                         | 10,097                                                                                                                                                                                                                                                                                                                                                                                                                                                                                                                                                                                                                                                                                                                                                                                                                                                                                                                                                                                                                                                                                                                                                                                                                                                                                                                                                                                                                                                                                                                                                                                                                                                                                                                                                                                                                                                                                                                                                                                                                                                                                                                                                                                                                                                                                                                                                                                                                                                                                                                                                                                               | 3.35                                                                                                                                                                                                                                                                                                                                                                                                                                                                                                                                                                                                                                                                                                                                                                                                                                                                                                                                                                                                                                                                                                                                                                                                                                                                                                                                                                                                                                                                                                                                                                                                                                                                                                                                                                                                                                                                                                                                                                                                                                                                                                                                                                                                                                                                                                                                                                                                                                                                                                                                                                                                                                                                                                                                                                                                                                   | 6.51                                                                                                                                                                                                                                                                                                                                                                                                                                                                                                                                                                                                                                                                                                                                                                                                                                                                                                                                                                                                                                                                                                                                                                                                                                                                                                                                                                                                                                                                                                                                                                                                                                                                                                                                                                                                                                                                                                                                                                                                                                                                                                                                                                                                                                                                                                                                                                                                                                                                                                                                                                                                                                                                                                                                                                                                                                      | 9,14                                                                                                                                                                                                                                                                                                                                                                                                                                                                                                                                                                                                                                                                                                                                                                                                                                                                                                                                                                                                                                                                                                                                                                                                                                                                                                                                                                                                                                                                                                                                                                                                                                                                                                                                                                                                                                                                                                                                                                                                                                                                                                                                                                                                                                                                                                                                                                                                                                                                                                                                                                                                                                                                                                                                                                                                                                                                                                                                                                                                                                                                                                                                                                                             |
| 95 021 聯合企業<br>50 103 亞州保險<br>30 023 東亞銀行                                                                                                                                                                                                                                                                                                                                                                                                                                                                                                                                                                                                                                                                                                                                                                                                                                                                                                                                                                                                                                                                                                                                                                                                                                                                                                                                                                                                                                                                                                                                                                                                                                                                                                                                                                                                                                                                                                                                                                                                                                                                                    | 9.85<br>9.80<br>13.30                                                                                                                                                                                                                                                                                                                                                                                                                                                                                                                                                                                                                                                                                                                                                                                                                                                                                                                                                                                                                                                                                                                                                                                                                                                                                                                                                                                                                                                                                                                                                                                                                                                                                                                                                                                                                                                                                                                                                                                                                                                                                                                                                                                                                                                                                                                                                                                                                                                                                                                                                                                                                                                                                                                                                                                                                  | 13 30                                                                                                                                                                                                                                                                                                                                                                                                                                                                                                                                                                                                                          | 13.20                                                                                                                                                                                                                                                                                                                                                                                                                                                                                                                                                                                                                                                                                                                                                                                                                                                                                                                                                                                                                                                                                                                                                                                                                                                                                                                                                                                                                                                                                                                                                                                                                                                                                                                                                                                                                                                                                                                                                                                                                                                                                                                                                                                                                                                                                                                                                                                                                                                                                                                                                                                                                                                                                                                                                                                                                                                                                                                                                                                                                                                                                                                                                                                            | 9.70<br>9.70<br>13.20                                                                                                                                                                                                                                                                                                                                                                                                                                                                                                                                                                                                                                                                                                                                                                                                                                                                                                                                                                                                                                                                                                                                                                                                                                                                                                                                                                                                                                                                                                                                                                                                                                                                                                                                                                                                                                                                                                                                                                                                                                                                                                                                                                                                                                                                                                                                                                                                                                                                                                                                                                                                                                                                                                                                                                                                                                                                                                                                                                                                                                                                                                                                                                           | 10.00<br>10.00<br>13.30                                                                                                                                                                                                                                                                                         | 9 80<br>13.30                                                                                                                                                                                                                                                                                                                                                                                                                                                                                                                                                                                                                                                                                                                                                                                                                                                                                                                                                                                                                                                                                                                                                                                                                                                                                                                                                                                                                                                                                                                                                                                                                                                                                                                                                                                                                                                                                                                                                                                                                                                                                                                                                                                                                                                                                                                                                                                                                                                                                                                                                                                                                                                                                                                                                                                                                          | - A 05                                                                                                                                                                                                                                                                                                                                                                                                                                                                                                                                                                                                                                                                                                                                                                                                                                                                                                                                                                                                                                                                                                                                                                                                                                                                                                                                                                                                                                                                                                                                                                                                                                                                                                                                                                                                                                                                                                                                                                                                                                                                                                                                                                                                                                                                                                                                                                                                                                                                                                                                                                                                                                                                                                                                 |                                                                                                                                                                        | 113,760                                                                                                                                                                                                                                                                                                                                                                                                                                                                                                                                                                                                                                                                                                                                                                                                                                                                                                                                                                                                                                                                                                                                                                                                                                                                                                                                                                                                                                                                                                                                                                                                                                                                                                                                                                                                                                                                                                                                                                                                                                                                                                                                                                                                                                                                                                                                                                                                                                                                                                                                                                                                                                                                                                                                                                                                                                                                                                                                                                                                                       | 1,509,728                                                                                                                                                                                                                                                                                                                                                                                                                                                                                                                                                                                                                                                                                                                                                                                                                                                                                                                                                                                                                                                                                                                                                                                                                                                                                                                                                                                                                                                                                                                                                                                                                                                                                                                                                                                                                                                                                                                                                                                                                                                                                                                                                                                                                                                                                                                                                                                                                                                                                                                                                                                            | 3,33<br>4,52                                                                                                                                                                                                                                                                                                                                                                                                                                                                                                                                                                                                                                                                                                                                                                                                                                                                                                                                                                                                                                                                                                                                                                                                                                                                                                                                                                                                                                                                                                                                                                                                                                                                                                                                                                                                                                                                                                                                                                                                                                                                                                                                                                                                                                                                                                                                                                                                                                                                                                                                                                                                                                                                                                                                                                                                                           | 10 19<br>10 90<br>9 46                                                                                                                                                                                                                                                                                                                                                                                                                                                                                                                                                                                                                                                                                                                                                                                                                                                                                                                                                                                                                                                                                                                                                                                                                                                                                                                                                                                                                                                                                                                                                                                                                                                                                                                                                                                                                                                                                                                                                                                                                                                                                                                                                                                                                                                                                                                                                                                                                                                                                                                                                                                                                                                                                                                                                                                                                    | 6 64<br>4.70<br>6 32                                                                                                                                                                                                                                                                                                                                                                                                                                                                                                                                                                                                                                                                                                                                                                                                                                                                                                                                                                                                                                                                                                                                                                                                                                                                                                                                                                                                                                                                                                                                                                                                                                                                                                                                                                                                                                                                                                                                                                                                                                                                                                                                                                                                                                                                                                                                                                                                                                                                                                                                                                                                                                                                                                                                                                                                                                                                                                                                                                                                                                                                                                                                                                             |
| 70 123 高宏國際本<br>110 中國聚力<br>05 121 紀修置業                                                                                                                                                                                                                                                                                                                                                                                                                                                                                                                                                                                                                                                                                                                                                                                                                                                                                                                                                                                                                                                                                                                                                                                                                                                                                                                                                                                                                                                                                                                                                                                                                                                                                                                                                                                                                                                                                                                                                                                                                                                                                      | 3.375                                                                                                                                                                                                                                                                                                                                                                                                                                                                                                                                                                                                                                                                                                                                                                                                                                                                                                                                                                                                                                                                                                                                                                                                                                                                                                                                                                                                                                                                                                                                                                                                                                                                                                                                                                                                                                                                                                                                                                                                                                                                                                                                                                                                                                                                                                                                                                                                                                                                                                                                                                                                                                                                                                                                                                                                                                  | 1.91                                                                                                                                                                                                                                                                                                                                                                                                                                                                                                                                                                                                                           | 3.325<br>1.85                                                                                                                                                                                                                                                                                                                                                                                                                                                                                                                                                                                                                                                                                                                                                                                                                                                                                                                                                                                                                                                                                                                                                                                                                                                                                                                                                                                                                                                                                                                                                                                                                                                                                                                                                                                                                                                                                                                                                                                                                                                                                                                                                                                                                                                                                                                                                                                                                                                                                                                                                                                                                                                                                                                                                                                                                                                                                                                                                                                                                                                                                                                                                                                    | 1.89                                                                                                                                                                                                                                                                                                                                                                                                                                                                                                                                                                                                                                                                                                                                                                                                                                                                                                                                                                                                                                                                                                                                                                                                                                                                                                                                                                                                                                                                                                                                                                                                                                                                                                                                                                                                                                                                                                                                                                                                                                                                                                                                                                                                                                                                                                                                                                                                                                                                                                                                                                                                                                                                                                                                                                                                                                                                                                                                                                                                                                                                                                                                                                                            | 191                                                                                                                                                                                                                                                                                                             | 3 326                                                                                                                                                                                                                                                                                                                                                                                                                                                                                                                                                                                                                                                                                                                                                                                                                                                                                                                                                                                                                                                                                                                                                                                                                                                                                                                                                                                                                                                                                                                                                                                                                                                                                                                                                                                                                                                                                                                                                                                                                                                                                                                                                                                                                                                                                                                                                                                                                                                                                                                                                                                                                                                                                                                                                                                                                                  | + 0.05                                                                                                                                                                                                                                                                                                                                                                                                                                                                                                                                                                                                                                                                                                                                                                                                                                                                                                                                                                                                                                                                                                                                                                                                                                                                                                                                                                                                                                                                                                                                                                                                                                                                                                                                                                                                                                                                                                                                                                                                                                                                                                                                                                                                                                                                                                                                                                                                                                                                                                                                                                                                                                                                                                                                 | +31                                                                                                                                                                    | 156,000                                                                                                                                                                                                                                                                                                                                                                                                                                                                                                                                                                                                                                                                                                                                                                                                                                                                                                                                                                                                                                                                                                                                                                                                                                                                                                                                                                                                                                                                                                                                                                                                                                                                                                                                                                                                                                                                                                                                                                                                                                                                                                                                                                                                                                                                                                                                                                                                                                                                                                                                                                                                                                                                                                                                                                                                                                                                                                                                                                                                                       | 1,668,917<br>291,320                                                                                                                                                                                                                                                                                                                                                                                                                                                                                                                                                                                                                                                                                                                                                                                                                                                                                                                                                                                                                                                                                                                                                                                                                                                                                                                                                                                                                                                                                                                                                                                                                                                                                                                                                                                                                                                                                                                                                                                                                                                                                                                                                                                                                                                                                                                                                                                                                                                                                                                                                                                 | 065                                                                                                                                                                                                                                                                                                                                                                                                                                                                                                                                                                                                                                                                                                                                                                                                                                                                                                                                                                                                                                                                                                                                                                                                                                                                                                                                                                                                                                                                                                                                                                                                                                                                                                                                                                                                                                                                                                                                                                                                                                                                                                                                                                                                                                                                                                                                                                                                                                                                                                                                                                                                                                                                                                                                                                                                                                    | 43 81                                                                                                                                                                                                                                                                                                                                                                                                                                                                                                                                                                                                                                                                                                                                                                                                                                                                                                                                                                                                                                                                                                                                                                                                                                                                                                                                                                                                                                                                                                                                                                                                                                                                                                                                                                                                                                                                                                                                                                                                                                                                                                                                                                                                                                                                                                                                                                                                                                                                                                                                                                                                                                                                                                                                                                                                                                     | 0,52                                                                                                                                                                                                                                                                                                                                                                                                                                                                                                                                                                                                                                                                                                                                                                                                                                                                                                                                                                                                                                                                                                                                                                                                                                                                                                                                                                                                                                                                                                                                                                                                                                                                                                                                                                                                                                                                                                                                                                                                                                                                                                                                                                                                                                                                                                                                                                                                                                                                                                                                                                                                                                                                                                                                                                                                                                                                                                                                                                                                                                                                                                                                                                                             |
| 24 106 Crusader<br>45 440 大新金融<br>53 053 遊學集團                                                                                                                                                                                                                                                                                                                                                                                                                                                                                                                                                                                                                                                                                                                                                                                                                                                                                                                                                                                                                                                                                                                                                                                                                                                                                                                                                                                                                                                                                                                                                                                                                                                                                                                                                                                                                                                                                                                                                                                                                                                                                | 0 85<br>6 40                                                                                                                                                                                                                                                                                                                                                                                                                                                                                                                                                                                                                                                                                                                                                                                                                                                                                                                                                                                                                                                                                                                                                                                                                                                                                                                                                                                                                                                                                                                                                                                                                                                                                                                                                                                                                                                                                                                                                                                                                                                                                                                                                                                                                                                                                                                                                                                                                                                                                                                                                                                                                                                                                                                                                                                                                           | 0 89<br>6 40<br>1 38                                                                                                                                                                                                                                                                                                                                                                                                                                                                                                                                                                                                           | 0.86<br>6,35<br>1,37                                                                                                                                                                                                                                                                                                                                                                                                                                                                                                                                                                                                                                                                                                                                                                                                                                                                                                                                                                                                                                                                                                                                                                                                                                                                                                                                                                                                                                                                                                                                                                                                                                                                                                                                                                                                                                                                                                                                                                                                                                                                                                                                                                                                                                                                                                                                                                                                                                                                                                                                                                                                                                                                                                                                                                                                                                                                                                                                                                                                                                                                                                                                                                             | 0,86<br>6 35<br>1.37                                                                                                                                                                                                                                                                                                                                                                                                                                                                                                                                                                                                                                                                                                                                                                                                                                                                                                                                                                                                                                                                                                                                                                                                                                                                                                                                                                                                                                                                                                                                                                                                                                                                                                                                                                                                                                                                                                                                                                                                                                                                                                                                                                                                                                                                                                                                                                                                                                                                                                                                                                                                                                                                                                                                                                                                                                                                                                                                                                                                                                                                                                                                                                            | 0 87<br>6 40<br>1 38                                                                                                                                                                                                                                                                                            | 0.87<br>6.35<br>1.37                                                                                                                                                                                                                                                                                                                                                                                                                                                                                                                                                                                                                                                                                                                                                                                                                                                                                                                                                                                                                                                                                                                                                                                                                                                                                                                                                                                                                                                                                                                                                                                                                                                                                                                                                                                                                                                                                                                                                                                                                                                                                                                                                                                                                                                                                                                                                                                                                                                                                                                                                                                                                                                                                                                                                                                                                   | +0 02<br>-0 05<br>-0 01                                                                                                                                                                                                                                                                                                                                                                                                                                                                                                                                                                                                                                                                                                                                                                                                                                                                                                                                                                                                                                                                                                                                                                                                                                                                                                                                                                                                                                                                                                                                                                                                                                                                                                                                                                                                                                                                                                                                                                                                                                                                                                                                                                                                                                                                                                                                                                                                                                                                                                                                                                                                                                                                                                                | +36<br>116<br>118                                                                                                                                                      | 7,748,000<br>110,800<br>60,000                                                                                                                                                                                                                                                                                                                                                                                                                                                                                                                                                                                                                                                                                                                                                                                                                                                                                                                                                                                                                                                                                                                                                                                                                                                                                                                                                                                                                                                                                                                                                                                                                                                                                                                                                                                                                                                                                                                                                                                                                                                                                                                                                                                                                                                                                                                                                                                                                                                                                                                                                                                                                                                                                                                                                                                                                                                                                                                                                                                                | 6,779,740<br>704,820<br>82,300                                                                                                                                                                                                                                                                                                                                                                                                                                                                                                                                                                                                                                                                                                                                                                                                                                                                                                                                                                                                                                                                                                                                                                                                                                                                                                                                                                                                                                                                                                                                                                                                                                                                                                                                                                                                                                                                                                                                                                                                                                                                                                                                                                                                                                                                                                                                                                                                                                                                                                                                                                       | 0.30<br>2.16<br>0.47                                                                                                                                                                                                                                                                                                                                                                                                                                                                                                                                                                                                                                                                                                                                                                                                                                                                                                                                                                                                                                                                                                                                                                                                                                                                                                                                                                                                                                                                                                                                                                                                                                                                                                                                                                                                                                                                                                                                                                                                                                                                                                                                                                                                                                                                                                                                                                                                                                                                                                                                                                                                                                                                                                                                                                                                                   | 7.28                                                                                                                                                                                                                                                                                                                                                                                                                                                                                                                                                                                                                                                                                                                                                                                                                                                                                                                                                                                                                                                                                                                                                                                                                                                                                                                                                                                                                                                                                                                                                                                                                                                                                                                                                                                                                                                                                                                                                                                                                                                                                                                                                                                                                                                                                                                                                                                                                                                                                                                                                                                                                                                                                                                                                                                                                                      | 7 55<br>4.74                                                                                                                                                                                                                                                                                                                                                                                                                                                                                                                                                                                                                                                                                                                                                                                                                                                                                                                                                                                                                                                                                                                                                                                                                                                                                                                                                                                                                                                                                                                                                                                                                                                                                                                                                                                                                                                                                                                                                                                                                                                                                                                                                                                                                                                                                                                                                                                                                                                                                                                                                                                                                                                                                                                                                                                                                                                                                                                                                                                                                                                                                                                                                                                     |
| 129 时務地度<br>031 166 F.P Bano                                                                                                                                                                                                                                                                                                                                                                                                                                                                                                                                                                                                                                                                                                                                                                                                                                                                                                                                                                                                                                                                                                                                                                                                                                                                                                                                                                                                                                                                                                                                                                                                                                                                                                                                                                                                                                                                                                                                                                                                                                                                                                 | 0.026                                                                                                                                                                                                                                                                                                                                                                                                                                                                                                                                                                                                                                                                                                                                                                                                                                                                                                                                                                                                                                                                                                                                                                                                                                                                                                                                                                                                                                                                                                                                                                                                                                                                                                                                                                                                                                                                                                                                                                                                                                                                                                                                                                                                                                                                                                                                                                                                                                                                                                                                                                                                                                                                                                                                                                                                                                  | 0 027                                                                                                                                                                                                                                                                                                                                                                                                                                                                                                                                                                                                                          | 0.026                                                                                                                                                                                                                                                                                                                                                                                                                                                                                                                                                                                                                                                                                                                                                                                                                                                                                                                                                                                                                                                                                                                                                                                                                                                                                                                                                                                                                                                                                                                                                                                                                                                                                                                                                                                                                                                                                                                                                                                                                                                                                                                                                                                                                                                                                                                                                                                                                                                                                                                                                                                                                                                                                                                                                                                                                                                                                                                                                                                                                                                                                                                                                                                            | 0.026<br>7 80                                                                                                                                                                                                                                                                                                                                                                                                                                                                                                                                                                                                                                                                                                                                                                                                                                                                                                                                                                                                                                                                                                                                                                                                                                                                                                                                                                                                                                                                                                                                                                                                                                                                                                                                                                                                                                                                                                                                                                                                                                                                                                                                                                                                                                                                                                                                                                                                                                                                                                                                                                                                                                                                                                                                                                                                                                                                                                                                                                                                                                                                                                                                                                                   | 0 027<br>8 05                                                                                                                                                                                                                                                                                                   | 0.027<br>7.86                                                                                                                                                                                                                                                                                                                                                                                                                                                                                                                                                                                                                                                                                                                                                                                                                                                                                                                                                                                                                                                                                                                                                                                                                                                                                                                                                                                                                                                                                                                                                                                                                                                                                                                                                                                                                                                                                                                                                                                                                                                                                                                                                                                                                                                                                                                                                                                                                                                                                                                                                                                                                                                                                                                                                                                                                          | +0.001                                                                                                                                                                                                                                                                                                                                                                                                                                                                                                                                                                                                                                                                                                                                                                                                                                                                                                                                                                                                                                                                                                                                                                                                                                                                                                                                                                                                                                                                                                                                                                                                                                                                                                                                                                                                                                                                                                                                                                                                                                                                                                                                                                                                                                                                                                                                                                                                                                                                                                                                                                                                                                                                                                                                 | +27                                                                                                                                                                    | 整件資資<br>34,105,000                                                                                                                                                                                                                                                                                                                                                                                                                                                                                                                                                                                                                                                                                                                                                                                                                                                                                                                                                                                                                                                                                                                                                                                                                                                                                                                                                                                                                                                                                                                                                                                                                                                                                                                                                                                                                                                                                                                                                                                                                                                                                                                                                                                                                                                                                                                                                                                                                                                                                                                                                                                                                                                                                                                                                                                                                                                                                                                                                                                                            | 894,865                                                                                                                                                                                                                                                                                                                                                                                                                                                                                                                                                                                                                                                                                                                                                                                                                                                                                                                                                                                                                                                                                                                                                                                                                                                                                                                                                                                                                                                                                                                                                                                                                                                                                                                                                                                                                                                                                                                                                                                                                                                                                                                                                                                                                                                                                                                                                                                                                                                                                                                                                                                              | 0.01                                                                                                                                                                                                                                                                                                                                                                                                                                                                                                                                                                                                                                                                                                                                                                                                                                                                                                                                                                                                                                                                                                                                                                                                                                                                                                                                                                                                                                                                                                                                                                                                                                                                                                                                                                                                                                                                                                                                                                                                                                                                                                                                                                                                                                                                                                                                                                                                                                                                                                                                                                                                                                                                                                                                                                                                                                   | 38 57                                                                                                                                                                                                                                                                                                                                                                                                                                                                                                                                                                                                                                                                                                                                                                                                                                                                                                                                                                                                                                                                                                                                                                                                                                                                                                                                                                                                                                                                                                                                                                                                                                                                                                                                                                                                                                                                                                                                                                                                                                                                                                                                                                                                                                                                                                                                                                                                                                                                                                                                                                                                                                                                                                                                                                                                                                     |                                                                                                                                                                                                                                                                                                                                                                                                                                                                                                                                                                                                                                                                                                                                                                                                                                                                                                                                                                                                                                                                                                                                                                                                                                                                                                                                                                                                                                                                                                                                                                                                                                                                                                                                                                                                                                                                                                                                                                                                                                                                                                                                                                                                                                                                                                                                                                                                                                                                                                                                                                                                                                                                                                                                                                                                                                                                                                                                                                                                                                                                                                                                                                                                  |
| 60 142 第一太华<br>175 214 第一太特別康                                                                                                                                                                                                                                                                                                                                                                                                                                                                                                                                                                                                                                                                                                                                                                                                                                                                                                                                                                                                                                                                                                                                                                                                                                                                                                                                                                                                                                                                                                                                                                                                                                                                                                                                                                                                                                                                                                                                                                                                                                                                                                | 1 49                                                                                                                                                                                                                                                                                                                                                                                                                                                                                                                                                                                                                                                                                                                                                                                                                                                                                                                                                                                                                                                                                                                                                                                                                                                                                                                                                                                                                                                                                                                                                                                                                                                                                                                                                                                                                                                                                                                                                                                                                                                                                                                                                                                                                                                                                                                                                                                                                                                                                                                                                                                                                                                                                                                                                                                                                                   | 1 53                                                                                                                                                                                                                                                                                                                                                                                                                                                                                                                                                                                                                           | 1.49                                                                                                                                                                                                                                                                                                                                                                                                                                                                                                                                                                                                                                                                                                                                                                                                                                                                                                                                                                                                                                                                                                                                                                                                                                                                                                                                                                                                                                                                                                                                                                                                                                                                                                                                                                                                                                                                                                                                                                                                                                                                                                                                                                                                                                                                                                                                                                                                                                                                                                                                                                                                                                                                                                                                                                                                                                                                                                                                                                                                                                                                                                                                                                                             | 1 49                                                                                                                                                                                                                                                                                                                                                                                                                                                                                                                                                                                                                                                                                                                                                                                                                                                                                                                                                                                                                                                                                                                                                                                                                                                                                                                                                                                                                                                                                                                                                                                                                                                                                                                                                                                                                                                                                                                                                                                                                                                                                                                                                                                                                                                                                                                                                                                                                                                                                                                                                                                                                                                                                                                                                                                                                                                                                                                                                                                                                                                                                                                                                                                            | 1 50<br>2 875                                                                                                                                                                                                                                                                                                   | 1.50<br>2,875                                                                                                                                                                                                                                                                                                                                                                                                                                                                                                                                                                                                                                                                                                                                                                                                                                                                                                                                                                                                                                                                                                                                                                                                                                                                                                                                                                                                                                                                                                                                                                                                                                                                                                                                                                                                                                                                                                                                                                                                                                                                                                                                                                                                                                                                                                                                                                                                                                                                                                                                                                                                                                                                                                                                                                                                                          | 1001                                                                                                                                                                                                                                                                                                                                                                                                                                                                                                                                                                                                                                                                                                                                                                                                                                                                                                                                                                                                                                                                                                                                                                                                                                                                                                                                                                                                                                                                                                                                                                                                                                                                                                                                                                                                                                                                                                                                                                                                                                                                                                                                                                                                                                                                                                                                                                                                                                                                                                                                                                                                                                                                                                                                   | 178                                                                                                                                                                    | 1,137,220                                                                                                                                                                                                                                                                                                                                                                                                                                                                                                                                                                                                                                                                                                                                                                                                                                                                                                                                                                                                                                                                                                                                                                                                                                                                                                                                                                                                                                                                                                                                                                                                                                                                                                                                                                                                                                                                                                                                                                                                                                                                                                                                                                                                                                                                                                                                                                                                                                                                                                                                                                                                                                                                                                                                                                                                                                                                                                                                                                                                                     | 1,713,750                                                                                                                                                                                                                                                                                                                                                                                                                                                                                                                                                                                                                                                                                                                                                                                                                                                                                                                                                                                                                                                                                                                                                                                                                                                                                                                                                                                                                                                                                                                                                                                                                                                                                                                                                                                                                                                                                                                                                                                                                                                                                                                                                                                                                                                                                                                                                                                                                                                                                                                                                                                            | 0 5 1<br>0 9 8                                                                                                                                                                                                                                                                                                                                                                                                                                                                                                                                                                                                                                                                                                                                                                                                                                                                                                                                                                                                                                                                                                                                                                                                                                                                                                                                                                                                                                                                                                                                                                                                                                                                                                                                                                                                                                                                                                                                                                                                                                                                                                                                                                                                                                                                                                                                                                                                                                                                                                                                                                                                                                                                                                                                                                                                                         | 6 49<br>9 78                                                                                                                                                                                                                                                                                                                                                                                                                                                                                                                                                                                                                                                                                                                                                                                                                                                                                                                                                                                                                                                                                                                                                                                                                                                                                                                                                                                                                                                                                                                                                                                                                                                                                                                                                                                                                                                                                                                                                                                                                                                                                                                                                                                                                                                                                                                                                                                                                                                                                                                                                                                                                                                                                                                                                                                                                              | 4.01<br>2.44                                                                                                                                                                                                                                                                                                                                                                                                                                                                                                                                                                                                                                                                                                                                                                                                                                                                                                                                                                                                                                                                                                                                                                                                                                                                                                                                                                                                                                                                                                                                                                                                                                                                                                                                                                                                                                                                                                                                                                                                                                                                                                                                                                                                                                                                                                                                                                                                                                                                                                                                                                                                                                                                                                                                                                                                                                                                                                                                                                                                                                                                                                                                                                                     |
| 50 011. 恒生銀行<br>791 005 匯豐銀行<br>70 146 建屋貸款                                                                                                                                                                                                                                                                                                                                                                                                                                                                                                                                                                                                                                                                                                                                                                                                                                                                                                                                                                                                                                                                                                                                                                                                                                                                                                                                                                                                                                                                                                                                                                                                                                                                                                                                                                                                                                                                                                                                                                                                                                                                                  | 19 20<br>5.85<br>10 20                                                                                                                                                                                                                                                                                                                                                                                                                                                                                                                                                                                                                                                                                                                                                                                                                                                                                                                                                                                                                                                                                                                                                                                                                                                                                                                                                                                                                                                                                                                                                                                                                                                                                                                                                                                                                                                                                                                                                                                                                                                                                                                                                                                                                                                                                                                                                                                                                                                                                                                                                                                                                                                                                                                                                                                                                 | 19 30<br>5 85                                                                                                                                                                                                                                                                                                                                                                                                                                                                                                                                                                                                                  | 19 10<br>5.80                                                                                                                                                                                                                                                                                                                                                                                                                                                                                                                                                                                                                                                                                                                                                                                                                                                                                                                                                                                                                                                                                                                                                                                                                                                                                                                                                                                                                                                                                                                                                                                                                                                                                                                                                                                                                                                                                                                                                                                                                                                                                                                                                                                                                                                                                                                                                                                                                                                                                                                                                                                                                                                                                                                                                                                                                                                                                                                                                                                                                                                                                                                                                                                    | 19 10 .<br>5 80 .<br>10 00                                                                                                                                                                                                                                                                                                                                                                                                                                                                                                                                                                                                                                                                                                                                                                                                                                                                                                                                                                                                                                                                                                                                                                                                                                                                                                                                                                                                                                                                                                                                                                                                                                                                                                                                                                                                                                                                                                                                                                                                                                                                                                                                                                                                                                                                                                                                                                                                                                                                                                                                                                                                                                                                                                                                                                                                                                                                                                                                                                                                                                                                                                                                                                      | 19,20<br>5.85                                                                                                                                                                                                                                                                                                   | 19.20<br>5.85<br>10.20                                                                                                                                                                                                                                                                                                                                                                                                                                                                                                                                                                                                                                                                                                                                                                                                                                                                                                                                                                                                                                                                                                                                                                                                                                                                                                                                                                                                                                                                                                                                                                                                                                                                                                                                                                                                                                                                                                                                                                                                                                                                                                                                                                                                                                                                                                                                                                                                                                                                                                                                                                                                                                                                                                                                                                                                                 | -                                                                                                                                                                                                                                                                                                                                                                                                                                                                                                                                                                                                                                                                                                                                                                                                                                                                                                                                                                                                                                                                                                                                                                                                                                                                                                                                                                                                                                                                                                                                                                                                                                                                                                                                                                                                                                                                                                                                                                                                                                                                                                                                                                                                                                                                                                                                                                                                                                                                                                                                                                                                                                                                                                                                      |                                                                                                                                                                        | 324,786<br>3,743,701                                                                                                                                                                                                                                                                                                                                                                                                                                                                                                                                                                                                                                                                                                                                                                                                                                                                                                                                                                                                                                                                                                                                                                                                                                                                                                                                                                                                                                                                                                                                                                                                                                                                                                                                                                                                                                                                                                                                                                                                                                                                                                                                                                                                                                                                                                                                                                                                                                                                                                                                                                                                                                                                                                                                                                                                                                                                                                                                                                                                          | 6,228 487<br>21,801 928                                                                                                                                                                                                                                                                                                                                                                                                                                                                                                                                                                                                                                                                                                                                                                                                                                                                                                                                                                                                                                                                                                                                                                                                                                                                                                                                                                                                                                                                                                                                                                                                                                                                                                                                                                                                                                                                                                                                                                                                                                                                                                                                                                                                                                                                                                                                                                                                                                                                                                                                                                              | 6.53<br>1.99<br>3.47                                                                                                                                                                                                                                                                                                                                                                                                                                                                                                                                                                                                                                                                                                                                                                                                                                                                                                                                                                                                                                                                                                                                                                                                                                                                                                                                                                                                                                                                                                                                                                                                                                                                                                                                                                                                                                                                                                                                                                                                                                                                                                                                                                                                                                                                                                                                                                                                                                                                                                                                                                                                                                                                                                                                                                                                                   | 10 45<br>7.80<br>6.55                                                                                                                                                                                                                                                                                                                                                                                                                                                                                                                                                                                                                                                                                                                                                                                                                                                                                                                                                                                                                                                                                                                                                                                                                                                                                                                                                                                                                                                                                                                                                                                                                                                                                                                                                                                                                                                                                                                                                                                                                                                                                                                                                                                                                                                                                                                                                                                                                                                                                                                                                                                                                                                                                                                                                                                                                     | 5.21<br>6.52<br>10.29                                                                                                                                                                                                                                                                                                                                                                                                                                                                                                                                                                                                                                                                                                                                                                                                                                                                                                                                                                                                                                                                                                                                                                                                                                                                                                                                                                                                                                                                                                                                                                                                                                                                                                                                                                                                                                                                                                                                                                                                                                                                                                                                                                                                                                                                                                                                                                                                                                                                                                                                                                                                                                                                                                                                                                                                                                                                                                                                                                                                                                                                                                                                                                            |
| 50 103 基本銀行<br>00 197 高大保險<br>62 376 萬粉證券                                                                                                                                                                                                                                                                                                                                                                                                                                                                                                                                                                                                                                                                                                                                                                                                                                                                                                                                                                                                                                                                                                                                                                                                                                                                                                                                                                                                                                                                                                                                                                                                                                                                                                                                                                                                                                                                                                                                                                                                                                                                                    | 1 32<br>3 763<br>- 0 52                                                                                                                                                                                                                                                                                                                                                                                                                                                                                                                                                                                                                                                                                                                                                                                                                                                                                                                                                                                                                                                                                                                                                                                                                                                                                                                                                                                                                                                                                                                                                                                                                                                                                                                                                                                                                                                                                                                                                                                                                                                                                                                                                                                                                                                                                                                                                                                                                                                                                                                                                                                                                                                                                                                                                                                                                | 7 5 <b>6</b>                                                                                                                                                                                                                                                                                                                                                                                                                                                                                                                                                                                                                   | 0.50                                                                                                                                                                                                                                                                                                                                                                                                                                                                                                                                                                                                                                                                                                                                                                                                                                                                                                                                                                                                                                                                                                                                                                                                                                                                                                                                                                                                                                                                                                                                                                                                                                                                                                                                                                                                                                                                                                                                                                                                                                                                                                                                                                                                                                                                                                                                                                                                                                                                                                                                                                                                                                                                                                                                                                                                                                                                                                                                                                                                                                                                                                                                                                                             | 1 32<br>3 60<br>0 50                                                                                                                                                                                                                                                                                                                                                                                                                                                                                                                                                                                                                                                                                                                                                                                                                                                                                                                                                                                                                                                                                                                                                                                                                                                                                                                                                                                                                                                                                                                                                                                                                                                                                                                                                                                                                                                                                                                                                                                                                                                                                                                                                                                                                                                                                                                                                                                                                                                                                                                                                                                                                                                                                                                                                                                                                                                                                                                                                                                                                                                                                                                                                                            | 0.51                                                                                                                                                                                                                                                                                                            | 1.32<br>3.763<br>0.50                                                                                                                                                                                                                                                                                                                                                                                                                                                                                                                                                                                                                                                                                                                                                                                                                                                                                                                                                                                                                                                                                                                                                                                                                                                                                                                                                                                                                                                                                                                                                                                                                                                                                                                                                                                                                                                                                                                                                                                                                                                                                                                                                                                                                                                                                                                                                                                                                                                                                                                                                                                                                                                                                                                                                                                                                  | -0.02                                                                                                                                                                                                                                                                                                                                                                                                                                                                                                                                                                                                                                                                                                                                                                                                                                                                                                                                                                                                                                                                                                                                                                                                                                                                                                                                                                                                                                                                                                                                                                                                                                                                                                                                                                                                                                                                                                                                                                                                                                                                                                                                                                                                                                                                                                                                                                                                                                                                                                                                                                                                                                                                                                                                  | -17                                                                                                                                                                    | 703<br>2 000<br>180,000                                                                                                                                                                                                                                                                                                                                                                                                                                                                                                                                                                                                                                                                                                                                                                                                                                                                                                                                                                                                                                                                                                                                                                                                                                                                                                                                                                                                                                                                                                                                                                                                                                                                                                                                                                                                                                                                                                                                                                                                                                                                                                                                                                                                                                                                                                                                                                                                                                                                                                                                                                                                                                                                                                                                                                                                                                                                                                                                                                                                       | 6,900<br>94,800                                                                                                                                                                                                                                                                                                                                                                                                                                                                                                                                                                                                                                                                                                                                                                                                                                                                                                                                                                                                                                                                                                                                                                                                                                                                                                                                                                                                                                                                                                                                                                                                                                                                                                                                                                                                                                                                                                                                                                                                                                                                                                                                                                                                                                                                                                                                                                                                                                                                                                                                                                                      | 0 45<br>J 28<br>0 17                                                                                                                                                                                                                                                                                                                                                                                                                                                                                                                                                                                                                                                                                                                                                                                                                                                                                                                                                                                                                                                                                                                                                                                                                                                                                                                                                                                                                                                                                                                                                                                                                                                                                                                                                                                                                                                                                                                                                                                                                                                                                                                                                                                                                                                                                                                                                                                                                                                                                                                                                                                                                                                                                                                                                                                                                   | 10 22                                                                                                                                                                                                                                                                                                                                                                                                                                                                                                                                                                                                                                                                                                                                                                                                                                                                                                                                                                                                                                                                                                                                                                                                                                                                                                                                                                                                                                                                                                                                                                                                                                                                                                                                                                                                                                                                                                                                                                                                                                                                                                                                                                                                                                                                                                                                                                                                                                                                                                                                                                                                                                                                                                                                                                                                                                     |                                                                                                                                                                                                                                                                                                                                                                                                                                                                                                                                                                                                                                                                                                                                                                                                                                                                                                                                                                                                                                                                                                                                                                                                                                                                                                                                                                                                                                                                                                                                                                                                                                                                                                                                                                                                                                                                                                                                                                                                                                                                                                                                                                                                                                                                                                                                                                                                                                                                                                                                                                                                                                                                                                                                                                                                                                                                                                                                                                                                                                                                                                                                                                                                  |
| 88 222 関係集例<br>495 百利大                                                                                                                                                                                                                                                                                                                                                                                                                                                                                                                                                                                                                                                                                                                                                                                                                                                                                                                                                                                                                                                                                                                                                                                                                                                                                                                                                                                                                                                                                                                                                                                                                                                                                                                                                                                                                                                                                                                                                                                                                                                                                                       | 0.54                                                                                                                                                                                                                                                                                                                                                                                                                                                                                                                                                                                                                                                                                                                                                                                                                                                                                                                                                                                                                                                                                                                                                                                                                                                                                                                                                                                                                                                                                                                                                                                                                                                                                                                                                                                                                                                                                                                                                                                                                                                                                                                                                                                                                                                                                                                                                                                                                                                                                                                                                                                                                                                                                                                                                                                                                                   | 0.54                                                                                                                                                                                                                                                                                                                                                                                                                                                                                                                                                                                                                           | 0.65                                                                                                                                                                                                                                                                                                                                                                                                                                                                                                                                                                                                                                                                                                                                                                                                                                                                                                                                                                                                                                                                                                                                                                                                                                                                                                                                                                                                                                                                                                                                                                                                                                                                                                                                                                                                                                                                                                                                                                                                                                                                                                                                                                                                                                                                                                                                                                                                                                                                                                                                                                                                                                                                                                                                                                                                                                                                                                                                                                                                                                                                                                                                                                                             | 0 52                                                                                                                                                                                                                                                                                                                                                                                                                                                                                                                                                                                                                                                                                                                                                                                                                                                                                                                                                                                                                                                                                                                                                                                                                                                                                                                                                                                                                                                                                                                                                                                                                                                                                                                                                                                                                                                                                                                                                                                                                                                                                                                                                                                                                                                                                                                                                                                                                                                                                                                                                                                                                                                                                                                                                                                                                                                                                                                                                                                                                                                                                                                                                                                            | 0.54                                                                                                                                                                                                                                                                                                            | 0.54                                                                                                                                                                                                                                                                                                                                                                                                                                                                                                                                                                                                                                                                                                                                                                                                                                                                                                                                                                                                                                                                                                                                                                                                                                                                                                                                                                                                                                                                                                                                                                                                                                                                                                                                                                                                                                                                                                                                                                                                                                                                                                                                                                                                                                                                                                                                                                                                                                                                                                                                                                                                                                                                                                                                                                                                                                   |                                                                                                                                                                                                                                                                                                                                                                                                                                                                                                                                                                                                                                                                                                                                                                                                                                                                                                                                                                                                                                                                                                                                                                                                                                                                                                                                                                                                                                                                                                                                                                                                                                                                                                                                                                                                                                                                                                                                                                                                                                                                                                                                                                                                                                                                                                                                                                                                                                                                                                                                                                                                                                                                                                                                        | , - ,                                                                                                                                                                  | 90,000<br>暫件實實                                                                                                                                                                                                                                                                                                                                                                                                                                                                                                                                                                                                                                                                                                                                                                                                                                                                                                                                                                                                                                                                                                                                                                                                                                                                                                                                                                                                                                                                                                                                                                                                                                                                                                                                                                                                                                                                                                                                                                                                                                                                                                                                                                                                                                                                                                                                                                                                                                                                                                                                                                                                                                                                                                                                                                                                                                                                                                                                                                                                                | 48.200                                                                                                                                                                                                                                                                                                                                                                                                                                                                                                                                                                                                                                                                                                                                                                                                                                                                                                                                                                                                                                                                                                                                                                                                                                                                                                                                                                                                                                                                                                                                                                                                                                                                                                                                                                                                                                                                                                                                                                                                                                                                                                                                                                                                                                                                                                                                                                                                                                                                                                                                                                                               | 0 18                                                                                                                                                                                                                                                                                                                                                                                                                                                                                                                                                                                                                                                                                                                                                                                                                                                                                                                                                                                                                                                                                                                                                                                                                                                                                                                                                                                                                                                                                                                                                                                                                                                                                                                                                                                                                                                                                                                                                                                                                                                                                                                                                                                                                                                                                                                                                                                                                                                                                                                                                                                                                                                                                                                                                                                                                                   | 8 40,                                                                                                                                                                                                                                                                                                                                                                                                                                                                                                                                                                                                                                                                                                                                                                                                                                                                                                                                                                                                                                                                                                                                                                                                                                                                                                                                                                                                                                                                                                                                                                                                                                                                                                                                                                                                                                                                                                                                                                                                                                                                                                                                                                                                                                                                                                                                                                                                                                                                                                                                                                                                                                                                                                                                                                                                                                     |                                                                                                                                                                                                                                                                                                                                                                                                                                                                                                                                                                                                                                                                                                                                                                                                                                                                                                                                                                                                                                                                                                                                                                                                                                                                                                                                                                                                                                                                                                                                                                                                                                                                                                                                                                                                                                                                                                                                                                                                                                                                                                                                                                                                                                                                                                                                                                                                                                                                                                                                                                                                                                                                                                                                                                                                                                                                                                                                                                                                                                                                                                                                                                                                  |
| 66   226   萬茂財務<br>40   227   大衆國際<br>20   086   新鴻基公司▲                                                                                                                                                                                                                                                                                                                                                                                                                                                                                                                                                                                                                                                                                                                                                                                                                                                                                                                                                                                                                                                                                                                                                                                                                                                                                                                                                                                                                                                                                                                                                                                                                                                                                                                                                                                                                                                                                                                                                                                                                                                                      | 0.35                                                                                                                                                                                                                                                                                                                                                                                                                                                                                                                                                                                                                                                                                                                                                                                                                                                                                                                                                                                                                                                                                                                                                                                                                                                                                                                                                                                                                                                                                                                                                                                                                                                                                                                                                                                                                                                                                                                                                                                                                                                                                                                                                                                                                                                                                                                                                                                                                                                                                                                                                                                                                                                                                                                                                                                                                                   | 0 33                                                                                                                                                                                                                                                                                                                                                                                                                                                                                                                                                                                                                           | 0 33                                                                                                                                                                                                                                                                                                                                                                                                                                                                                                                                                                                                                                                                                                                                                                                                                                                                                                                                                                                                                                                                                                                                                                                                                                                                                                                                                                                                                                                                                                                                                                                                                                                                                                                                                                                                                                                                                                                                                                                                                                                                                                                                                                                                                                                                                                                                                                                                                                                                                                                                                                                                                                                                                                                                                                                                                                                                                                                                                                                                                                                                                                                                                                                             | 0 52<br>0 33<br>1.97                                                                                                                                                                                                                                                                                                                                                                                                                                                                                                                                                                                                                                                                                                                                                                                                                                                                                                                                                                                                                                                                                                                                                                                                                                                                                                                                                                                                                                                                                                                                                                                                                                                                                                                                                                                                                                                                                                                                                                                                                                                                                                                                                                                                                                                                                                                                                                                                                                                                                                                                                                                                                                                                                                                                                                                                                                                                                                                                                                                                                                                                                                                                                                            | 0.35<br>1,98                                                                                                                                                                                                                                                                                                    | 0.54<br>0.33<br>1.97                                                                                                                                                                                                                                                                                                                                                                                                                                                                                                                                                                                                                                                                                                                                                                                                                                                                                                                                                                                                                                                                                                                                                                                                                                                                                                                                                                                                                                                                                                                                                                                                                                                                                                                                                                                                                                                                                                                                                                                                                                                                                                                                                                                                                                                                                                                                                                                                                                                                                                                                                                                                                                                                                                                                                                                                                   | - 0.02<br>- 0.01                                                                                                                                                                                                                                                                                                                                                                                                                                                                                                                                                                                                                                                                                                                                                                                                                                                                                                                                                                                                                                                                                                                                                                                                                                                                                                                                                                                                                                                                                                                                                                                                                                                                                                                                                                                                                                                                                                                                                                                                                                                                                                                                                                                                                                                                                                                                                                                                                                                                                                                                                                                                                                                                                                                       | - 10<br>- 138                                                                                                                                                          | 32,000<br>292,960                                                                                                                                                                                                                                                                                                                                                                                                                                                                                                                                                                                                                                                                                                                                                                                                                                                                                                                                                                                                                                                                                                                                                                                                                                                                                                                                                                                                                                                                                                                                                                                                                                                                                                                                                                                                                                                                                                                                                                                                                                                                                                                                                                                                                                                                                                                                                                                                                                                                                                                                                                                                                                                                                                                                                                                                                                                                                                                                                                                                             | 10,560<br>575,753                                                                                                                                                                                                                                                                                                                                                                                                                                                                                                                                                                                                                                                                                                                                                                                                                                                                                                                                                                                                                                                                                                                                                                                                                                                                                                                                                                                                                                                                                                                                                                                                                                                                                                                                                                                                                                                                                                                                                                                                                                                                                                                                                                                                                                                                                                                                                                                                                                                                                                                                                                                    | 0 18<br>0 11<br>0 67                                                                                                                                                                                                                                                                                                                                                                                                                                                                                                                                                                                                                                                                                                                                                                                                                                                                                                                                                                                                                                                                                                                                                                                                                                                                                                                                                                                                                                                                                                                                                                                                                                                                                                                                                                                                                                                                                                                                                                                                                                                                                                                                                                                                                                                                                                                                                                                                                                                                                                                                                                                                                                                                                                                                                                                                                   | 12 13<br>7 11                                                                                                                                                                                                                                                                                                                                                                                                                                                                                                                                                                                                                                                                                                                                                                                                                                                                                                                                                                                                                                                                                                                                                                                                                                                                                                                                                                                                                                                                                                                                                                                                                                                                                                                                                                                                                                                                                                                                                                                                                                                                                                                                                                                                                                                                                                                                                                                                                                                                                                                                                                                                                                                                                                                                                                                                                             | 3.03<br>7.61                                                                                                                                                                                                                                                                                                                                                                                                                                                                                                                                                                                                                                                                                                                                                                                                                                                                                                                                                                                                                                                                                                                                                                                                                                                                                                                                                                                                                                                                                                                                                                                                                                                                                                                                                                                                                                                                                                                                                                                                                                                                                                                                                                                                                                                                                                                                                                                                                                                                                                                                                                                                                                                                                                                                                                                                                                                                                                                                                                                                                                                                                                                                                                                     |
| 35 265 德利投資<br>28 258 湯臣太平洋<br>88 349 &聯銀行▲                                                                                                                                                                                                                                                                                                                                                                                                                                                                                                                                                                                                                                                                                                                                                                                                                                                                                                                                                                                                                                                                                                                                                                                                                                                                                                                                                                                                                                                                                                                                                                                                                                                                                                                                                                                                                                                                                                                                                                                                                                                                                  | 7.20<br>0.90                                                                                                                                                                                                                                                                                                                                                                                                                                                                                                                                                                                                                                                                                                                                                                                                                                                                                                                                                                                                                                                                                                                                                                                                                                                                                                                                                                                                                                                                                                                                                                                                                                                                                                                                                                                                                                                                                                                                                                                                                                                                                                                                                                                                                                                                                                                                                                                                                                                                                                                                                                                                                                                                                                                                                                                                                           | 2 20<br>.0 92<br>1,66                                                                                                                                                                                                                                                                                                                                                                                                                                                                                                                                                                                                          | 2 20<br>0 88<br>1 65 .                                                                                                                                                                                                                                                                                                                                                                                                                                                                                                                                                                                                                                                                                                                                                                                                                                                                                                                                                                                                                                                                                                                                                                                                                                                                                                                                                                                                                                                                                                                                                                                                                                                                                                                                                                                                                                                                                                                                                                                                                                                                                                                                                                                                                                                                                                                                                                                                                                                                                                                                                                                                                                                                                                                                                                                                                                                                                                                                                                                                                                                                                                                                                                           | 2 10<br>0 88<br>1 60                                                                                                                                                                                                                                                                                                                                                                                                                                                                                                                                                                                                                                                                                                                                                                                                                                                                                                                                                                                                                                                                                                                                                                                                                                                                                                                                                                                                                                                                                                                                                                                                                                                                                                                                                                                                                                                                                                                                                                                                                                                                                                                                                                                                                                                                                                                                                                                                                                                                                                                                                                                                                                                                                                                                                                                                                                                                                                                                                                                                                                                                                                                                                                            | 2 225<br>0.89<br>1.61                                                                                                                                                                                                                                                                                           | 2.20<br>0.89                                                                                                                                                                                                                                                                                                                                                                                                                                                                                                                                                                                                                                                                                                                                                                                                                                                                                                                                                                                                                                                                                                                                                                                                                                                                                                                                                                                                                                                                                                                                                                                                                                                                                                                                                                                                                                                                                                                                                                                                                                                                                                                                                                                                                                                                                                                                                                                                                                                                                                                                                                                                                                                                                                                                                                                                                           | -001·<br>-005                                                                                                                                                                                                                                                                                                                                                                                                                                                                                                                                                                                                                                                                                                                                                                                                                                                                                                                                                                                                                                                                                                                                                                                                                                                                                                                                                                                                                                                                                                                                                                                                                                                                                                                                                                                                                                                                                                                                                                                                                                                                                                                                                                                                                                                                                                                                                                                                                                                                                                                                                                                                                                                                                                                          | - 86 · · · · · · · · · · · · · · · · · ·                                                                                                                               | 764,000<br>,22,178,000<br>27,000                                                                                                                                                                                                                                                                                                                                                                                                                                                                                                                                                                                                                                                                                                                                                                                                                                                                                                                                                                                                                                                                                                                                                                                                                                                                                                                                                                                                                                                                                                                                                                                                                                                                                                                                                                                                                                                                                                                                                                                                                                                                                                                                                                                                                                                                                                                                                                                                                                                                                                                                                                                                                                                                                                                                                                                                                                                                                                                                                                                              | 1,699,800<br>20,045,100<br>44,770                                                                                                                                                                                                                                                                                                                                                                                                                                                                                                                                                                                                                                                                                                                                                                                                                                                                                                                                                                                                                                                                                                                                                                                                                                                                                                                                                                                                                                                                                                                                                                                                                                                                                                                                                                                                                                                                                                                                                                                                                                                                                                                                                                                                                                                                                                                                                                                                                                                                                                                                                                    | 0 75<br>0 30<br>0 55                                                                                                                                                                                                                                                                                                                                                                                                                                                                                                                                                                                                                                                                                                                                                                                                                                                                                                                                                                                                                                                                                                                                                                                                                                                                                                                                                                                                                                                                                                                                                                                                                                                                                                                                                                                                                                                                                                                                                                                                                                                                                                                                                                                                                                                                                                                                                                                                                                                                                                                                                                                                                                                                                                                                                                                                                   | 10.61                                                                                                                                                                                                                                                                                                                                                                                                                                                                                                                                                                                                                                                                                                                                                                                                                                                                                                                                                                                                                                                                                                                                                                                                                                                                                                                                                                                                                                                                                                                                                                                                                                                                                                                                                                                                                                                                                                                                                                                                                                                                                                                                                                                                                                                                                                                                                                                                                                                                                                                                                                                                                                                                                                                                                                                                                                     | 7.45                                                                                                                                                                                                                                                                                                                                                                                                                                                                                                                                                                                                                                                                                                                                                                                                                                                                                                                                                                                                                                                                                                                                                                                                                                                                                                                                                                                                                                                                                                                                                                                                                                                                                                                                                                                                                                                                                                                                                                                                                                                                                                                                                                                                                                                                                                                                                                                                                                                                                                                                                                                                                                                                                                                                                                                                                                                                                                                                                                                                                                                                                                                                                                                             |
| 274 A M IRIT<br>50 096 水津銀行                                                                                                                                                                                                                                                                                                                                                                                                                                                                                                                                                                                                                                                                                                                                                                                                                                                                                                                                                                                                                                                                                                                                                                                                                                                                                                                                                                                                                                                                                                                                                                                                                                                                                                                                                                                                                                                                                                                                                                                                                                                                                                  | 24 00<br>29,50                                                                                                                                                                                                                                                                                                                                                                                                                                                                                                                                                                                                                                                                                                                                                                                                                                                                                                                                                                                                                                                                                                                                                                                                                                                                                                                                                                                                                                                                                                                                                                                                                                                                                                                                                                                                                                                                                                                                                                                                                                                                                                                                                                                                                                                                                                                                                                                                                                                                                                                                                                                                                                                                                                                                                                                                                         | 29.50                                                                                                                                                                                                                                                                                                                                                                                                                                                                                                                                                                                                                          | 29.40 .                                                                                                                                                                                                                                                                                                                                                                                                                                                                                                                                                                                                                                                                                                                                                                                                                                                                                                                                                                                                                                                                                                                                                                                                                                                                                                                                                                                                                                                                                                                                                                                                                                                                                                                                                                                                                                                                                                                                                                                                                                                                                                                                                                                                                                                                                                                                                                                                                                                                                                                                                                                                                                                                                                                                                                                                                                                                                                                                                                                                                                                                                                                                                                                          | 23.00<br>29,40                                                                                                                                                                                                                                                                                                                                                                                                                                                                                                                                                                                                                                                                                                                                                                                                                                                                                                                                                                                                                                                                                                                                                                                                                                                                                                                                                                                                                                                                                                                                                                                                                                                                                                                                                                                                                                                                                                                                                                                                                                                                                                                                                                                                                                                                                                                                                                                                                                                                                                                                                                                                                                                                                                                                                                                                                                                                                                                                                                                                                                                                                                                                                                                  | 23 40                                                                                                                                                                                                                                                                                                           | 24 00<br>29 50                                                                                                                                                                                                                                                                                                                                                                                                                                                                                                                                                                                                                                                                                                                                                                                                                                                                                                                                                                                                                                                                                                                                                                                                                                                                                                                                                                                                                                                                                                                                                                                                                                                                                                                                                                                                                                                                                                                                                                                                                                                                                                                                                                                                                                                                                                                                                                                                                                                                                                                                                                                                                                                                                                                                                                                                                         |                                                                                                                                                                                                                                                                                                                                                                                                                                                                                                                                                                                                                                                                                                                                                                                                                                                                                                                                                                                                                                                                                                                                                                                                                                                                                                                                                                                                                                                                                                                                                                                                                                                                                                                                                                                                                                                                                                                                                                                                                                                                                                                                                                                                                                                                                                                                                                                                                                                                                                                                                                                                                                                                                                                                        |                                                                                                                                                                        | 5,33 <b>0</b>                                                                                                                                                                                                                                                                                                                                                                                                                                                                                                                                                                                                                                                                                                                                                                                                                                                                                                                                                                                                                                                                                                                                                                                                                                                                                                                                                                                                                                                                                                                                                                                                                                                                                                                                                                                                                                                                                                                                                                                                                                                                                                                                                                                                                                                                                                                                                                                                                                                                                                                                                                                                                                                                                                                                                                                                                                                                                                                                                                                                                 | 156 660                                                                                                                                                                                                                                                                                                                                                                                                                                                                                                                                                                                                                                                                                                                                                                                                                                                                                                                                                                                                                                                                                                                                                                                                                                                                                                                                                                                                                                                                                                                                                                                                                                                                                                                                                                                                                                                                                                                                                                                                                                                                                                                                                                                                                                                                                                                                                                                                                                                                                                                                                                                              | 8 16, 1<br>10.03                                                                                                                                                                                                                                                                                                                                                                                                                                                                                                                                                                                                                                                                                                                                                                                                                                                                                                                                                                                                                                                                                                                                                                                                                                                                                                                                                                                                                                                                                                                                                                                                                                                                                                                                                                                                                                                                                                                                                                                                                                                                                                                                                                                                                                                                                                                                                                                                                                                                                                                                                                                                                                                                                                                                                                                                                       | 9.16                                                                                                                                                                                                                                                                                                                                                                                                                                                                                                                                                                                                                                                                                                                                                                                                                                                                                                                                                                                                                                                                                                                                                                                                                                                                                                                                                                                                                                                                                                                                                                                                                                                                                                                                                                                                                                                                                                                                                                                                                                                                                                                                                                                                                                                                                                                                                                                                                                                                                                                                                                                                                                                                                                                                                                                                                                      | 4 80                                                                                                                                                                                                                                                                                                                                                                                                                                                                                                                                                                                                                                                                                                                                                                                                                                                                                                                                                                                                                                                                                                                                                                                                                                                                                                                                                                                                                                                                                                                                                                                                                                                                                                                                                                                                                                                                                                                                                                                                                                                                                                                                                                                                                                                                                                                                                                                                                                                                                                                                                                                                                                                                                                                                                                                                                                                                                                                                                                                                                                                                                                                                                                                             |
|                                                                                                                                                                                                                                                                                                                                                                                                                                                                                                                                                                                                                                                                                                                                                                                                                                                                                                                                                                                                                                                                                                                                                                                                                                                                                                                                                                                                                                                                                                                                                                                                                                                                                                                                                                                                                                                                                                                                                                                                                                                                                                                              | •                                                                                                                                                                                                                                                                                                                                                                                                                                                                                                                                                                                                                                                                                                                                                                                                                                                                                                                                                                                                                                                                                                                                                                                                                                                                                                                                                                                                                                                                                                                                                                                                                                                                                                                                                                                                                                                                                                                                                                                                                                                                                                                                                                                                                                                                                                                                                                                                                                                                                                                                                                                                                                                                                                                                                                                                                                      |                                                                                                                                                                                                                                                                                                                                                                                                                                                                                                                                                                                                                                |                                                                                                                                                                                                                                                                                                                                                                                                                                                                                                                                                                                                                                                                                                                                                                                                                                                                                                                                                                                                                                                                                                                                                                                                                                                                                                                                                                                                                                                                                                                                                                                                                                                                                                                                                                                                                                                                                                                                                                                                                                                                                                                                                                                                                                                                                                                                                                                                                                                                                                                                                                                                                                                                                                                                                                                                                                                                                                                                                                                                                                                                                                                                                                                                  |                                                                                                                                                                                                                                                                                                                                                                                                                                                                                                                                                                                                                                                                                                                                                                                                                                                                                                                                                                                                                                                                                                                                                                                                                                                                                                                                                                                                                                                                                                                                                                                                                                                                                                                                                                                                                                                                                                                                                                                                                                                                                                                                                                                                                                                                                                                                                                                                                                                                                                                                                                                                                                                                                                                                                                                                                                                                                                                                                                                                                                                                                                                                                                                                 |                                                                                                                                                                                                                                                                                                                 |                                                                                                                                                                                                                                                                                                                                                                                                                                                                                                                                                                                                                                                                                                                                                                                                                                                                                                                                                                                                                                                                                                                                                                                                                                                                                                                                                                                                                                                                                                                                                                                                                                                                                                                                                                                                                                                                                                                                                                                                                                                                                                                                                                                                                                                                                                                                                                                                                                                                                                                                                                                                                                                                                                                                                                                                                                        |                                                                                                                                                                                                                                                                                                                                                                                                                                                                                                                                                                                                                                                                                                                                                                                                                                                                                                                                                                                                                                                                                                                                                                                                                                                                                                                                                                                                                                                                                                                                                                                                                                                                                                                                                                                                                                                                                                                                                                                                                                                                                                                                                                                                                                                                                                                                                                                                                                                                                                                                                                                                                                                                                                                                        |                                                                                                                                                                        |                                                                                                                                                                                                                                                                                                                                                                                                                                                                                                                                                                                                                                                                                                                                                                                                                                                                                                                                                                                                                                                                                                                                                                                                                                                                                                                                                                                                                                                                                                                                                                                                                                                                                                                                                                                                                                                                                                                                                                                                                                                                                                                                                                                                                                                                                                                                                                                                                                                                                                                                                                                                                                                                                                                                                                                                                                                                                                                                                                                                                               |                                                                                                                                                                                                                                                                                                                                                                                                                                                                                                                                                                                                                                                                                                                                                                                                                                                                                                                                                                                                                                                                                                                                                                                                                                                                                                                                                                                                                                                                                                                                                                                                                                                                                                                                                                                                                                                                                                                                                                                                                                                                                                                                                                                                                                                                                                                                                                                                                                                                                                                                                                                                      |                                                                                                                                                                                                                                                                                                                                                                                                                                                                                                                                                                                                                                                                                                                                                                                                                                                                                                                                                                                                                                                                                                                                                                                                                                                                                                                                                                                                                                                                                                                                                                                                                                                                                                                                                                                                                                                                                                                                                                                                                                                                                                                                                                                                                                                                                                                                                                                                                                                                                                                                                                                                                                                                                                                                                                                                                                        |                                                                                                                                                                                                                                                                                                                                                                                                                                                                                                                                                                                                                                                                                                                                                                                                                                                                                                                                                                                                                                                                                                                                                                                                                                                                                                                                                                                                                                                                                                                                                                                                                                                                                                                                                                                                                                                                                                                                                                                                                                                                                                                                                                                                                                                                                                                                                                                                                                                                                                                                                                                                                                                                                                                                                                                                                                           | h v                                                                                                                                                                                                                                                                                                                                                                                                                                                                                                                                                                                                                                                                                                                                                                                                                                                                                                                                                                                                                                                                                                                                                                                                                                                                                                                                                                                                                                                                                                                                                                                                                                                                                                                                                                                                                                                                                                                                                                                                                                                                                                                                                                                                                                                                                                                                                                                                                                                                                                                                                                                                                                                                                                                                                                                                                                                                                                                                                                                                                                                                                                                                                                                              |
|                                                                                                                                                                                                                                                                                                                                                                                                                                                                                                                                                                                                                                                                                                                                                                                                                                                                                                                                                                                                                                                                                                                                                                                                                                                                                                                                                                                                                                                                                                                                                                                                                                                                                                                                                                                                                                                                                                                                                                                                                                                                                                                              |                                                                                                                                                                                                                                                                                                                                                                                                                                                                                                                                                                                                                                                                                                                                                                                                                                                                                                                                                                                                                                                                                                                                                                                                                                                                                                                                                                                                                                                                                                                                                                                                                                                                                                                                                                                                                                                                                                                                                                                                                                                                                                                                                                                                                                                                                                                                                                                                                                                                                                                                                                                                                                                                                                                                                                                                                                        |                                                                                                                                                                                                                                                                                                                                                                                                                                                                                                                                                                                                                                | a della disa                                                                                                                                                                                                                                                                                                                                                                                                                                                                                                                                                                                                                                                                                                                                                                                                                                                                                                                                                                                                                                                                                                                                                                                                                                                                                                                                                                                                                                                                                                                                                                                                                                                                                                                                                                                                                                                                                                                                                                                                                                                                                                                                                                                                                                                                                                                                                                                                                                                                                                                                                                                                                                                                                                                                                                                                                                                                                                                                                                                                                                                                                                                                                                                     | B 201 - 01 - 01 - 01 - 01 - 01 - 01 - 01                                                                                                                                                                                                                                                                                                                                                                                                                                                                                                                                                                                                                                                                                                                                                                                                                                                                                                                                                                                                                                                                                                                                                                                                                                                                                                                                                                                                                                                                                                                                                                                                                                                                                                                                                                                                                                                                                                                                                                                                                                                                                                                                                                                                                                                                                                                                                                                                                                                                                                                                                                                                                                                                                                                                                                                                                                                                                                                                                                                                                                                                                                                                                        | ne me esta                                                                                                                                                                                                                                                                                                      | aversedi:                                                                                                                                                                                                                                                                                                                                                                                                                                                                                                                                                                                                                                                                                                                                                                                                                                                                                                                                                                                                                                                                                                                                                                                                                                                                                                                                                                                                                                                                                                                                                                                                                                                                                                                                                                                                                                                                                                                                                                                                                                                                                                                                                                                                                                                                                                                                                                                                                                                                                                                                                                                                                                                                                                                                                                                                                              |                                                                                                                                                                                                                                                                                                                                                                                                                                                                                                                                                                                                                                                                                                                                                                                                                                                                                                                                                                                                                                                                                                                                                                                                                                                                                                                                                                                                                                                                                                                                                                                                                                                                                                                                                                                                                                                                                                                                                                                                                                                                                                                                                                                                                                                                                                                                                                                                                                                                                                                                                                                                                                                                                                                                        | *******                                                                                                                                                                |                                                                                                                                                                                                                                                                                                                                                                                                                                                                                                                                                                                                                                                                                                                                                                                                                                                                                                                                                                                                                                                                                                                                                                                                                                                                                                                                                                                                                                                                                                                                                                                                                                                                                                                                                                                                                                                                                                                                                                                                                                                                                                                                                                                                                                                                                                                                                                                                                                                                                                                                                                                                                                                                                                                                                                                                                                                                                                                                                                                                                               |                                                                                                                                                                                                                                                                                                                                                                                                                                                                                                                                                                                                                                                                                                                                                                                                                                                                                                                                                                                                                                                                                                                                                                                                                                                                                                                                                                                                                                                                                                                                                                                                                                                                                                                                                                                                                                                                                                                                                                                                                                                                                                                                                                                                                                                                                                                                                                                                                                                                                                                                                                                                      |                                                                                                                                                                                                                                                                                                                                                                                                                                                                                                                                                                                                                                                                                                                                                                                                                                                                                                                                                                                                                                                                                                                                                                                                                                                                                                                                                                                                                                                                                                                                                                                                                                                                                                                                                                                                                                                                                                                                                                                                                                                                                                                                                                                                                                                                                                                                                                                                                                                                                                                                                                                                                                                                                                                                                                                                                                        | MED SON                                                                                                                                                                                                                                                                                                                                                                                                                                                                                                                                                                                                                                                                                                                                                                                                                                                                                                                                                                                                                                                                                                                                                                                                                                                                                                                                                                                                                                                                                                                                                                                                                                                                                                                                                                                                                                                                                                                                                                                                                                                                                                                                                                                                                                                                                                                                                                                                                                                                                                                                                                                                                                                                                                                                                                                                                                   |                                                                                                                                                                                                                                                                                                                                                                                                                                                                                                                                                                                                                                                                                                                                                                                                                                                                                                                                                                                                                                                                                                                                                                                                                                                                                                                                                                                                                                                                                                                                                                                                                                                                                                                                                                                                                                                                                                                                                                                                                                                                                                                                                                                                                                                                                                                                                                                                                                                                                                                                                                                                                                                                                                                                                                                                                                                                                                                                                                                                                                                                                                                                                                                                  |
| 0   104 元亞酚等                                                                                                                                                                                                                                                                                                                                                                                                                                                                                                                                                                                                                                                                                                                                                                                                                                                                                                                                                                                                                                                                                                                                                                                                                                                                                                                                                                                                                                                                                                                                                                                                                                                                                                                                                                                                                                                                                                                                                                                                                                                                                                                 | 1,32                                                                                                                                                                                                                                                                                                                                                                                                                                                                                                                                                                                                                                                                                                                                                                                                                                                                                                                                                                                                                                                                                                                                                                                                                                                                                                                                                                                                                                                                                                                                                                                                                                                                                                                                                                                                                                                                                                                                                                                                                                                                                                                                                                                                                                                                                                                                                                                                                                                                                                                                                                                                                                                                                                                                                                                                                                   | 1.34                                                                                                                                                                                                                                                                                                                                                                                                                                                                                                                                                                                                                           | 1.31                                                                                                                                                                                                                                                                                                                                                                                                                                                                                                                                                                                                                                                                                                                                                                                                                                                                                                                                                                                                                                                                                                                                                                                                                                                                                                                                                                                                                                                                                                                                                                                                                                                                                                                                                                                                                                                                                                                                                                                                                                                                                                                                                                                                                                                                                                                                                                                                                                                                                                                                                                                                                                                                                                                                                                                                                                                                                                                                                                                                                                                                                                                                                                                             | 1.33                                                                                                                                                                                                                                                                                                                                                                                                                                                                                                                                                                                                                                                                                                                                                                                                                                                                                                                                                                                                                                                                                                                                                                                                                                                                                                                                                                                                                                                                                                                                                                                                                                                                                                                                                                                                                                                                                                                                                                                                                                                                                                                                                                                                                                                                                                                                                                                                                                                                                                                                                                                                                                                                                                                                                                                                                                                                                                                                                                                                                                                                                                                                                                                            | 1,34                                                                                                                                                                                                                                                                                                            | 1,34                                                                                                                                                                                                                                                                                                                                                                                                                                                                                                                                                                                                                                                                                                                                                                                                                                                                                                                                                                                                                                                                                                                                                                                                                                                                                                                                                                                                                                                                                                                                                                                                                                                                                                                                                                                                                                                                                                                                                                                                                                                                                                                                                                                                                                                                                                                                                                                                                                                                                                                                                                                                                                                                                                                                                                                                                                   |                                                                                                                                                                                                                                                                                                                                                                                                                                                                                                                                                                                                                                                                                                                                                                                                                                                                                                                                                                                                                                                                                                                                                                                                                                                                                                                                                                                                                                                                                                                                                                                                                                                                                                                                                                                                                                                                                                                                                                                                                                                                                                                                                                                                                                                                                                                                                                                                                                                                                                                                                                                                                                                                                                                                        | 1-46                                                                                                                                                                   | 8,176,000                                                                                                                                                                                                                                                                                                                                                                                                                                                                                                                                                                                                                                                                                                                                                                                                                                                                                                                                                                                                                                                                                                                                                                                                                                                                                                                                                                                                                                                                                                                                                                                                                                                                                                                                                                                                                                                                                                                                                                                                                                                                                                                                                                                                                                                                                                                                                                                                                                                                                                                                                                                                                                                                                                                                                                                                                                                                                                                                                                                                                     | 10,808,170                                                                                                                                                                                                                                                                                                                                                                                                                                                                                                                                                                                                                                                                                                                                                                                                                                                                                                                                                                                                                                                                                                                                                                                                                                                                                                                                                                                                                                                                                                                                                                                                                                                                                                                                                                                                                                                                                                                                                                                                                                                                                                                                                                                                                                                                                                                                                                                                                                                                                                                                                                                           | D.46                                                                                                                                                                                                                                                                                                                                                                                                                                                                                                                                                                                                                                                                                                                                                                                                                                                                                                                                                                                                                                                                                                                                                                                                                                                                                                                                                                                                                                                                                                                                                                                                                                                                                                                                                                                                                                                                                                                                                                                                                                                                                                                                                                                                                                                                                                                                                                                                                                                                                                                                                                                                                                                                                                                                                                                                                                   | 9 75                                                                                                                                                                                                                                                                                                                                                                                                                                                                                                                                                                                                                                                                                                                                                                                                                                                                                                                                                                                                                                                                                                                                                                                                                                                                                                                                                                                                                                                                                                                                                                                                                                                                                                                                                                                                                                                                                                                                                                                                                                                                                                                                                                                                                                                                                                                                                                                                                                                                                                                                                                                                                                                                                                                                                                                                                                      | 6 54                                                                                                                                                                                                                                                                                                                                                                                                                                                                                                                                                                                                                                                                                                                                                                                                                                                                                                                                                                                                                                                                                                                                                                                                                                                                                                                                                                                                                                                                                                                                                                                                                                                                                                                                                                                                                                                                                                                                                                                                                                                                                                                                                                                                                                                                                                                                                                                                                                                                                                                                                                                                                                                                                                                                                                                                                                                                                                                                                                                                                                                                                                                                                                                             |
| 0 271 亞州灣等<br>5 024 首就集団<br>6 025 終士國際                                                                                                                                                                                                                                                                                                                                                                                                                                                                                                                                                                                                                                                                                                                                                                                                                                                                                                                                                                                                                                                                                                                                                                                                                                                                                                                                                                                                                                                                                                                                                                                                                                                                                                                                                                                                                                                                                                                                                                                                                                                                                       | 2 30<br>0 95                                                                                                                                                                                                                                                                                                                                                                                                                                                                                                                                                                                                                                                                                                                                                                                                                                                                                                                                                                                                                                                                                                                                                                                                                                                                                                                                                                                                                                                                                                                                                                                                                                                                                                                                                                                                                                                                                                                                                                                                                                                                                                                                                                                                                                                                                                                                                                                                                                                                                                                                                                                                                                                                                                                                                                                                                           | 2.25<br>0.95<br>1.68                                                                                                                                                                                                                                                                                                                                                                                                                                                                                                                                                                                                           | 2 225<br>0 92<br>1 61                                                                                                                                                                                                                                                                                                                                                                                                                                                                                                                                                                                                                                                                                                                                                                                                                                                                                                                                                                                                                                                                                                                                                                                                                                                                                                                                                                                                                                                                                                                                                                                                                                                                                                                                                                                                                                                                                                                                                                                                                                                                                                                                                                                                                                                                                                                                                                                                                                                                                                                                                                                                                                                                                                                                                                                                                                                                                                                                                                                                                                                                                                                                                                            | 2,225 ·<br>0,94<br>1,62                                                                                                                                                                                                                                                                                                                                                                                                                                                                                                                                                                                                                                                                                                                                                                                                                                                                                                                                                                                                                                                                                                                                                                                                                                                                                                                                                                                                                                                                                                                                                                                                                                                                                                                                                                                                                                                                                                                                                                                                                                                                                                                                                                                                                                                                                                                                                                                                                                                                                                                                                                                                                                                                                                                                                                                                                                                                                                                                                                                                                                                                                                                                                                         | 2,275<br>0,94<br>1.63                                                                                                                                                                                                                                                                                           | 2,25<br>0,94<br>1,62                                                                                                                                                                                                                                                                                                                                                                                                                                                                                                                                                                                                                                                                                                                                                                                                                                                                                                                                                                                                                                                                                                                                                                                                                                                                                                                                                                                                                                                                                                                                                                                                                                                                                                                                                                                                                                                                                                                                                                                                                                                                                                                                                                                                                                                                                                                                                                                                                                                                                                                                                                                                                                                                                                                                                                                                                   | -0.05<br>-0.01                                                                                                                                                                                                                                                                                                                                                                                                                                                                                                                                                                                                                                                                                                                                                                                                                                                                                                                                                                                                                                                                                                                                                                                                                                                                                                                                                                                                                                                                                                                                                                                                                                                                                                                                                                                                                                                                                                                                                                                                                                                                                                                                                                                                                                                                                                                                                                                                                                                                                                                                                                                                                                                                                                                         | -45<br>-90                                                                                                                                                             | 186,000<br>820,000<br>2,247,800                                                                                                                                                                                                                                                                                                                                                                                                                                                                                                                                                                                                                                                                                                                                                                                                                                                                                                                                                                                                                                                                                                                                                                                                                                                                                                                                                                                                                                                                                                                                                                                                                                                                                                                                                                                                                                                                                                                                                                                                                                                                                                                                                                                                                                                                                                                                                                                                                                                                                                                                                                                                                                                                                                                                                                                                                                                                                                                                                                                               | 415,000<br>768,100<br>3,822,838                                                                                                                                                                                                                                                                                                                                                                                                                                                                                                                                                                                                                                                                                                                                                                                                                                                                                                                                                                                                                                                                                                                                                                                                                                                                                                                                                                                                                                                                                                                                                                                                                                                                                                                                                                                                                                                                                                                                                                                                                                                                                                                                                                                                                                                                                                                                                                                                                                                                                                                                                                      | 0.76<br>0.32<br>0.55                                                                                                                                                                                                                                                                                                                                                                                                                                                                                                                                                                                                                                                                                                                                                                                                                                                                                                                                                                                                                                                                                                                                                                                                                                                                                                                                                                                                                                                                                                                                                                                                                                                                                                                                                                                                                                                                                                                                                                                                                                                                                                                                                                                                                                                                                                                                                                                                                                                                                                                                                                                                                                                                                                                                                                                                                   | 6.75<br>4.34<br>7.38                                                                                                                                                                                                                                                                                                                                                                                                                                                                                                                                                                                                                                                                                                                                                                                                                                                                                                                                                                                                                                                                                                                                                                                                                                                                                                                                                                                                                                                                                                                                                                                                                                                                                                                                                                                                                                                                                                                                                                                                                                                                                                                                                                                                                                                                                                                                                                                                                                                                                                                                                                                                                                                                                                                                                                                                                      | 7,27<br>•11 70<br>5.24                                                                                                                                                                                                                                                                                                                                                                                                                                                                                                                                                                                                                                                                                                                                                                                                                                                                                                                                                                                                                                                                                                                                                                                                                                                                                                                                                                                                                                                                                                                                                                                                                                                                                                                                                                                                                                                                                                                                                                                                                                                                                                                                                                                                                                                                                                                                                                                                                                                                                                                                                                                                                                                                                                                                                                                                                                                                                                                                                                                                                                                                                                                                                                           |
| 0   116 周 生 生<br>2   367 肝士機構                                                                                                                                                                                                                                                                                                                                                                                                                                                                                                                                                                                                                                                                                                                                                                                                                                                                                                                                                                                                                                                                                                                                                                                                                                                                                                                                                                                                                                                                                                                                                                                                                                                                                                                                                                                                                                                                                                                                                                                                                                                                                                | 2 55<br>0 59                                                                                                                                                                                                                                                                                                                                                                                                                                                                                                                                                                                                                                                                                                                                                                                                                                                                                                                                                                                                                                                                                                                                                                                                                                                                                                                                                                                                                                                                                                                                                                                                                                                                                                                                                                                                                                                                                                                                                                                                                                                                                                                                                                                                                                                                                                                                                                                                                                                                                                                                                                                                                                                                                                                                                                                                                           | 2.55<br>0.59<br>0.85                                                                                                                                                                                                                                                                                                                                                                                                                                                                                                                                                                                                           | 2.525<br>0.55                                                                                                                                                                                                                                                                                                                                                                                                                                                                                                                                                                                                                                                                                                                                                                                                                                                                                                                                                                                                                                                                                                                                                                                                                                                                                                                                                                                                                                                                                                                                                                                                                                                                                                                                                                                                                                                                                                                                                                                                                                                                                                                                                                                                                                                                                                                                                                                                                                                                                                                                                                                                                                                                                                                                                                                                                                                                                                                                                                                                                                                                                                                                                                                    | 2.525<br>0.56<br>0.82'                                                                                                                                                                                                                                                                                                                                                                                                                                                                                                                                                                                                                                                                                                                                                                                                                                                                                                                                                                                                                                                                                                                                                                                                                                                                                                                                                                                                                                                                                                                                                                                                                                                                                                                                                                                                                                                                                                                                                                                                                                                                                                                                                                                                                                                                                                                                                                                                                                                                                                                                                                                                                                                                                                                                                                                                                                                                                                                                                                                                                                                                                                                                                                          | 2.55<br>0.58<br>0.84                                                                                                                                                                                                                                                                                            | 2 525<br>0 57<br>0 63                                                                                                                                                                                                                                                                                                                                                                                                                                                                                                                                                                                                                                                                                                                                                                                                                                                                                                                                                                                                                                                                                                                                                                                                                                                                                                                                                                                                                                                                                                                                                                                                                                                                                                                                                                                                                                                                                                                                                                                                                                                                                                                                                                                                                                                                                                                                                                                                                                                                                                                                                                                                                                                                                                                                                                                                                  | -0.025<br>-0.02<br>-0.01                                                                                                                                                                                                                                                                                                                                                                                                                                                                                                                                                                                                                                                                                                                                                                                                                                                                                                                                                                                                                                                                                                                                                                                                                                                                                                                                                                                                                                                                                                                                                                                                                                                                                                                                                                                                                                                                                                                                                                                                                                                                                                                                                                                                                                                                                                                                                                                                                                                                                                                                                                                                                                                                                                               | -98<br>-20<br>-79                                                                                                                                                      | 374 000<br>4,082 504<br>6,743 466                                                                                                                                                                                                                                                                                                                                                                                                                                                                                                                                                                                                                                                                                                                                                                                                                                                                                                                                                                                                                                                                                                                                                                                                                                                                                                                                                                                                                                                                                                                                                                                                                                                                                                                                                                                                                                                                                                                                                                                                                                                                                                                                                                                                                                                                                                                                                                                                                                                                                                                                                                                                                                                                                                                                                                                                                                                                                                                                                                                             | 947,900<br>2,313,327<br>5,626,071                                                                                                                                                                                                                                                                                                                                                                                                                                                                                                                                                                                                                                                                                                                                                                                                                                                                                                                                                                                                                                                                                                                                                                                                                                                                                                                                                                                                                                                                                                                                                                                                                                                                                                                                                                                                                                                                                                                                                                                                                                                                                                                                                                                                                                                                                                                                                                                                                                                                                                                                                                    | 0.86 .<br>0.19<br>0.28                                                                                                                                                                                                                                                                                                                                                                                                                                                                                                                                                                                                                                                                                                                                                                                                                                                                                                                                                                                                                                                                                                                                                                                                                                                                                                                                                                                                                                                                                                                                                                                                                                                                                                                                                                                                                                                                                                                                                                                                                                                                                                                                                                                                                                                                                                                                                                                                                                                                                                                                                                                                                                                                                                                                                                                                                 | 5.41                                                                                                                                                                                                                                                                                                                                                                                                                                                                                                                                                                                                                                                                                                                                                                                                                                                                                                                                                                                                                                                                                                                                                                                                                                                                                                                                                                                                                                                                                                                                                                                                                                                                                                                                                                                                                                                                                                                                                                                                                                                                                                                                                                                                                                                                                                                                                                                                                                                                                                                                                                                                                                                                                                                                                                                                                                      | 6,53<br>4,39<br>10,83                                                                                                                                                                                                                                                                                                                                                                                                                                                                                                                                                                                                                                                                                                                                                                                                                                                                                                                                                                                                                                                                                                                                                                                                                                                                                                                                                                                                                                                                                                                                                                                                                                                                                                                                                                                                                                                                                                                                                                                                                                                                                                                                                                                                                                                                                                                                                                                                                                                                                                                                                                                                                                                                                                                                                                                                                                                                                                                                                                                                                                                                                                                                                                            |
| 9 508 转计商类阅题<br>1、441 實際達行<br>9 284 公、和 祥                                                                                                                                                                                                                                                                                                                                                                                                                                                                                                                                                                                                                                                                                                                                                                                                                                                                                                                                                                                                                                                                                                                                                                                                                                                                                                                                                                                                                                                                                                                                                                                                                                                                                                                                                                                                                                                                                                                                                                                                                                                                                    | 0.83<br>0.265                                                                                                                                                                                                                                                                                                                                                                                                                                                                                                                                                                                                                                                                                                                                                                                                                                                                                                                                                                                                                                                                                                                                                                                                                                                                                                                                                                                                                                                                                                                                                                                                                                                                                                                                                                                                                                                                                                                                                                                                                                                                                                                                                                                                                                                                                                                                                                                                                                                                                                                                                                                                                                                                                                                                                                                                                          | 0.81<br>0.20                                                                                                                                                                                                                                                                                                                                                                                                                                                                                                                                                                                                                   | 0.81<br>0.80<br>0.26                                                                                                                                                                                                                                                                                                                                                                                                                                                                                                                                                                                                                                                                                                                                                                                                                                                                                                                                                                                                                                                                                                                                                                                                                                                                                                                                                                                                                                                                                                                                                                                                                                                                                                                                                                                                                                                                                                                                                                                                                                                                                                                                                                                                                                                                                                                                                                                                                                                                                                                                                                                                                                                                                                                                                                                                                                                                                                                                                                                                                                                                                                                                                                             | 0.81                                                                                                                                                                                                                                                                                                                                                                                                                                                                                                                                                                                                                                                                                                                                                                                                                                                                                                                                                                                                                                                                                                                                                                                                                                                                                                                                                                                                                                                                                                                                                                                                                                                                                                                                                                                                                                                                                                                                                                                                                                                                                                                                                                                                                                                                                                                                                                                                                                                                                                                                                                                                                                                                                                                                                                                                                                                                                                                                                                                                                                                                                                                                                                                            | 0.82<br>0.265                                                                                                                                                                                                                                                                                                   | 0.81<br>0.26                                                                                                                                                                                                                                                                                                                                                                                                                                                                                                                                                                                                                                                                                                                                                                                                                                                                                                                                                                                                                                                                                                                                                                                                                                                                                                                                                                                                                                                                                                                                                                                                                                                                                                                                                                                                                                                                                                                                                                                                                                                                                                                                                                                                                                                                                                                                                                                                                                                                                                                                                                                                                                                                                                                                                                                                                           | -0.02<br>0.005                                                                                                                                                                                                                                                                                                                                                                                                                                                                                                                                                                                                                                                                                                                                                                                                                                                                                                                                                                                                                                                                                                                                                                                                                                                                                                                                                                                                                                                                                                                                                                                                                                                                                                                                                                                                                                                                                                                                                                                                                                                                                                                                                                                                                                                                                                                                                                                                                                                                                                                                                                                                                                                                                                                         | -39<br>-55                                                                                                                                                             | 152,000<br>420,000                                                                                                                                                                                                                                                                                                                                                                                                                                                                                                                                                                                                                                                                                                                                                                                                                                                                                                                                                                                                                                                                                                                                                                                                                                                                                                                                                                                                                                                                                                                                                                                                                                                                                                                                                                                                                                                                                                                                                                                                                                                                                                                                                                                                                                                                                                                                                                                                                                                                                                                                                                                                                                                                                                                                                                                                                                                                                                                                                                                                            | 122,100<br>109,200                                                                                                                                                                                                                                                                                                                                                                                                                                                                                                                                                                                                                                                                                                                                                                                                                                                                                                                                                                                                                                                                                                                                                                                                                                                                                                                                                                                                                                                                                                                                                                                                                                                                                                                                                                                                                                                                                                                                                                                                                                                                                                                                                                                                                                                                                                                                                                                                                                                                                                                                                                                   | <b>69</b> 58                                                                                                                                                                                                                                                                                                                                                                                                                                                                                                                                                                                                                                                                                                                                                                                                                                                                                                                                                                                                                                                                                                                                                                                                                                                                                                                                                                                                                                                                                                                                                                                                                                                                                                                                                                                                                                                                                                                                                                                                                                                                                                                                                                                                                                                                                                                                                                                                                                                                                                                                                                                                                                                                                                                                                                                                                           | 5.34                                                                                                                                                                                                                                                                                                                                                                                                                                                                                                                                                                                                                                                                                                                                                                                                                                                                                                                                                                                                                                                                                                                                                                                                                                                                                                                                                                                                                                                                                                                                                                                                                                                                                                                                                                                                                                                                                                                                                                                                                                                                                                                                                                                                                                                                                                                                                                                                                                                                                                                                                                                                                                                                                                                                                                                                                                      | 3.70                                                                                                                                                                                                                                                                                                                                                                                                                                                                                                                                                                                                                                                                                                                                                                                                                                                                                                                                                                                                                                                                                                                                                                                                                                                                                                                                                                                                                                                                                                                                                                                                                                                                                                                                                                                                                                                                                                                                                                                                                                                                                                                                                                                                                                                                                                                                                                                                                                                                                                                                                                                                                                                                                                                                                                                                                                                                                                                                                                                                                                                                                                                                                                                             |
| D 013 和記賞場本<br>5 155 華華泰集團<br>2 175 志正國際                                                                                                                                                                                                                                                                                                                                                                                                                                                                                                                                                                                                                                                                                                                                                                                                                                                                                                                                                                                                                                                                                                                                                                                                                                                                                                                                                                                                                                                                                                                                                                                                                                                                                                                                                                                                                                                                                                                                                                                                                                                                                     | 10.30<br>4.85<br>0.92                                                                                                                                                                                                                                                                                                                                                                                                                                                                                                                                                                                                                                                                                                                                                                                                                                                                                                                                                                                                                                                                                                                                                                                                                                                                                                                                                                                                                                                                                                                                                                                                                                                                                                                                                                                                                                                                                                                                                                                                                                                                                                                                                                                                                                                                                                                                                                                                                                                                                                                                                                                                                                                                                                                                                                                                                  | 10 30 °<br>4.65                                                                                                                                                                                                                                                                                                                                                                                                                                                                                                                                                                                                                | 10.10<br>. 4 575                                                                                                                                                                                                                                                                                                                                                                                                                                                                                                                                                                                                                                                                                                                                                                                                                                                                                                                                                                                                                                                                                                                                                                                                                                                                                                                                                                                                                                                                                                                                                                                                                                                                                                                                                                                                                                                                                                                                                                                                                                                                                                                                                                                                                                                                                                                                                                                                                                                                                                                                                                                                                                                                                                                                                                                                                                                                                                                                                                                                                                                                                                                                                                                 | 10.10<br>4.625<br>0.91                                                                                                                                                                                                                                                                                                                                                                                                                                                                                                                                                                                                                                                                                                                                                                                                                                                                                                                                                                                                                                                                                                                                                                                                                                                                                                                                                                                                                                                                                                                                                                                                                                                                                                                                                                                                                                                                                                                                                                                                                                                                                                                                                                                                                                                                                                                                                                                                                                                                                                                                                                                                                                                                                                                                                                                                                                                                                                                                                                                                                                                                                                                                                                          | 4.65<br>0.92                                                                                                                                                                                                                                                                                                    | 10 80<br>4.625<br>0.92                                                                                                                                                                                                                                                                                                                                                                                                                                                                                                                                                                                                                                                                                                                                                                                                                                                                                                                                                                                                                                                                                                                                                                                                                                                                                                                                                                                                                                                                                                                                                                                                                                                                                                                                                                                                                                                                                                                                                                                                                                                                                                                                                                                                                                                                                                                                                                                                                                                                                                                                                                                                                                                                                                                                                                                                                 | -0.10<br>-0.025                                                                                                                                                                                                                                                                                                                                                                                                                                                                                                                                                                                                                                                                                                                                                                                                                                                                                                                                                                                                                                                                                                                                                                                                                                                                                                                                                                                                                                                                                                                                                                                                                                                                                                                                                                                                                                                                                                                                                                                                                                                                                                                                                                                                                                                                                                                                                                                                                                                                                                                                                                                                                                                                                                                        | - 136                                                                                                                                                                  | 3,788,191<br>456,000                                                                                                                                                                                                                                                                                                                                                                                                                                                                                                                                                                                                                                                                                                                                                                                                                                                                                                                                                                                                                                                                                                                                                                                                                                                                                                                                                                                                                                                                                                                                                                                                                                                                                                                                                                                                                                                                                                                                                                                                                                                                                                                                                                                                                                                                                                                                                                                                                                                                                                                                                                                                                                                                                                                                                                                                                                                                                                                                                                                                          | 38,766,940<br>2,107,800                                                                                                                                                                                                                                                                                                                                                                                                                                                                                                                                                                                                                                                                                                                                                                                                                                                                                                                                                                                                                                                                                                                                                                                                                                                                                                                                                                                                                                                                                                                                                                                                                                                                                                                                                                                                                                                                                                                                                                                                                                                                                                                                                                                                                                                                                                                                                                                                                                                                                                                                                                              | 167<br>************************************                                                                                                                                                                                                                                                                                                                                                                                                                                                                                                                                                                                                                                                                                                                                                                                                                                                                                                                                                                                                                                                                                                                                                                                                                                                                                                                                                                                                                                                                                                                                                                                                                                                                                                                                                                                                                                                                                                                                                                                                                                                                                                                                                                                                                                                                                                                                                                                                                                                                                                                                                                                                                                                                                                                                                                                            | 10.23<br>15.09<br>0.01                                                                                                                                                                                                                                                                                                                                                                                                                                                                                                                                                                                                                                                                                                                                                                                                                                                                                                                                                                                                                                                                                                                                                                                                                                                                                                                                                                                                                                                                                                                                                                                                                                                                                                                                                                                                                                                                                                                                                                                                                                                                                                                                                                                                                                                                                                                                                                                                                                                                                                                                                                                                                                                                                                                                                                                                                    | 5,29<br>3.25<br>10.87                                                                                                                                                                                                                                                                                                                                                                                                                                                                                                                                                                                                                                                                                                                                                                                                                                                                                                                                                                                                                                                                                                                                                                                                                                                                                                                                                                                                                                                                                                                                                                                                                                                                                                                                                                                                                                                                                                                                                                                                                                                                                                                                                                                                                                                                                                                                                                                                                                                                                                                                                                                                                                                                                                                                                                                                                                                                                                                                                                                                                                                                                                                                                                            |
| 0 015 性和挫败<br>0 208 性和策略                                                                                                                                                                                                                                                                                                                                                                                                                                                                                                                                                                                                                                                                                                                                                                                                                                                                                                                                                                                                                                                                                                                                                                                                                                                                                                                                                                                                                                                                                                                                                                                                                                                                                                                                                                                                                                                                                                                                                                                                                                                                                                     | 28.80<br>16.50                                                                                                                                                                                                                                                                                                                                                                                                                                                                                                                                                                                                                                                                                                                                                                                                                                                                                                                                                                                                                                                                                                                                                                                                                                                                                                                                                                                                                                                                                                                                                                                                                                                                                                                                                                                                                                                                                                                                                                                                                                                                                                                                                                                                                                                                                                                                                                                                                                                                                                                                                                                                                                                                                                                                                                                                                         | 29.00<br>16.50                                                                                                                                                                                                                                                                                                                                                                                                                                                                                                                                                                                                                 | 28.50<br>16.20.                                                                                                                                                                                                                                                                                                                                                                                                                                                                                                                                                                                                                                                                                                                                                                                                                                                                                                                                                                                                                                                                                                                                                                                                                                                                                                                                                                                                                                                                                                                                                                                                                                                                                                                                                                                                                                                                                                                                                                                                                                                                                                                                                                                                                                                                                                                                                                                                                                                                                                                                                                                                                                                                                                                                                                                                                                                                                                                                                                                                                                                                                                                                                                                  | 28.90<br>16.40                                                                                                                                                                                                                                                                                                                                                                                                                                                                                                                                                                                                                                                                                                                                                                                                                                                                                                                                                                                                                                                                                                                                                                                                                                                                                                                                                                                                                                                                                                                                                                                                                                                                                                                                                                                                                                                                                                                                                                                                                                                                                                                                                                                                                                                                                                                                                                                                                                                                                                                                                                                                                                                                                                                                                                                                                                                                                                                                                                                                                                                                                                                                                                                  | 29.00<br>16.50                                                                                                                                                                                                                                                                                                  | 28.90<br>16.50                                                                                                                                                                                                                                                                                                                                                                                                                                                                                                                                                                                                                                                                                                                                                                                                                                                                                                                                                                                                                                                                                                                                                                                                                                                                                                                                                                                                                                                                                                                                                                                                                                                                                                                                                                                                                                                                                                                                                                                                                                                                                                                                                                                                                                                                                                                                                                                                                                                                                                                                                                                                                                                                                                                                                                                                                         | +0 10                                                                                                                                                                                                                                                                                                                                                                                                                                                                                                                                                                                                                                                                                                                                                                                                                                                                                                                                                                                                                                                                                                                                                                                                                                                                                                                                                                                                                                                                                                                                                                                                                                                                                                                                                                                                                                                                                                                                                                                                                                                                                                                                                                                                                                                                                                                                                                                                                                                                                                                                                                                                                                                                                                                                  | +98<br>-184                                                                                                                                                            | 259,926<br>368,257                                                                                                                                                                                                                                                                                                                                                                                                                                                                                                                                                                                                                                                                                                                                                                                                                                                                                                                                                                                                                                                                                                                                                                                                                                                                                                                                                                                                                                                                                                                                                                                                                                                                                                                                                                                                                                                                                                                                                                                                                                                                                                                                                                                                                                                                                                                                                                                                                                                                                                                                                                                                                                                                                                                                                                                                                                                                                                                                                                                                            | 7,458,123<br>6,027,515<br>3,709,100                                                                                                                                                                                                                                                                                                                                                                                                                                                                                                                                                                                                                                                                                                                                                                                                                                                                                                                                                                                                                                                                                                                                                                                                                                                                                                                                                                                                                                                                                                                                                                                                                                                                                                                                                                                                                                                                                                                                                                                                                                                                                                                                                                                                                                                                                                                                                                                                                                                                                                                                                                  | 9332<br>30.61                                                                                                                                                                                                                                                                                                                                                                                                                                                                                                                                                                                                                                                                                                                                                                                                                                                                                                                                                                                                                                                                                                                                                                                                                                                                                                                                                                                                                                                                                                                                                                                                                                                                                                                                                                                                                                                                                                                                                                                                                                                                                                                                                                                                                                                                                                                                                                                                                                                                                                                                                                                                                                                                                                                                                                                                                          | 87.8<br>\$8.8                                                                                                                                                                                                                                                                                                                                                                                                                                                                                                                                                                                                                                                                                                                                                                                                                                                                                                                                                                                                                                                                                                                                                                                                                                                                                                                                                                                                                                                                                                                                                                                                                                                                                                                                                                                                                                                                                                                                                                                                                                                                                                                                                                                                                                                                                                                                                                                                                                                                                                                                                                                                                                                                                                                                                                                                                             | 3,26<br>1,62<br>3 35                                                                                                                                                                                                                                                                                                                                                                                                                                                                                                                                                                                                                                                                                                                                                                                                                                                                                                                                                                                                                                                                                                                                                                                                                                                                                                                                                                                                                                                                                                                                                                                                                                                                                                                                                                                                                                                                                                                                                                                                                                                                                                                                                                                                                                                                                                                                                                                                                                                                                                                                                                                                                                                                                                                                                                                                                                                                                                                                                                                                                                                                                                                                                                             |
| 0   209   信和議略(長)<br>5   174   森林集制者<br>75   194   海   剛   秋                                                                                                                                                                                                                                                                                                                                                                                                                                                                                                                                                                                                                                                                                                                                                                                                                                                                                                                                                                                                                                                                                                                                                                                                                                                                                                                                                                                                                                                                                                                                                                                                                                                                                                                                                                                                                                                                                                                                                                                                                                                                 | 16.00<br>1.24<br>. 3.75                                                                                                                                                                                                                                                                                                                                                                                                                                                                                                                                                                                                                                                                                                                                                                                                                                                                                                                                                                                                                                                                                                                                                                                                                                                                                                                                                                                                                                                                                                                                                                                                                                                                                                                                                                                                                                                                                                                                                                                                                                                                                                                                                                                                                                                                                                                                                                                                                                                                                                                                                                                                                                                                                                                                                                                                                | 14 90<br>1,25<br>3,75                                                                                                                                                                                                                                                                                                                                                                                                                                                                                                                                                                                                          | 14 60<br>1.23<br>3.70                                                                                                                                                                                                                                                                                                                                                                                                                                                                                                                                                                                                                                                                                                                                                                                                                                                                                                                                                                                                                                                                                                                                                                                                                                                                                                                                                                                                                                                                                                                                                                                                                                                                                                                                                                                                                                                                                                                                                                                                                                                                                                                                                                                                                                                                                                                                                                                                                                                                                                                                                                                                                                                                                                                                                                                                                                                                                                                                                                                                                                                                                                                                                                            | 14 66<br>1 24<br>3.70                                                                                                                                                                                                                                                                                                                                                                                                                                                                                                                                                                                                                                                                                                                                                                                                                                                                                                                                                                                                                                                                                                                                                                                                                                                                                                                                                                                                                                                                                                                                                                                                                                                                                                                                                                                                                                                                                                                                                                                                                                                                                                                                                                                                                                                                                                                                                                                                                                                                                                                                                                                                                                                                                                                                                                                                                                                                                                                                                                                                                                                                                                                                                                           | 45.00                                                                                                                                                                                                                                                                                                           | 14.90<br>1.25<br>3.720                                                                                                                                                                                                                                                                                                                                                                                                                                                                                                                                                                                                                                                                                                                                                                                                                                                                                                                                                                                                                                                                                                                                                                                                                                                                                                                                                                                                                                                                                                                                                                                                                                                                                                                                                                                                                                                                                                                                                                                                                                                                                                                                                                                                                                                                                                                                                                                                                                                                                                                                                                                                                                                                                                                                                                                                                 | +5.81<br>-0.025                                                                                                                                                                                                                                                                                                                                                                                                                                                                                                                                                                                                                                                                                                                                                                                                                                                                                                                                                                                                                                                                                                                                                                                                                                                                                                                                                                                                                                                                                                                                                                                                                                                                                                                                                                                                                                                                                                                                                                                                                                                                                                                                                                                                                                                                                                                                                                                                                                                                                                                                                                                                                                                                                                                        | +444                                                                                                                                                                   | 172,000<br>70,000                                                                                                                                                                                                                                                                                                                                                                                                                                                                                                                                                                                                                                                                                                                                                                                                                                                                                                                                                                                                                                                                                                                                                                                                                                                                                                                                                                                                                                                                                                                                                                                                                                                                                                                                                                                                                                                                                                                                                                                                                                                                                                                                                                                                                                                                                                                                                                                                                                                                                                                                                                                                                                                                                                                                                                                                                                                                                                                                                                                                             | 213,000<br>261,750                                                                                                                                                                                                                                                                                                                                                                                                                                                                                                                                                                                                                                                                                                                                                                                                                                                                                                                                                                                                                                                                                                                                                                                                                                                                                                                                                                                                                                                                                                                                                                                                                                                                                                                                                                                                                                                                                                                                                                                                                                                                                                                                                                                                                                                                                                                                                                                                                                                                                                                                                                                   |                                                                                                                                                                                                                                                                                                                                                                                                                                                                                                                                                                                                                                                                                                                                                                                                                                                                                                                                                                                                                                                                                                                                                                                                                                                                                                                                                                                                                                                                                                                                                                                                                                                                                                                                                                                                                                                                                                                                                                                                                                                                                                                                                                                                                                                                                                                                                                                                                                                                                                                                                                                                                                                                                                                                                                                                                                        | 9 25<br>9 48                                                                                                                                                                                                                                                                                                                                                                                                                                                                                                                                                                                                                                                                                                                                                                                                                                                                                                                                                                                                                                                                                                                                                                                                                                                                                                                                                                                                                                                                                                                                                                                                                                                                                                                                                                                                                                                                                                                                                                                                                                                                                                                                                                                                                                                                                                                                                                                                                                                                                                                                                                                                                                                                                                                                                                                                                              | 6.40<br>6.71                                                                                                                                                                                                                                                                                                                                                                                                                                                                                                                                                                                                                                                                                                                                                                                                                                                                                                                                                                                                                                                                                                                                                                                                                                                                                                                                                                                                                                                                                                                                                                                                                                                                                                                                                                                                                                                                                                                                                                                                                                                                                                                                                                                                                                                                                                                                                                                                                                                                                                                                                                                                                                                                                                                                                                                                                                                                                                                                                                                                                                                                                                                                                                                     |
| 070 準管修成<br>.206 Megs Pac                                                                                                                                                                                                                                                                                                                                                                                                                                                                                                                                                                                                                                                                                                                                                                                                                                                                                                                                                                                                                                                                                                                                                                                                                                                                                                                                                                                                                                                                                                                                                                                                                                                                                                                                                                                                                                                                                                                                                                                                                                                                                                    | 0.97                                                                                                                                                                                                                                                                                                                                                                                                                                                                                                                                                                                                                                                                                                                                                                                                                                                                                                                                                                                                                                                                                                                                                                                                                                                                                                                                                                                                                                                                                                                                                                                                                                                                                                                                                                                                                                                                                                                                                                                                                                                                                                                                                                                                                                                                                                                                                                                                                                                                                                                                                                                                                                                                                                                                                                                                                                   | 0.97                                                                                                                                                                                                                                                                                                                                                                                                                                                                                                                                                                                                                           |                                                                                                                                                                                                                                                                                                                                                                                                                                                                                                                                                                                                                                                                                                                                                                                                                                                                                                                                                                                                                                                                                                                                                                                                                                                                                                                                                                                                                                                                                                                                                                                                                                                                                                                                                                                                                                                                                                                                                                                                                                                                                                                                                                                                                                                                                                                                                                                                                                                                                                                                                                                                                                                                                                                                                                                                                                                                                                                                                                                                                                                                                                                                                                                                  | <b>20</b> .95                                                                                                                                                                                                                                                                                                                                                                                                                                                                                                                                                                                                                                                                                                                                                                                                                                                                                                                                                                                                                                                                                                                                                                                                                                                                                                                                                                                                                                                                                                                                                                                                                                                                                                                                                                                                                                                                                                                                                                                                                                                                                                                                                                                                                                                                                                                                                                                                                                                                                                                                                                                                                                                                                                                                                                                                                                                                                                                                                                                                                                                                                                                                                                                   | 0.96                                                                                                                                                                                                                                                                                                            | 0.98                                                                                                                                                                                                                                                                                                                                                                                                                                                                                                                                                                                                                                                                                                                                                                                                                                                                                                                                                                                                                                                                                                                                                                                                                                                                                                                                                                                                                                                                                                                                                                                                                                                                                                                                                                                                                                                                                                                                                                                                                                                                                                                                                                                                                                                                                                                                                                                                                                                                                                                                                                                                                                                                                                                                                                                                                                   | -0.02                                                                                                                                                                                                                                                                                                                                                                                                                                                                                                                                                                                                                                                                                                                                                                                                                                                                                                                                                                                                                                                                                                                                                                                                                                                                                                                                                                                                                                                                                                                                                                                                                                                                                                                                                                                                                                                                                                                                                                                                                                                                                                                                                                                                                                                                                                                                                                                                                                                                                                                                                                                                                                                                                                                                  | -48                                                                                                                                                                    | 整保資費<br>3,212,000                                                                                                                                                                                                                                                                                                                                                                                                                                                                                                                                                                                                                                                                                                                                                                                                                                                                                                                                                                                                                                                                                                                                                                                                                                                                                                                                                                                                                                                                                                                                                                                                                                                                                                                                                                                                                                                                                                                                                                                                                                                                                                                                                                                                                                                                                                                                                                                                                                                                                                                                                                                                                                                                                                                                                                                                                                                                                                                                                                                                             | 3,036,280                                                                                                                                                                                                                                                                                                                                                                                                                                                                                                                                                                                                                                                                                                                                                                                                                                                                                                                                                                                                                                                                                                                                                                                                                                                                                                                                                                                                                                                                                                                                                                                                                                                                                                                                                                                                                                                                                                                                                                                                                                                                                                                                                                                                                                                                                                                                                                                                                                                                                                                                                                                            | 0 32                                                                                                                                                                                                                                                                                                                                                                                                                                                                                                                                                                                                                                                                                                                                                                                                                                                                                                                                                                                                                                                                                                                                                                                                                                                                                                                                                                                                                                                                                                                                                                                                                                                                                                                                                                                                                                                                                                                                                                                                                                                                                                                                                                                                                                                                                                                                                                                                                                                                                                                                                                                                                                                                                                                                                                                                                                   | 7.11                                                                                                                                                                                                                                                                                                                                                                                                                                                                                                                                                                                                                                                                                                                                                                                                                                                                                                                                                                                                                                                                                                                                                                                                                                                                                                                                                                                                                                                                                                                                                                                                                                                                                                                                                                                                                                                                                                                                                                                                                                                                                                                                                                                                                                                                                                                                                                                                                                                                                                                                                                                                                                                                                                                                                                                                                                      | 3.16                                                                                                                                                                                                                                                                                                                                                                                                                                                                                                                                                                                                                                                                                                                                                                                                                                                                                                                                                                                                                                                                                                                                                                                                                                                                                                                                                                                                                                                                                                                                                                                                                                                                                                                                                                                                                                                                                                                                                                                                                                                                                                                                                                                                                                                                                                                                                                                                                                                                                                                                                                                                                                                                                                                                                                                                                                                                                                                                                                                                                                                                                                                                                                                             |
| 8 478 名力集團<br>218 玉 集 園<br>0 438 太平協和                                                                                                                                                                                                                                                                                                                                                                                                                                                                                                                                                                                                                                                                                                                                                                                                                                                                                                                                                                                                                                                                                                                                                                                                                                                                                                                                                                                                                                                                                                                                                                                                                                                                                                                                                                                                                                                                                                                                                                                                                                                                                        | 5.00                                                                                                                                                                                                                                                                                                                                                                                                                                                                                                                                                                                                                                                                                                                                                                                                                                                                                                                                                                                                                                                                                                                                                                                                                                                                                                                                                                                                                                                                                                                                                                                                                                                                                                                                                                                                                                                                                                                                                                                                                                                                                                                                                                                                                                                                                                                                                                                                                                                                                                                                                                                                                                                                                                                                                                                                                                   | 5 05                                                                                                                                                                                                                                                                                                                                                                                                                                                                                                                                                                                                                           | . 4.95                                                                                                                                                                                                                                                                                                                                                                                                                                                                                                                                                                                                                                                                                                                                                                                                                                                                                                                                                                                                                                                                                                                                                                                                                                                                                                                                                                                                                                                                                                                                                                                                                                                                                                                                                                                                                                                                                                                                                                                                                                                                                                                                                                                                                                                                                                                                                                                                                                                                                                                                                                                                                                                                                                                                                                                                                                                                                                                                                                                                                                                                                                                                                                                           | 4.975                                                                                                                                                                                                                                                                                                                                                                                                                                                                                                                                                                                                                                                                                                                                                                                                                                                                                                                                                                                                                                                                                                                                                                                                                                                                                                                                                                                                                                                                                                                                                                                                                                                                                                                                                                                                                                                                                                                                                                                                                                                                                                                                                                                                                                                                                                                                                                                                                                                                                                                                                                                                                                                                                                                                                                                                                                                                                                                                                                                                                                                                                                                                                                                           | 5.0D                                                                                                                                                                                                                                                                                                            | 5.00                                                                                                                                                                                                                                                                                                                                                                                                                                                                                                                                                                                                                                                                                                                                                                                                                                                                                                                                                                                                                                                                                                                                                                                                                                                                                                                                                                                                                                                                                                                                                                                                                                                                                                                                                                                                                                                                                                                                                                                                                                                                                                                                                                                                                                                                                                                                                                                                                                                                                                                                                                                                                                                                                                                                                                                                                                   | -                                                                                                                                                                                                                                                                                                                                                                                                                                                                                                                                                                                                                                                                                                                                                                                                                                                                                                                                                                                                                                                                                                                                                                                                                                                                                                                                                                                                                                                                                                                                                                                                                                                                                                                                                                                                                                                                                                                                                                                                                                                                                                                                                                                                                                                                                                                                                                                                                                                                                                                                                                                                                                                                                                                                      | -                                                                                                                                                                      | 3,318,000                                                                                                                                                                                                                                                                                                                                                                                                                                                                                                                                                                                                                                                                                                                                                                                                                                                                                                                                                                                                                                                                                                                                                                                                                                                                                                                                                                                                                                                                                                                                                                                                                                                                                                                                                                                                                                                                                                                                                                                                                                                                                                                                                                                                                                                                                                                                                                                                                                                                                                                                                                                                                                                                                                                                                                                                                                                                                                                                                                                                                     | 16,497,900                                                                                                                                                                                                                                                                                                                                                                                                                                                                                                                                                                                                                                                                                                                                                                                                                                                                                                                                                                                                                                                                                                                                                                                                                                                                                                                                                                                                                                                                                                                                                                                                                                                                                                                                                                                                                                                                                                                                                                                                                                                                                                                                                                                                                                                                                                                                                                                                                                                                                                                                                                                           | 1 70                                                                                                                                                                                                                                                                                                                                                                                                                                                                                                                                                                                                                                                                                                                                                                                                                                                                                                                                                                                                                                                                                                                                                                                                                                                                                                                                                                                                                                                                                                                                                                                                                                                                                                                                                                                                                                                                                                                                                                                                                                                                                                                                                                                                                                                                                                                                                                                                                                                                                                                                                                                                                                                                                                                                                                                                                                   | 2131                                                                                                                                                                                                                                                                                                                                                                                                                                                                                                                                                                                                                                                                                                                                                                                                                                                                                                                                                                                                                                                                                                                                                                                                                                                                                                                                                                                                                                                                                                                                                                                                                                                                                                                                                                                                                                                                                                                                                                                                                                                                                                                                                                                                                                                                                                                                                                                                                                                                                                                                                                                                                                                                                                                                                                                                                                      | 1 80                                                                                                                                                                                                                                                                                                                                                                                                                                                                                                                                                                                                                                                                                                                                                                                                                                                                                                                                                                                                                                                                                                                                                                                                                                                                                                                                                                                                                                                                                                                                                                                                                                                                                                                                                                                                                                                                                                                                                                                                                                                                                                                                                                                                                                                                                                                                                                                                                                                                                                                                                                                                                                                                                                                                                                                                                                                                                                                                                                                                                                                                                                                                                                                             |
| 7 282. 百樂門住展<br>5 224 磁生協際<br>25 249 森 娜 美                                                                                                                                                                                                                                                                                                                                                                                                                                                                                                                                                                                                                                                                                                                                                                                                                                                                                                                                                                                                                                                                                                                                                                                                                                                                                                                                                                                                                                                                                                                                                                                                                                                                                                                                                                                                                                                                                                                                                                                                                                                                                   | 0.48<br>2.775.5,<br>3.229                                                                                                                                                                                                                                                                                                                                                                                                                                                                                                                                                                                                                                                                                                                                                                                                                                                                                                                                                                                                                                                                                                                                                                                                                                                                                                                                                                                                                                                                                                                                                                                                                                                                                                                                                                                                                                                                                                                                                                                                                                                                                                                                                                                                                                                                                                                                                                                                                                                                                                                                                                                                                                                                                                                                                                                                              | 0 48<br>2 80<br>3 35                                                                                                                                                                                                                                                                                                                                                                                                                                                                                                                                                                                                           | 0.475<br>2.75<br>2.75                                                                                                                                                                                                                                                                                                                                                                                                                                                                                                                                                                                                                                                                                                                                                                                                                                                                                                                                                                                                                                                                                                                                                                                                                                                                                                                                                                                                                                                                                                                                                                                                                                                                                                                                                                                                                                                                                                                                                                                                                                                                                                                                                                                                                                                                                                                                                                                                                                                                                                                                                                                                                                                                                                                                                                                                                                                                                                                                                                                                                                                                                                                                                                            | 0.475<br>2 775<br>3 10                                                                                                                                                                                                                                                                                                                                                                                                                                                                                                                                                                                                                                                                                                                                                                                                                                                                                                                                                                                                                                                                                                                                                                                                                                                                                                                                                                                                                                                                                                                                                                                                                                                                                                                                                                                                                                                                                                                                                                                                                                                                                                                                                                                                                                                                                                                                                                                                                                                                                                                                                                                                                                                                                                                                                                                                                                                                                                                                                                                                                                                                                                                                                                          | 0 4B<br>2 80<br>3.125                                                                                                                                                                                                                                                                                           | 0.475<br>2.775<br>3.125                                                                                                                                                                                                                                                                                                                                                                                                                                                                                                                                                                                                                                                                                                                                                                                                                                                                                                                                                                                                                                                                                                                                                                                                                                                                                                                                                                                                                                                                                                                                                                                                                                                                                                                                                                                                                                                                                                                                                                                                                                                                                                                                                                                                                                                                                                                                                                                                                                                                                                                                                                                                                                                                                                                                                                                                                | -0.005<br>-0.10                                                                                                                                                                                                                                                                                                                                                                                                                                                                                                                                                                                                                                                                                                                                                                                                                                                                                                                                                                                                                                                                                                                                                                                                                                                                                                                                                                                                                                                                                                                                                                                                                                                                                                                                                                                                                                                                                                                                                                                                                                                                                                                                                                                                                                                                                                                                                                                                                                                                                                                                                                                                                                                                                                                        | -94<br>-<br>-25                                                                                                                                                        | 1:800,000<br>546,000<br>150,000                                                                                                                                                                                                                                                                                                                                                                                                                                                                                                                                                                                                                                                                                                                                                                                                                                                                                                                                                                                                                                                                                                                                                                                                                                                                                                                                                                                                                                                                                                                                                                                                                                                                                                                                                                                                                                                                                                                                                                                                                                                                                                                                                                                                                                                                                                                                                                                                                                                                                                                                                                                                                                                                                                                                                                                                                                                                                                                                                                                               | 760,750<br>1,516,200<br>A70,650                                                                                                                                                                                                                                                                                                                                                                                                                                                                                                                                                                                                                                                                                                                                                                                                                                                                                                                                                                                                                                                                                                                                                                                                                                                                                                                                                                                                                                                                                                                                                                                                                                                                                                                                                                                                                                                                                                                                                                                                                                                                                                                                                                                                                                                                                                                                                                                                                                                                                                                                                                      | .0 16<br>0 94<br>1 06                                                                                                                                                                                                                                                                                                                                                                                                                                                                                                                                                                                                                                                                                                                                                                                                                                                                                                                                                                                                                                                                                                                                                                                                                                                                                                                                                                                                                                                                                                                                                                                                                                                                                                                                                                                                                                                                                                                                                                                                                                                                                                                                                                                                                                                                                                                                                                                                                                                                                                                                                                                                                                                                                                                                                                                                                  | 20 04<br>21 75<br>7,12                                                                                                                                                                                                                                                                                                                                                                                                                                                                                                                                                                                                                                                                                                                                                                                                                                                                                                                                                                                                                                                                                                                                                                                                                                                                                                                                                                                                                                                                                                                                                                                                                                                                                                                                                                                                                                                                                                                                                                                                                                                                                                                                                                                                                                                                                                                                                                                                                                                                                                                                                                                                                                                                                                                                                                                                                    | 3.16<br>2.63<br>11,20                                                                                                                                                                                                                                                                                                                                                                                                                                                                                                                                                                                                                                                                                                                                                                                                                                                                                                                                                                                                                                                                                                                                                                                                                                                                                                                                                                                                                                                                                                                                                                                                                                                                                                                                                                                                                                                                                                                                                                                                                                                                                                                                                                                                                                                                                                                                                                                                                                                                                                                                                                                                                                                                                                                                                                                                                                                                                                                                                                                                                                                                                                                                                                            |
| 2 263 解隐搜逻<br>2 019 太古洋17A                                                                                                                                                                                                                                                                                                                                                                                                                                                                                                                                                                                                                                                                                                                                                                                                                                                                                                                                                                                                                                                                                                                                                                                                                                                                                                                                                                                                                                                                                                                                                                                                                                                                                                                                                                                                                                                                                                                                                                                                                                                                                                   | 0,633<br>17.60                                                                                                                                                                                                                                                                                                                                                                                                                                                                                                                                                                                                                                                                                                                                                                                                                                                                                                                                                                                                                                                                                                                                                                                                                                                                                                                                                                                                                                                                                                                                                                                                                                                                                                                                                                                                                                                                                                                                                                                                                                                                                                                                                                                                                                                                                                                                                                                                                                                                                                                                                                                                                                                                                                                                                                                                                         | (XXV)                                                                                                                                                                                                                                                                                                                                                                                                                                                                                                                                                                                                                          | 061                                                                                                                                                                                                                                                                                                                                                                                                                                                                                                                                                                                                                                                                                                                                                                                                                                                                                                                                                                                                                                                                                                                                                                                                                                                                                                                                                                                                                                                                                                                                                                                                                                                                                                                                                                                                                                                                                                                                                                                                                                                                                                                                                                                                                                                                                                                                                                                                                                                                                                                                                                                                                                                                                                                                                                                                                                                                                                                                                                                                                                                                                                                                                                                              | 0.61<br><b>317.60</b>                                                                                                                                                                                                                                                                                                                                                                                                                                                                                                                                                                                                                                                                                                                                                                                                                                                                                                                                                                                                                                                                                                                                                                                                                                                                                                                                                                                                                                                                                                                                                                                                                                                                                                                                                                                                                                                                                                                                                                                                                                                                                                                                                                                                                                                                                                                                                                                                                                                                                                                                                                                                                                                                                                                                                                                                                                                                                                                                                                                                                                                                                                                                                                           | 0.62<br>17.70                                                                                                                                                                                                                                                                                                   | 0.61<br>17.70                                                                                                                                                                                                                                                                                                                                                                                                                                                                                                                                                                                                                                                                                                                                                                                                                                                                                                                                                                                                                                                                                                                                                                                                                                                                                                                                                                                                                                                                                                                                                                                                                                                                                                                                                                                                                                                                                                                                                                                                                                                                                                                                                                                                                                                                                                                                                                                                                                                                                                                                                                                                                                                                                                                                                                                                                          | -0.02<br>+0.20                                                                                                                                                                                                                                                                                                                                                                                                                                                                                                                                                                                                                                                                                                                                                                                                                                                                                                                                                                                                                                                                                                                                                                                                                                                                                                                                                                                                                                                                                                                                                                                                                                                                                                                                                                                                                                                                                                                                                                                                                                                                                                                                                                                                                                                                                                                                                                                                                                                                                                                                                                                                                                                                                                                         | -22<br>+69                                                                                                                                                             | 215,000<br>2,179,529                                                                                                                                                                                                                                                                                                                                                                                                                                                                                                                                                                                                                                                                                                                                                                                                                                                                                                                                                                                                                                                                                                                                                                                                                                                                                                                                                                                                                                                                                                                                                                                                                                                                                                                                                                                                                                                                                                                                                                                                                                                                                                                                                                                                                                                                                                                                                                                                                                                                                                                                                                                                                                                                                                                                                                                                                                                                                                                                                                                                          | 132,900<br>38,300,004                                                                                                                                                                                                                                                                                                                                                                                                                                                                                                                                                                                                                                                                                                                                                                                                                                                                                                                                                                                                                                                                                                                                                                                                                                                                                                                                                                                                                                                                                                                                                                                                                                                                                                                                                                                                                                                                                                                                                                                                                                                                                                                                                                                                                                                                                                                                                                                                                                                                                                                                                                                | 602<br>602                                                                                                                                                                                                                                                                                                                                                                                                                                                                                                                                                                                                                                                                                                                                                                                                                                                                                                                                                                                                                                                                                                                                                                                                                                                                                                                                                                                                                                                                                                                                                                                                                                                                                                                                                                                                                                                                                                                                                                                                                                                                                                                                                                                                                                                                                                                                                                                                                                                                                                                                                                                                                                                                                                                                                                                                                             | 20 00<br>9.12<br>7 67                                                                                                                                                                                                                                                                                                                                                                                                                                                                                                                                                                                                                                                                                                                                                                                                                                                                                                                                                                                                                                                                                                                                                                                                                                                                                                                                                                                                                                                                                                                                                                                                                                                                                                                                                                                                                                                                                                                                                                                                                                                                                                                                                                                                                                                                                                                                                                                                                                                                                                                                                                                                                                                                                                                                                                                                                     | 4 52<br>6 37                                                                                                                                                                                                                                                                                                                                                                                                                                                                                                                                                                                                                                                                                                                                                                                                                                                                                                                                                                                                                                                                                                                                                                                                                                                                                                                                                                                                                                                                                                                                                                                                                                                                                                                                                                                                                                                                                                                                                                                                                                                                                                                                                                                                                                                                                                                                                                                                                                                                                                                                                                                                                                                                                                                                                                                                                                                                                                                                                                                                                                                                                                                                                                                     |
| 26 087 大古洋行日<br>3 009 鞍幌企業<br>0 369 資源國際                                                                                                                                                                                                                                                                                                                                                                                                                                                                                                                                                                                                                                                                                                                                                                                                                                                                                                                                                                                                                                                                                                                                                                                                                                                                                                                                                                                                                                                                                                                                                                                                                                                                                                                                                                                                                                                                                                                                                                                                                                                                                     | 2.95<br>1.00                                                                                                                                                                                                                                                                                                                                                                                                                                                                                                                                                                                                                                                                                                                                                                                                                                                                                                                                                                                                                                                                                                                                                                                                                                                                                                                                                                                                                                                                                                                                                                                                                                                                                                                                                                                                                                                                                                                                                                                                                                                                                                                                                                                                                                                                                                                                                                                                                                                                                                                                                                                                                                                                                                                                                                                                                           | 1 00<br>1 60                                                                                                                                                                                                                                                                                                                                                                                                                                                                                                                                                                                                                   | 1.65                                                                                                                                                                                                                                                                                                                                                                                                                                                                                                                                                                                                                                                                                                                                                                                                                                                                                                                                                                                                                                                                                                                                                                                                                                                                                                                                                                                                                                                                                                                                                                                                                                                                                                                                                                                                                                                                                                                                                                                                                                                                                                                                                                                                                                                                                                                                                                                                                                                                                                                                                                                                                                                                                                                                                                                                                                                                                                                                                                                                                                                                                                                                                                                             | 0 99                                                                                                                                                                                                                                                                                                                                                                                                                                                                                                                                                                                                                                                                                                                                                                                                                                                                                                                                                                                                                                                                                                                                                                                                                                                                                                                                                                                                                                                                                                                                                                                                                                                                                                                                                                                                                                                                                                                                                                                                                                                                                                                                                                                                                                                                                                                                                                                                                                                                                                                                                                                                                                                                                                                                                                                                                                                                                                                                                                                                                                                                                                                                                                                            | 3.00<br>1.00<br>1.59                                                                                                                                                                                                                                                                                            | 2.975<br>1.00<br>1.59                                                                                                                                                                                                                                                                                                                                                                                                                                                                                                                                                                                                                                                                                                                                                                                                                                                                                                                                                                                                                                                                                                                                                                                                                                                                                                                                                                                                                                                                                                                                                                                                                                                                                                                                                                                                                                                                                                                                                                                                                                                                                                                                                                                                                                                                                                                                                                                                                                                                                                                                                                                                                                                                                                                                                                                                                  | +0.025<br>-<br>+0.01                                                                                                                                                                                                                                                                                                                                                                                                                                                                                                                                                                                                                                                                                                                                                                                                                                                                                                                                                                                                                                                                                                                                                                                                                                                                                                                                                                                                                                                                                                                                                                                                                                                                                                                                                                                                                                                                                                                                                                                                                                                                                                                                                                                                                                                                                                                                                                                                                                                                                                                                                                                                                                                                                                                   | +68                                                                                                                                                                    | 3,075,890<br>18,000<br>120,000                                                                                                                                                                                                                                                                                                                                                                                                                                                                                                                                                                                                                                                                                                                                                                                                                                                                                                                                                                                                                                                                                                                                                                                                                                                                                                                                                                                                                                                                                                                                                                                                                                                                                                                                                                                                                                                                                                                                                                                                                                                                                                                                                                                                                                                                                                                                                                                                                                                                                                                                                                                                                                                                                                                                                                                                                                                                                                                                                                                                | 9,108,016<br>18,000<br>189,568                                                                                                                                                                                                                                                                                                                                                                                                                                                                                                                                                                                                                                                                                                                                                                                                                                                                                                                                                                                                                                                                                                                                                                                                                                                                                                                                                                                                                                                                                                                                                                                                                                                                                                                                                                                                                                                                                                                                                                                                                                                                                                                                                                                                                                                                                                                                                                                                                                                                                                                                                                       | 0 34<br>0 64                                                                                                                                                                                                                                                                                                                                                                                                                                                                                                                                                                                                                                                                                                                                                                                                                                                                                                                                                                                                                                                                                                                                                                                                                                                                                                                                                                                                                                                                                                                                                                                                                                                                                                                                                                                                                                                                                                                                                                                                                                                                                                                                                                                                                                                                                                                                                                                                                                                                                                                                                                                                                                                                                                                                                                                                                           | 8 63<br>12 88                                                                                                                                                                                                                                                                                                                                                                                                                                                                                                                                                                                                                                                                                                                                                                                                                                                                                                                                                                                                                                                                                                                                                                                                                                                                                                                                                                                                                                                                                                                                                                                                                                                                                                                                                                                                                                                                                                                                                                                                                                                                                                                                                                                                                                                                                                                                                                                                                                                                                                                                                                                                                                                                                                                                                                                                                             | 8 50<br>74.21                                                                                                                                                                                                                                                                                                                                                                                                                                                                                                                                                                                                                                                                                                                                                                                                                                                                                                                                                                                                                                                                                                                                                                                                                                                                                                                                                                                                                                                                                                                                                                                                                                                                                                                                                                                                                                                                                                                                                                                                                                                                                                                                                                                                                                                                                                                                                                                                                                                                                                                                                                                                                                                                                                                                                                                                                                                                                                                                                                                                                                                                                                                                                                                    |
| 0、290 永安集團<br>2 532 王氏孫建                                                                                                                                                                                                                                                                                                                                                                                                                                                                                                                                                                                                                                                                                                                                                                                                                                                                                                                                                                                                                                                                                                                                                                                                                                                                                                                                                                                                                                                                                                                                                                                                                                                                                                                                                                                                                                                                                                                                                                                                                                                                                                     | 0.80<br>0.775                                                                                                                                                                                                                                                                                                                                                                                                                                                                                                                                                                                                                                                                                                                                                                                                                                                                                                                                                                                                                                                                                                                                                                                                                                                                                                                                                                                                                                                                                                                                                                                                                                                                                                                                                                                                                                                                                                                                                                                                                                                                                                                                                                                                                                                                                                                                                                                                                                                                                                                                                                                                                                                                                                                                                                                                                          | 0.82                                                                                                                                                                                                                                                                                                                                                                                                                                                                                                                                                                                                                           | 0.80<br>3.775                                                                                                                                                                                                                                                                                                                                                                                                                                                                                                                                                                                                                                                                                                                                                                                                                                                                                                                                                                                                                                                                                                                                                                                                                                                                                                                                                                                                                                                                                                                                                                                                                                                                                                                                                                                                                                                                                                                                                                                                                                                                                                                                                                                                                                                                                                                                                                                                                                                                                                                                                                                                                                                                                                                                                                                                                                                                                                                                                                                                                                                                                                                                                                                    | 12.10<br>0.81<br>3.775                                                                                                                                                                                                                                                                                                                                                                                                                                                                                                                                                                                                                                                                                                                                                                                                                                                                                                                                                                                                                                                                                                                                                                                                                                                                                                                                                                                                                                                                                                                                                                                                                                                                                                                                                                                                                                                                                                                                                                                                                                                                                                                                                                                                                                                                                                                                                                                                                                                                                                                                                                                                                                                                                                                                                                                                                                                                                                                                                                                                                                                                                                                                                                          | 12,50<br>0.82<br>3.80                                                                                                                                                                                                                                                                                           | 12.50<br>0.61<br>3.775                                                                                                                                                                                                                                                                                                                                                                                                                                                                                                                                                                                                                                                                                                                                                                                                                                                                                                                                                                                                                                                                                                                                                                                                                                                                                                                                                                                                                                                                                                                                                                                                                                                                                                                                                                                                                                                                                                                                                                                                                                                                                                                                                                                                                                                                                                                                                                                                                                                                                                                                                                                                                                                                                                                                                                                                                 | +0.01                                                                                                                                                                                                                                                                                                                                                                                                                                                                                                                                                                                                                                                                                                                                                                                                                                                                                                                                                                                                                                                                                                                                                                                                                                                                                                                                                                                                                                                                                                                                                                                                                                                                                                                                                                                                                                                                                                                                                                                                                                                                                                                                                                                                                                                                                                                                                                                                                                                                                                                                                                                                                                                                                                                                  | +53                                                                                                                                                                    | 2,052,625<br>765,600                                                                                                                                                                                                                                                                                                                                                                                                                                                                                                                                                                                                                                                                                                                                                                                                                                                                                                                                                                                                                                                                                                                                                                                                                                                                                                                                                                                                                                                                                                                                                                                                                                                                                                                                                                                                                                                                                                                                                                                                                                                                                                                                                                                                                                                                                                                                                                                                                                                                                                                                                                                                                                                                                                                                                                                                                                                                                                                                                                                                          | 1 662,368<br>2 690,080                                                                                                                                                                                                                                                                                                                                                                                                                                                                                                                                                                                                                                                                                                                                                                                                                                                                                                                                                                                                                                                                                                                                                                                                                                                                                                                                                                                                                                                                                                                                                                                                                                                                                                                                                                                                                                                                                                                                                                                                                                                                                                                                                                                                                                                                                                                                                                                                                                                                                                                                                                               | 4.25<br>0.28                                                                                                                                                                                                                                                                                                                                                                                                                                                                                                                                                                                                                                                                                                                                                                                                                                                                                                                                                                                                                                                                                                                                                                                                                                                                                                                                                                                                                                                                                                                                                                                                                                                                                                                                                                                                                                                                                                                                                                                                                                                                                                                                                                                                                                                                                                                                                                                                                                                                                                                                                                                                                                                                                                                                                                                                                           | 11 80<br>5 24<br>9 57                                                                                                                                                                                                                                                                                                                                                                                                                                                                                                                                                                                                                                                                                                                                                                                                                                                                                                                                                                                                                                                                                                                                                                                                                                                                                                                                                                                                                                                                                                                                                                                                                                                                                                                                                                                                                                                                                                                                                                                                                                                                                                                                                                                                                                                                                                                                                                                                                                                                                                                                                                                                                                                                                                                                                                                                                     | 0 88<br>9 26<br>4.64                                                                                                                                                                                                                                                                                                                                                                                                                                                                                                                                                                                                                                                                                                                                                                                                                                                                                                                                                                                                                                                                                                                                                                                                                                                                                                                                                                                                                                                                                                                                                                                                                                                                                                                                                                                                                                                                                                                                                                                                                                                                                                                                                                                                                                                                                                                                                                                                                                                                                                                                                                                                                                                                                                                                                                                                                                                                                                                                                                                                                                                                                                                                                                             |
| (、464 長江B4際<br>) 375 長月曾第                                                                                                                                                                                                                                                                                                                                                                                                                                                                                                                                                                                                                                                                                                                                                                                                                                                                                                                                                                                                                                                                                                                                                                                                                                                                                                                                                                                                                                                                                                                                                                                                                                                                                                                                                                                                                                                                                                                                                                                                                                                                                                    | 0 49<br>1 35                                                                                                                                                                                                                                                                                                                                                                                                                                                                                                                                                                                                                                                                                                                                                                                                                                                                                                                                                                                                                                                                                                                                                                                                                                                                                                                                                                                                                                                                                                                                                                                                                                                                                                                                                                                                                                                                                                                                                                                                                                                                                                                                                                                                                                                                                                                                                                                                                                                                                                                                                                                                                                                                                                                                                                                                                           |                                                                                                                                                                                                                                                                                                                                                                                                                                                                                                                                                                                                                                |                                                                                                                                                                                                                                                                                                                                                                                                                                                                                                                                                                                                                                                                                                                                                                                                                                                                                                                                                                                                                                                                                                                                                                                                                                                                                                                                                                                                                                                                                                                                                                                                                                                                                                                                                                                                                                                                                                                                                                                                                                                                                                                                                                                                                                                                                                                                                                                                                                                                                                                                                                                                                                                                                                                                                                                                                                                                                                                                                                                                                                                                                                                                                                                                  | 0 4 <del>9</del><br>1 33                                                                                                                                                                                                                                                                                                                                                                                                                                                                                                                                                                                                                                                                                                                                                                                                                                                                                                                                                                                                                                                                                                                                                                                                                                                                                                                                                                                                                                                                                                                                                                                                                                                                                                                                                                                                                                                                                                                                                                                                                                                                                                                                                                                                                                                                                                                                                                                                                                                                                                                                                                                                                                                                                                                                                                                                                                                                                                                                                                                                                                                                                                                                                                        | 1.36                                                                                                                                                                                                                                                                                                            | 0.49<br>.1.35                                                                                                                                                                                                                                                                                                                                                                                                                                                                                                                                                                                                                                                                                                                                                                                                                                                                                                                                                                                                                                                                                                                                                                                                                                                                                                                                                                                                                                                                                                                                                                                                                                                                                                                                                                                                                                                                                                                                                                                                                                                                                                                                                                                                                                                                                                                                                                                                                                                                                                                                                                                                                                                                                                                                                                                                                          |                                                                                                                                                                                                                                                                                                                                                                                                                                                                                                                                                                                                                                                                                                                                                                                                                                                                                                                                                                                                                                                                                                                                                                                                                                                                                                                                                                                                                                                                                                                                                                                                                                                                                                                                                                                                                                                                                                                                                                                                                                                                                                                                                                                                                                                                                                                                                                                                                                                                                                                                                                                                                                                                                                                                        | L DP                                                                                                                                                                   |                                                                                                                                                                                                                                                                                                                                                                                                                                                                                                                                                                                                                                                                                                                                                                                                                                                                                                                                                                                                                                                                                                                                                                                                                                                                                                                                                                                                                                                                                                                                                                                                                                                                                                                                                                                                                                                                                                                                                                                                                                                                                                                                                                                                                                                                                                                                                                                                                                                                                                                                                                                                                                                                                                                                                                                                                                                                                                                                                                                                                               |                                                                                                                                                                                                                                                                                                                                                                                                                                                                                                                                                                                                                                                                                                                                                                                                                                                                                                                                                                                                                                                                                                                                                                                                                                                                                                                                                                                                                                                                                                                                                                                                                                                                                                                                                                                                                                                                                                                                                                                                                                                                                                                                                                                                                                                                                                                                                                                                                                                                                                                                                                                                      | 0.17<br>0.46<br>1.33                                                                                                                                                                                                                                                                                                                                                                                                                                                                                                                                                                                                                                                                                                                                                                                                                                                                                                                                                                                                                                                                                                                                                                                                                                                                                                                                                                                                                                                                                                                                                                                                                                                                                                                                                                                                                                                                                                                                                                                                                                                                                                                                                                                                                                                                                                                                                                                                                                                                                                                                                                                                                                                                                                                                                                                                                   | 3 18<br>1 90<br>6 04                                                                                                                                                                                                                                                                                                                                                                                                                                                                                                                                                                                                                                                                                                                                                                                                                                                                                                                                                                                                                                                                                                                                                                                                                                                                                                                                                                                                                                                                                                                                                                                                                                                                                                                                                                                                                                                                                                                                                                                                                                                                                                                                                                                                                                                                                                                                                                                                                                                                                                                                                                                                                                                                                                                                                                                                                      | 10 20<br>12 21<br>8 40                                                                                                                                                                                                                                                                                                                                                                                                                                                                                                                                                                                                                                                                                                                                                                                                                                                                                                                                                                                                                                                                                                                                                                                                                                                                                                                                                                                                                                                                                                                                                                                                                                                                                                                                                                                                                                                                                                                                                                                                                                                                                                                                                                                                                                                                                                                                                                                                                                                                                                                                                                                                                                                                                                                                                                                                                                                                                                                                                                                                                                                                                                                                                                           |
| 75 100.12 🕸                                                                                                                                                                                                                                                                                                                                                                                                                                                                                                                                                                                                                                                                                                                                                                                                                                                                                                                                                                                                                                                                                                                                                                                                                                                                                                                                                                                                                                                                                                                                                                                                                                                                                                                                                                                                                                                                                                                                                                                                                                                                                                                  | 390                                                                                                                                                                                                                                                                                                                                                                                                                                                                                                                                                                                                                                                                                                                                                                                                                                                                                                                                                                                                                                                                                                                                                                                                                                                                                                                                                                                                                                                                                                                                                                                                                                                                                                                                                                                                                                                                                                                                                                                                                                                                                                                                                                                                                                                                                                                                                                                                                                                                                                                                                                                                                                                                                                                                                                                                                                    | 3 925                                                                                                                                                                                                                                                                                                                                                                                                                                                                                                                                                                                                                          | 3.90                                                                                                                                                                                                                                                                                                                                                                                                                                                                                                                                                                                                                                                                                                                                                                                                                                                                                                                                                                                                                                                                                                                                                                                                                                                                                                                                                                                                                                                                                                                                                                                                                                                                                                                                                                                                                                                                                                                                                                                                                                                                                                                                                                                                                                                                                                                                                                                                                                                                                                                                                                                                                                                                                                                                                                                                                                                                                                                                                                                                                                                                                                                                                                                             | 3 925                                                                                                                                                                                                                                                                                                                                                                                                                                                                                                                                                                                                                                                                                                                                                                                                                                                                                                                                                                                                                                                                                                                                                                                                                                                                                                                                                                                                                                                                                                                                                                                                                                                                                                                                                                                                                                                                                                                                                                                                                                                                                                                                                                                                                                                                                                                                                                                                                                                                                                                                                                                                                                                                                                                                                                                                                                                                                                                                                                                                                                                                                                                                                                                           | 3.95                                                                                                                                                                                                                                                                                                            | 3.925                                                                                                                                                                                                                                                                                                                                                                                                                                                                                                                                                                                                                                                                                                                                                                                                                                                                                                                                                                                                                                                                                                                                                                                                                                                                                                                                                                                                                                                                                                                                                                                                                                                                                                                                                                                                                                                                                                                                                                                                                                                                                                                                                                                                                                                                                                                                                                                                                                                                                                                                                                                                                                                                                                                                                                                                                                  | +0 025                                                                                                                                                                                                                                                                                                                                                                                                                                                                                                                                                                                                                                                                                                                                                                                                                                                                                                                                                                                                                                                                                                                                                                                                                                                                                                                                                                                                                                                                                                                                                                                                                                                                                                                                                                                                                                                                                                                                                                                                                                                                                                                                                                                                                                                                                                                                                                                                                                                                                                                                                                                                                                                                                                                                 | +80                                                                                                                                                                    | 144 /08                                                                                                                                                                                                                                                                                                                                                                                                                                                                                                                                                                                                                                                                                                                                                                                                                                                                                                                                                                                                                                                                                                                                                                                                                                                                                                                                                                                                                                                                                                                                                                                                                                                                                                                                                                                                                                                                                                                                                                                                                                                                                                                                                                                                                                                                                                                                                                                                                                                                                                                                                                                                                                                                                                                                                                                                                                                                                                                                                                                                                       | 564,573                                                                                                                                                                                                                                                                                                                                                                                                                                                                                                                                                                                                                                                                                                                                                                                                                                                                                                                                                                                                                                                                                                                                                                                                                                                                                                                                                                                                                                                                                                                                                                                                                                                                                                                                                                                                                                                                                                                                                                                                                                                                                                                                                                                                                                                                                                                                                                                                                                                                                                                                                                                              | 1/013                                                                                                                                                                                                                                                                                                                                                                                                                                                                                                                                                                                                                                                                                                                                                                                                                                                                                                                                                                                                                                                                                                                                                                                                                                                                                                                                                                                                                                                                                                                                                                                                                                                                                                                                                                                                                                                                                                                                                                                                                                                                                                                                                                                                                                                                                                                                                                                                                                                                                                                                                                                                                                                                                                                                                                                                                                  | 3 14                                                                                                                                                                                                                                                                                                                                                                                                                                                                                                                                                                                                                                                                                                                                                                                                                                                                                                                                                                                                                                                                                                                                                                                                                                                                                                                                                                                                                                                                                                                                                                                                                                                                                                                                                                                                                                                                                                                                                                                                                                                                                                                                                                                                                                                                                                                                                                                                                                                                                                                                                                                                                                                                                                                                                                                                                                      |                                                                                                                                                                                                                                                                                                                                                                                                                                                                                                                                                                                                                                                                                                                                                                                                                                                                                                                                                                                                                                                                                                                                                                                                                                                                                                                                                                                                                                                                                                                                                                                                                                                                                                                                                                                                                                                                                                                                                                                                                                                                                                                                                                                                                                                                                                                                                                                                                                                                                                                                                                                                                                                                                                                                                                                                                                                                                                                                                                                                                                                                                                                                                                                                  |
| 1 1 1 1 1 1 1 1 1 1 1 1 1 1 1 1 1 1 1                                                                                                                                                                                                                                                                                                                                                                                                                                                                                                                                                                                                                                                                                                                                                                                                                                                                                                                                                                                                                                                                                                                                                                                                                                                                                                                                                                                                                                                                                                                                                                                                                                                                                                                                                                                                                                                                                                                                                                                                                                                                                        |                                                                                                                                                                                                                                                                                                                                                                                                                                                                                                                                                                                                                                                                                                                                                                                                                                                                                                                                                                                                                                                                                                                                                                                                                                                                                                                                                                                                                                                                                                                                                                                                                                                                                                                                                                                                                                                                                                                                                                                                                                                                                                                                                                                                                                                                                                                                                                                                                                                                                                                                                                                                                                                                                                                                                                                                                                        |                                                                                                                                                                                                                                                                                                                                                                                                                                                                                                                                                                                                                                | V 4 5 G                                                                                                                                                                                                                                                                                                                                                                                                                                                                                                                                                                                                                                                                                                                                                                                                                                                                                                                                                                                                                                                                                                                                                                                                                                                                                                                                                                                                                                                                                                                                                                                                                                                                                                                                                                                                                                                                                                                                                                                                                                                                                                                                                                                                                                                                                                                                                                                                                                                                                                                                                                                                                                                                                                                                                                                                                                                                                                                                                                                                                                                                                                                                                                                          | 1 1 1 1 1 1 1 1 1 1 1 1 1 1 1 1 1 1 1                                                                                                                                                                                                                                                                                                                                                                                                                                                                                                                                                                                                                                                                                                                                                                                                                                                                                                                                                                                                                                                                                                                                                                                                                                                                                                                                                                                                                                                                                                                                                                                                                                                                                                                                                                                                                                                                                                                                                                                                                                                                                                                                                                                                                                                                                                                                                                                                                                                                                                                                                                                                                                                                                                                                                                                                                                                                                                                                                                                                                                                                                                                                                           | <b>Á</b> (0 L                                                                                                                                                                                                                                                                                                   | 1 1                                                                                                                                                                                                                                                                                                                                                                                                                                                                                                                                                                                                                                                                                                                                                                                                                                                                                                                                                                                                                                                                                                                                                                                                                                                                                                                                                                                                                                                                                                                                                                                                                                                                                                                                                                                                                                                                                                                                                                                                                                                                                                                                                                                                                                                                                                                                                                                                                                                                                                                                                                                                                                                                                                                                                                                                                                    | de sheet was                                                                                                                                                                                                                                                                                                                                                                                                                                                                                                                                                                                                                                                                                                                                                                                                                                                                                                                                                                                                                                                                                                                                                                                                                                                                                                                                                                                                                                                                                                                                                                                                                                                                                                                                                                                                                                                                                                                                                                                                                                                                                                                                                                                                                                                                                                                                                                                                                                                                                                                                                                                                                                                                                                                           | 1 1/2<br>1 1/2                                                                                                                                                         |                                                                                                                                                                                                                                                                                                                                                                                                                                                                                                                                                                                                                                                                                                                                                                                                                                                                                                                                                                                                                                                                                                                                                                                                                                                                                                                                                                                                                                                                                                                                                                                                                                                                                                                                                                                                                                                                                                                                                                                                                                                                                                                                                                                                                                                                                                                                                                                                                                                                                                                                                                                                                                                                                                                                                                                                                                                                                                                                                                                                                               | 18 mm - 18 Min 17 May 1                                                                                                                                                                                                                                                                                                                                                                                                                                                                                                                                                                                                                                                                                                                                                                                                                                                                                                                                                                                                                                                                                                                                                                                                                                                                                                                                                                                                                                                                                                                                                                                                                                                                                                                                                                                                                                                                                                                                                                                                                                                                                                                                                                                                                                                                                                                                                                                                                                                                                                                                                                              | - Control                                                                                                                                                                                                                                                                                                                                                                                                                                                                                                                                                                                                                                                                                                                                                                                                                                                                                                                                                                                                                                                                                                                                                                                                                                                                                                                                                                                                                                                                                                                                                                                                                                                                                                                                                                                                                                                                                                                                                                                                                                                                                                                                                                                                                                                                                                                                                                                                                                                                                                                                                                                                                                                                                                                                                                                                                              | V. IV.                                                                                                                                                                                                                                                                                                                                                                                                                                                                                                                                                                                                                                                                                                                                                                                                                                                                                                                                                                                                                                                                                                                                                                                                                                                                                                                                                                                                                                                                                                                                                                                                                                                                                                                                                                                                                                                                                                                                                                                                                                                                                                                                                                                                                                                                                                                                                                                                                                                                                                                                                                                                                                                                                                                                                                                                                                    | 7.14                                                                                                                                                                                                                                                                                                                                                                                                                                                                                                                                                                                                                                                                                                                                                                                                                                                                                                                                                                                                                                                                                                                                                                                                                                                                                                                                                                                                                                                                                                                                                                                                                                                                                                                                                                                                                                                                                                                                                                                                                                                                                                                                                                                                                                                                                                                                                                                                                                                                                                                                                                                                                                                                                                                                                                                                                                                                                                                                                                                                                                                                                                                                                                                             |
|                                                                                                                                                                                                                                                                                                                                                                                                                                                                                                                                                                                                                                                                                                                                                                                                                                                                                                                                                                                                                                                                                                                                                                                                                                                                                                                                                                                                                                                                                                                                                                                                                                                                                                                                                                                                                                                                                                                                                                                                                                                                                                                              |                                                                                                                                                                                                                                                                                                                                                                                                                                                                                                                                                                                                                                                                                                                                                                                                                                                                                                                                                                                                                                                                                                                                                                                                                                                                                                                                                                                                                                                                                                                                                                                                                                                                                                                                                                                                                                                                                                                                                                                                                                                                                                                                                                                                                                                                                                                                                                                                                                                                                                                                                                                                                                                                                                                                                                                                                                        |                                                                                                                                                                                                                                                                                                                                                                                                                                                                                                                                                                                                                                |                                                                                                                                                                                                                                                                                                                                                                                                                                                                                                                                                                                                                                                                                                                                                                                                                                                                                                                                                                                                                                                                                                                                                                                                                                                                                                                                                                                                                                                                                                                                                                                                                                                                                                                                                                                                                                                                                                                                                                                                                                                                                                                                                                                                                                                                                                                                                                                                                                                                                                                                                                                                                                                                                                                                                                                                                                                                                                                                                                                                                                                                                                                                                                                                  | A Swale                                                                                                                                                                                                                                                                                                                                                                                                                                                                                                                                                                                                                                                                                                                                                                                                                                                                                                                                                                                                                                                                                                                                                                                                                                                                                                                                                                                                                                                                                                                                                                                                                                                                                                                                                                                                                                                                                                                                                                                                                                                                                                                                                                                                                                                                                                                                                                                                                                                                                                                                                                                                                                                                                                                                                                                                                                                                                                                                                                                                                                                                                                                                                                                         | ***************************************                                                                                                                                                                                                                                                                         |                                                                                                                                                                                                                                                                                                                                                                                                                                                                                                                                                                                                                                                                                                                                                                                                                                                                                                                                                                                                                                                                                                                                                                                                                                                                                                                                                                                                                                                                                                                                                                                                                                                                                                                                                                                                                                                                                                                                                                                                                                                                                                                                                                                                                                                                                                                                                                                                                                                                                                                                                                                                                                                                                                                                                                                                                                        |                                                                                                                                                                                                                                                                                                                                                                                                                                                                                                                                                                                                                                                                                                                                                                                                                                                                                                                                                                                                                                                                                                                                                                                                                                                                                                                                                                                                                                                                                                                                                                                                                                                                                                                                                                                                                                                                                                                                                                                                                                                                                                                                                                                                                                                                                                                                                                                                                                                                                                                                                                                                                                                                                                                                        |                                                                                                                                                                        | 27-197-000                                                                                                                                                                                                                                                                                                                                                                                                                                                                                                                                                                                                                                                                                                                                                                                                                                                                                                                                                                                                                                                                                                                                                                                                                                                                                                                                                                                                                                                                                                                                                                                                                                                                                                                                                                                                                                                                                                                                                                                                                                                                                                                                                                                                                                                                                                                                                                                                                                                                                                                                                                                                                                                                                                                                                                                                                                                                                                                                                                                                                    | 35.870.201                                                                                                                                                                                                                                                                                                                                                                                                                                                                                                                                                                                                                                                                                                                                                                                                                                                                                                                                                                                                                                                                                                                                                                                                                                                                                                                                                                                                                                                                                                                                                                                                                                                                                                                                                                                                                                                                                                                                                                                                                                                                                                                                                                                                                                                                                                                                                                                                                                                                                                                                                                                           | 0.34                                                                                                                                                                                                                                                                                                                                                                                                                                                                                                                                                                                                                                                                                                                                                                                                                                                                                                                                                                                                                                                                                                                                                                                                                                                                                                                                                                                                                                                                                                                                                                                                                                                                                                                                                                                                                                                                                                                                                                                                                                                                                                                                                                                                                                                                                                                                                                                                                                                                                                                                                                                                                                                                                                                                                                                                                                   |                                                                                                                                                                                                                                                                                                                                                                                                                                                                                                                                                                                                                                                                                                                                                                                                                                                                                                                                                                                                                                                                                                                                                                                                                                                                                                                                                                                                                                                                                                                                                                                                                                                                                                                                                                                                                                                                                                                                                                                                                                                                                                                                                                                                                                                                                                                                                                                                                                                                                                                                                                                                                                                                                                                                                                                                                                           | 1 99                                                                                                                                                                                                                                                                                                                                                                                                                                                                                                                                                                                                                                                                                                                                                                                                                                                                                                                                                                                                                                                                                                                                                                                                                                                                                                                                                                                                                                                                                                                                                                                                                                                                                                                                                                                                                                                                                                                                                                                                                                                                                                                                                                                                                                                                                                                                                                                                                                                                                                                                                                                                                                                                                                                                                                                                                                                                                                                                                                                                                                                                                                                                                                                             |
| 2 519 實 力會<br>5 522 ASM太不洋會<br>4 043 小蜂國際                                                                                                                                                                                                                                                                                                                                                                                                                                                                                                                                                                                                                                                                                                                                                                                                                                                                                                                                                                                                                                                                                                                                                                                                                                                                                                                                                                                                                                                                                                                                                                                                                                                                                                                                                                                                                                                                                                                                                                                                                                                                                    | 0 95 F                                                                                                                                                                                                                                                                                                                                                                                                                                                                                                                                                                                                                                                                                                                                                                                                                                                                                                                                                                                                                                                                                                                                                                                                                                                                                                                                                                                                                                                                                                                                                                                                                                                                                                                                                                                                                                                                                                                                                                                                                                                                                                                                                                                                                                                                                                                                                                                                                                                                                                                                                                                                                                                                                                                                                                                                                                 | 1.02                                                                                                                                                                                                                                                                                                                                                                                                                                                                                                                                                                                                                           | 0.94<br>1.85<br>4.08                                                                                                                                                                                                                                                                                                                                                                                                                                                                                                                                                                                                                                                                                                                                                                                                                                                                                                                                                                                                                                                                                                                                                                                                                                                                                                                                                                                                                                                                                                                                                                                                                                                                                                                                                                                                                                                                                                                                                                                                                                                                                                                                                                                                                                                                                                                                                                                                                                                                                                                                                                                                                                                                                                                                                                                                                                                                                                                                                                                                                                                                                                                                                                             | 1.00<br>1.93<br>1.08                                                                                                                                                                                                                                                                                                                                                                                                                                                                                                                                                                                                                                                                                                                                                                                                                                                                                                                                                                                                                                                                                                                                                                                                                                                                                                                                                                                                                                                                                                                                                                                                                                                                                                                                                                                                                                                                                                                                                                                                                                                                                                                                                                                                                                                                                                                                                                                                                                                                                                                                                                                                                                                                                                                                                                                                                                                                                                                                                                                                                                                                                                                                                                            | 1 02<br>1 95<br>1 09                                                                                                                                                                                                                                                                                            | 1.00<br>1.93<br>1.00                                                                                                                                                                                                                                                                                                                                                                                                                                                                                                                                                                                                                                                                                                                                                                                                                                                                                                                                                                                                                                                                                                                                                                                                                                                                                                                                                                                                                                                                                                                                                                                                                                                                                                                                                                                                                                                                                                                                                                                                                                                                                                                                                                                                                                                                                                                                                                                                                                                                                                                                                                                                                                                                                                                                                                                                                   | +0.05<br>.+0.08<br>0.01                                                                                                                                                                                                                                                                                                                                                                                                                                                                                                                                                                                                                                                                                                                                                                                                                                                                                                                                                                                                                                                                                                                                                                                                                                                                                                                                                                                                                                                                                                                                                                                                                                                                                                                                                                                                                                                                                                                                                                                                                                                                                                                                                                                                                                                                                                                                                                                                                                                                                                                                                                                                                                                                                                                | +13<br>+16<br>103                                                                                                                                                      | 37,187,000<br>1,646,000<br>1,154,500                                                                                                                                                                                                                                                                                                                                                                                                                                                                                                                                                                                                                                                                                                                                                                                                                                                                                                                                                                                                                                                                                                                                                                                                                                                                                                                                                                                                                                                                                                                                                                                                                                                                                                                                                                                                                                                                                                                                                                                                                                                                                                                                                                                                                                                                                                                                                                                                                                                                                                                                                                                                                                                                                                                                                                                                                                                                                                                                                                                          | 35,870 284<br>3,082,860<br>1,247,360                                                                                                                                                                                                                                                                                                                                                                                                                                                                                                                                                                                                                                                                                                                                                                                                                                                                                                                                                                                                                                                                                                                                                                                                                                                                                                                                                                                                                                                                                                                                                                                                                                                                                                                                                                                                                                                                                                                                                                                                                                                                                                                                                                                                                                                                                                                                                                                                                                                                                                                                                                 | 0.66<br>0.37                                                                                                                                                                                                                                                                                                                                                                                                                                                                                                                                                                                                                                                                                                                                                                                                                                                                                                                                                                                                                                                                                                                                                                                                                                                                                                                                                                                                                                                                                                                                                                                                                                                                                                                                                                                                                                                                                                                                                                                                                                                                                                                                                                                                                                                                                                                                                                                                                                                                                                                                                                                                                                                                                                                                                                                                                           | 8 11<br>7.86                                                                                                                                                                                                                                                                                                                                                                                                                                                                                                                                                                                                                                                                                                                                                                                                                                                                                                                                                                                                                                                                                                                                                                                                                                                                                                                                                                                                                                                                                                                                                                                                                                                                                                                                                                                                                                                                                                                                                                                                                                                                                                                                                                                                                                                                                                                                                                                                                                                                                                                                                                                                                                                                                                                                                                                                                              | 5 44<br>6 47                                                                                                                                                                                                                                                                                                                                                                                                                                                                                                                                                                                                                                                                                                                                                                                                                                                                                                                                                                                                                                                                                                                                                                                                                                                                                                                                                                                                                                                                                                                                                                                                                                                                                                                                                                                                                                                                                                                                                                                                                                                                                                                                                                                                                                                                                                                                                                                                                                                                                                                                                                                                                                                                                                                                                                                                                                                                                                                                                                                                                                                                                                                                                                                     |
| 9 4B1 中國印染<br>9 131 東龍北陸拳                                                                                                                                                                                                                                                                                                                                                                                                                                                                                                                                                                                                                                                                                                                                                                                                                                                                                                                                                                                                                                                                                                                                                                                                                                                                                                                                                                                                                                                                                                                                                                                                                                                                                                                                                                                                                                                                                                                                                                                                                                                                                                    | 0.36                                                                                                                                                                                                                                                                                                                                                                                                                                                                                                                                                                                                                                                                                                                                                                                                                                                                                                                                                                                                                                                                                                                                                                                                                                                                                                                                                                                                                                                                                                                                                                                                                                                                                                                                                                                                                                                                                                                                                                                                                                                                                                                                                                                                                                                                                                                                                                                                                                                                                                                                                                                                                                                                                                                                                                                                                                   | 1 28                                                                                                                                                                                                                                                                                                                                                                                                                                                                                                                                                                                                                           | 35<br>1 25                                                                                                                                                                                                                                                                                                                                                                                                                                                                                                                                                                                                                                                                                                                                                                                                                                                                                                                                                                                                                                                                                                                                                                                                                                                                                                                                                                                                                                                                                                                                                                                                                                                                                                                                                                                                                                                                                                                                                                                                                                                                                                                                                                                                                                                                                                                                                                                                                                                                                                                                                                                                                                                                                                                                                                                                                                                                                                                                                                                                                                                                                                                                                                                       | 0.35 .<br>1.28                                                                                                                                                                                                                                                                                                                                                                                                                                                                                                                                                                                                                                                                                                                                                                                                                                                                                                                                                                                                                                                                                                                                                                                                                                                                                                                                                                                                                                                                                                                                                                                                                                                                                                                                                                                                                                                                                                                                                                                                                                                                                                                                                                                                                                                                                                                                                                                                                                                                                                                                                                                                                                                                                                                                                                                                                                                                                                                                                                                                                                                                                                                                                                                  | 0.355<br>1.30                                                                                                                                                                                                                                                                                                   | 0.35                                                                                                                                                                                                                                                                                                                                                                                                                                                                                                                                                                                                                                                                                                                                                                                                                                                                                                                                                                                                                                                                                                                                                                                                                                                                                                                                                                                                                                                                                                                                                                                                                                                                                                                                                                                                                                                                                                                                                                                                                                                                                                                                                                                                                                                                                                                                                                                                                                                                                                                                                                                                                                                                                                                                                                                                                                   | 1 0.05                                                                                                                                                                                                                                                                                                                                                                                                                                                                                                                                                                                                                                                                                                                                                                                                                                                                                                                                                                                                                                                                                                                                                                                                                                                                                                                                                                                                                                                                                                                                                                                                                                                                                                                                                                                                                                                                                                                                                                                                                                                                                                                                                                                                                                                                                                                                                                                                                                                                                                                                                                                                                                                                                                                                 | 124                                                                                                                                                                    | 360 000<br>40,000<br>提供資料                                                                                                                                                                                                                                                                                                                                                                                                                                                                                                                                                                                                                                                                                                                                                                                                                                                                                                                                                                                                                                                                                                                                                                                                                                                                                                                                                                                                                                                                                                                                                                                                                                                                                                                                                                                                                                                                                                                                                                                                                                                                                                                                                                                                                                                                                                                                                                                                                                                                                                                                                                                                                                                                                                                                                                                                                                                                                                                                                                                                     | 126,000<br>50,900                                                                                                                                                                                                                                                                                                                                                                                                                                                                                                                                                                                                                                                                                                                                                                                                                                                                                                                                                                                                                                                                                                                                                                                                                                                                                                                                                                                                                                                                                                                                                                                                                                                                                                                                                                                                                                                                                                                                                                                                                                                                                                                                                                                                                                                                                                                                                                                                                                                                                                                                                                                    | 0.12                                                                                                                                                                                                                                                                                                                                                                                                                                                                                                                                                                                                                                                                                                                                                                                                                                                                                                                                                                                                                                                                                                                                                                                                                                                                                                                                                                                                                                                                                                                                                                                                                                                                                                                                                                                                                                                                                                                                                                                                                                                                                                                                                                                                                                                                                                                                                                                                                                                                                                                                                                                                                                                                                                                                                                                                                                   | 6 19<br>9 76                                                                                                                                                                                                                                                                                                                                                                                                                                                                                                                                                                                                                                                                                                                                                                                                                                                                                                                                                                                                                                                                                                                                                                                                                                                                                                                                                                                                                                                                                                                                                                                                                                                                                                                                                                                                                                                                                                                                                                                                                                                                                                                                                                                                                                                                                                                                                                                                                                                                                                                                                                                                                                                                                                                                                                                                                              | 5 <b>89</b><br>3 13                                                                                                                                                                                                                                                                                                                                                                                                                                                                                                                                                                                                                                                                                                                                                                                                                                                                                                                                                                                                                                                                                                                                                                                                                                                                                                                                                                                                                                                                                                                                                                                                                                                                                                                                                                                                                                                                                                                                                                                                                                                                                                                                                                                                                                                                                                                                                                                                                                                                                                                                                                                                                                                                                                                                                                                                                                                                                                                                                                                                                                                                                                                                                                              |
| 116 宏徳石本<br>7 031 東力投資<br>6 118 大間機械                                                                                                                                                                                                                                                                                                                                                                                                                                                                                                                                                                                                                                                                                                                                                                                                                                                                                                                                                                                                                                                                                                                                                                                                                                                                                                                                                                                                                                                                                                                                                                                                                                                                                                                                                                                                                                                                                                                                                                                                                                                                                         | 0.40                                                                                                                                                                                                                                                                                                                                                                                                                                                                                                                                                                                                                                                                                                                                                                                                                                                                                                                                                                                                                                                                                                                                                                                                                                                                                                                                                                                                                                                                                                                                                                                                                                                                                                                                                                                                                                                                                                                                                                                                                                                                                                                                                                                                                                                                                                                                                                                                                                                                                                                                                                                                                                                                                                                                                                                                                                   |                                                                                                                                                                                                                                                                                                                                                                                                                                                                                                                                                                                                                                | 1 0 8R                                                                                                                                                                                                                                                                                                                                                                                                                                                                                                                                                                                                                                                                                                                                                                                                                                                                                                                                                                                                                                                                                                                                                                                                                                                                                                                                                                                                                                                                                                                                                                                                                                                                                                                                                                                                                                                                                                                                                                                                                                                                                                                                                                                                                                                                                                                                                                                                                                                                                                                                                                                                                                                                                                                                                                                                                                                                                                                                                                                                                                                                                                                                                                                           | 0.39                                                                                                                                                                                                                                                                                                                                                                                                                                                                                                                                                                                                                                                                                                                                                                                                                                                                                                                                                                                                                                                                                                                                                                                                                                                                                                                                                                                                                                                                                                                                                                                                                                                                                                                                                                                                                                                                                                                                                                                                                                                                                                                                                                                                                                                                                                                                                                                                                                                                                                                                                                                                                                                                                                                                                                                                                                                                                                                                                                                                                                                                                                                                                                                            | 0.90                                                                                                                                                                                                                                                                                                            | 0.39                                                                                                                                                                                                                                                                                                                                                                                                                                                                                                                                                                                                                                                                                                                                                                                                                                                                                                                                                                                                                                                                                                                                                                                                                                                                                                                                                                                                                                                                                                                                                                                                                                                                                                                                                                                                                                                                                                                                                                                                                                                                                                                                                                                                                                                                                                                                                                                                                                                                                                                                                                                                                                                                                                                                                                                                                                   | ··0.01.                                                                                                                                                                                                                                                                                                                                                                                                                                                                                                                                                                                                                                                                                                                                                                                                                                                                                                                                                                                                                                                                                                                                                                                                                                                                                                                                                                                                                                                                                                                                                                                                                                                                                                                                                                                                                                                                                                                                                                                                                                                                                                                                                                                                                                                                                                                                                                                                                                                                                                                                                                                                                                                                                                                                | -36<br>-                                                                                                                                                               | 27,000<br>40,000                                                                                                                                                                                                                                                                                                                                                                                                                                                                                                                                                                                                                                                                                                                                                                                                                                                                                                                                                                                                                                                                                                                                                                                                                                                                                                                                                                                                                                                                                                                                                                                                                                                                                                                                                                                                                                                                                                                                                                                                                                                                                                                                                                                                                                                                                                                                                                                                                                                                                                                                                                                                                                                                                                                                                                                                                                                                                                                                                                                                              | 10,630<br>35,200                                                                                                                                                                                                                                                                                                                                                                                                                                                                                                                                                                                                                                                                                                                                                                                                                                                                                                                                                                                                                                                                                                                                                                                                                                                                                                                                                                                                                                                                                                                                                                                                                                                                                                                                                                                                                                                                                                                                                                                                                                                                                                                                                                                                                                                                                                                                                                                                                                                                                                                                                                                     | +                                                                                                                                                                                                                                                                                                                                                                                                                                                                                                                                                                                                                                                                                                                                                                                                                                                                                                                                                                                                                                                                                                                                                                                                                                                                                                                                                                                                                                                                                                                                                                                                                                                                                                                                                                                                                                                                                                                                                                                                                                                                                                                                                                                                                                                                                                                                                                                                                                                                                                                                                                                                                                                                                                                                                                                                                                      | 1.02                                                                                                                                                                                                                                                                                                                                                                                                                                                                                                                                                                                                                                                                                                                                                                                                                                                                                                                                                                                                                                                                                                                                                                                                                                                                                                                                                                                                                                                                                                                                                                                                                                                                                                                                                                                                                                                                                                                                                                                                                                                                                                                                                                                                                                                                                                                                                                                                                                                                                                                                                                                                                                                                                                                                                                                                                                      | 9.09                                                                                                                                                                                                                                                                                                                                                                                                                                                                                                                                                                                                                                                                                                                                                                                                                                                                                                                                                                                                                                                                                                                                                                                                                                                                                                                                                                                                                                                                                                                                                                                                                                                                                                                                                                                                                                                                                                                                                                                                                                                                                                                                                                                                                                                                                                                                                                                                                                                                                                                                                                                                                                                                                                                                                                                                                                                                                                                                                                                                                                                                                                                                                                                             |
| 75 122 編 魚 性<br>D 487 湿 恒 頓<br>4 033 依利安達◆                                                                                                                                                                                                                                                                                                                                                                                                                                                                                                                                                                                                                                                                                                                                                                                                                                                                                                                                                                                                                                                                                                                                                                                                                                                                                                                                                                                                                                                                                                                                                                                                                                                                                                                                                                                                                                                                                                                                                                                                                                                                                   | 2.70<br>0.67<br>0.51                                                                                                                                                                                                                                                                                                                                                                                                                                                                                                                                                                                                                                                                                                                                                                                                                                                                                                                                                                                                                                                                                                                                                                                                                                                                                                                                                                                                                                                                                                                                                                                                                                                                                                                                                                                                                                                                                                                                                                                                                                                                                                                                                                                                                                                                                                                                                                                                                                                                                                                                                                                                                                                                                                                                                                                                                   | 2.675<br>0.68<br>0.62                                                                                                                                                                                                                                                                                                                                                                                                                                                                                                                                                                                                          | 2 675<br>2 64<br>0 50                                                                                                                                                                                                                                                                                                                                                                                                                                                                                                                                                                                                                                                                                                                                                                                                                                                                                                                                                                                                                                                                                                                                                                                                                                                                                                                                                                                                                                                                                                                                                                                                                                                                                                                                                                                                                                                                                                                                                                                                                                                                                                                                                                                                                                                                                                                                                                                                                                                                                                                                                                                                                                                                                                                                                                                                                                                                                                                                                                                                                                                                                                                                                                            | Ø2.052<br>0.67<br>0.51,5                                                                                                                                                                                                                                                                                                                                                                                                                                                                                                                                                                                                                                                                                                                                                                                                                                                                                                                                                                                                                                                                                                                                                                                                                                                                                                                                                                                                                                                                                                                                                                                                                                                                                                                                                                                                                                                                                                                                                                                                                                                                                                                                                                                                                                                                                                                                                                                                                                                                                                                                                                                                                                                                                                                                                                                                                                                                                                                                                                                                                                                                                                                                                                        | 2.70<br>0.68<br>0.52                                                                                                                                                                                                                                                                                            | 2 70<br>0 68<br>0 62                                                                                                                                                                                                                                                                                                                                                                                                                                                                                                                                                                                                                                                                                                                                                                                                                                                                                                                                                                                                                                                                                                                                                                                                                                                                                                                                                                                                                                                                                                                                                                                                                                                                                                                                                                                                                                                                                                                                                                                                                                                                                                                                                                                                                                                                                                                                                                                                                                                                                                                                                                                                                                                                                                                                                                                                                   | 10.01.                                                                                                                                                                                                                                                                                                                                                                                                                                                                                                                                                                                                                                                                                                                                                                                                                                                                                                                                                                                                                                                                                                                                                                                                                                                                                                                                                                                                                                                                                                                                                                                                                                                                                                                                                                                                                                                                                                                                                                                                                                                                                                                                                                                                                                                                                                                                                                                                                                                                                                                                                                                                                                                                                                                                 | -<br>1 47<br>+41                                                                                                                                                       | 5,000<br>588,000<br>7,849,000                                                                                                                                                                                                                                                                                                                                                                                                                                                                                                                                                                                                                                                                                                                                                                                                                                                                                                                                                                                                                                                                                                                                                                                                                                                                                                                                                                                                                                                                                                                                                                                                                                                                                                                                                                                                                                                                                                                                                                                                                                                                                                                                                                                                                                                                                                                                                                                                                                                                                                                                                                                                                                                                                                                                                                                                                                                                                                                                                                                                 | 13,375<br>389,440<br>3,873,410                                                                                                                                                                                                                                                                                                                                                                                                                                                                                                                                                                                                                                                                                                                                                                                                                                                                                                                                                                                                                                                                                                                                                                                                                                                                                                                                                                                                                                                                                                                                                                                                                                                                                                                                                                                                                                                                                                                                                                                                                                                                                                                                                                                                                                                                                                                                                                                                                                                                                                                                                                       | 0 23                                                                                                                                                                                                                                                                                                                                                                                                                                                                                                                                                                                                                                                                                                                                                                                                                                                                                                                                                                                                                                                                                                                                                                                                                                                                                                                                                                                                                                                                                                                                                                                                                                                                                                                                                                                                                                                                                                                                                                                                                                                                                                                                                                                                                                                                                                                                                                                                                                                                                                                                                                                                                                                                                                                                                                                                                                   | 14,04<br>64 78<br>15 85                                                                                                                                                                                                                                                                                                                                                                                                                                                                                                                                                                                                                                                                                                                                                                                                                                                                                                                                                                                                                                                                                                                                                                                                                                                                                                                                                                                                                                                                                                                                                                                                                                                                                                                                                                                                                                                                                                                                                                                                                                                                                                                                                                                                                                                                                                                                                                                                                                                                                                                                                                                                                                                                                                                                                                                                                   | 5.35<br>-<br>2.88                                                                                                                                                                                                                                                                                                                                                                                                                                                                                                                                                                                                                                                                                                                                                                                                                                                                                                                                                                                                                                                                                                                                                                                                                                                                                                                                                                                                                                                                                                                                                                                                                                                                                                                                                                                                                                                                                                                                                                                                                                                                                                                                                                                                                                                                                                                                                                                                                                                                                                                                                                                                                                                                                                                                                                                                                                                                                                                                                                                                                                                                                                                                                                                |
| 4 296 英順寶集<br>76 034 愛 美 高                                                                                                                                                                                                                                                                                                                                                                                                                                                                                                                                                                                                                                                                                                                                                                                                                                                                                                                                                                                                                                                                                                                                                                                                                                                                                                                                                                                                                                                                                                                                                                                                                                                                                                                                                                                                                                                                                                                                                                                                                                                                                                   | 1.27<br>3.30                                                                                                                                                                                                                                                                                                                                                                                                                                                                                                                                                                                                                                                                                                                                                                                                                                                                                                                                                                                                                                                                                                                                                                                                                                                                                                                                                                                                                                                                                                                                                                                                                                                                                                                                                                                                                                                                                                                                                                                                                                                                                                                                                                                                                                                                                                                                                                                                                                                                                                                                                                                                                                                                                                                                                                                                                           | 3.50                                                                                                                                                                                                                                                                                                                                                                                                                                                                                                                                                                                                                           | -<br>3 225                                                                                                                                                                                                                                                                                                                                                                                                                                                                                                                                                                                                                                                                                                                                                                                                                                                                                                                                                                                                                                                                                                                                                                                                                                                                                                                                                                                                                                                                                                                                                                                                                                                                                                                                                                                                                                                                                                                                                                                                                                                                                                                                                                                                                                                                                                                                                                                                                                                                                                                                                                                                                                                                                                                                                                                                                                                                                                                                                                                                                                                                                                                                                                                       | 3 4 5<br>0 7 6                                                                                                                                                                                                                                                                                                                                                                                                                                                                                                                                                                                                                                                                                                                                                                                                                                                                                                                                                                                                                                                                                                                                                                                                                                                                                                                                                                                                                                                                                                                                                                                                                                                                                                                                                                                                                                                                                                                                                                                                                                                                                                                                                                                                                                                                                                                                                                                                                                                                                                                                                                                                                                                                                                                                                                                                                                                                                                                                                                                                                                                                                                                                                                                  | *-0.80                                                                                                                                                                                                                                                                                                          | 3 45<br>0 94                                                                                                                                                                                                                                                                                                                                                                                                                                                                                                                                                                                                                                                                                                                                                                                                                                                                                                                                                                                                                                                                                                                                                                                                                                                                                                                                                                                                                                                                                                                                                                                                                                                                                                                                                                                                                                                                                                                                                                                                                                                                                                                                                                                                                                                                                                                                                                                                                                                                                                                                                                                                                                                                                                                                                                                                                           | +0.03<br>+0.15<br>-0.01                                                                                                                                                                                                                                                                                                                                                                                                                                                                                                                                                                                                                                                                                                                                                                                                                                                                                                                                                                                                                                                                                                                                                                                                                                                                                                                                                                                                                                                                                                                                                                                                                                                                                                                                                                                                                                                                                                                                                                                                                                                                                                                                                                                                                                                                                                                                                                                                                                                                                                                                                                                                                                                                                                                | + <i>y</i> 7<br>-90                                                                                                                                                    | 3,413,500<br>710,000                                                                                                                                                                                                                                                                                                                                                                                                                                                                                                                                                                                                                                                                                                                                                                                                                                                                                                                                                                                                                                                                                                                                                                                                                                                                                                                                                                                                                                                                                                                                                                                                                                                                                                                                                                                                                                                                                                                                                                                                                                                                                                                                                                                                                                                                                                                                                                                                                                                                                                                                                                                                                                                                                                                                                                                                                                                                                                                                                                                                          | 11,427,725                                                                                                                                                                                                                                                                                                                                                                                                                                                                                                                                                                                                                                                                                                                                                                                                                                                                                                                                                                                                                                                                                                                                                                                                                                                                                                                                                                                                                                                                                                                                                                                                                                                                                                                                                                                                                                                                                                                                                                                                                                                                                                                                                                                                                                                                                                                                                                                                                                                                                                                                                                                           | 0.44                                                                                                                                                                                                                                                                                                                                                                                                                                                                                                                                                                                                                                                                                                                                                                                                                                                                                                                                                                                                                                                                                                                                                                                                                                                                                                                                                                                                                                                                                                                                                                                                                                                                                                                                                                                                                                                                                                                                                                                                                                                                                                                                                                                                                                                                                                                                                                                                                                                                                                                                                                                                                                                                                                                                                                                                                                   | 30 75<br>5.13                                                                                                                                                                                                                                                                                                                                                                                                                                                                                                                                                                                                                                                                                                                                                                                                                                                                                                                                                                                                                                                                                                                                                                                                                                                                                                                                                                                                                                                                                                                                                                                                                                                                                                                                                                                                                                                                                                                                                                                                                                                                                                                                                                                                                                                                                                                                                                                                                                                                                                                                                                                                                                                                                                                                                                                                                             | 2.90<br>6.37                                                                                                                                                                                                                                                                                                                                                                                                                                                                                                                                                                                                                                                                                                                                                                                                                                                                                                                                                                                                                                                                                                                                                                                                                                                                                                                                                                                                                                                                                                                                                                                                                                                                                                                                                                                                                                                                                                                                                                                                                                                                                                                                                                                                                                                                                                                                                                                                                                                                                                                                                                                                                                                                                                                                                                                                                                                                                                                                                                                                                                                                                                                                                                                     |
| 0 420 松田集團<br>6 136 徳田歌子會<br>28 040 全山資業                                                                                                                                                                                                                                                                                                                                                                                                                                                                                                                                                                                                                                                                                                                                                                                                                                                                                                                                                                                                                                                                                                                                                                                                                                                                                                                                                                                                                                                                                                                                                                                                                                                                                                                                                                                                                                                                                                                                                                                                                                                                                     | 0.95<br>0.82                                                                                                                                                                                                                                                                                                                                                                                                                                                                                                                                                                                                                                                                                                                                                                                                                                                                                                                                                                                                                                                                                                                                                                                                                                                                                                                                                                                                                                                                                                                                                                                                                                                                                                                                                                                                                                                                                                                                                                                                                                                                                                                                                                                                                                                                                                                                                                                                                                                                                                                                                                                                                                                                                                                                                                                                                           | 0.95<br>0.86<br>1.98                                                                                                                                                                                                                                                                                                                                                                                                                                                                                                                                                                                                           | 0.94<br>0.81<br>1.90                                                                                                                                                                                                                                                                                                                                                                                                                                                                                                                                                                                                                                                                                                                                                                                                                                                                                                                                                                                                                                                                                                                                                                                                                                                                                                                                                                                                                                                                                                                                                                                                                                                                                                                                                                                                                                                                                                                                                                                                                                                                                                                                                                                                                                                                                                                                                                                                                                                                                                                                                                                                                                                                                                                                                                                                                                                                                                                                                                                                                                                                                                                                                                             | 0.03<br>0.63<br>1.90                                                                                                                                                                                                                                                                                                                                                                                                                                                                                                                                                                                                                                                                                                                                                                                                                                                                                                                                                                                                                                                                                                                                                                                                                                                                                                                                                                                                                                                                                                                                                                                                                                                                                                                                                                                                                                                                                                                                                                                                                                                                                                                                                                                                                                                                                                                                                                                                                                                                                                                                                                                                                                                                                                                                                                                                                                                                                                                                                                                                                                                                                                                                                                            | 0 94<br>6 64<br>7.92                                                                                                                                                                                                                                                                                            | 0.83<br>3.91                                                                                                                                                                                                                                                                                                                                                                                                                                                                                                                                                                                                                                                                                                                                                                                                                                                                                                                                                                                                                                                                                                                                                                                                                                                                                                                                                                                                                                                                                                                                                                                                                                                                                                                                                                                                                                                                                                                                                                                                                                                                                                                                                                                                                                                                                                                                                                                                                                                                                                                                                                                                                                                                                                                                                                                                                           | +0.01                                                                                                                                                                                                                                                                                                                                                                                                                                                                                                                                                                                                                                                                                                                                                                                                                                                                                                                                                                                                                                                                                                                                                                                                                                                                                                                                                                                                                                                                                                                                                                                                                                                                                                                                                                                                                                                                                                                                                                                                                                                                                                                                                                                                                                                                                                                                                                                                                                                                                                                                                                                                                                                                                                                                  | +55<br>-63                                                                                                                                                             | 6,379,000<br>1,643,000                                                                                                                                                                                                                                                                                                                                                                                                                                                                                                                                                                                                                                                                                                                                                                                                                                                                                                                                                                                                                                                                                                                                                                                                                                                                                                                                                                                                                                                                                                                                                                                                                                                                                                                                                                                                                                                                                                                                                                                                                                                                                                                                                                                                                                                                                                                                                                                                                                                                                                                                                                                                                                                                                                                                                                                                                                                                                                                                                                                                        | 5,261,730<br>3,150,480                                                                                                                                                                                                                                                                                                                                                                                                                                                                                                                                                                                                                                                                                                                                                                                                                                                                                                                                                                                                                                                                                                                                                                                                                                                                                                                                                                                                                                                                                                                                                                                                                                                                                                                                                                                                                                                                                                                                                                                                                                                                                                                                                                                                                                                                                                                                                                                                                                                                                                                                                                               | 0 2B<br>0 65                                                                                                                                                                                                                                                                                                                                                                                                                                                                                                                                                                                                                                                                                                                                                                                                                                                                                                                                                                                                                                                                                                                                                                                                                                                                                                                                                                                                                                                                                                                                                                                                                                                                                                                                                                                                                                                                                                                                                                                                                                                                                                                                                                                                                                                                                                                                                                                                                                                                                                                                                                                                                                                                                                                                                                                                                           | 9.04<br>7.33                                                                                                                                                                                                                                                                                                                                                                                                                                                                                                                                                                                                                                                                                                                                                                                                                                                                                                                                                                                                                                                                                                                                                                                                                                                                                                                                                                                                                                                                                                                                                                                                                                                                                                                                                                                                                                                                                                                                                                                                                                                                                                                                                                                                                                                                                                                                                                                                                                                                                                                                                                                                                                                                                                                                                                                                                              | 1.20<br>5.75                                                                                                                                                                                                                                                                                                                                                                                                                                                                                                                                                                                                                                                                                                                                                                                                                                                                                                                                                                                                                                                                                                                                                                                                                                                                                                                                                                                                                                                                                                                                                                                                                                                                                                                                                                                                                                                                                                                                                                                                                                                                                                                                                                                                                                                                                                                                                                                                                                                                                                                                                                                                                                                                                                                                                                                                                                                                                                                                                                                                                                                                                                                                                                                     |
| 0 044 港機工程<br>84 114 医利利克<br>5 154 香港系統                                                                                                                                                                                                                                                                                                                                                                                                                                                                                                                                                                                                                                                                                                                                                                                                                                                                                                                                                                                                                                                                                                                                                                                                                                                                                                                                                                                                                                                                                                                                                                                                                                                                                                                                                                                                                                                                                                                                                                                                                                                                                      | 19.10<br>0.179<br>3.40                                                                                                                                                                                                                                                                                                                                                                                                                                                                                                                                                                                                                                                                                                                                                                                                                                                                                                                                                                                                                                                                                                                                                                                                                                                                                                                                                                                                                                                                                                                                                                                                                                                                                                                                                                                                                                                                                                                                                                                                                                                                                                                                                                                                                                                                                                                                                                                                                                                                                                                                                                                                                                                                                                                                                                                                                 | 19.00<br>D.181<br>3,40                                                                                                                                                                                                                                                                                                                                                                                                                                                                                                                                                                                                         | 18.80<br>0.173<br>************************************                                                                                                                                                                                                                                                                                                                                                                                                                                                                                                                                                                                                                                                                                                                                                                                                                                                                                                                                                                                                                                                                                                                                                                                                                                                                                                                                                                                                                                                                                                                                                                                                                                                                                                                                                                                                                                                                                                                                                                                                                                                                                                                                                                                                                                                                                                                                                                                                                                                                                                                                                                                                                                                                                                                                                                                                                                                                                                                                                                                                                                                                                                                                           | 18 80<br>0.177<br>3 35                                                                                                                                                                                                                                                                                                                                                                                                                                                                                                                                                                                                                                                                                                                                                                                                                                                                                                                                                                                                                                                                                                                                                                                                                                                                                                                                                                                                                                                                                                                                                                                                                                                                                                                                                                                                                                                                                                                                                                                                                                                                                                                                                                                                                                                                                                                                                                                                                                                                                                                                                                                                                                                                                                                                                                                                                                                                                                                                                                                                                                                                                                                                                                          | 0.178<br>9.40                                                                                                                                                                                                                                                                                                   | 0 j./7<br>8,35                                                                                                                                                                                                                                                                                                                                                                                                                                                                                                                                                                                                                                                                                                                                                                                                                                                                                                                                                                                                                                                                                                                                                                                                                                                                                                                                                                                                                                                                                                                                                                                                                                                                                                                                                                                                                                                                                                                                                                                                                                                                                                                                                                                                                                                                                                                                                                                                                                                                                                                                                                                                                                                                                                                                                                                                                         | 0.20<br>p.002<br>0.05                                                                                                                                                                                                                                                                                                                                                                                                                                                                                                                                                                                                                                                                                                                                                                                                                                                                                                                                                                                                                                                                                                                                                                                                                                                                                                                                                                                                                                                                                                                                                                                                                                                                                                                                                                                                                                                                                                                                                                                                                                                                                                                                                                                                                                                                                                                                                                                                                                                                                                                                                                                                                                                                                                                  | —93<br>—85<br>∡€69                                                                                                                                                     | 50 200<br>11,890,000<br>34,000                                                                                                                                                                                                                                                                                                                                                                                                                                                                                                                                                                                                                                                                                                                                                                                                                                                                                                                                                                                                                                                                                                                                                                                                                                                                                                                                                                                                                                                                                                                                                                                                                                                                                                                                                                                                                                                                                                                                                                                                                                                                                                                                                                                                                                                                                                                                                                                                                                                                                                                                                                                                                                                                                                                                                                                                                                                                                                                                                                                                | 2 099,530                                                                                                                                                                                                                                                                                                                                                                                                                                                                                                                                                                                                                                                                                                                                                                                                                                                                                                                                                                                                                                                                                                                                                                                                                                                                                                                                                                                                                                                                                                                                                                                                                                                                                                                                                                                                                                                                                                                                                                                                                                                                                                                                                                                                                                                                                                                                                                                                                                                                                                                                                                                            | 0.06                                                                                                                                                                                                                                                                                                                                                                                                                                                                                                                                                                                                                                                                                                                                                                                                                                                                                                                                                                                                                                                                                                                                                                                                                                                                                                                                                                                                                                                                                                                                                                                                                                                                                                                                                                                                                                                                                                                                                                                                                                                                                                                                                                                                                                                                                                                                                                                                                                                                                                                                                                                                                                                                                                                                                                                                                                   | 12.69<br>6.63<br>7,63                                                                                                                                                                                                                                                                                                                                                                                                                                                                                                                                                                                                                                                                                                                                                                                                                                                                                                                                                                                                                                                                                                                                                                                                                                                                                                                                                                                                                                                                                                                                                                                                                                                                                                                                                                                                                                                                                                                                                                                                                                                                                                                                                                                                                                                                                                                                                                                                                                                                                                                                                                                                                                                                                                                                                                                                                     | 3 91<br>10.17<br>5.90                                                                                                                                                                                                                                                                                                                                                                                                                                                                                                                                                                                                                                                                                                                                                                                                                                                                                                                                                                                                                                                                                                                                                                                                                                                                                                                                                                                                                                                                                                                                                                                                                                                                                                                                                                                                                                                                                                                                                                                                                                                                                                                                                                                                                                                                                                                                                                                                                                                                                                                                                                                                                                                                                                                                                                                                                                                                                                                                                                                                                                                                                                                                                                            |
| 5 047 意风集劇<br>9 167 鴻成412                                                                                                                                                                                                                                                                                                                                                                                                                                                                                                                                                                                                                                                                                                                                                                                                                                                                                                                                                                                                                                                                                                                                                                                                                                                                                                                                                                                                                                                                                                                                                                                                                                                                                                                                                                                                                                                                                                                                                                                                                                                                                                    | 1.18                                                                                                                                                                                                                                                                                                                                                                                                                                                                                                                                                                                                                                                                                                                                                                                                                                                                                                                                                                                                                                                                                                                                                                                                                                                                                                                                                                                                                                                                                                                                                                                                                                                                                                                                                                                                                                                                                                                                                                                                                                                                                                                                                                                                                                                                                                                                                                                                                                                                                                                                                                                                                                                                                                                                                                                                                                   | 1.17<br>1.33                                                                                                                                                                                                                                                                                                                                                                                                                                                                                                                                                                                                                   | 1.16<br>1.31                                                                                                                                                                                                                                                                                                                                                                                                                                                                                                                                                                                                                                                                                                                                                                                                                                                                                                                                                                                                                                                                                                                                                                                                                                                                                                                                                                                                                                                                                                                                                                                                                                                                                                                                                                                                                                                                                                                                                                                                                                                                                                                                                                                                                                                                                                                                                                                                                                                                                                                                                                                                                                                                                                                                                                                                                                                                                                                                                                                                                                                                                                                                                                                     | 1 15<br>1 3 1                                                                                                                                                                                                                                                                                                                                                                                                                                                                                                                                                                                                                                                                                                                                                                                                                                                                                                                                                                                                                                                                                                                                                                                                                                                                                                                                                                                                                                                                                                                                                                                                                                                                                                                                                                                                                                                                                                                                                                                                                                                                                                                                                                                                                                                                                                                                                                                                                                                                                                                                                                                                                                                                                                                                                                                                                                                                                                                                                                                                                                                                                                                                                                                   | 1 17                                                                                                                                                                                                                                                                                                            | 1 17                                                                                                                                                                                                                                                                                                                                                                                                                                                                                                                                                                                                                                                                                                                                                                                                                                                                                                                                                                                                                                                                                                                                                                                                                                                                                                                                                                                                                                                                                                                                                                                                                                                                                                                                                                                                                                                                                                                                                                                                                                                                                                                                                                                                                                                                                                                                                                                                                                                                                                                                                                                                                                                                                                                                                                                                                                   | <b>*</b> 0.01 <b>→</b>                                                                                                                                                                                                                                                                                                                                                                                                                                                                                                                                                                                                                                                                                                                                                                                                                                                                                                                                                                                                                                                                                                                                                                                                                                                                                                                                                                                                                                                                                                                                                                                                                                                                                                                                                                                                                                                                                                                                                                                                                                                                                                                                                                                                                                                                                                                                                                                                                                                                                                                                                                                                                                                                                                                 | -108<br>+74                                                                                                                                                            | 830,00                                                                                                                                                                                                                                                                                                                                                                                                                                                                                                                                                                                                                                                                                                                                                                                                                                                                                                                                                                                                                                                                                                                                                                                                                                                                                                                                                                                                                                                                                                                                                                                                                                                                                                                                                                                                                                                                                                                                                                                                                                                                                                                                                                                                                                                                                                                                                                                                                                                                                                                                                                                                                                                                                                                                                                                                                                                                                                                                                                                                                        | 117,740<br>\$1097 \$30                                                                                                                                                                                                                                                                                                                                                                                                                                                                                                                                                                                                                                                                                                                                                                                                                                                                                                                                                                                                                                                                                                                                                                                                                                                                                                                                                                                                                                                                                                                                                                                                                                                                                                                                                                                                                                                                                                                                                                                                                                                                                                                                                                                                                                                                                                                                                                                                                                                                                                                                                                               | -                                                                                                                                                                                                                                                                                                                                                                                                                                                                                                                                                                                                                                                                                                                                                                                                                                                                                                                                                                                                                                                                                                                                                                                                                                                                                                                                                                                                                                                                                                                                                                                                                                                                                                                                                                                                                                                                                                                                                                                                                                                                                                                                                                                                                                                                                                                                                                                                                                                                                                                                                                                                                                                                                                                                                                                                                                      | 9.07<br>6.98<br>9.020                                                                                                                                                                                                                                                                                                                                                                                                                                                                                                                                                                                                                                                                                                                                                                                                                                                                                                                                                                                                                                                                                                                                                                                                                                                                                                                                                                                                                                                                                                                                                                                                                                                                                                                                                                                                                                                                                                                                                                                                                                                                                                                                                                                                                                                                                                                                                                                                                                                                                                                                                                                                                                                                                                                                                                                                                     | 6.91<br>3.91                                                                                                                                                                                                                                                                                                                                                                                                                                                                                                                                                                                                                                                                                                                                                                                                                                                                                                                                                                                                                                                                                                                                                                                                                                                                                                                                                                                                                                                                                                                                                                                                                                                                                                                                                                                                                                                                                                                                                                                                                                                                                                                                                                                                                                                                                                                                                                                                                                                                                                                                                                                                                                                                                                                                                                                                                                                                                                                                                                                                                                                                                                                                                                                     |
| 3   152 新 劇 卓<br>5   172   古以中央<br>6   179 (海昌)東機段度                                                                                                                                                                                                                                                                                                                                                                                                                                                                                                                                                                                                                                                                                                                                                                                                                                                                                                                                                                                                                                                                                                                                                                                                                                                                                                                                                                                                                                                                                                                                                                                                                                                                                                                                                                                                                                                                                                                                                                                                                                                                          | 0.73<br>3.00<br>6.30                                                                                                                                                                                                                                                                                                                                                                                                                                                                                                                                                                                                                                                                                                                                                                                                                                                                                                                                                                                                                                                                                                                                                                                                                                                                                                                                                                                                                                                                                                                                                                                                                                                                                                                                                                                                                                                                                                                                                                                                                                                                                                                                                                                                                                                                                                                                                                                                                                                                                                                                                                                                                                                                                                                                                                                                                   | 077                                                                                                                                                                                                                                                                                                                                                                                                                                                                                                                                                                                                                            | 0.72                                                                                                                                                                                                                                                                                                                                                                                                                                                                                                                                                                                                                                                                                                                                                                                                                                                                                                                                                                                                                                                                                                                                                                                                                                                                                                                                                                                                                                                                                                                                                                                                                                                                                                                                                                                                                                                                                                                                                                                                                                                                                                                                                                                                                                                                                                                                                                                                                                                                                                                                                                                                                                                                                                                                                                                                                                                                                                                                                                                                                                                                                                                                                                                             | 0 76<br>'2 90<br>6 26                                                                                                                                                                                                                                                                                                                                                                                                                                                                                                                                                                                                                                                                                                                                                                                                                                                                                                                                                                                                                                                                                                                                                                                                                                                                                                                                                                                                                                                                                                                                                                                                                                                                                                                                                                                                                                                                                                                                                                                                                                                                                                                                                                                                                                                                                                                                                                                                                                                                                                                                                                                                                                                                                                                                                                                                                                                                                                                                                                                                                                                                                                                                                                           | 0 77<br>3 00<br>6 30                                                                                                                                                                                                                                                                                            | 0 76<br>3 00<br>6 30                                                                                                                                                                                                                                                                                                                                                                                                                                                                                                                                                                                                                                                                                                                                                                                                                                                                                                                                                                                                                                                                                                                                                                                                                                                                                                                                                                                                                                                                                                                                                                                                                                                                                                                                                                                                                                                                                                                                                                                                                                                                                                                                                                                                                                                                                                                                                                                                                                                                                                                                                                                                                                                                                                                                                                                                                   | +003                                                                                                                                                                                                                                                                                                                                                                                                                                                                                                                                                                                                                                                                                                                                                                                                                                                                                                                                                                                                                                                                                                                                                                                                                                                                                                                                                                                                                                                                                                                                                                                                                                                                                                                                                                                                                                                                                                                                                                                                                                                                                                                                                                                                                                                                                                                                                                                                                                                                                                                                                                                                                                                                                                                                   | ******                                                                                                                                                                 | 2,505,000                                                                                                                                                                                                                                                                                                                                                                                                                                                                                                                                                                                                                                                                                                                                                                                                                                                                                                                                                                                                                                                                                                                                                                                                                                                                                                                                                                                                                                                                                                                                                                                                                                                                                                                                                                                                                                                                                                                                                                                                                                                                                                                                                                                                                                                                                                                                                                                                                                                                                                                                                                                                                                                                                                                                                                                                                                                                                                                                                                                                                     |                                                                                                                                                                                                                                                                                                                                                                                                                                                                                                                                                                                                                                                                                                                                                                                                                                                                                                                                                                                                                                                                                                                                                                                                                                                                                                                                                                                                                                                                                                                                                                                                                                                                                                                                                                                                                                                                                                                                                                                                                                                                                                                                                                                                                                                                                                                                                                                                                                                                                                                                                                                                      | 2 14                                                                                                                                                                                                                                                                                                                                                                                                                                                                                                                                                                                                                                                                                                                                                                                                                                                                                                                                                                                                                                                                                                                                                                                                                                                                                                                                                                                                                                                                                                                                                                                                                                                                                                                                                                                                                                                                                                                                                                                                                                                                                                                                                                                                                                                                                                                                                                                                                                                                                                                                                                                                                                                                                                                                                                                                                                   | 9 15<br>2 1 1 2 2                                                                                                                                                                                                                                                                                                                                                                                                                                                                                                                                                                                                                                                                                                                                                                                                                                                                                                                                                                                                                                                                                                                                                                                                                                                                                                                                                                                                                                                                                                                                                                                                                                                                                                                                                                                                                                                                                                                                                                                                                                                                                                                                                                                                                                                                                                                                                                                                                                                                                                                                                                                                                                                                                                                                                                                                                         | 19:33<br>3:17                                                                                                                                                                                                                                                                                                                                                                                                                                                                                                                                                                                                                                                                                                                                                                                                                                                                                                                                                                                                                                                                                                                                                                                                                                                                                                                                                                                                                                                                                                                                                                                                                                                                                                                                                                                                                                                                                                                                                                                                                                                                                                                                                                                                                                                                                                                                                                                                                                                                                                                                                                                                                                                                                                                                                                                                                                                                                                                                                                                                                                                                                                                                                                                    |
| 75 567 海 本科研<br>7 180 開建集團                                                                                                                                                                                                                                                                                                                                                                                                                                                                                                                                                                                                                                                                                                                                                                                                                                                                                                                                                                                                                                                                                                                                                                                                                                                                                                                                                                                                                                                                                                                                                                                                                                                                                                                                                                                                                                                                                                                                                                                                                                                                                                   | 1 95<br>1,21<br>4,85                                                                                                                                                                                                                                                                                                                                                                                                                                                                                                                                                                                                                                                                                                                                                                                                                                                                                                                                                                                                                                                                                                                                                                                                                                                                                                                                                                                                                                                                                                                                                                                                                                                                                                                                                                                                                                                                                                                                                                                                                                                                                                                                                                                                                                                                                                                                                                                                                                                                                                                                                                                                                                                                                                                                                                                                                   | 1.95<br>1.21                                                                                                                                                                                                                                                                                                                                                                                                                                                                                                                                                                                                                   | 1.92                                                                                                                                                                                                                                                                                                                                                                                                                                                                                                                                                                                                                                                                                                                                                                                                                                                                                                                                                                                                                                                                                                                                                                                                                                                                                                                                                                                                                                                                                                                                                                                                                                                                                                                                                                                                                                                                                                                                                                                                                                                                                                                                                                                                                                                                                                                                                                                                                                                                                                                                                                                                                                                                                                                                                                                                                                                                                                                                                                                                                                                                                                                                                                                             | 1.92<br>1.20                                                                                                                                                                                                                                                                                                                                                                                                                                                                                                                                                                                                                                                                                                                                                                                                                                                                                                                                                                                                                                                                                                                                                                                                                                                                                                                                                                                                                                                                                                                                                                                                                                                                                                                                                                                                                                                                                                                                                                                                                                                                                                                                                                                                                                                                                                                                                                                                                                                                                                                                                                                                                                                                                                                                                                                                                                                                                                                                                                                                                                                                                                                                                                                    | 1 93<br>1 2 1<br>4 8 5                                                                                                                                                                                                                                                                                          | 1.20<br>1.20<br>4.86                                                                                                                                                                                                                                                                                                                                                                                                                                                                                                                                                                                                                                                                                                                                                                                                                                                                                                                                                                                                                                                                                                                                                                                                                                                                                                                                                                                                                                                                                                                                                                                                                                                                                                                                                                                                                                                                                                                                                                                                                                                                                                                                                                                                                                                                                                                                                                                                                                                                                                                                                                                                                                                                                                                                                                                                                   | -0,03<br>-0.01                                                                                                                                                                                                                                                                                                                                                                                                                                                                                                                                                                                                                                                                                                                                                                                                                                                                                                                                                                                                                                                                                                                                                                                                                                                                                                                                                                                                                                                                                                                                                                                                                                                                                                                                                                                                                                                                                                                                                                                                                                                                                                                                                                                                                                                                                                                                                                                                                                                                                                                                                                                                                                                                                                                         | -64<br>-113                                                                                                                                                            | 1,824,000<br>84,000                                                                                                                                                                                                                                                                                                                                                                                                                                                                                                                                                                                                                                                                                                                                                                                                                                                                                                                                                                                                                                                                                                                                                                                                                                                                                                                                                                                                                                                                                                                                                                                                                                                                                                                                                                                                                                                                                                                                                                                                                                                                                                                                                                                                                                                                                                                                                                                                                                                                                                                                                                                                                                                                                                                                                                                                                                                                                                                                                                                                           | 4                                                                                                                                                                                                                                                                                                                                                                                                                                                                                                                                                                                                                                                                                                                                                                                                                                                                                                                                                                                                                                                                                                                                                                                                                                                                                                                                                                                                                                                                                                                                                                                                                                                                                                                                                                                                                                                                                                                                                                                                                                                                                                                                                                                                                                                                                                                                                                                                                                                                                                                                                                                                    | A B I BUILDING PROPERTY.                                                                                                                                                                                                                                                                                                                                                                                                                                                                                                                                                                                                                                                                                                                                                                                                                                                                                                                                                                                                                                                                                                                                                                                                                                                                                                                                                                                                                                                                                                                                                                                                                                                                                                                                                                                                                                                                                                                                                                                                                                                                                                                                                                                                                                                                                                                                                                                                                                                                                                                                                                                                                                                                                                                                                                                                               | 16,90                                                                                                                                                                                                                                                                                                                                                                                                                                                                                                                                                                                                                                                                                                                                                                                                                                                                                                                                                                                                                                                                                                                                                                                                                                                                                                                                                                                                                                                                                                                                                                                                                                                                                                                                                                                                                                                                                                                                                                                                                                                                                                                                                                                                                                                                                                                                                                                                                                                                                                                                                                                                                                                                                                                                                                                                                                     | 3 33<br>2 47                                                                                                                                                                                                                                                                                                                                                                                                                                                                                                                                                                                                                                                                                                                                                                                                                                                                                                                                                                                                                                                                                                                                                                                                                                                                                                                                                                                                                                                                                                                                                                                                                                                                                                                                                                                                                                                                                                                                                                                                                                                                                                                                                                                                                                                                                                                                                                                                                                                                                                                                                                                                                                                                                                                                                                                                                                                                                                                                                                                                                                                                                                                                                                                     |
| 5 141 新城江田<br>5、499 計( 電子<br>4 156 随時集團 *                                                                                                                                                                                                                                                                                                                                                                                                                                                                                                                                                                                                                                                                                                                                                                                                                                                                                                                                                                                                                                                                                                                                                                                                                                                                                                                                                                                                                                                                                                                                                                                                                                                                                                                                                                                                                                                                                                                                                                                                                                                                                    | 2.45<br>0.69                                                                                                                                                                                                                                                                                                                                                                                                                                                                                                                                                                                                                                                                                                                                                                                                                                                                                                                                                                                                                                                                                                                                                                                                                                                                                                                                                                                                                                                                                                                                                                                                                                                                                                                                                                                                                                                                                                                                                                                                                                                                                                                                                                                                                                                                                                                                                                                                                                                                                                                                                                                                                                                                                                                                                                                                                           | 2 55<br>0 70                                                                                                                                                                                                                                                                                                                                                                                                                                                                                                                                                                                                                   | 2.35<br>0.67                                                                                                                                                                                                                                                                                                                                                                                                                                                                                                                                                                                                                                                                                                                                                                                                                                                                                                                                                                                                                                                                                                                                                                                                                                                                                                                                                                                                                                                                                                                                                                                                                                                                                                                                                                                                                                                                                                                                                                                                                                                                                                                                                                                                                                                                                                                                                                                                                                                                                                                                                                                                                                                                                                                                                                                                                                                                                                                                                                                                                                                                                                                                                                                     | 2 476<br>0 60                                                                                                                                                                                                                                                                                                                                                                                                                                                                                                                                                                                                                                                                                                                                                                                                                                                                                                                                                                                                                                                                                                                                                                                                                                                                                                                                                                                                                                                                                                                                                                                                                                                                                                                                                                                                                                                                                                                                                                                                                                                                                                                                                                                                                                                                                                                                                                                                                                                                                                                                                                                                                                                                                                                                                                                                                                                                                                                                                                                                                                                                                                                                                                                   | 2.50<br>0.70                                                                                                                                                                                                                                                                                                    | 2,475<br>0.60                                                                                                                                                                                                                                                                                                                                                                                                                                                                                                                                                                                                                                                                                                                                                                                                                                                                                                                                                                                                                                                                                                                                                                                                                                                                                                                                                                                                                                                                                                                                                                                                                                                                                                                                                                                                                                                                                                                                                                                                                                                                                                                                                                                                                                                                                                                                                                                                                                                                                                                                                                                                                                                                                                                                                                                                                          |                                                                                                                                                                                                                                                                                                                                                                                                                                                                                                                                                                                                                                                                                                                                                                                                                                                                                                                                                                                                                                                                                                                                                                                                                                                                                                                                                                                                                                                                                                                                                                                                                                                                                                                                                                                                                                                                                                                                                                                                                                                                                                                                                                                                                                                                                                                                                                                                                                                                                                                                                                                                                                                                                                                                        | +64                                                                                                                                                                    | 14,594,000<br>8,450,000                                                                                                                                                                                                                                                                                                                                                                                                                                                                                                                                                                                                                                                                                                                                                                                                                                                                                                                                                                                                                                                                                                                                                                                                                                                                                                                                                                                                                                                                                                                                                                                                                                                                                                                                                                                                                                                                                                                                                                                                                                                                                                                                                                                                                                                                                                                                                                                                                                                                                                                                                                                                                                                                                                                                                                                                                                                                                                                                                                                                       | 6,462 340                                                                                                                                                                                                                                                                                                                                                                                                                                                                                                                                                                                                                                                                                                                                                                                                                                                                                                                                                                                                                                                                                                                                                                                                                                                                                                                                                                                                                                                                                                                                                                                                                                                                                                                                                                                                                                                                                                                                                                                                                                                                                                                                                                                                                                                                                                                                                                                                                                                                                                                                                                                            | 0.84<br>0.23                                                                                                                                                                                                                                                                                                                                                                                                                                                                                                                                                                                                                                                                                                                                                                                                                                                                                                                                                                                                                                                                                                                                                                                                                                                                                                                                                                                                                                                                                                                                                                                                                                                                                                                                                                                                                                                                                                                                                                                                                                                                                                                                                                                                                                                                                                                                                                                                                                                                                                                                                                                                                                                                                                                                                                                                                           | 15.24                                                                                                                                                                                                                                                                                                                                                                                                                                                                                                                                                                                                                                                                                                                                                                                                                                                                                                                                                                                                                                                                                                                                                                                                                                                                                                                                                                                                                                                                                                                                                                                                                                                                                                                                                                                                                                                                                                                                                                                                                                                                                                                                                                                                                                                                                                                                                                                                                                                                                                                                                                                                                                                                                                                                                                                                                                     | 181                                                                                                                                                                                                                                                                                                                                                                                                                                                                                                                                                                                                                                                                                                                                                                                                                                                                                                                                                                                                                                                                                                                                                                                                                                                                                                                                                                                                                                                                                                                                                                                                                                                                                                                                                                                                                                                                                                                                                                                                                                                                                                                                                                                                                                                                                                                                                                                                                                                                                                                                                                                                                                                                                                                                                                                                                                                                                                                                                                                                                                                                                                                                                                                              |
| O 191 ML新版解<br>O 411 所 NN<br>D 33D 報長議課                                                                                                                                                                                                                                                                                                                                                                                                                                                                                                                                                                                                                                                                                                                                                                                                                                                                                                                                                                                                                                                                                                                                                                                                                                                                                                                                                                                                                                                                                                                                                                                                                                                                                                                                                                                                                                                                                                                                                                                                                                                                                      | 1.89<br>6 40<br>1 90                                                                                                                                                                                                                                                                                                                                                                                                                                                                                                                                                                                                                                                                                                                                                                                                                                                                                                                                                                                                                                                                                                                                                                                                                                                                                                                                                                                                                                                                                                                                                                                                                                                                                                                                                                                                                                                                                                                                                                                                                                                                                                                                                                                                                                                                                                                                                                                                                                                                                                                                                                                                                                                                                                                                                                                                                   | 1 48<br>0 40<br>2 125                                                                                                                                                                                                                                                                                                                                                                                                                                                                                                                                                                                                          | 1.86<br>8.25<br>1.97                                                                                                                                                                                                                                                                                                                                                                                                                                                                                                                                                                                                                                                                                                                                                                                                                                                                                                                                                                                                                                                                                                                                                                                                                                                                                                                                                                                                                                                                                                                                                                                                                                                                                                                                                                                                                                                                                                                                                                                                                                                                                                                                                                                                                                                                                                                                                                                                                                                                                                                                                                                                                                                                                                                                                                                                                                                                                                                                                                                                                                                                                                                                                                             | 1 06<br>8 40<br>2.10                                                                                                                                                                                                                                                                                                                                                                                                                                                                                                                                                                                                                                                                                                                                                                                                                                                                                                                                                                                                                                                                                                                                                                                                                                                                                                                                                                                                                                                                                                                                                                                                                                                                                                                                                                                                                                                                                                                                                                                                                                                                                                                                                                                                                                                                                                                                                                                                                                                                                                                                                                                                                                                                                                                                                                                                                                                                                                                                                                                                                                                                                                                                                                            | 1.67<br>. 8 45<br>2 15                                                                                                                                                                                                                                                                                          | 1.87<br>6,40<br>2.10                                                                                                                                                                                                                                                                                                                                                                                                                                                                                                                                                                                                                                                                                                                                                                                                                                                                                                                                                                                                                                                                                                                                                                                                                                                                                                                                                                                                                                                                                                                                                                                                                                                                                                                                                                                                                                                                                                                                                                                                                                                                                                                                                                                                                                                                                                                                                                                                                                                                                                                                                                                                                                                                                                                                                                                                                   | -0 02<br>-0 12                                                                                                                                                                                                                                                                                                                                                                                                                                                                                                                                                                                                                                                                                                                                                                                                                                                                                                                                                                                                                                                                                                                                                                                                                                                                                                                                                                                                                                                                                                                                                                                                                                                                                                                                                                                                                                                                                                                                                                                                                                                                                                                                                                                                                                                                                                                                                                                                                                                                                                                                                                                                                                                                                                                         | -89<br>-<br>+10                                                                                                                                                        | 788,000<br>187,000<br>931,076                                                                                                                                                                                                                                                                                                                                                                                                                                                                                                                                                                                                                                                                                                                                                                                                                                                                                                                                                                                                                                                                                                                                                                                                                                                                                                                                                                                                                                                                                                                                                                                                                                                                                                                                                                                                                                                                                                                                                                                                                                                                                                                                                                                                                                                                                                                                                                                                                                                                                                                                                                                                                                                                                                                                                                                                                                                                                                                                                                                                 | 1.564 950                                                                                                                                                                                                                                                                                                                                                                                                                                                                                                                                                                                                                                                                                                                                                                                                                                                                                                                                                                                                                                                                                                                                                                                                                                                                                                                                                                                                                                                                                                                                                                                                                                                                                                                                                                                                                                                                                                                                                                                                                                                                                                                                                                                                                                                                                                                                                                                                                                                                                                                                                                                            | 2.85                                                                                                                                                                                                                                                                                                                                                                                                                                                                                                                                                                                                                                                                                                                                                                                                                                                                                                                                                                                                                                                                                                                                                                                                                                                                                                                                                                                                                                                                                                                                                                                                                                                                                                                                                                                                                                                                                                                                                                                                                                                                                                                                                                                                                                                                                                                                                                                                                                                                                                                                                                                                                                                                                                                                                                                                                                   | 8 89<br>20.49<br>7 60                                                                                                                                                                                                                                                                                                                                                                                                                                                                                                                                                                                                                                                                                                                                                                                                                                                                                                                                                                                                                                                                                                                                                                                                                                                                                                                                                                                                                                                                                                                                                                                                                                                                                                                                                                                                                                                                                                                                                                                                                                                                                                                                                                                                                                                                                                                                                                                                                                                                                                                                                                                                                                                                                                                                                                                                                     | 6.42<br>2 14<br>9 52                                                                                                                                                                                                                                                                                                                                                                                                                                                                                                                                                                                                                                                                                                                                                                                                                                                                                                                                                                                                                                                                                                                                                                                                                                                                                                                                                                                                                                                                                                                                                                                                                                                                                                                                                                                                                                                                                                                                                                                                                                                                                                                                                                                                                                                                                                                                                                                                                                                                                                                                                                                                                                                                                                                                                                                                                                                                                                                                                                                                                                                                                                                                                                             |
| 7 368 陸玖 賞典<br>0 212 阿洋集團                                                                                                                                                                                                                                                                                                                                                                                                                                                                                                                                                                                                                                                                                                                                                                                                                                                                                                                                                                                                                                                                                                                                                                                                                                                                                                                                                                                                                                                                                                                                                                                                                                                                                                                                                                                                                                                                                                                                                                                                                                                                                                    | 1 42<br>5 70                                                                                                                                                                                                                                                                                                                                                                                                                                                                                                                                                                                                                                                                                                                                                                                                                                                                                                                                                                                                                                                                                                                                                                                                                                                                                                                                                                                                                                                                                                                                                                                                                                                                                                                                                                                                                                                                                                                                                                                                                                                                                                                                                                                                                                                                                                                                                                                                                                                                                                                                                                                                                                                                                                                                                                                                                           | .1 45<br>5 65                                                                                                                                                                                                                                                                                                                                                                                                                                                                                                                                                                                                                  | 1 38<br>5 6 <b>5</b>                                                                                                                                                                                                                                                                                                                                                                                                                                                                                                                                                                                                                                                                                                                                                                                                                                                                                                                                                                                                                                                                                                                                                                                                                                                                                                                                                                                                                                                                                                                                                                                                                                                                                                                                                                                                                                                                                                                                                                                                                                                                                                                                                                                                                                                                                                                                                                                                                                                                                                                                                                                                                                                                                                                                                                                                                                                                                                                                                                                                                                                                                                                                                                             | 1 4 1<br>5.60                                                                                                                                                                                                                                                                                                                                                                                                                                                                                                                                                                                                                                                                                                                                                                                                                                                                                                                                                                                                                                                                                                                                                                                                                                                                                                                                                                                                                                                                                                                                                                                                                                                                                                                                                                                                                                                                                                                                                                                                                                                                                                                                                                                                                                                                                                                                                                                                                                                                                                                                                                                                                                                                                                                                                                                                                                                                                                                                                                                                                                                                                                                                                                                   | 565                                                                                                                                                                                                                                                                                                             | 1,42<br>,6.65                                                                                                                                                                                                                                                                                                                                                                                                                                                                                                                                                                                                                                                                                                                                                                                                                                                                                                                                                                                                                                                                                                                                                                                                                                                                                                                                                                                                                                                                                                                                                                                                                                                                                                                                                                                                                                                                                                                                                                                                                                                                                                                                                                                                                                                                                                                                                                                                                                                                                                                                                                                                                                                                                                                                                                                                                          | -0 06                                                                                                                                                                                                                                                                                                                                                                                                                                                                                                                                                                                                                                                                                                                                                                                                                                                                                                                                                                                                                                                                                                                                                                                                                                                                                                                                                                                                                                                                                                                                                                                                                                                                                                                                                                                                                                                                                                                                                                                                                                                                                                                                                                                                                                                                                                                                                                                                                                                                                                                                                                                                                                                                                                                                  | +105<br>+58                                                                                                                                                            | 4 264 375<br>2 000                                                                                                                                                                                                                                                                                                                                                                                                                                                                                                                                                                                                                                                                                                                                                                                                                                                                                                                                                                                                                                                                                                                                                                                                                                                                                                                                                                                                                                                                                                                                                                                                                                                                                                                                                                                                                                                                                                                                                                                                                                                                                                                                                                                                                                                                                                                                                                                                                                                                                                                                                                                                                                                                                                                                                                                                                                                                                                                                                                                                            | 6,047 373<br>11 300                                                                                                                                                                                                                                                                                                                                                                                                                                                                                                                                                                                                                                                                                                                                                                                                                                                                                                                                                                                                                                                                                                                                                                                                                                                                                                                                                                                                                                                                                                                                                                                                                                                                                                                                                                                                                                                                                                                                                                                                                                                                                                                                                                                                                                                                                                                                                                                                                                                                                                                                                                                  | 046                                                                                                                                                                                                                                                                                                                                                                                                                                                                                                                                                                                                                                                                                                                                                                                                                                                                                                                                                                                                                                                                                                                                                                                                                                                                                                                                                                                                                                                                                                                                                                                                                                                                                                                                                                                                                                                                                                                                                                                                                                                                                                                                                                                                                                                                                                                                                                                                                                                                                                                                                                                                                                                                                                                                                                                                                                    | 2 43<br>3 63<br>7 46                                                                                                                                                                                                                                                                                                                                                                                                                                                                                                                                                                                                                                                                                                                                                                                                                                                                                                                                                                                                                                                                                                                                                                                                                                                                                                                                                                                                                                                                                                                                                                                                                                                                                                                                                                                                                                                                                                                                                                                                                                                                                                                                                                                                                                                                                                                                                                                                                                                                                                                                                                                                                                                                                                                                                                                                                      | 9 72<br>6 64<br>8 62                                                                                                                                                                                                                                                                                                                                                                                                                                                                                                                                                                                                                                                                                                                                                                                                                                                                                                                                                                                                                                                                                                                                                                                                                                                                                                                                                                                                                                                                                                                                                                                                                                                                                                                                                                                                                                                                                                                                                                                                                                                                                                                                                                                                                                                                                                                                                                                                                                                                                                                                                                                                                                                                                                                                                                                                                                                                                                                                                                                                                                                                                                                                                                             |
| 8 213 興建電子<br>5 178 永新企業<br>G 075 料型集團                                                                                                                                                                                                                                                                                                                                                                                                                                                                                                                                                                                                                                                                                                                                                                                                                                                                                                                                                                                                                                                                                                                                                                                                                                                                                                                                                                                                                                                                                                                                                                                                                                                                                                                                                                                                                                                                                                                                                                                                                                                                                       | 0 86<br>1 57<br>10 90                                                                                                                                                                                                                                                                                                                                                                                                                                                                                                                                                                                                                                                                                                                                                                                                                                                                                                                                                                                                                                                                                                                                                                                                                                                                                                                                                                                                                                                                                                                                                                                                                                                                                                                                                                                                                                                                                                                                                                                                                                                                                                                                                                                                                                                                                                                                                                                                                                                                                                                                                                                                                                                                                                                                                                                                                  | 0 86<br>1 59<br>10 80                                                                                                                                                                                                                                                                                                                                                                                                                                                                                                                                                                                                          | 0 84<br>1 57<br>8 75                                                                                                                                                                                                                                                                                                                                                                                                                                                                                                                                                                                                                                                                                                                                                                                                                                                                                                                                                                                                                                                                                                                                                                                                                                                                                                                                                                                                                                                                                                                                                                                                                                                                                                                                                                                                                                                                                                                                                                                                                                                                                                                                                                                                                                                                                                                                                                                                                                                                                                                                                                                                                                                                                                                                                                                                                                                                                                                                                                                                                                                                                                                                                                             | 0 87<br>1 50<br>9 00                                                                                                                                                                                                                                                                                                                                                                                                                                                                                                                                                                                                                                                                                                                                                                                                                                                                                                                                                                                                                                                                                                                                                                                                                                                                                                                                                                                                                                                                                                                                                                                                                                                                                                                                                                                                                                                                                                                                                                                                                                                                                                                                                                                                                                                                                                                                                                                                                                                                                                                                                                                                                                                                                                                                                                                                                                                                                                                                                                                                                                                                                                                                                                            | D 88<br>1.60<br>9.06                                                                                                                                                                                                                                                                                            | 0,87<br>1,59<br>9,05                                                                                                                                                                                                                                                                                                                                                                                                                                                                                                                                                                                                                                                                                                                                                                                                                                                                                                                                                                                                                                                                                                                                                                                                                                                                                                                                                                                                                                                                                                                                                                                                                                                                                                                                                                                                                                                                                                                                                                                                                                                                                                                                                                                                                                                                                                                                                                                                                                                                                                                                                                                                                                                                                                                                                                                                                   | +0 01<br>+0 02<br>-1 88                                                                                                                                                                                                                                                                                                                                                                                                                                                                                                                                                                                                                                                                                                                                                                                                                                                                                                                                                                                                                                                                                                                                                                                                                                                                                                                                                                                                                                                                                                                                                                                                                                                                                                                                                                                                                                                                                                                                                                                                                                                                                                                                                                                                                                                                                                                                                                                                                                                                                                                                                                                                                                                                                                                | +52<br>-2                                                                                                                                                              | 4 024 600<br>110 000<br>3 563 000                                                                                                                                                                                                                                                                                                                                                                                                                                                                                                                                                                                                                                                                                                                                                                                                                                                                                                                                                                                                                                                                                                                                                                                                                                                                                                                                                                                                                                                                                                                                                                                                                                                                                                                                                                                                                                                                                                                                                                                                                                                                                                                                                                                                                                                                                                                                                                                                                                                                                                                                                                                                                                                                                                                                                                                                                                                                                                                                                                                             | 173,100<br>33,450,500                                                                                                                                                                                                                                                                                                                                                                                                                                                                                                                                                                                                                                                                                                                                                                                                                                                                                                                                                                                                                                                                                                                                                                                                                                                                                                                                                                                                                                                                                                                                                                                                                                                                                                                                                                                                                                                                                                                                                                                                                                                                                                                                                                                                                                                                                                                                                                                                                                                                                                                                                                                | 0 54                                                                                                                                                                                                                                                                                                                                                                                                                                                                                                                                                                                                                                                                                                                                                                                                                                                                                                                                                                                                                                                                                                                                                                                                                                                                                                                                                                                                                                                                                                                                                                                                                                                                                                                                                                                                                                                                                                                                                                                                                                                                                                                                                                                                                                                                                                                                                                                                                                                                                                                                                                                                                                                                                                                                                                                                                                   | 5 64<br>9.00                                                                                                                                                                                                                                                                                                                                                                                                                                                                                                                                                                                                                                                                                                                                                                                                                                                                                                                                                                                                                                                                                                                                                                                                                                                                                                                                                                                                                                                                                                                                                                                                                                                                                                                                                                                                                                                                                                                                                                                                                                                                                                                                                                                                                                                                                                                                                                                                                                                                                                                                                                                                                                                                                                                                                                                                                              | 1131<br>420                                                                                                                                                                                                                                                                                                                                                                                                                                                                                                                                                                                                                                                                                                                                                                                                                                                                                                                                                                                                                                                                                                                                                                                                                                                                                                                                                                                                                                                                                                                                                                                                                                                                                                                                                                                                                                                                                                                                                                                                                                                                                                                                                                                                                                                                                                                                                                                                                                                                                                                                                                                                                                                                                                                                                                                                                                                                                                                                                                                                                                                                                                                                                                                      |
| 4 243 法質國際                                                                                                                                                                                                                                                                                                                                                                                                                                                                                                                                                                                                                                                                                                                                                                                                                                                                                                                                                                                                                                                                                                                                                                                                                                                                                                                                                                                                                                                                                                                                                                                                                                                                                                                                                                                                                                                                                                                                                                                                                                                                                                                   | 0.72<br>0.325<br>3.00                                                                                                                                                                                                                                                                                                                                                                                                                                                                                                                                                                                                                                                                                                                                                                                                                                                                                                                                                                                                                                                                                                                                                                                                                                                                                                                                                                                                                                                                                                                                                                                                                                                                                                                                                                                                                                                                                                                                                                                                                                                                                                                                                                                                                                                                                                                                                                                                                                                                                                                                                                                                                                                                                                                                                                                                                  | 0.73<br>0.30<br>3.02h                                                                                                                                                                                                                                                                                                                                                                                                                                                                                                                                                                                                          | 0 70<br>0 325<br>3 00                                                                                                                                                                                                                                                                                                                                                                                                                                                                                                                                                                                                                                                                                                                                                                                                                                                                                                                                                                                                                                                                                                                                                                                                                                                                                                                                                                                                                                                                                                                                                                                                                                                                                                                                                                                                                                                                                                                                                                                                                                                                                                                                                                                                                                                                                                                                                                                                                                                                                                                                                                                                                                                                                                                                                                                                                                                                                                                                                                                                                                                                                                                                                                            | 0.72<br>0.325<br>3.00                                                                                                                                                                                                                                                                                                                                                                                                                                                                                                                                                                                                                                                                                                                                                                                                                                                                                                                                                                                                                                                                                                                                                                                                                                                                                                                                                                                                                                                                                                                                                                                                                                                                                                                                                                                                                                                                                                                                                                                                                                                                                                                                                                                                                                                                                                                                                                                                                                                                                                                                                                                                                                                                                                                                                                                                                                                                                                                                                                                                                                                                                                                                                                           | 0.73<br>0.33<br>3.026                                                                                                                                                                                                                                                                                           | 0.73<br>0.325<br>3.00                                                                                                                                                                                                                                                                                                                                                                                                                                                                                                                                                                                                                                                                                                                                                                                                                                                                                                                                                                                                                                                                                                                                                                                                                                                                                                                                                                                                                                                                                                                                                                                                                                                                                                                                                                                                                                                                                                                                                                                                                                                                                                                                                                                                                                                                                                                                                                                                                                                                                                                                                                                                                                                                                                                                                                                                                  | F0 01                                                                                                                                                                                                                                                                                                                                                                                                                                                                                                                                                                                                                                                                                                                                                                                                                                                                                                                                                                                                                                                                                                                                                                                                                                                                                                                                                                                                                                                                                                                                                                                                                                                                                                                                                                                                                                                                                                                                                                                                                                                                                                                                                                                                                                                                                                                                                                                                                                                                                                                                                                                                                                                                                                                                  | 1 50                                                                                                                                                                   | 6 416 000<br>928,666<br>70,000                                                                                                                                                                                                                                                                                                                                                                                                                                                                                                                                                                                                                                                                                                                                                                                                                                                                                                                                                                                                                                                                                                                                                                                                                                                                                                                                                                                                                                                                                                                                                                                                                                                                                                                                                                                                                                                                                                                                                                                                                                                                                                                                                                                                                                                                                                                                                                                                                                                                                                                                                                                                                                                                                                                                                                                                                                                                                                                                                                                                | 301,703                                                                                                                                                                                                                                                                                                                                                                                                                                                                                                                                                                                                                                                                                                                                                                                                                                                                                                                                                                                                                                                                                                                                                                                                                                                                                                                                                                                                                                                                                                                                                                                                                                                                                                                                                                                                                                                                                                                                                                                                                                                                                                                                                                                                                                                                                                                                                                                                                                                                                                                                                                                              | 011                                                                                                                                                                                                                                                                                                                                                                                                                                                                                                                                                                                                                                                                                                                                                                                                                                                                                                                                                                                                                                                                                                                                                                                                                                                                                                                                                                                                                                                                                                                                                                                                                                                                                                                                                                                                                                                                                                                                                                                                                                                                                                                                                                                                                                                                                                                                                                                                                                                                                                                                                                                                                                                                                                                                                                                                                                    | 3 66<br>6 67                                                                                                                                                                                                                                                                                                                                                                                                                                                                                                                                                                                                                                                                                                                                                                                                                                                                                                                                                                                                                                                                                                                                                                                                                                                                                                                                                                                                                                                                                                                                                                                                                                                                                                                                                                                                                                                                                                                                                                                                                                                                                                                                                                                                                                                                                                                                                                                                                                                                                                                                                                                                                                                                                                                                                                                                                              | 1 37<br>15.38<br>8 33                                                                                                                                                                                                                                                                                                                                                                                                                                                                                                                                                                                                                                                                                                                                                                                                                                                                                                                                                                                                                                                                                                                                                                                                                                                                                                                                                                                                                                                                                                                                                                                                                                                                                                                                                                                                                                                                                                                                                                                                                                                                                                                                                                                                                                                                                                                                                                                                                                                                                                                                                                                                                                                                                                                                                                                                                                                                                                                                                                                                                                                                                                                                                                            |
| p2 23 개·阿柯烷(量)                                                                                                                                                                                                                                                                                                                                                                                                                                                                                                                                                                                                                                                                                                                                                                                                                                                                                                                                                                                                                                                                                                                                                                                                                                                                                                                                                                                                                                                                                                                                                                                                                                                                                                                                                                                                                                                                                                                                                                                                                                                                                                               | 4 + (-                                                                                                                                                                                                                                                                                                                                                                                                                                                                                                                                                                                                                                                                                                                                                                                                                                                                                                                                                                                                                                                                                                                                                                                                                                                                                                                                                                                                                                                                                                                                                                                                                                                                                                                                                                                                                                                                                                                                                                                                                                                                                                                                                                                                                                                                                                                                                                                                                                                                                                                                                                                                                                                                                                                                                                                                                                 | 068                                                                                                                                                                                                                                                                                                                                                                                                                                                                                                                                                                                                                            | 0.58                                                                                                                                                                                                                                                                                                                                                                                                                                                                                                                                                                                                                                                                                                                                                                                                                                                                                                                                                                                                                                                                                                                                                                                                                                                                                                                                                                                                                                                                                                                                                                                                                                                                                                                                                                                                                                                                                                                                                                                                                                                                                                                                                                                                                                                                                                                                                                                                                                                                                                                                                                                                                                                                                                                                                                                                                                                                                                                                                                                                                                                                                                                                                                                             | 0.61                                                                                                                                                                                                                                                                                                                                                                                                                                                                                                                                                                                                                                                                                                                                                                                                                                                                                                                                                                                                                                                                                                                                                                                                                                                                                                                                                                                                                                                                                                                                                                                                                                                                                                                                                                                                                                                                                                                                                                                                                                                                                                                                                                                                                                                                                                                                                                                                                                                                                                                                                                                                                                                                                                                                                                                                                                                                                                                                                                                                                                                                                                                                                                                            | 0,63                                                                                                                                                                                                                                                                                                            | 0.61                                                                                                                                                                                                                                                                                                                                                                                                                                                                                                                                                                                                                                                                                                                                                                                                                                                                                                                                                                                                                                                                                                                                                                                                                                                                                                                                                                                                                                                                                                                                                                                                                                                                                                                                                                                                                                                                                                                                                                                                                                                                                                                                                                                                                                                                                                                                                                                                                                                                                                                                                                                                                                                                                                                                                                                                                                   | +0.02                                                                                                                                                                                                                                                                                                                                                                                                                                                                                                                                                                                                                                                                                                                                                                                                                                                                                                                                                                                                                                                                                                                                                                                                                                                                                                                                                                                                                                                                                                                                                                                                                                                                                                                                                                                                                                                                                                                                                                                                                                                                                                                                                                                                                                                                                                                                                                                                                                                                                                                                                                                                                                                                                                                                  | 4:30                                                                                                                                                                   | 4,992,000                                                                                                                                                                                                                                                                                                                                                                                                                                                                                                                                                                                                                                                                                                                                                                                                                                                                                                                                                                                                                                                                                                                                                                                                                                                                                                                                                                                                                                                                                                                                                                                                                                                                                                                                                                                                                                                                                                                                                                                                                                                                                                                                                                                                                                                                                                                                                                                                                                                                                                                                                                                                                                                                                                                                                                                                                                                                                                                                                                                                                     | 3,091,000                                                                                                                                                                                                                                                                                                                                                                                                                                                                                                                                                                                                                                                                                                                                                                                                                                                                                                                                                                                                                                                                                                                                                                                                                                                                                                                                                                                                                                                                                                                                                                                                                                                                                                                                                                                                                                                                                                                                                                                                                                                                                                                                                                                                                                                                                                                                                                                                                                                                                                                                                                                            | 051                                                                                                                                                                                                                                                                                                                                                                                                                                                                                                                                                                                                                                                                                                                                                                                                                                                                                                                                                                                                                                                                                                                                                                                                                                                                                                                                                                                                                                                                                                                                                                                                                                                                                                                                                                                                                                                                                                                                                                                                                                                                                                                                                                                                                                                                                                                                                                                                                                                                                                                                                                                                                                                                                                                                                                                                                                    | 9.76                                                                                                                                                                                                                                                                                                                                                                                                                                                                                                                                                                                                                                                                                                                                                                                                                                                                                                                                                                                                                                                                                                                                                                                                                                                                                                                                                                                                                                                                                                                                                                                                                                                                                                                                                                                                                                                                                                                                                                                                                                                                                                                                                                                                                                                                                                                                                                                                                                                                                                                                                                                                                                                                                                                                                                                                                                      | 1 82                                                                                                                                                                                                                                                                                                                                                                                                                                                                                                                                                                                                                                                                                                                                                                                                                                                                                                                                                                                                                                                                                                                                                                                                                                                                                                                                                                                                                                                                                                                                                                                                                                                                                                                                                                                                                                                                                                                                                                                                                                                                                                                                                                                                                                                                                                                                                                                                                                                                                                                                                                                                                                                                                                                                                                                                                                                                                                                                                                                                                                                                                                                                                                                             |
| 55 523 加爾國際(量)<br>0 229 1 12 電車<br>2 472 加重報 1 章<br>234 12 第13章                                                                                                                                                                                                                                                                                                                                                                                                                                                                                                                                                                                                                                                                                                                                                                                                                                                                                                                                                                                                                                                                                                                                                                                                                                                                                                                                                                                                                                                                                                                                                                                                                                                                                                                                                                                                                                                                                                                                                                                                                                                              | 0.59                                                                                                                                                                                                                                                                                                                                                                                                                                                                                                                                                                                                                                                                                                                                                                                                                                                                                                                                                                                                                                                                                                                                                                                                                                                                                                                                                                                                                                                                                                                                                                                                                                                                                                                                                                                                                                                                                                                                                                                                                                                                                                                                                                                                                                                                                                                                                                                                                                                                                                                                                                                                                                                                                                                                                                                                                                   | 4.05                                                                                                                                                                                                                                                                                                                                                                                                                                                                                                                                                                                                                           | - 4 00                                                                                                                                                                                                                                                                                                                                                                                                                                                                                                                                                                                                                                                                                                                                                                                                                                                                                                                                                                                                                                                                                                                                                                                                                                                                                                                                                                                                                                                                                                                                                                                                                                                                                                                                                                                                                                                                                                                                                                                                                                                                                                                                                                                                                                                                                                                                                                                                                                                                                                                                                                                                                                                                                                                                                                                                                                                                                                                                                                                                                                                                                                                                                                                           | 4 00                                                                                                                                                                                                                                                                                                                                                                                                                                                                                                                                                                                                                                                                                                                                                                                                                                                                                                                                                                                                                                                                                                                                                                                                                                                                                                                                                                                                                                                                                                                                                                                                                                                                                                                                                                                                                                                                                                                                                                                                                                                                                                                                                                                                                                                                                                                                                                                                                                                                                                                                                                                                                                                                                                                                                                                                                                                                                                                                                                                                                                                                                                                                                                                            | 4 05                                                                                                                                                                                                                                                                                                            | 4 025                                                                                                                                                                                                                                                                                                                                                                                                                                                                                                                                                                                                                                                                                                                                                                                                                                                                                                                                                                                                                                                                                                                                                                                                                                                                                                                                                                                                                                                                                                                                                                                                                                                                                                                                                                                                                                                                                                                                                                                                                                                                                                                                                                                                                                                                                                                                                                                                                                                                                                                                                                                                                                                                                                                                                                                                                                  |                                                                                                                                                                                                                                                                                                                                                                                                                                                                                                                                                                                                                                                                                                                                                                                                                                                                                                                                                                                                                                                                                                                                                                                                                                                                                                                                                                                                                                                                                                                                                                                                                                                                                                                                                                                                                                                                                                                                                                                                                                                                                                                                                                                                                                                                                                                                                                                                                                                                                                                                                                                                                                                                                                                                        | 4                                                                                                                                                                      |                                                                                                                                                                                                                                                                                                                                                                                                                                                                                                                                                                                                                                                                                                                                                                                                                                                                                                                                                                                                                                                                                                                                                                                                                                                                                                                                                                                                                                                                                                                                                                                                                                                                                                                                                                                                                                                                                                                                                                                                                                                                                                                                                                                                                                                                                                                                                                                                                                                                                                                                                                                                                                                                                                                                                                                                                                                                                                                                                                                                                               | 166 660                                                                                                                                                                                                                                                                                                                                                                                                                                                                                                                                                                                                                                                                                                                                                                                                                                                                                                                                                                                                                                                                                                                                                                                                                                                                                                                                                                                                                                                                                                                                                                                                                                                                                                                                                                                                                                                                                                                                                                                                                                                                                                                                                                                                                                                                                                                                                                                                                                                                                                                                                                                              | 1 27                                                                                                                                                                                                                                                                                                                                                                                                                                                                                                                                                                                                                                                                                                                                                                                                                                                                                                                                                                                                                                                                                                                                                                                                                                                                                                                                                                                                                                                                                                                                                                                                                                                                                                                                                                                                                                                                                                                                                                                                                                                                                                                                                                                                                                                                                                                                                                                                                                                                                                                                                                                                                                                                                                                                                                                                                                   | 1444                                                                                                                                                                                                                                                                                                                                                                                                                                                                                                                                                                                                                                                                                                                                                                                                                                                                                                                                                                                                                                                                                                                                                                                                                                                                                                                                                                                                                                                                                                                                                                                                                                                                                                                                                                                                                                                                                                                                                                                                                                                                                                                                                                                                                                                                                                                                                                                                                                                                                                                                                                                                                                                                                                                                                                                                                                      | 7 08                                                                                                                                                                                                                                                                                                                                                                                                                                                                                                                                                                                                                                                                                                                                                                                                                                                                                                                                                                                                                                                                                                                                                                                                                                                                                                                                                                                                                                                                                                                                                                                                                                                                                                                                                                                                                                                                                                                                                                                                                                                                                                                                                                                                                                                                                                                                                                                                                                                                                                                                                                                                                                                                                                                                                                                                                                                                                                                                                                                                                                                                                                                                                                                             |
| p5 523 高海紅原(量) 0 229 1 民軍級 2 472 海魚雅 1 章 234 取取11編 15 236 1 力中 第 8 521                                                                                                                                                                                                                                                                                                                                                                                                                                                                                                                                                                                                                                                                                                                                                                                                                                                                                                                                                                                                                                                                                                                                                                                                                                                                                                                                                                                                                                                                                                                                                                                                                                                                                                                                                                                                                                                                                                                                                                                                                                                       | 0.59<br>4.00<br>1 18<br>0 68                                                                                                                                                                                                                                                                                                                                                                                                                                                                                                                                                                                                                                                                                                                                                                                                                                                                                                                                                                                                                                                                                                                                                                                                                                                                                                                                                                                                                                                                                                                                                                                                                                                                                                                                                                                                                                                                                                                                                                                                                                                                                                                                                                                                                                                                                                                                                                                                                                                                                                                                                                                                                                                                                                                                                                                                           | 1 19<br>0 90                                                                                                                                                                                                                                                                                                                                                                                                                                                                                                                                                                                                                   | 1 18<br>0 86                                                                                                                                                                                                                                                                                                                                                                                                                                                                                                                                                                                                                                                                                                                                                                                                                                                                                                                                                                                                                                                                                                                                                                                                                                                                                                                                                                                                                                                                                                                                                                                                                                                                                                                                                                                                                                                                                                                                                                                                                                                                                                                                                                                                                                                                                                                                                                                                                                                                                                                                                                                                                                                                                                                                                                                                                                                                                                                                                                                                                                                                                                                                                                                     | 087                                                                                                                                                                                                                                                                                                                                                                                                                                                                                                                                                                                                                                                                                                                                                                                                                                                                                                                                                                                                                                                                                                                                                                                                                                                                                                                                                                                                                                                                                                                                                                                                                                                                                                                                                                                                                                                                                                                                                                                                                                                                                                                                                                                                                                                                                                                                                                                                                                                                                                                                                                                                                                                                                                                                                                                                                                                                                                                                                                                                                                                                                                                                                                                             | 1.20<br>0.88                                                                                                                                                                                                                                                                                                    | 1 19<br>0.67                                                                                                                                                                                                                                                                                                                                                                                                                                                                                                                                                                                                                                                                                                                                                                                                                                                                                                                                                                                                                                                                                                                                                                                                                                                                                                                                                                                                                                                                                                                                                                                                                                                                                                                                                                                                                                                                                                                                                                                                                                                                                                                                                                                                                                                                                                                                                                                                                                                                                                                                                                                                                                                                                                                                                                                                                           | +0.025<br>+0.01<br>-0.01                                                                                                                                                                                                                                                                                                                                                                                                                                                                                                                                                                                                                                                                                                                                                                                                                                                                                                                                                                                                                                                                                                                                                                                                                                                                                                                                                                                                                                                                                                                                                                                                                                                                                                                                                                                                                                                                                                                                                                                                                                                                                                                                                                                                                                                                                                                                                                                                                                                                                                                                                                                                                                                                                                               | + 64<br>- 4 68<br>- 83                                                                                                                                                 | 38,656<br>362,000<br>2,594,000                                                                                                                                                                                                                                                                                                                                                                                                                                                                                                                                                                                                                                                                                                                                                                                                                                                                                                                                                                                                                                                                                                                                                                                                                                                                                                                                                                                                                                                                                                                                                                                                                                                                                                                                                                                                                                                                                                                                                                                                                                                                                                                                                                                                                                                                                                                                                                                                                                                                                                                                                                                                                                                                                                                                                                                                                                                                                                                                                                                                | 428,400<br>2 269,100                                                                                                                                                                                                                                                                                                                                                                                                                                                                                                                                                                                                                                                                                                                                                                                                                                                                                                                                                                                                                                                                                                                                                                                                                                                                                                                                                                                                                                                                                                                                                                                                                                                                                                                                                                                                                                                                                                                                                                                                                                                                                                                                                                                                                                                                                                                                                                                                                                                                                                                                                                                 | 0 40                                                                                                                                                                                                                                                                                                                                                                                                                                                                                                                                                                                                                                                                                                                                                                                                                                                                                                                                                                                                                                                                                                                                                                                                                                                                                                                                                                                                                                                                                                                                                                                                                                                                                                                                                                                                                                                                                                                                                                                                                                                                                                                                                                                                                                                                                                                                                                                                                                                                                                                                                                                                                                                                                                                                                                                                                                   | 561<br>580                                                                                                                                                                                                                                                                                                                                                                                                                                                                                                                                                                                                                                                                                                                                                                                                                                                                                                                                                                                                                                                                                                                                                                                                                                                                                                                                                                                                                                                                                                                                                                                                                                                                                                                                                                                                                                                                                                                                                                                                                                                                                                                                                                                                                                                                                                                                                                                                                                                                                                                                                                                                                                                                                                                                                                                                                                | 6 72<br>3 65                                                                                                                                                                                                                                                                                                                                                                                                                                                                                                                                                                                                                                                                                                                                                                                                                                                                                                                                                                                                                                                                                                                                                                                                                                                                                                                                                                                                                                                                                                                                                                                                                                                                                                                                                                                                                                                                                                                                                                                                                                                                                                                                                                                                                                                                                                                                                                                                                                                                                                                                                                                                                                                                                                                                                                                                                                                                                                                                                                                                                                                                                                                                                                                     |
| 523   16   16   16   16   16   16   16   1                                                                                                                                                                                                                                                                                                                                                                                                                                                                                                                                                                                                                                                                                                                                                                                                                                                                                                                                                                                                                                                                                                                                                                                                                                                                                                                                                                                                                                                                                                                                                                                                                                                                                                                                                                                                                                                                                                                                                                                                                                                                                   | 4.00<br>1 18<br>0 88<br>1 62<br>9 30                                                                                                                                                                                                                                                                                                                                                                                                                                                                                                                                                                                                                                                                                                                                                                                                                                                                                                                                                                                                                                                                                                                                                                                                                                                                                                                                                                                                                                                                                                                                                                                                                                                                                                                                                                                                                                                                                                                                                                                                                                                                                                                                                                                                                                                                                                                                                                                                                                                                                                                                                                                                                                                                                                                                                                                                   | 1 19<br>0 00<br>1 60                                                                                                                                                                                                                                                                                                                                                                                                                                                                                                                                                                                                           | 0 86<br>1 46                                                                                                                                                                                                                                                                                                                                                                                                                                                                                                                                                                                                                                                                                                                                                                                                                                                                                                                                                                                                                                                                                                                                                                                                                                                                                                                                                                                                                                                                                                                                                                                                                                                                                                                                                                                                                                                                                                                                                                                                                                                                                                                                                                                                                                                                                                                                                                                                                                                                                                                                                                                                                                                                                                                                                                                                                                                                                                                                                                                                                                                                                                                                                                                     | 0 87<br>1.49<br>9 25                                                                                                                                                                                                                                                                                                                                                                                                                                                                                                                                                                                                                                                                                                                                                                                                                                                                                                                                                                                                                                                                                                                                                                                                                                                                                                                                                                                                                                                                                                                                                                                                                                                                                                                                                                                                                                                                                                                                                                                                                                                                                                                                                                                                                                                                                                                                                                                                                                                                                                                                                                                                                                                                                                                                                                                                                                                                                                                                                                                                                                                                                                                                                                            | 0.88<br>1.60<br>9.30                                                                                                                                                                                                                                                                                            | 1 19<br>0 67<br>1 49<br>9 30                                                                                                                                                                                                                                                                                                                                                                                                                                                                                                                                                                                                                                                                                                                                                                                                                                                                                                                                                                                                                                                                                                                                                                                                                                                                                                                                                                                                                                                                                                                                                                                                                                                                                                                                                                                                                                                                                                                                                                                                                                                                                                                                                                                                                                                                                                                                                                                                                                                                                                                                                                                                                                                                                                                                                                                                           | +0.01<br>-0.01<br>-0.03                                                                                                                                                                                                                                                                                                                                                                                                                                                                                                                                                                                                                                                                                                                                                                                                                                                                                                                                                                                                                                                                                                                                                                                                                                                                                                                                                                                                                                                                                                                                                                                                                                                                                                                                                                                                                                                                                                                                                                                                                                                                                                                                                                                                                                                                                                                                                                                                                                                                                                                                                                                                                                                                                                                | - 63<br>- 63                                                                                                                                                           | 362,000<br>2,594,000<br>303,000                                                                                                                                                                                                                                                                                                                                                                                                                                                                                                                                                                                                                                                                                                                                                                                                                                                                                                                                                                                                                                                                                                                                                                                                                                                                                                                                                                                                                                                                                                                                                                                                                                                                                                                                                                                                                                                                                                                                                                                                                                                                                                                                                                                                                                                                                                                                                                                                                                                                                                                                                                                                                                                                                                                                                                                                                                                                                                                                                                                               | 428,400<br>2 269,100<br>451,540                                                                                                                                                                                                                                                                                                                                                                                                                                                                                                                                                                                                                                                                                                                                                                                                                                                                                                                                                                                                                                                                                                                                                                                                                                                                                                                                                                                                                                                                                                                                                                                                                                                                                                                                                                                                                                                                                                                                                                                                                                                                                                                                                                                                                                                                                                                                                                                                                                                                                                                                                                      | 0 40<br>0 30<br>0.51<br>3 16                                                                                                                                                                                                                                                                                                                                                                                                                                                                                                                                                                                                                                                                                                                                                                                                                                                                                                                                                                                                                                                                                                                                                                                                                                                                                                                                                                                                                                                                                                                                                                                                                                                                                                                                                                                                                                                                                                                                                                                                                                                                                                                                                                                                                                                                                                                                                                                                                                                                                                                                                                                                                                                                                                                                                                                                           | 561                                                                                                                                                                                                                                                                                                                                                                                                                                                                                                                                                                                                                                                                                                                                                                                                                                                                                                                                                                                                                                                                                                                                                                                                                                                                                                                                                                                                                                                                                                                                                                                                                                                                                                                                                                                                                                                                                                                                                                                                                                                                                                                                                                                                                                                                                                                                                                                                                                                                                                                                                                                                                                                                                                                                                                                                                                       |                                                                                                                                                                                                                                                                                                                                                                                                                                                                                                                                                                                                                                                                                                                                                                                                                                                                                                                                                                                                                                                                                                                                                                                                                                                                                                                                                                                                                                                                                                                                                                                                                                                                                                                                                                                                                                                                                                                                                                                                                                                                                                                                                                                                                                                                                                                                                                                                                                                                                                                                                                                                                                                                                                                                                                                                                                                                                                                                                                                                                                                                                                                                                                                                  |
|                                                                                                                                                                                                                                                                                                                                                                                                                                                                                                                                                                                                                                                                                                                                                                                                                                                                                                                                                                                                                                                                                                                                                                                                                                                                                                                                                                                                                                                                                                                                                                                                                                                                                                                                                                                                                                                                                                                                                                                                                                                                                                                              | 4.00<br>1 18<br>0 88<br>1 52<br>9 30<br>1 06<br>3 625                                                                                                                                                                                                                                                                                                                                                                                                                                                                                                                                                                                                                                                                                                                                                                                                                                                                                                                                                                                                                                                                                                                                                                                                                                                                                                                                                                                                                                                                                                                                                                                                                                                                                                                                                                                                                                                                                                                                                                                                                                                                                                                                                                                                                                                                                                                                                                                                                                                                                                                                                                                                                                                                                                                                                                                  | 1 19<br>0 00<br>1 50<br>1 07<br>3 60                                                                                                                                                                                                                                                                                                                                                                                                                                                                                                                                                                                           | 0.86<br>1.48<br>1.05<br>3.66                                                                                                                                                                                                                                                                                                                                                                                                                                                                                                                                                                                                                                                                                                                                                                                                                                                                                                                                                                                                                                                                                                                                                                                                                                                                                                                                                                                                                                                                                                                                                                                                                                                                                                                                                                                                                                                                                                                                                                                                                                                                                                                                                                                                                                                                                                                                                                                                                                                                                                                                                                                                                                                                                                                                                                                                                                                                                                                                                                                                                                                                                                                                                                     | 0 87<br>1,49<br>9 29<br>1 06<br>3 575                                                                                                                                                                                                                                                                                                                                                                                                                                                                                                                                                                                                                                                                                                                                                                                                                                                                                                                                                                                                                                                                                                                                                                                                                                                                                                                                                                                                                                                                                                                                                                                                                                                                                                                                                                                                                                                                                                                                                                                                                                                                                                                                                                                                                                                                                                                                                                                                                                                                                                                                                                                                                                                                                                                                                                                                                                                                                                                                                                                                                                                                                                                                                           | 0 88<br>1 60<br>9 30<br>1 07<br>3 60                                                                                                                                                                                                                                                                            | 1 19<br>0 87<br>1 49<br>9 30<br>1 07<br>3 570<br>1 14                                                                                                                                                                                                                                                                                                                                                                                                                                                                                                                                                                                                                                                                                                                                                                                                                                                                                                                                                                                                                                                                                                                                                                                                                                                                                                                                                                                                                                                                                                                                                                                                                                                                                                                                                                                                                                                                                                                                                                                                                                                                                                                                                                                                                                                                                                                                                                                                                                                                                                                                                                                                                                                                                                                                                                                  | +0.01<br>-0.01<br>-0.03<br>-0.05<br>-0.05                                                                                                                                                                                                                                                                                                                                                                                                                                                                                                                                                                                                                                                                                                                                                                                                                                                                                                                                                                                                                                                                                                                                                                                                                                                                                                                                                                                                                                                                                                                                                                                                                                                                                                                                                                                                                                                                                                                                                                                                                                                                                                                                                                                                                                                                                                                                                                                                                                                                                                                                                                                                                                                                                              | -1 68<br>83<br>63<br>65<br>74                                                                                                                                          | 362,000<br>2,594,000<br>303,000<br>7,774,400<br>713,000                                                                                                                                                                                                                                                                                                                                                                                                                                                                                                                                                                                                                                                                                                                                                                                                                                                                                                                                                                                                                                                                                                                                                                                                                                                                                                                                                                                                                                                                                                                                                                                                                                                                                                                                                                                                                                                                                                                                                                                                                                                                                                                                                                                                                                                                                                                                                                                                                                                                                                                                                                                                                                                                                                                                                                                                                                                                                                                                                                       | 428,400<br>2 269,100<br>451,540<br>8,228,080<br>2,563,250                                                                                                                                                                                                                                                                                                                                                                                                                                                                                                                                                                                                                                                                                                                                                                                                                                                                                                                                                                                                                                                                                                                                                                                                                                                                                                                                                                                                                                                                                                                                                                                                                                                                                                                                                                                                                                                                                                                                                                                                                                                                                                                                                                                                                                                                                                                                                                                                                                                                                                                                            | 0 40<br>0 30<br>0 51°<br>3 16<br>0 36<br>1 22<br>0 39                                                                                                                                                                                                                                                                                                                                                                                                                                                                                                                                                                                                                                                                                                                                                                                                                                                                                                                                                                                                                                                                                                                                                                                                                                                                                                                                                                                                                                                                                                                                                                                                                                                                                                                                                                                                                                                                                                                                                                                                                                                                                                                                                                                                                                                                                                                                                                                                                                                                                                                                                                                                                                                                                                                                                                                  | 561<br>580<br>880<br>669                                                                                                                                                                                                                                                                                                                                                                                                                                                                                                                                                                                                                                                                                                                                                                                                                                                                                                                                                                                                                                                                                                                                                                                                                                                                                                                                                                                                                                                                                                                                                                                                                                                                                                                                                                                                                                                                                                                                                                                                                                                                                                                                                                                                                                                                                                                                                                                                                                                                                                                                                                                                                                                                                                                                                                                                                  | 3.65<br>6.37<br>10.22                                                                                                                                                                                                                                                                                                                                                                                                                                                                                                                                                                                                                                                                                                                                                                                                                                                                                                                                                                                                                                                                                                                                                                                                                                                                                                                                                                                                                                                                                                                                                                                                                                                                                                                                                                                                                                                                                                                                                                                                                                                                                                                                                                                                                                                                                                                                                                                                                                                                                                                                                                                                                                                                                                                                                                                                                                                                                                                                                                                                                                                                                                                                                                            |
| 55   523   56   16   16   16   16   16   16   16                                                                                                                                                                                                                                                                                                                                                                                                                                                                                                                                                                                                                                                                                                                                                                                                                                                                                                                                                                                                                                                                                                                                                                                                                                                                                                                                                                                                                                                                                                                                                                                                                                                                                                                                                                                                                                                                                                                                                                                                                                                                             | 4.00<br>1 18<br>0 88<br>1 52<br>9 30<br>1 06<br>3 625<br>1 14<br>0 143<br>3 55                                                                                                                                                                                                                                                                                                                                                                                                                                                                                                                                                                                                                                                                                                                                                                                                                                                                                                                                                                                                                                                                                                                                                                                                                                                                                                                                                                                                                                                                                                                                                                                                                                                                                                                                                                                                                                                                                                                                                                                                                                                                                                                                                                                                                                                                                                                                                                                                                                                                                                                                                                                                                                                                                                                                                         | 1 19<br>0 00<br>1 50                                                                                                                                                                                                                                                                                                                                                                                                                                                                                                                                                                                                           | 0 86<br>1 48<br>1.05                                                                                                                                                                                                                                                                                                                                                                                                                                                                                                                                                                                                                                                                                                                                                                                                                                                                                                                                                                                                                                                                                                                                                                                                                                                                                                                                                                                                                                                                                                                                                                                                                                                                                                                                                                                                                                                                                                                                                                                                                                                                                                                                                                                                                                                                                                                                                                                                                                                                                                                                                                                                                                                                                                                                                                                                                                                                                                                                                                                                                                                                                                                                                                             | 0 87<br>1.49<br>9 29<br>1 06<br>3 575                                                                                                                                                                                                                                                                                                                                                                                                                                                                                                                                                                                                                                                                                                                                                                                                                                                                                                                                                                                                                                                                                                                                                                                                                                                                                                                                                                                                                                                                                                                                                                                                                                                                                                                                                                                                                                                                                                                                                                                                                                                                                                                                                                                                                                                                                                                                                                                                                                                                                                                                                                                                                                                                                                                                                                                                                                                                                                                                                                                                                                                                                                                                                           | 0 88<br>1 60<br>9 30<br>1 07<br>3 60<br>0 143<br>3 576                                                                                                                                                                                                                                                          | 1 19<br>0 67<br>1 49<br>9 30<br>1 07<br>3 578<br>1 14<br>0 141                                                                                                                                                                                                                                                                                                                                                                                                                                                                                                                                                                                                                                                                                                                                                                                                                                                                                                                                                                                                                                                                                                                                                                                                                                                                                                                                                                                                                                                                                                                                                                                                                                                                                                                                                                                                                                                                                                                                                                                                                                                                                                                                                                                                                                                                                                                                                                                                                                                                                                                                                                                                                                                                                                                                                                         | +0.01<br>-0.01<br>-0.03<br>-0.05<br>-0.05                                                                                                                                                                                                                                                                                                                                                                                                                                                                                                                                                                                                                                                                                                                                                                                                                                                                                                                                                                                                                                                                                                                                                                                                                                                                                                                                                                                                                                                                                                                                                                                                                                                                                                                                                                                                                                                                                                                                                                                                                                                                                                                                                                                                                                                                                                                                                                                                                                                                                                                                                                                                                                                                                              | -1 68<br>83<br>63                                                                                                                                                      | 362,000<br>2,594,000<br>303,000<br>7,774,400                                                                                                                                                                                                                                                                                                                                                                                                                                                                                                                                                                                                                                                                                                                                                                                                                                                                                                                                                                                                                                                                                                                                                                                                                                                                                                                                                                                                                                                                                                                                                                                                                                                                                                                                                                                                                                                                                                                                                                                                                                                                                                                                                                                                                                                                                                                                                                                                                                                                                                                                                                                                                                                                                                                                                                                                                                                                                                                                                                                  | 428,400<br>2 269,100<br>451,540<br>2,563,250<br>329,142<br>643,600                                                                                                                                                                                                                                                                                                                                                                                                                                                                                                                                                                                                                                                                                                                                                                                                                                                                                                                                                                                                                                                                                                                                                                                                                                                                                                                                                                                                                                                                                                                                                                                                                                                                                                                                                                                                                                                                                                                                                                                                                                                                                                                                                                                                                                                                                                                                                                                                                                                                                                                                   | 0 40<br>0 30<br>0 51°<br>3 16<br>0 36<br>1 22<br>0 39<br>0 05<br>1 22                                                                                                                                                                                                                                                                                                                                                                                                                                                                                                                                                                                                                                                                                                                                                                                                                                                                                                                                                                                                                                                                                                                                                                                                                                                                                                                                                                                                                                                                                                                                                                                                                                                                                                                                                                                                                                                                                                                                                                                                                                                                                                                                                                                                                                                                                                                                                                                                                                                                                                                                                                                                                                                                                                                                                                  | 561<br>580<br>880<br>669<br>793<br>704                                                                                                                                                                                                                                                                                                                                                                                                                                                                                                                                                                                                                                                                                                                                                                                                                                                                                                                                                                                                                                                                                                                                                                                                                                                                                                                                                                                                                                                                                                                                                                                                                                                                                                                                                                                                                                                                                                                                                                                                                                                                                                                                                                                                                                                                                                                                                                                                                                                                                                                                                                                                                                                                                                                                                                                                    | 3.65<br>6.37<br>10.22<br>6.36                                                                                                                                                                                                                                                                                                                                                                                                                                                                                                                                                                                                                                                                                                                                                                                                                                                                                                                                                                                                                                                                                                                                                                                                                                                                                                                                                                                                                                                                                                                                                                                                                                                                                                                                                                                                                                                                                                                                                                                                                                                                                                                                                                                                                                                                                                                                                                                                                                                                                                                                                                                                                                                                                                                                                                                                                                                                                                                                                                                                                                                                                                                                                                    |
| 5   523   36     40   10   10   10   10   10   10                                                                                                                                                                                                                                                                                                                                                                                                                                                                                                                                                                                                                                                                                                                                                                                                                                                                                                                                                                                                                                                                                                                                                                                                                                                                                                                                                                                                                                                                                                                                                                                                                                                                                                                                                                                                                                                                                                                                                                                                                                                                            | 4.00<br>1 18<br>0 88<br>1 52<br>9 30<br>1 06<br>3 625<br>1 14<br>0 143<br>3 55<br>4 40<br>0 73                                                                                                                                                                                                                                                                                                                                                                                                                                                                                                                                                                                                                                                                                                                                                                                                                                                                                                                                                                                                                                                                                                                                                                                                                                                                                                                                                                                                                                                                                                                                                                                                                                                                                                                                                                                                                                                                                                                                                                                                                                                                                                                                                                                                                                                                                                                                                                                                                                                                                                                                                                                                                                                                                                                                         | 1 19<br>0 00<br>1 50<br>1 60<br>1 142<br>3 60<br>4 35<br>0 74<br>1 16                                                                                                                                                                                                                                                                                                                                                                                                                                                                                                                                                          | 0.86<br>1.46<br>1.05<br>3.66<br>9.14<br>3.55<br>4.35<br>0.72                                                                                                                                                                                                                                                                                                                                                                                                                                                                                                                                                                                                                                                                                                                                                                                                                                                                                                                                                                                                                                                                                                                                                                                                                                                                                                                                                                                                                                                                                                                                                                                                                                                                                                                                                                                                                                                                                                                                                                                                                                                                                                                                                                                                                                                                                                                                                                                                                                                                                                                                                                                                                                                                                                                                                                                                                                                                                                                                                                                                                                                                                                                                     | 0 87<br>1.49<br>9 29<br>1 06<br>3 575<br>1.11<br>0.141<br>3 50<br>4 276<br>0 72<br>1 13                                                                                                                                                                                                                                                                                                                                                                                                                                                                                                                                                                                                                                                                                                                                                                                                                                                                                                                                                                                                                                                                                                                                                                                                                                                                                                                                                                                                                                                                                                                                                                                                                                                                                                                                                                                                                                                                                                                                                                                                                                                                                                                                                                                                                                                                                                                                                                                                                                                                                                                                                                                                                                                                                                                                                                                                                                                                                                                                                                                                                                                                                                         | 0 88<br>1 60<br>9 30<br>1 07<br>3 60<br>0 143<br>3 576<br>4 35<br>0 73                                                                                                                                                                                                                                          | 1 19<br>0 67<br>1 49<br>9 30<br>1 07<br>2 576<br>1 14<br>0 141<br>3 576<br>4 35<br>0.73<br>1 13                                                                                                                                                                                                                                                                                                                                                                                                                                                                                                                                                                                                                                                                                                                                                                                                                                                                                                                                                                                                                                                                                                                                                                                                                                                                                                                                                                                                                                                                                                                                                                                                                                                                                                                                                                                                                                                                                                                                                                                                                                                                                                                                                                                                                                                                                                                                                                                                                                                                                                                                                                                                                                                                                                                                        | +0.01<br>-0.01<br>-0.03<br>-0.05<br>-0.05<br>-0.05<br>-0.05                                                                                                                                                                                                                                                                                                                                                                                                                                                                                                                                                                                                                                                                                                                                                                                                                                                                                                                                                                                                                                                                                                                                                                                                                                                                                                                                                                                                                                                                                                                                                                                                                                                                                                                                                                                                                                                                                                                                                                                                                                                                                                                                                                                                                                                                                                                                                                                                                                                                                                                                                                                                                                                                            | - 68<br>- 83<br>- 63<br>- 63<br>- 74<br>- 74<br>- 75<br>- 83                                                                                                           | 362,000<br>2,594,000<br>303,000<br>7,774,400<br>713,000<br>180,000<br>10,000<br>1,286,000<br>4,004,800                                                                                                                                                                                                                                                                                                                                                                                                                                                                                                                                                                                                                                                                                                                                                                                                                                                                                                                                                                                                                                                                                                                                                                                                                                                                                                                                                                                                                                                                                                                                                                                                                                                                                                                                                                                                                                                                                                                                                                                                                                                                                                                                                                                                                                                                                                                                                                                                                                                                                                                                                                                                                                                                                                                                                                                                                                                                                                                        | 428,400<br>2 269,100<br>451,540<br>2,563,250<br>2,563,250<br>43,600<br>43,600<br>936,460<br>4,541,644                                                                                                                                                                                                                                                                                                                                                                                                                                                                                                                                                                                                                                                                                                                                                                                                                                                                                                                                                                                                                                                                                                                                                                                                                                                                                                                                                                                                                                                                                                                                                                                                                                                                                                                                                                                                                                                                                                                                                                                                                                                                                                                                                                                                                                                                                                                                                                                                                                                                                                | 0 40<br>0 30<br>0 30<br>0 36<br>0 36<br>1 22<br>0 39<br>0 05<br>1 40<br>0 26<br>0 38                                                                                                                                                                                                                                                                                                                                                                                                                                                                                                                                                                                                                                                                                                                                                                                                                                                                                                                                                                                                                                                                                                                                                                                                                                                                                                                                                                                                                                                                                                                                                                                                                                                                                                                                                                                                                                                                                                                                                                                                                                                                                                                                                                                                                                                                                                                                                                                                                                                                                                                                                                                                                                                                                                                                                   | 561<br>580<br>880<br>669<br>703<br>704                                                                                                                                                                                                                                                                                                                                                                                                                                                                                                                                                                                                                                                                                                                                                                                                                                                                                                                                                                                                                                                                                                                                                                                                                                                                                                                                                                                                                                                                                                                                                                                                                                                                                                                                                                                                                                                                                                                                                                                                                                                                                                                                                                                                                                                                                                                                                                                                                                                                                                                                                                                                                                                                                                                                                                                                    | 3.65<br>6.37<br>10.22<br>6.36<br>5.59<br>7.13<br>7.13<br>1.37<br>6.36                                                                                                                                                                                                                                                                                                                                                                                                                                                                                                                                                                                                                                                                                                                                                                                                                                                                                                                                                                                                                                                                                                                                                                                                                                                                                                                                                                                                                                                                                                                                                                                                                                                                                                                                                                                                                                                                                                                                                                                                                                                                                                                                                                                                                                                                                                                                                                                                                                                                                                                                                                                                                                                                                                                                                                                                                                                                                                                                                                                                                                                                                                                            |
| 5   523   加賀國際(量)   0   229   東京田城   2   472   西東州   1   234   東京田城   1   234   東京田城   1   485   月   1   485   1   485   1   485   1   485   1   485   1   485   1   485   1   485   1   485   1   485   1   485   1   485   1   485   1   485   1   485   1   485   1   485   1   485   1   485   1   485   1   485   1   485   1   485   1   485   1   485   1   485   1   485   1   485   1   485   1   485   1   485   1   485   1   485   1   485   1   485   1   485   1   485   1   485   1   485   1   485   1   485   1   485   1   485   1   485   1   485   1   485   1   485   1   485   1   485   1   485   1   485   1   485   1   485   1   485   1   485   1   485   1   485   1   485   1   485   1   485   1   485   1   485   1   485   1   485   1   485   1   485   1   485   1   485   1   485   1   485   1   485   1   485   1   485   1   485   1   485   1   485   1   485   1   485   1   485   1   485   1   485   1   485   1   485   1   485   1   485   1   485   1   485   1   485   1   485   1   485   1   485   1   485   1   485   1   485   1   485   1   485   1   485   1   485   1   485   1   485   1   485   1   485   1   485   1   485   1   485   1   485   1   485   1   485   1   485   1   485   1   485   1   485   1   485   1   485   1   485   1   485   1   485   1   485   1   485   1   485   1   485   1   485   1   485   1   485   1   485   1   485   1   485   1   485   1   485   1   485   1   485   1   485   1   485   1   485   1   485   1   485   1   485   1   485   1   485   1   485   1   485   1   485   1   485   1   485   1   485   1   485   1   485   1   485   1   485   1   485   1   485   1   485   1   485   1   485   1   485   1   485   1   485   1   485   1   485   1   485   1   485   1   485   1   485   1   485   1   485   1   485   1   485   1   485   1   485   1   485   1   485   1   485   1   485   1   485   1   485   1   485   1   485   1   485   1   485   1   485   1   | 4.00<br>1 18<br>0 89<br>1 52<br>9 30<br>1 06<br>3 625<br>1 14<br>0 143<br>3 55<br>4 40<br>0 73                                                                                                                                                                                                                                                                                                                                                                                                                                                                                                                                                                                                                                                                                                                                                                                                                                                                                                                                                                                                                                                                                                                                                                                                                                                                                                                                                                                                                                                                                                                                                                                                                                                                                                                                                                                                                                                                                                                                                                                                                                                                                                                                                                                                                                                                                                                                                                                                                                                                                                                                                                                                                                                                                                                                         | 1 19<br>0 00<br>1 60<br>1 60<br>0 142<br>8 60<br>4 35<br>0 74<br>1 16<br>3 9 75<br>1 29                                                                                                                                                                                                                                                                                                                                                                                                                                                                                                                                        | 0.86<br>1.46<br>1.05<br>3.66<br>9.14<br>3.55<br>4.35<br>0.72<br>1.10<br>3.975<br>1.24                                                                                                                                                                                                                                                                                                                                                                                                                                                                                                                                                                                                                                                                                                                                                                                                                                                                                                                                                                                                                                                                                                                                                                                                                                                                                                                                                                                                                                                                                                                                                                                                                                                                                                                                                                                                                                                                                                                                                                                                                                                                                                                                                                                                                                                                                                                                                                                                                                                                                                                                                                                                                                                                                                                                                                                                                                                                                                                                                                                                                                                                                                            | 0 87<br>1,49<br>9 29<br>1 08<br>3 575<br>1,11<br>9,141<br>3 50<br>4 276<br>0 72<br>1 13<br>5 975<br>1 28<br>6 00                                                                                                                                                                                                                                                                                                                                                                                                                                                                                                                                                                                                                                                                                                                                                                                                                                                                                                                                                                                                                                                                                                                                                                                                                                                                                                                                                                                                                                                                                                                                                                                                                                                                                                                                                                                                                                                                                                                                                                                                                                                                                                                                                                                                                                                                                                                                                                                                                                                                                                                                                                                                                                                                                                                                                                                                                                                                                                                                                                                                                                                                                | 0 88<br>1 60<br>9 30<br>1 07<br>3 60<br>0 143<br>3 576<br>4 35<br>0 73<br>1 14<br>4 00<br>1 29<br>6 20                                                                                                                                                                                                          | 1 19<br>0 67<br>1 49<br>9 30<br>1 07<br>3 576<br>1 14<br>0 141<br>3 576<br>4 35<br>0 73<br>1 13<br>3 976<br>1 28<br>6 15                                                                                                                                                                                                                                                                                                                                                                                                                                                                                                                                                                                                                                                                                                                                                                                                                                                                                                                                                                                                                                                                                                                                                                                                                                                                                                                                                                                                                                                                                                                                                                                                                                                                                                                                                                                                                                                                                                                                                                                                                                                                                                                                                                                                                                                                                                                                                                                                                                                                                                                                                                                                                                                                                                               | +0.01<br>-0.01<br>-0.03<br>-0.05<br>-0.05<br>-0.05<br>-0.05<br>-0.05<br>-0.05                                                                                                                                                                                                                                                                                                                                                                                                                                                                                                                                                                                                                                                                                                                                                                                                                                                                                                                                                                                                                                                                                                                                                                                                                                                                                                                                                                                                                                                                                                                                                                                                                                                                                                                                                                                                                                                                                                                                                                                                                                                                                                                                                                                                                                                                                                                                                                                                                                                                                                                                                                                                                                                          | - 68<br>- 83<br>- 63<br>- 74<br>- 74<br>- 75<br>- 83<br>- 105<br>- 100<br>- 124                                                                                        | 362,000<br>2,594,000<br>303,000<br>7,774,400<br>713,000<br>10,000<br>1,265,000<br>4,004,800<br>5,796,000                                                                                                                                                                                                                                                                                                                                                                                                                                                                                                                                                                                                                                                                                                                                                                                                                                                                                                                                                                                                                                                                                                                                                                                                                                                                                                                                                                                                                                                                                                                                                                                                                                                                                                                                                                                                                                                                                                                                                                                                                                                                                                                                                                                                                                                                                                                                                                                                                                                                                                                                                                                                                                                                                                                                                                                                                                                                                                                      | 428,400<br>2 269,100<br>451,540<br>2,563,250<br>2,563,250<br>43,500<br>43,500<br>43,500<br>4,541,644<br>39,750<br>7,355,460                                                                                                                                                                                                                                                                                                                                                                                                                                                                                                                                                                                                                                                                                                                                                                                                                                                                                                                                                                                                                                                                                                                                                                                                                                                                                                                                                                                                                                                                                                                                                                                                                                                                                                                                                                                                                                                                                                                                                                                                                                                                                                                                                                                                                                                                                                                                                                                                                                                                          | 0 40<br>0 30<br>0 30<br>0 36<br>0 36<br>0 39<br>0 05<br>1 22<br>0 39<br>0 05<br>1 46<br>0 26<br>0 38<br>1 35<br>0 44<br>2 00                                                                                                                                                                                                                                                                                                                                                                                                                                                                                                                                                                                                                                                                                                                                                                                                                                                                                                                                                                                                                                                                                                                                                                                                                                                                                                                                                                                                                                                                                                                                                                                                                                                                                                                                                                                                                                                                                                                                                                                                                                                                                                                                                                                                                                                                                                                                                                                                                                                                                                                                                                                                                                                                                                           | 661<br>580<br>880<br>669<br>793<br>704<br>673<br>673<br>675<br>531                                                                                                                                                                                                                                                                                                                                                                                                                                                                                                                                                                                                                                                                                                                                                                                                                                                                                                                                                                                                                                                                                                                                                                                                                                                                                                                                                                                                                                                                                                                                                                                                                                                                                                                                                                                                                                                                                                                                                                                                                                                                                                                                                                                                                                                                                                                                                                                                                                                                                                                                                                                                                                                                                                                                                                        | 3.65<br>6.37<br>10.22<br>6.36<br>5.59<br>7.13<br>7.13<br>1.37<br>6.36<br>10.94<br>5.08<br>19.51                                                                                                                                                                                                                                                                                                                                                                                                                                                                                                                                                                                                                                                                                                                                                                                                                                                                                                                                                                                                                                                                                                                                                                                                                                                                                                                                                                                                                                                                                                                                                                                                                                                                                                                                                                                                                                                                                                                                                                                                                                                                                                                                                                                                                                                                                                                                                                                                                                                                                                                                                                                                                                                                                                                                                                                                                                                                                                                                                                                                                                                                                                  |
|                                                                                                                                                                                                                                                                                                                                                                                                                                                                                                                                                                                                                                                                                                                                                                                                                                                                                                                                                                                                                                                                                                                                                                                                                                                                                                                                                                                                                                                                                                                                                                                                                                                                                                                                                                                                                                                                                                                                                                                                                                                                                                                              | 4.00<br>1 18<br>0 68<br>1 52<br>9 30<br>1 06<br>3 624<br>1 14<br>0 143<br>3 55<br>4 40<br>0 73<br>1 14<br>4 00<br>1 23<br>6 15<br>3 95<br>0 61                                                                                                                                                                                                                                                                                                                                                                                                                                                                                                                                                                                                                                                                                                                                                                                                                                                                                                                                                                                                                                                                                                                                                                                                                                                                                                                                                                                                                                                                                                                                                                                                                                                                                                                                                                                                                                                                                                                                                                                                                                                                                                                                                                                                                                                                                                                                                                                                                                                                                                                                                                                                                                                                                         | 1 19<br>0 00<br>1 60<br>1 60<br>1 60<br>0 142<br>3 60<br>4 35<br>0 74<br>1 16<br>3 975<br>1 29<br>2 975<br>0 73                                                                                                                                                                                                                                                                                                                                                                                                                                                                                                                | 0.86<br>1.46<br>1.05<br>3.66<br>3.66<br>0.14<br>3.55<br>4.35<br>0.72<br>1.10<br>3.975<br>1.24<br>3.95<br>0.11                                                                                                                                                                                                                                                                                                                                                                                                                                                                                                                                                                                                                                                                                                                                                                                                                                                                                                                                                                                                                                                                                                                                                                                                                                                                                                                                                                                                                                                                                                                                                                                                                                                                                                                                                                                                                                                                                                                                                                                                                                                                                                                                                                                                                                                                                                                                                                                                                                                                                                                                                                                                                                                                                                                                                                                                                                                                                                                                                                                                                                                                                    | 0 87<br>1.49<br>9 29<br>1 08<br>3 575<br>1.11<br>0.141<br>3 50<br>4 276<br>6 72<br>1 13<br>5 975<br>1 28<br>6 00<br>3 975<br>0 72                                                                                                                                                                                                                                                                                                                                                                                                                                                                                                                                                                                                                                                                                                                                                                                                                                                                                                                                                                                                                                                                                                                                                                                                                                                                                                                                                                                                                                                                                                                                                                                                                                                                                                                                                                                                                                                                                                                                                                                                                                                                                                                                                                                                                                                                                                                                                                                                                                                                                                                                                                                                                                                                                                                                                                                                                                                                                                                                                                                                                                                               | 0 88<br>1 60<br>9 30<br>1 07<br>3 80<br>0 143<br>3 576<br>4 35<br>0 73<br>1 14<br>4 00<br>1 29<br>6 20<br>4 00<br>0 73                                                                                                                                                                                          | 1 19<br>0 67<br>1 49<br>9 30<br>1 07<br>3 576<br>1 14<br>0 141<br>3 576<br>4 35<br>0 73<br>1 13<br>3 976<br>1 26<br>6 15<br>3 976<br>0 73                                                                                                                                                                                                                                                                                                                                                                                                                                                                                                                                                                                                                                                                                                                                                                                                                                                                                                                                                                                                                                                                                                                                                                                                                                                                                                                                                                                                                                                                                                                                                                                                                                                                                                                                                                                                                                                                                                                                                                                                                                                                                                                                                                                                                                                                                                                                                                                                                                                                                                                                                                                                                                                                                              | +0.01<br>-0.01<br>-0.03<br>-0.05<br>-0.05<br>-0.05<br>-0.05<br>-0.05<br>-0.05<br>-0.05<br>-0.05<br>-0.05                                                                                                                                                                                                                                                                                                                                                                                                                                                                                                                                                                                                                                                                                                                                                                                                                                                                                                                                                                                                                                                                                                                                                                                                                                                                                                                                                                                                                                                                                                                                                                                                                                                                                                                                                                                                                                                                                                                                                                                                                                                                                                                                                                                                                                                                                                                                                                                                                                                                                                                                                                                                                               | - 68<br>- 83<br>- 63<br>- 63<br>- 74<br>- 74<br>- 75<br>- 83<br>- 105<br>- 100<br>- 124<br>- 481<br>- 12                                                               | 362,000<br>2,594,000<br>303,000<br>7,774,400<br>713,000<br>10,000<br>10,000<br>4,004,800<br>10,000<br>5,796,000<br>4,501,00                                                                                                                                                                                                                                                                                                                                                                                                                                                                                                                                                                                                                                                                                                                                                                                                                                                                                                                                                                                                                                                                                                                                                                                                                                                                                                                                                                                                                                                                                                                                                                                                                                                                                                                                                                                                                                                                                                                                                                                                                                                                                                                                                                                                                                                                                                                                                                                                                                                                                                                                                                                                                                                                                                                                                                                                                                                                                                   | 428,400<br>2 269,100<br>451,540<br>2,563,250<br>2,563,250<br>43,500<br>43,500<br>4,541,644<br>39,750<br>7,355,460<br>230,250<br>2997,660                                                                                                                                                                                                                                                                                                                                                                                                                                                                                                                                                                                                                                                                                                                                                                                                                                                                                                                                                                                                                                                                                                                                                                                                                                                                                                                                                                                                                                                                                                                                                                                                                                                                                                                                                                                                                                                                                                                                                                                                                                                                                                                                                                                                                                                                                                                                                                                                                                                             | 0 40<br>0 30<br>0 30<br>0 36<br>0 36<br>0 36<br>0 39<br>0 005<br>1 48<br>0 26<br>0 38<br>1 35<br>0 44<br>2 00<br>1 35<br>0 26                                                                                                                                                                                                                                                                                                                                                                                                                                                                                                                                                                                                                                                                                                                                                                                                                                                                                                                                                                                                                                                                                                                                                                                                                                                                                                                                                                                                                                                                                                                                                                                                                                                                                                                                                                                                                                                                                                                                                                                                                                                                                                                                                                                                                                                                                                                                                                                                                                                                                                                                                                                                                                                                                                          | 661<br>580<br>880<br>669<br>703<br>704<br>673<br>673<br>675<br>531<br>548<br>10.93                                                                                                                                                                                                                                                                                                                                                                                                                                                                                                                                                                                                                                                                                                                                                                                                                                                                                                                                                                                                                                                                                                                                                                                                                                                                                                                                                                                                                                                                                                                                                                                                                                                                                                                                                                                                                                                                                                                                                                                                                                                                                                                                                                                                                                                                                                                                                                                                                                                                                                                                                                                                                                                                                                                                                        | 3.65<br>5.37<br>10.22<br>6.36<br>5.59<br>7.13<br>7.13<br>1.37<br>6.36<br>10.94<br>5.08                                                                                                                                                                                                                                                                                                                                                                                                                                                                                                                                                                                                                                                                                                                                                                                                                                                                                                                                                                                                                                                                                                                                                                                                                                                                                                                                                                                                                                                                                                                                                                                                                                                                                                                                                                                                                                                                                                                                                                                                                                                                                                                                                                                                                                                                                                                                                                                                                                                                                                                                                                                                                                                                                                                                                                                                                                                                                                                                                                                                                                                                                                           |
| 523   16   16   16   17   18   18   18   18   18   18   18                                                                                                                                                                                                                                                                                                                                                                                                                                                                                                                                                                                                                                                                                                                                                                                                                                                                                                                                                                                                                                                                                                                                                                                                                                                                                                                                                                                                                                                                                                                                                                                                                                                                                                                                                                                                                                                                                                                                                                                                                                                                   | 4.00<br>1 18<br>0 88<br>1 52<br>9 30<br>1 06<br>3 625<br>1 14<br>0 143<br>3 55<br>4 40<br>0 73<br>1 14<br>4 00<br>1 23<br>6 15<br>3 95<br>0 61<br>2 50<br>0 62<br>8 00                                                                                                                                                                                                                                                                                                                                                                                                                                                                                                                                                                                                                                                                                                                                                                                                                                                                                                                                                                                                                                                                                                                                                                                                                                                                                                                                                                                                                                                                                                                                                                                                                                                                                                                                                                                                                                                                                                                                                                                                                                                                                                                                                                                                                                                                                                                                                                                                                                                                                                                                                                                                                                                                 | 1 10<br>0 00<br>1 60<br>1 60<br>0 142<br>3 60<br>4 35<br>0 74<br>1 16<br>3 975<br>1 29<br>3 975<br>0 73<br>2 50<br>0 87<br>8 05                                                                                                                                                                                                                                                                                                                                                                                                                                                                                                | 0 86<br>1 46<br>1.05<br>3.66<br>9.14<br>3.55<br>0 72<br>1 10<br>3 975<br>1 24<br>3 95<br>0 64<br>8 00                                                                                                                                                                                                                                                                                                                                                                                                                                                                                                                                                                                                                                                                                                                                                                                                                                                                                                                                                                                                                                                                                                                                                                                                                                                                                                                                                                                                                                                                                                                                                                                                                                                                                                                                                                                                                                                                                                                                                                                                                                                                                                                                                                                                                                                                                                                                                                                                                                                                                                                                                                                                                                                                                                                                                                                                                                                                                                                                                                                                                                                                                            | 0 87<br>1,49<br>9 29<br>1 06<br>3 575<br>1,11<br>0,141<br>3 50<br>4 276<br>0 72<br>1 13<br>5 975<br>1 28<br>6 00<br>3 975<br>0 72<br>2 42,0<br>0 84<br>8 90                                                                                                                                                                                                                                                                                                                                                                                                                                                                                                                                                                                                                                                                                                                                                                                                                                                                                                                                                                                                                                                                                                                                                                                                                                                                                                                                                                                                                                                                                                                                                                                                                                                                                                                                                                                                                                                                                                                                                                                                                                                                                                                                                                                                                                                                                                                                                                                                                                                                                                                                                                                                                                                                                                                                                                                                                                                                                                                                                                                                                                     | 0 88<br>1 60<br>9 30<br>1 07<br>3 60<br>0 143<br>3 576<br>4 35<br>0 73<br>1 14<br>4 00<br>1 29<br>6 20<br>4 00<br>0 73<br>2 45<br>0 86<br>8 06                                                                                                                                                                  | 1 19<br>0 67<br>1 49<br>9 30<br>1 07<br>3 576<br>1 14<br>0 141<br>3 576<br>4 35<br>0 73<br>1 13<br>3 976<br>6 15<br>3 976<br>0 73<br>2 45<br>0 85                                                                                                                                                                                                                                                                                                                                                                                                                                                                                                                                                                                                                                                                                                                                                                                                                                                                                                                                                                                                                                                                                                                                                                                                                                                                                                                                                                                                                                                                                                                                                                                                                                                                                                                                                                                                                                                                                                                                                                                                                                                                                                                                                                                                                                                                                                                                                                                                                                                                                                                                                                                                                                                                                      | +0.01<br>-0.03<br>-0.03<br>-0.05<br>-0.05<br>-0.05<br>-0.05<br>-0.05<br>-0.05<br>-0.05<br>-0.05<br>-0.05<br>-0.05<br>-0.05<br>-0.05                                                                                                                                                                                                                                                                                                                                                                                                                                                                                                                                                                                                                                                                                                                                                                                                                                                                                                                                                                                                                                                                                                                                                                                                                                                                                                                                                                                                                                                                                                                                                                                                                                                                                                                                                                                                                                                                                                                                                                                                                                                                                                                                                                                                                                                                                                                                                                                                                                                                                                                                                                                                    | 168<br>-83<br>-53<br>-74<br>-74<br>-75<br>-175<br>-130<br>-124<br>+81<br>-12<br>-184                                                                                   | 362,000<br>2,594,000<br>303,000<br>7,774,400<br>713,000<br>10,000<br>10,000<br>4,004,800<br>4,004,800<br>5,796,000<br>4,50,100<br>774,000<br>6,060,000<br>210,500                                                                                                                                                                                                                                                                                                                                                                                                                                                                                                                                                                                                                                                                                                                                                                                                                                                                                                                                                                                                                                                                                                                                                                                                                                                                                                                                                                                                                                                                                                                                                                                                                                                                                                                                                                                                                                                                                                                                                                                                                                                                                                                                                                                                                                                                                                                                                                                                                                                                                                                                                                                                                                                                                                                                                                                                                                                             | 428,400<br>2 269,100<br>451,540<br>2,563,250<br>2,563,250<br>43,500<br>43,500<br>43,500<br>43,500<br>7,355 460<br>7,355 460<br>230 250<br>2 997 650<br>1 106 750<br>1 684,380                                                                                                                                                                                                                                                                                                                                                                                                                                                                                                                                                                                                                                                                                                                                                                                                                                                                                                                                                                                                                                                                                                                                                                                                                                                                                                                                                                                                                                                                                                                                                                                                                                                                                                                                                                                                                                                                                                                                                                                                                                                                                                                                                                                                                                                                                                                                                                                                                        | 0 40<br>0 30<br>0 30<br>0 36<br>0 36<br>0 39<br>0 05<br>1 22<br>0 05<br>1 46<br>0 26<br>0 38<br>1 35<br>0 44<br>2 00<br>1 35<br>0 26<br>0 83<br>0 29<br>2 74                                                                                                                                                                                                                                                                                                                                                                                                                                                                                                                                                                                                                                                                                                                                                                                                                                                                                                                                                                                                                                                                                                                                                                                                                                                                                                                                                                                                                                                                                                                                                                                                                                                                                                                                                                                                                                                                                                                                                                                                                                                                                                                                                                                                                                                                                                                                                                                                                                                                                                                                                                                                                                                                           | 661<br>580<br>880<br>669<br>793<br>704<br>673<br>673<br>675<br>531<br>548<br>10.93<br>3 04<br>8 13<br>7 34                                                                                                                                                                                                                                                                                                                                                                                                                                                                                                                                                                                                                                                                                                                                                                                                                                                                                                                                                                                                                                                                                                                                                                                                                                                                                                                                                                                                                                                                                                                                                                                                                                                                                                                                                                                                                                                                                                                                                                                                                                                                                                                                                                                                                                                                                                                                                                                                                                                                                                                                                                                                                                                                                                                                | 3.65<br>6.37<br>10.22<br>6.36<br>5.59<br>7.13<br>7.13<br>1.37<br>6.36<br>10.94<br>5.08<br>19.51<br>12.58<br>2.02<br>4.71<br>9.94                                                                                                                                                                                                                                                                                                                                                                                                                                                                                                                                                                                                                                                                                                                                                                                                                                                                                                                                                                                                                                                                                                                                                                                                                                                                                                                                                                                                                                                                                                                                                                                                                                                                                                                                                                                                                                                                                                                                                                                                                                                                                                                                                                                                                                                                                                                                                                                                                                                                                                                                                                                                                                                                                                                                                                                                                                                                                                                                                                                                                                                                 |
| 55 523 加爾國際(量) 0 229 【民實麗 2 472 周本集子會 234 技鬼和編 15 236 【力中質 8 521 「泰集製 1 521 「泰集製 1 521 「泰集製 1 520 周日制廠 1 520 周日制廠 1 520 周日制廠 2 50 周日制廠 2 50 周日制廠 2 50 周日制廠 5 024 廣東 國際 5 024 廣東 國際 5 024 廣東 國際 6 500 加州國際 6 500 | 4.00<br>1 18<br>0 88<br>1 52<br>9 30<br>1 06<br>3 624<br>1 14<br>0 143<br>3 55<br>4 40<br>0 73<br>1 14<br>4 00<br>1 23<br>6 15<br>3 95<br>0 61<br>2 50<br>0 82                                                                                                                                                                                                                                                                                                                                                                                                                                                                                                                                                                                                                                                                                                                                                                                                                                                                                                                                                                                                                                                                                                                                                                                                                                                                                                                                                                                                                                                                                                                                                                                                                                                                                                                                                                                                                                                                                                                                                                                                                                                                                                                                                                                                                                                                                                                                                                                                                                                                                                                                                                                                                                                                         | 1 19<br>0 00<br>1 50<br>1 60<br>1 60<br>0 142<br>3 60<br>4 35<br>0 74<br>1 16<br>3 975<br>1 29<br>3 975<br>0 73<br>2 50<br>0 87                                                                                                                                                                                                                                                                                                                                                                                                                                                                                                | 0.86<br>1.46<br>1.05<br>3.66<br>3.66<br>0.14<br>3.55<br>4.35<br>0.72<br>1.10<br>3.975<br>1.24<br>3.95<br>0.11<br>2.425<br>0.64                                                                                                                                                                                                                                                                                                                                                                                                                                                                                                                                                                                                                                                                                                                                                                                                                                                                                                                                                                                                                                                                                                                                                                                                                                                                                                                                                                                                                                                                                                                                                                                                                                                                                                                                                                                                                                                                                                                                                                                                                                                                                                                                                                                                                                                                                                                                                                                                                                                                                                                                                                                                                                                                                                                                                                                                                                                                                                                                                                                                                                                                   | 0 87<br>1.49<br>9 29<br>1 08<br>3 575<br>1.11<br>0.141<br>3 50<br>4 276<br>6 72<br>1 13<br>8 975<br>1 28<br>6 00<br>3 975<br>0 72<br>2 42<br>0 84                                                                                                                                                                                                                                                                                                                                                                                                                                                                                                                                                                                                                                                                                                                                                                                                                                                                                                                                                                                                                                                                                                                                                                                                                                                                                                                                                                                                                                                                                                                                                                                                                                                                                                                                                                                                                                                                                                                                                                                                                                                                                                                                                                                                                                                                                                                                                                                                                                                                                                                                                                                                                                                                                                                                                                                                                                                                                                                                                                                                                                               | 0 88<br>1 60<br>9 30<br>1 07<br>3 60<br>0 143<br>3 576<br>4 35<br>0 73<br>1 14<br>4 00<br>1 29<br>6 20<br>4 00<br>0 73<br>2 45<br>0 86<br>8 06<br>1 94<br>1 84                                                                                                                                                  | 1 19<br>0 67<br>1 49<br>9 30<br>1 07<br>3 576<br>1 14<br>0 141<br>3 576<br>4 35<br>0 73<br>1 13<br>3 976<br>1 20<br>6 15<br>3 976<br>0 73<br>2 45<br>0 85<br>1 9 1                                                                                                                                                                                                                                                                                                                                                                                                                                                                                                                                                                                                                                                                                                                                                                                                                                                                                                                                                                                                                                                                                                                                                                                                                                                                                                                                                                                                                                                                                                                                                                                                                                                                                                                                                                                                                                                                                                                                                                                                                                                                                                                                                                                                                                                                                                                                                                                                                                                                                                                                                                                                                                                                     | +0.01<br>-0.03<br>-0.03<br>-0.05<br>-0.05<br>-0.05<br>-0.05<br>-0.05<br>-0.05<br>-0.05<br>-0.05<br>-0.05<br>-0.05                                                                                                                                                                                                                                                                                                                                                                                                                                                                                                                                                                                                                                                                                                                                                                                                                                                                                                                                                                                                                                                                                                                                                                                                                                                                                                                                                                                                                                                                                                                                                                                                                                                                                                                                                                                                                                                                                                                                                                                                                                                                                                                                                                                                                                                                                                                                                                                                                                                                                                                                                                                                                      | 168<br>-83<br>-63<br>-74<br>-74<br>-75<br>-175<br>-105<br>100<br>124<br>+61<br>-129                                                                                    | 362,000<br>2,594,000<br>303,000<br>7,774,400<br>713,000<br>10,000<br>10,000<br>4,004,800<br>4,004,800<br>5,796,000<br>4,774,000<br>6,060,000                                                                                                                                                                                                                                                                                                                                                                                                                                                                                                                                                                                                                                                                                                                                                                                                                                                                                                                                                                                                                                                                                                                                                                                                                                                                                                                                                                                                                                                                                                                                                                                                                                                                                                                                                                                                                                                                                                                                                                                                                                                                                                                                                                                                                                                                                                                                                                                                                                                                                                                                                                                                                                                                                                                                                                                                                                                                                  | 428,400<br>2 269,100<br>451,540<br>2 269,100<br>451,540<br>2 363,250<br>3 29,142<br>643,600<br>43,500<br>9 36 460<br>4,541 644<br>39 760<br>7,355 460<br>7,355 460<br>1 206 750<br>1 106 750<br>1 1584 239<br>1 000                                                                                                                                                                                                                                                                                                                                                                                                                                                                                                                                                                                                                                                                                                                                                                                                                                                                                                                                                                                                                                                                                                                                                                                                                                                                                                                                                                                                                                                                                                                                                                                                                                                                                                                                                                                                                                                                                                                                                                                                                                                                                                                                                                                                                                                                                                                                                                                  | 0 40<br>0 30<br>0 30<br>0 36<br>0 36<br>0 39<br>0 05<br>1 22<br>0 05<br>1 46<br>0 26<br>0 38<br>1 35<br>0 26<br>0 26<br>0 26<br>0 26<br>0 26<br>0 26<br>0 26<br>0 26                                                                                                                                                                                                                                                                                                                                                                                                                                                                                                                                                                                                                                                                                                                                                                                                                                                                                                                                                                                                                                                                                                                                                                                                                                                                                                                                                                                                                                                                                                                                                                                                                                                                                                                                                                                                                                                                                                                                                                                                                                                                                                                                                                                                                                                                                                                                                                                                                                                                                                                                                                                                                                                                   | 661<br>580<br>880<br>669<br>793<br>704<br>673<br>673<br>675<br>531<br>548<br>10.93<br>3 04<br>8 13<br>7 34<br>5 94<br>3 47                                                                                                                                                                                                                                                                                                                                                                                                                                                                                                                                                                                                                                                                                                                                                                                                                                                                                                                                                                                                                                                                                                                                                                                                                                                                                                                                                                                                                                                                                                                                                                                                                                                                                                                                                                                                                                                                                                                                                                                                                                                                                                                                                                                                                                                                                                                                                                                                                                                                                                                                                                                                                                                                                                                | 3.65<br>6.37<br>10.22<br>6.36<br>5.59<br>7.13<br>7.13<br>1.37<br>6.36<br>10.94<br>5.08<br>19.51<br>12.58<br>2.02<br>4.71                                                                                                                                                                                                                                                                                                                                                                                                                                                                                                                                                                                                                                                                                                                                                                                                                                                                                                                                                                                                                                                                                                                                                                                                                                                                                                                                                                                                                                                                                                                                                                                                                                                                                                                                                                                                                                                                                                                                                                                                                                                                                                                                                                                                                                                                                                                                                                                                                                                                                                                                                                                                                                                                                                                                                                                                                                                                                                                                                                                                                                                                         |
| 523   16   16   16   17   18   18   18   18   18   18   18                                                                                                                                                                                                                                                                                                                                                                                                                                                                                                                                                                                                                                                                                                                                                                                                                                                                                                                                                                                                                                                                                                                                                                                                                                                                                                                                                                                                                                                                                                                                                                                                                                                                                                                                                                                                                                                                                                                                                                                                                                                                   | 4.00<br>1 18<br>0 68<br>1 52<br>9 30<br>1 06<br>3 625<br>1 14<br>0 143<br>3 55<br>4 40<br>0 73<br>1 14<br>4 00<br>1 23<br>6 15<br>3 95<br>0 61<br>2 50<br>0 62<br>8 00<br>1 85<br>1 42                                                                                                                                                                                                                                                                                                                                                                                                                                                                                                                                                                                                                                                                                                                                                                                                                                                                                                                                                                                                                                                                                                                                                                                                                                                                                                                                                                                                                                                                                                                                                                                                                                                                                                                                                                                                                                                                                                                                                                                                                                                                                                                                                                                                                                                                                                                                                                                                                                                                                                                                                                                                                                                 | 1 19<br>0 00<br>1 60<br>1 60<br>1 60<br>0 142<br>8 60<br>4 35<br>0 74<br>1 16<br>3 975<br>1 29<br>3 975<br>0 73<br>2 50<br>0 87<br>8 05<br>1 94<br>1 80                                                                                                                                                                                                                                                                                                                                                                                                                                                                        | 0 86<br>1 46<br>1.05<br>3.66<br>9.14<br>3.55<br>9.72<br>1 10<br>3 975<br>1 24<br>3 95<br>0 64<br>8 00<br>1 86<br>1 80                                                                                                                                                                                                                                                                                                                                                                                                                                                                                                                                                                                                                                                                                                                                                                                                                                                                                                                                                                                                                                                                                                                                                                                                                                                                                                                                                                                                                                                                                                                                                                                                                                                                                                                                                                                                                                                                                                                                                                                                                                                                                                                                                                                                                                                                                                                                                                                                                                                                                                                                                                                                                                                                                                                                                                                                                                                                                                                                                                                                                                                                            | 0 87<br>1,49<br>9 29<br>1 06<br>3 575<br>1,11<br>0,141<br>3 50<br>4 276<br>0 72<br>1 13<br>5 975<br>1 28<br>6 00<br>3 975<br>0 72<br>2 42,<br>0 84<br>8 90<br>1 92<br>1 80                                                                                                                                                                                                                                                                                                                                                                                                                                                                                                                                                                                                                                                                                                                                                                                                                                                                                                                                                                                                                                                                                                                                                                                                                                                                                                                                                                                                                                                                                                                                                                                                                                                                                                                                                                                                                                                                                                                                                                                                                                                                                                                                                                                                                                                                                                                                                                                                                                                                                                                                                                                                                                                                                                                                                                                                                                                                                                                                                                                                                      | 0 88<br>1 60<br>9 30<br>1 07<br>3 60<br>0 143<br>3 576<br>4 35<br>0 73<br>1 14<br>4 00<br>1 29<br>6 20<br>4 00<br>0 73<br>2 45<br>0 86<br>8 06<br>1 94<br>1 84                                                                                                                                                  | 1 19<br>0 67<br>1 49<br>9 30<br>1 07<br>3 576<br>1 14<br>0 141<br>3 576<br>4 35<br>0 73<br>1 13<br>3 976<br>1 20<br>6 15<br>3 976<br>0 73<br>2 45<br>0 85<br>1 9 1                                                                                                                                                                                                                                                                                                                                                                                                                                                                                                                                                                                                                                                                                                                                                                                                                                                                                                                                                                                                                                                                                                                                                                                                                                                                                                                                                                                                                                                                                                                                                                                                                                                                                                                                                                                                                                                                                                                                                                                                                                                                                                                                                                                                                                                                                                                                                                                                                                                                                                                                                                                                                                                                     | +0.01<br>-0.03<br>-0.03<br>-0.05<br>-0.05<br>-0.05<br>-0.05<br>-0.05<br>-0.05<br>-0.05<br>-0.05<br>-0.05<br>-0.05<br>-0.05<br>-0.05<br>-0.05<br>-0.05<br>-0.05                                                                                                                                                                                                                                                                                                                                                                                                                                                                                                                                                                                                                                                                                                                                                                                                                                                                                                                                                                                                                                                                                                                                                                                                                                                                                                                                                                                                                                                                                                                                                                                                                                                                                                                                                                                                                                                                                                                                                                                                                                                                                                                                                                                                                                                                                                                                                                                                                                                                                                                                                                         | 168<br>-83<br>-53<br>-74<br>-74<br>-75<br>-175<br>-130<br>-124<br>+81<br>-12<br>-130<br>-124<br>-130<br>-130<br>-130<br>-130<br>-130<br>-130<br>-130<br>-130           | 362,000<br>2,594,000<br>303,000<br>7,774,400<br>713,000<br>10,000<br>10,000<br>4,004,800<br>4,004,800<br>5,796,000<br>4,450,100<br>774,000<br>6,060,000<br>210,500<br>7 132,750<br>5,000                                                                                                                                                                                                                                                                                                                                                                                                                                                                                                                                                                                                                                                                                                                                                                                                                                                                                                                                                                                                                                                                                                                                                                                                                                                                                                                                                                                                                                                                                                                                                                                                                                                                                                                                                                                                                                                                                                                                                                                                                                                                                                                                                                                                                                                                                                                                                                                                                                                                                                                                                                                                                                                                                                                                                                                                                                      | 428,400<br>2 269,100<br>451,540<br>2 269,100<br>451,540<br>2 363,250<br>3 29,142<br>6 43,600<br>43,500<br>9 36 460<br>4,541 644<br>39 750<br>7,355 460<br>1 206 750<br>1 106 750<br>1 1584 239<br>6 000                                                                                                                                                                                                                                                                                                                                                                                                                                                                                                                                                                                                                                                                                                                                                                                                                                                                                                                                                                                                                                                                                                                                                                                                                                                                                                                                                                                                                                                                                                                                                                                                                                                                                                                                                                                                                                                                                                                                                                                                                                                                                                                                                                                                                                                                                                                                                                                              | 0 40<br>0 30<br>0 30<br>0 36<br>0 36<br>0 39<br>0 05<br>1 22<br>0 05<br>1 46<br>0 26<br>0 38<br>1 35<br>0 26<br>0 26<br>0 26<br>0 26<br>0 26<br>0 26<br>0 26<br>0 26                                                                                                                                                                                                                                                                                                                                                                                                                                                                                                                                                                                                                                                                                                                                                                                                                                                                                                                                                                                                                                                                                                                                                                                                                                                                                                                                                                                                                                                                                                                                                                                                                                                                                                                                                                                                                                                                                                                                                                                                                                                                                                                                                                                                                                                                                                                                                                                                                                                                                                                                                                                                                                                                   | 661<br>580<br>880<br>669<br>793<br>704<br>673<br>673<br>675<br>531<br>548<br>10.93<br>3 04<br>8 13<br>7 34<br>5 94<br>3 47                                                                                                                                                                                                                                                                                                                                                                                                                                                                                                                                                                                                                                                                                                                                                                                                                                                                                                                                                                                                                                                                                                                                                                                                                                                                                                                                                                                                                                                                                                                                                                                                                                                                                                                                                                                                                                                                                                                                                                                                                                                                                                                                                                                                                                                                                                                                                                                                                                                                                                                                                                                                                                                                                                                | 3.65<br>6.37<br>10.22<br>6.36<br>5.59<br>7.13<br>7.13<br>1.37<br>6.36<br>10.94<br>5.08<br>19.51<br>12.58<br>2.02<br>4.71<br>9.94<br>6.99<br>14.44                                                                                                                                                                                                                                                                                                                                                                                                                                                                                                                                                                                                                                                                                                                                                                                                                                                                                                                                                                                                                                                                                                                                                                                                                                                                                                                                                                                                                                                                                                                                                                                                                                                                                                                                                                                                                                                                                                                                                                                                                                                                                                                                                                                                                                                                                                                                                                                                                                                                                                                                                                                                                                                                                                                                                                                                                                                                                                                                                                                                                                                |
|                                                                                                                                                                                                                                                                                                                                                                                                                                                                                                                                                                                                                                                                                                                                                                                                                                                                                                                                                                                                                                                                                                                                                                                                                                                                                                                                                                                                                                                                                                                                                                                                                                                                                                                                                                                                                                                                                                                                                                                                                                                                                                                              | 4.00<br>1.18<br>0.68<br>1.52<br>9.30<br>1.06<br>3.625<br>1.14<br>0.143<br>3.55<br>4.40<br>0.73<br>1.14<br>4.00<br>1.23<br>6.15<br>3.95<br>0.61<br>2.50<br>0.62<br>8.00<br>1.05<br>1.175<br>0.175                                                                                                                                                                                                                                                                                                                                                                                                                                                                                                                                                                                                                                                                                                                                                                                                                                                                                                                                                                                                                                                                                                                                                                                                                                                                                                                                                                                                                                                                                                                                                                                                                                                                                                                                                                                                                                                                                                                                                                                                                                                                                                                                                                                                                                                                                                                                                                                                                                                                                                                                                                                                                                       | 1 19<br>0 00<br>1 50<br>1 60<br>1 60<br>0 142<br>3 60<br>4 35<br>0 74<br>1 16<br>3 975<br>1 29<br>2 50<br>0 87<br>8 05<br>1 94<br>1 80<br>0 37                                                                                                                                                                                                                                                                                                                                                                                                                                                                                 | 0 86<br>1 46<br>1.05<br>3.66<br>9.14<br>3.55<br>9.72<br>1 10<br>3 975<br>1 24<br>3 95<br>0 64<br>8 00<br>1 86<br>1 80<br>0 35                                                                                                                                                                                                                                                                                                                                                                                                                                                                                                                                                                                                                                                                                                                                                                                                                                                                                                                                                                                                                                                                                                                                                                                                                                                                                                                                                                                                                                                                                                                                                                                                                                                                                                                                                                                                                                                                                                                                                                                                                                                                                                                                                                                                                                                                                                                                                                                                                                                                                                                                                                                                                                                                                                                                                                                                                                                                                                                                                                                                                                                                    | 0 87<br>1.49<br>9 29<br>1 08<br>3 575<br>1.11<br>0.141<br>3 50<br>4 276<br>0 72<br>1 13<br>5 975<br>1 28<br>6 00<br>3 975<br>0 72<br>2 42<br>0 84<br>8 90<br>1 92<br>1 80<br>1 93<br>1 94<br>1 94<br>1 94<br>1 95<br>1 95<br>1 95<br>1 95<br>1 95<br>1 95<br>1 95<br>1 95                                                                                                                                                                                                                                                                                                                                                                                                                                                                                                                                                                                                                                                                                                                                                                                                                                                                                                                                                                                                                                                                                                                                                                                                                                                                                                                                                                                                                                                                                                                                                                                                                                                                                                                                                                                                                                                                                                                                                                                                                                                                                                                                                                                                                                                                                                                                                                                                                                                                                                                                                                                                                                                                                                                                                                                                                       | 0 88<br>1 60<br>9 30<br>1 07<br>3 60<br>0 143<br>3 576<br>4 35<br>0 73<br>1 14<br>4 00<br>1 29<br>6 20<br>4 00<br>0 73<br>2 45<br>0 86<br>8 06<br>1 94<br>1 84<br>1 146                                                                                                                                         | 1 19<br>0 67<br>1 49<br>9 30<br>1 07<br>3 576<br>1 14<br>0 141<br>3 576<br>4 35<br>0 73<br>1 13<br>3 976<br>1 20<br>6 15<br>3 976<br>0 73<br>2 45<br>0 85<br>0 91<br>1 8 7                                                                                                                                                                                                                                                                                                                                                                                                                                                                                                                                                                                                                                                                                                                                                                                                                                                                                                                                                                                                                                                                                                                                                                                                                                                                                                                                                                                                                                                                                                                                                                                                                                                                                                                                                                                                                                                                                                                                                                                                                                                                                                                                                                                                                                                                                                                                                                                                                                                                                                                                                                                                                                                             | +0.01<br>-0.03<br>-0.03<br>-0.05<br>-0.05<br>-0.05<br>-0.05<br>-0.05<br>-0.05<br>-0.05<br>-0.05<br>-0.05<br>-0.05<br>-0.05<br>-0.05<br>-0.05                                                                                                                                                                                                                                                                                                                                                                                                                                                                                                                                                                                                                                                                                                                                                                                                                                                                                                                                                                                                                                                                                                                                                                                                                                                                                                                                                                                                                                                                                                                                                                                                                                                                                                                                                                                                                                                                                                                                                                                                                                                                                                                                                                                                                                                                                                                                                                                                                                                                                                                                                                                           | 168<br>-83<br>-63<br>-63<br>-74<br>-74<br>-75<br>-105<br>-105<br>-106<br>-124<br>-181<br>-129<br>-184<br>-18<br>-18                                                    | 362,000<br>2,594,000<br>303,000<br>7,774,400<br>100,000<br>10,000<br>10,000<br>10,000<br>4,004,800<br>10,000<br>5,796,000<br>4,004,800<br>10,000<br>5,796,000<br>4,000,000<br>210,500<br>774,000<br>6,060,000<br>210,500<br>7147,50<br>5,000<br>49,160,000                                                                                                                                                                                                                                                                                                                                                                                                                                                                                                                                                                                                                                                                                                                                                                                                                                                                                                                                                                                                                                                                                                                                                                                                                                                                                                                                                                                                                                                                                                                                                                                                                                                                                                                                                                                                                                                                                                                                                                                                                                                                                                                                                                                                                                                                                                                                                                                                                                                                                                                                                                                                                                                                                                                                                                    | 428,400<br>2 269,100<br>451,540<br>8,228,080<br>2,563,250<br>43,500<br>43,500<br>43,500<br>4,541,644<br>39,750<br>7,355,460<br>1,206,750<br>1,206,750<br>1,206,750<br>1,206,750<br>1,3584,239<br>1,436,650<br>1,436,650                                                                                                                                                                                                                                                                                                                                                                                                                                                                                                                                                                                                                                                                                                                                                                                                                                                                                                                                                                                                                                                                                                                                                                                                                                                                                                                                                                                                                                                                                                                                                                                                                                                                                                                                                                                                                                                                                                                                                                                                                                                                                                                                                                                                                                                                                                                                                                              | 0 40<br>0 30<br>0 30<br>0 36<br>0 36<br>0 39<br>0 038<br>1 48<br>0 28<br>0 0 38<br>1 35<br>0 0 44<br>2 00<br>1 35<br>0 0 26<br>0 0 29<br>0 2 74<br>0 3 66<br>0 0 12                                                                                                                                                                                                                                                                                                                                                                                                                                                                                                                                                                                                                                                                                                                                                                                                                                                                                                                                                                                                                                                                                                                                                                                                                                                                                                                                                                                                                                                                                                                                                                                                                                                                                                                                                                                                                                                                                                                                                                                                                                                                                                                                                                                                                                                                                                                                                                                                                                                                                                                                                                                                                                                                    | 661<br>580<br>880<br>669<br>703<br>704<br>673<br>673<br>675<br>531<br>548<br>10.93<br>304<br>813<br>734<br>594<br>347<br>570                                                                                                                                                                                                                                                                                                                                                                                                                                                                                                                                                                                                                                                                                                                                                                                                                                                                                                                                                                                                                                                                                                                                                                                                                                                                                                                                                                                                                                                                                                                                                                                                                                                                                                                                                                                                                                                                                                                                                                                                                                                                                                                                                                                                                                                                                                                                                                                                                                                                                                                                                                                                                                                                                                              | 3.65<br>6.37<br>10.22<br>6.36<br>5.59<br>7.13<br>7.13<br>1.37<br>6.36<br>10.94<br>5.08<br>19.51<br>12.58<br>2.02<br>4.71<br>9.94<br>6.99<br>14.44                                                                                                                                                                                                                                                                                                                                                                                                                                                                                                                                                                                                                                                                                                                                                                                                                                                                                                                                                                                                                                                                                                                                                                                                                                                                                                                                                                                                                                                                                                                                                                                                                                                                                                                                                                                                                                                                                                                                                                                                                                                                                                                                                                                                                                                                                                                                                                                                                                                                                                                                                                                                                                                                                                                                                                                                                                                                                                                                                                                                                                                |
| 10   10   10   10   10   10   10   10                                                                                                                                                                                                                                                                                                                                                                                                                                                                                                                                                                                                                                                                                                                                                                                                                                                                                                                                                                                                                                                                                                                                                                                                                                                                                                                                                                                                                                                                                                                                                                                                                                                                                                                                                                                                                                                                                                                                                                                                                                                                                        | 4.00<br>1 18<br>0 88<br>1 52<br>9 30<br>1 06<br>3 625<br>1 14<br>0 143<br>3 55<br>4 40<br>0 73<br>1 14<br>4 00<br>1 23<br>6 16<br>3 95<br>0 61<br>2 50<br>0 82<br>8 00<br>1 85<br>1 42<br>0 175                                                                                                                                                                                                                                                                                                                                                                                                                                                                                                                                                                                                                                                                                                                                                                                                                                                                                                                                                                                                                                                                                                                                                                                                                                                                                                                                                                                                                                                                                                                                                                                                                                                                                                                                                                                                                                                                                                                                                                                                                                                                                                                                                                                                                                                                                                                                                                                                                                                                                                                                                                                                                                        | 1 19<br>0 00<br>1 60<br>1 60<br>1 60<br>0 142<br>3 60<br>4 35<br>0 74<br>1 16<br>3 975<br>1 29<br>0 73<br>2 50<br>0 87<br>8 05<br>1 94<br>1 80<br>0 37                                                                                                                                                                                                                                                                                                                                                                                                                                                                         | 0 86<br>1 46<br>1.05<br>3.66<br>9.14<br>3.55<br>0 72<br>1 10<br>3 9 / 5<br>1 24<br>3 9 5<br>0 6 1<br>8 0 0<br>1 8 6<br>1 8 0<br>1 | 0 87<br>1.49<br>9 29<br>1 06<br>3 575<br>1.11<br>0.141<br>3 50<br>4 276<br>0 72<br>1 13<br>5 975<br>1 28<br>6 90<br>3 975<br>0 72<br>2 42<br>0 84<br>8 90<br>1 92<br>1 80<br>1 92<br>1 80<br>1 93                                                                                                                                                                                                                                                                                                                                                                                                                                                                                                                                                                                                                                                                                                                                                                                                                                                                                                                                                                                                                                                                                                                                                                                                                                                                                                                                                                                                                                                                                                                                                                                                                                                                                                                                                                                                                                                                                                                                                                                                                                                                                                                                                                                                                                                                                                                                                                                                                                                                                                                                                                                                                                                                                                                                                                                                                                                                                                                                                                                               | 0 88<br>1 60<br>9 30<br>1 07<br>3 60<br>0 143<br>3 576<br>4 35<br>0 73<br>1 14<br>4 00<br>1 29<br>6 20<br>4 00<br>0 73<br>2 45<br>0 86<br>8 06<br>1 94<br>1 84<br>0 16                                                                                                                                          | 1 19<br>0 67<br>1 49<br>9 30<br>1 07<br>3 576<br>1 14<br>0 141<br>3 576<br>4 35<br>0 73<br>1 13<br>3 976<br>1 20<br>6 15<br>3 976<br>0 73<br>2 45<br>0 85<br>0 85<br>0 91<br>1 8 9<br>0 91                                                                                                                                                                                                                                                                                                                                                                                                                                                                                                                                                                                                                                                                                                                                                                                                                                                                                                                                                                                                                                                                                                                                                                                                                                                                                                                                                                                                                                                                                                                                                                                                                                                                                                                                                                                                                                                                                                                                                                                                                                                                                                                                                                                                                                                                                                                                                                                                                                                                                                                                                                                                                                             | +0.01<br>-0.03<br>-0.03<br>-0.05<br>-0.05<br>-0.05<br>-0.05<br>-0.05<br>-0.05<br>-0.05<br>-0.05<br>-0.05<br>-0.05<br>-0.05<br>-0.05<br>-0.05<br>-0.05<br>-0.05<br>-0.05<br>-0.05<br>-0.05<br>-0.05<br>-0.05<br>-0.05                                                                                                                                                                                                                                                                                                                                                                                                                                                                                                                                                                                                                                                                                                                                                                                                                                                                                                                                                                                                                                                                                                                                                                                                                                                                                                                                                                                                                                                                                                                                                                                                                                                                                                                                                                                                                                                                                                                                                                                                                                                                                                                                                                                                                                                                                                                                                                                                                                                                                                                   | 168<br>-83<br>-53<br>-74<br>-74<br>-75<br>-175<br>-130<br>-124<br>+81<br>-12<br>-130<br>-124<br>-130<br>-130<br>-130<br>-130<br>-130<br>-130<br>-130<br>-130           | 362,000<br>2,594,000<br>303,000<br>7,774,400<br>10,000<br>10,000<br>10,000<br>10,000<br>4,004,800<br>4,004,800<br>5,796,000<br>4,50,100<br>774,000<br>6,000,000<br>210,500<br>7112,50<br>5,000<br>49,50,000                                                                                                                                                                                                                                                                                                                                                                                                                                                                                                                                                                                                                                                                                                                                                                                                                                                                                                                                                                                                                                                                                                                                                                                                                                                                                                                                                                                                                                                                                                                                                                                                                                                                                                                                                                                                                                                                                                                                                                                                                                                                                                                                                                                                                                                                                                                                                                                                                                                                                                                                                                                                                                                                                                                                                                                                                   | 428,400<br>2 269,100<br>451,540<br>3,563,250<br>3,563,250<br>43,600<br>43,600<br>43,600<br>43,600<br>43,600<br>43,600<br>43,600<br>43,600<br>43,600<br>43,600<br>43,600<br>1,356,460<br>1,356,460<br>1,436,650<br>1,436,650<br>1,436,650<br>1,436,650                                                                                                                                                                                                                                                                                                                                                                                                                                                                                                                                                                                                                                                                                                                                                                                                                                                                                                                                                                                                                                                                                                                                                                                                                                                                                                                                                                                                                                                                                                                                                                                                                                                                                                                                                                                                                                                                                                                                                                                                                                                                                                                                                                                                                                                                                                                                                | 0 40<br>0 30<br>0 30<br>0 36<br>0 36<br>0 38<br>1 28<br>0 38<br>1 35<br>0 38<br>1 35<br>0 44<br>2 30<br>0 26<br>0 28<br>0 29<br>2 74<br>0 36<br>1 36<br>0 38<br>1 35<br>0 44<br>2 36<br>0 38<br>1 36<br>0 38<br>0 38<br>0 38<br>0 38<br>0 38<br>0 38<br>0 38<br>0 38                                                                                                                                                                                                                                                                                                                                                                                                                                                                                                                                                                                                                                                                                                                                                                                                                                                                                                                                                                                                                                                                                                                                                                                                                                                                                                                                                                                                                                                                                                                                                                                                                                                                                                                                                                                                                                                                                                                                                                                                                                                                                                                                                                                                                                                                                                                                                                                                                                                   | 661<br>580<br>880<br>669<br>703<br>704<br>673<br>673<br>675<br>531<br>548<br>10.93<br>3 04<br>8 13<br>7 34<br>5 94<br>3 47<br>9 70                                                                                                                                                                                                                                                                                                                                                                                                                                                                                                                                                                                                                                                                                                                                                                                                                                                                                                                                                                                                                                                                                                                                                                                                                                                                                                                                                                                                                                                                                                                                                                                                                                                                                                                                                                                                                                                                                                                                                                                                                                                                                                                                                                                                                                                                                                                                                                                                                                                                                                                                                                                                                                                                                                        | 3.65<br>6.37<br>10.22<br>6.36<br>5.59<br>7.13<br>7.13<br>7.13<br>7.13<br>7.13<br>7.13<br>1.37<br>6.36<br>10.94<br>5.08<br>19.51<br>12.58<br>2.02<br>4.71<br>9.94<br>6.99<br>14.44<br>1.16                                                                                                                                                                                                                                                                                                                                                                                                                                                                                                                                                                                                                                                                                                                                                                                                                                                                                                                                                                                                                                                                                                                                                                                                                                                                                                                                                                                                                                                                                                                                                                                                                                                                                                                                                                                                                                                                                                                                                                                                                                                                                                                                                                                                                                                                                                                                                                                                                                                                                                                                                                                                                                                                                                                                                                                                                                                                                                                                                                                                        |
| 229 1 民實際<br>32 472 無虚雅 1                                                                                                                                                                                                                                                                                                                                                                                                                                                                                                                                                                                                                                                                                                                                                                                                                                                                                                                                                                                                                                                                                                                                                                                                                                                                                                                                                                                                                                                                                                                                                                                                                                                                                                                                                                                                                                                                                                                                                                                                                                                                                                    | 4.00<br>1.18<br>0.88<br>1.52<br>9.30<br>1.06<br>3.625<br>1.14<br>0.143<br>3.55<br>4.40<br>0.73<br>1.14<br>4.00<br>1.23<br>6.15<br>3.95<br>0.61<br>2.50<br>0.62<br>8.00<br>1.85<br>1.42<br>0.175<br>0.175                                                                                                                                                                                                                                                                                                                                                                                                                                                                                                                                                                                                                                                                                                                                                                                                                                                                                                                                                                                                                                                                                                                                                                                                                                                                                                                                                                                                                                                                                                                                                                                                                                                                                                                                                                                                                                                                                                                                                                                                                                                                                                                                                                                                                                                                                                                                                                                                                                                                                                                                                                                                                               | 1 10<br>0 00<br>1 50<br>1 60<br>1 60<br>0 142<br>3 60<br>4 35<br>0 74<br>1 16<br>3 975<br>1 29<br>2 50<br>0 87<br>8 05<br>1 94<br>1 80<br>0 37                                                                                                                                                                                                                                                                                                                                                                                                                                                                                 | 0 86<br>1 46<br>1.05<br>3.66<br>9.14<br>3.55<br>9.72<br>1 10<br>3 975<br>1 24<br>3 95<br>0 64<br>8 00<br>1 86<br>1 80<br>0 35<br>0 35<br>0 72                                                                                                                                                                                                                                                                                                                                                                                                                                                                                                                                                                                                                                                                                                                                                                                                                                                                                                                                                                                                                                                                                                                                                                                                                                                                                                                                                                                                                                                                                                                                                                                                                                                                                                                                                                                                                                                                                                                                                                                                                                                                                                                                                                                                                                                                                                                                                                                                                                                                                                                                                                                                                                                                                                                                                                                                                                                                                                                                                                                                                                                    | 0 87<br>1.49<br>9 29<br>1 08<br>3 575<br>1.11<br>0.141<br>3 50<br>4 276<br>0 72<br>1 13<br>5 975<br>1 28<br>6 00<br>3 975<br>2 42,<br>0 84<br>8 60<br>1 92<br>1 80<br>1 93<br>1 94<br>1 94<br>1 94<br>1 94<br>1 94<br>1 94<br>1 94<br>1 94                                                                                                                                                                                                                                                                                                                                                                                                                                                                                                                                                                                                                                                                                                                                                                                                                                                                                                                                                                                                                                                                                                                                                                                                                                                                                                                                                                                                                                                                                                                                                                                                                                                                                                                                                                                                                                                                                                                                                                                                                                                                                                                                                                                                                                                                                                                                                                                                                                                                                                                                                                                                                                                                                                                                                                                                                      | 0 88<br>1 60<br>9 30<br>1 07<br>3 60<br>0 143<br>3 576<br>4 35<br>0 73<br>1 14<br>4 00<br>1 29<br>6 20<br>4 00<br>0 73<br>2 45<br>0 86<br>8 55<br>0 78                                                                                                                                                          | 1 19<br>0 67<br>1 49<br>9 30<br>1 07<br>3 576<br>4 35<br>0 73<br>1 13<br>3 97<br>6 15<br>3 97<br>0 73<br>2 45<br>0 36<br>0 37<br>0 37<br>0 37<br>0 37<br>0 37<br>0 37<br>0 37<br>0 37                                                                                                                                                                                                                                                                                                                                                                                                                                                                                                                                                                                                                                                                                                                                                                                                                                                                                                                                                                                                                                                                                                                                                                                                                                                                                                                                                                                                                                                                                                                                                                                                                                                                                                                                                                                                                                                                                                                                                                                                                                                                                                                                                                                                                                                                                                                                                                                                                                                                                                                                                                                                                                                  | +0.01<br>-0.03<br>-0.03<br>-0.05<br>-0.05<br>-0.05<br>-0.05<br>-0.05<br>-0.05<br>-0.05<br>-0.05<br>-0.05<br>-0.05<br>-0.05<br>-0.05<br>-0.05<br>-0.05<br>-0.05<br>-0.05<br>-0.05<br>-0.05<br>-0.05<br>-0.05<br>-0.05<br>-0.05<br>-0.05<br>-0.05<br>-0.05<br>-0.05<br>-0.05<br>-0.05<br>-0.05<br>-0.05<br>-0.05<br>-0.05<br>-0.05<br>-0.05<br>-0.05<br>-0.05<br>-0.05<br>-0.05<br>-0.05<br>-0.05<br>-0.05<br>-0.05<br>-0.05<br>-0.05<br>-0.05<br>-0.05<br>-0.05<br>-0.05<br>-0.05<br>-0.05<br>-0.05<br>-0.05<br>-0.05<br>-0.05<br>-0.05<br>-0.05<br>-0.05<br>-0.05<br>-0.05<br>-0.05<br>-0.05<br>-0.05<br>-0.05<br>-0.05<br>-0.05<br>-0.05<br>-0.05<br>-0.05<br>-0.05<br>-0.05<br>-0.05<br>-0.05<br>-0.05<br>-0.05<br>-0.05<br>-0.05<br>-0.05<br>-0.05<br>-0.05<br>-0.05<br>-0.05<br>-0.05<br>-0.05<br>-0.05<br>-0.05<br>-0.05<br>-0.05<br>-0.05<br>-0.05<br>-0.05<br>-0.05<br>-0.05<br>-0.05<br>-0.05<br>-0.05<br>-0.05<br>-0.05<br>-0.05<br>-0.05<br>-0.05<br>-0.05<br>-0.05<br>-0.05<br>-0.05<br>-0.05<br>-0.05<br>-0.05<br>-0.05<br>-0.05<br>-0.05<br>-0.05<br>-0.05<br>-0.05<br>-0.05<br>-0.05<br>-0.05<br>-0.05<br>-0.05<br>-0.05<br>-0.05<br>-0.05<br>-0.05<br>-0.05<br>-0.05<br>-0.05<br>-0.05<br>-0.05<br>-0.05<br>-0.05<br>-0.05<br>-0.05<br>-0.05<br>-0.05<br>-0.05<br>-0.05<br>-0.05<br>-0.05<br>-0.05<br>-0.05<br>-0.05<br>-0.05<br>-0.05<br>-0.05<br>-0.05<br>-0.05<br>-0.05<br>-0.05<br>-0.05<br>-0.05<br>-0.05<br>-0.05<br>-0.05<br>-0.05<br>-0.05<br>-0.05<br>-0.05<br>-0.05<br>-0.05<br>-0.05<br>-0.05<br>-0.05<br>-0.05<br>-0.05<br>-0.05<br>-0.05<br>-0.05<br>-0.05<br>-0.05<br>-0.05<br>-0.05<br>-0.05<br>-0.05<br>-0.05<br>-0.05<br>-0.05<br>-0.05<br>-0.05<br>-0.05<br>-0.05<br>-0.05<br>-0.05<br>-0.05<br>-0.05<br>-0.05<br>-0.05<br>-0.05<br>-0.05<br>-0.05<br>-0.05<br>-0.05<br>-0.05<br>-0.05<br>-0.05<br>-0.05<br>-0.05<br>-0.05<br>-0.05<br>-0.05<br>-0.05<br>-0.05<br>-0.05<br>-0.05<br>-0.05<br>-0.05<br>-0.05<br>-0.05<br>-0.05<br>-0.05<br>-0.05<br>-0.05<br>-0.05<br>-0.05<br>-0.05<br>-0.05<br>-0.05<br>-0.05<br>-0.05<br>-0.05<br>-0.05<br>-0.05<br>-0.05<br>-0.05<br>-0.05<br>-0.05<br>-0.05<br>-0.05<br>-0.05<br>-0.05<br>-0.05<br>-0.05<br>-0.05<br>-0.05<br>-0.05<br>-0.05<br>-0.05<br>-0.05<br>-0.05<br>-0.05<br>-0.05<br>-0.05<br>-0.05<br>-0.05<br>-0.05<br>-0.05<br>-0.05<br>-0.05<br>-0.05<br>-0.05<br>-0.05<br>-0.05<br>-0.05<br>-0.05<br>-0.05<br>-0.05<br>-0.05<br>-0.05<br>-0.05<br>-0.05<br>-0.05<br>-0.05<br>-0.05<br>-0.05<br>-0.05<br>-0.05<br>-0.05<br>-0.05<br>-0.05<br>-0.05<br>-0.05<br>-0.05<br>-0.05<br>-0.05<br>-0.05<br>-0.05<br>-0.05<br>-0.05<br>-0.05<br>-0.05<br>-0.05<br>-0.05<br>-0.05<br>-0.05<br>-0.05<br>-0.05<br>-0.05<br>-0.05<br>-0.05<br>-0.05<br>-0.05<br>-0 | 168<br>-83<br>-63<br>-74<br>-74<br>-74<br>-75<br>-105<br>-105<br>-105<br>-105<br>-105<br>-105<br>-105<br>-10                                                           | 362,000<br>2,594,000<br>303,000<br>7,774,400<br>180,000<br>10,000<br>1,286,000<br>4,004,800<br>10,000<br>5,796,000<br>4,74,000<br>6,060,000<br>210,500<br>7,74,000<br>6,060,000<br>210,500<br>49,50,000<br>1,12,50<br>5,000<br>1,13,50,000                                                                                                                                                                                                                                                                                                                                                                                                                                                                                                                                                                                                                                                                                                                                                                                                                                                                                                                                                                                                                                                                                                                                                                                                                                                                                                                                                                                                                                                                                                                                                                                                                                                                                                                                                                                                                                                                                                                                                                                                                                                                                                                                                                                                                                                                                                                                                                                                                                                                                                                                                                                                                                                                                                                                                                                    | 428,400<br>2269,100<br>451,540<br>151,540<br>151,540<br>151,540<br>151,540<br>151,540<br>151,540<br>151,540<br>151,540<br>151,540<br>151,540<br>151,540<br>151,540<br>151,540<br>151,540<br>151,540<br>151,540<br>151,540<br>151,540<br>151,540<br>151,540<br>151,540<br>151,540<br>151,540<br>151,540<br>151,540<br>151,540<br>151,540<br>151,540<br>151,540<br>151,540<br>151,540<br>151,540<br>151,540<br>151,540<br>151,540<br>151,540<br>151,540<br>151,540<br>151,540<br>151,540<br>151,540<br>151,540<br>151,540<br>151,540<br>151,540<br>151,540<br>151,540<br>151,540<br>151,540<br>151,540<br>151,540<br>151,540<br>151,540<br>151,540<br>151,540<br>151,540<br>151,540<br>151,540<br>151,540<br>151,540<br>151,540<br>151,540<br>151,540<br>151,540<br>151,540<br>151,540<br>151,540<br>151,540<br>151,540<br>151,540<br>151,540<br>151,540<br>151,540<br>151,540<br>151,540<br>151,540<br>151,540<br>151,540<br>151,540<br>151,540<br>151,540<br>151,540<br>151,540<br>151,540<br>151,540<br>151,540<br>151,540<br>151,540<br>151,540<br>151,540<br>151,540<br>151,540<br>151,540<br>151,540<br>151,540<br>151,540<br>151,540<br>151,540<br>151,540<br>151,540<br>151,540<br>151,540<br>151,540<br>151,540<br>151,540<br>151,540<br>151,540<br>151,540<br>151,540<br>151,540<br>151,540<br>151,540<br>151,540<br>151,540<br>151,540<br>151,540<br>151,540<br>151,540<br>151,540<br>151,540<br>151,540<br>151,540<br>151,540<br>151,540<br>151,540<br>151,540<br>151,540<br>151,540<br>151,540<br>151,540<br>151,540<br>151,540<br>151,540<br>151,540<br>151,540<br>151,540<br>151,540<br>151,540<br>151,540<br>151,540<br>151,540<br>151,540<br>151,540<br>151,540<br>151,540<br>151,540<br>151,540<br>151,540<br>151,540<br>151,540<br>151,540<br>151,540<br>151,540<br>151,540<br>151,540<br>151,540<br>151,540<br>151,540<br>151,540<br>151,540<br>151,540<br>151,540<br>151,540<br>151,540<br>151,540<br>151,540<br>151,540<br>151,540<br>151,540<br>151,540<br>151,540<br>151,540<br>151,540<br>151,540<br>151,540<br>151,540<br>151,540<br>151,540<br>151,540<br>151,540<br>151,540<br>151,540<br>151,540<br>151,540<br>151,540<br>151,540<br>151,540<br>151,540<br>151,540<br>151,540<br>151,540<br>151,540<br>151,540<br>151,540<br>151,540<br>151,540<br>151,540<br>151,540<br>151,540<br>151,540<br>151,540<br>151,540<br>151,540<br>151,540<br>151,540<br>151,540<br>151,540<br>151,540<br>151,540<br>151,540<br>151,540<br>151,540<br>151,540<br>151,540<br>151,540<br>151,540<br>151,540<br>151,540<br>151,540<br>151,540<br>151,540<br>151,540<br>151,540<br>151,540<br>15 | 0 40<br>0 30<br>0 30<br>0 36<br>0 36<br>0 38<br>0 38<br>1 36<br>0 38<br>0 38<br>1 36<br>0 38<br>1 36<br>0 38<br>0 38   | 561<br>580<br>880<br>669<br>793<br>704<br>673<br>673<br>673<br>675<br>531<br>548<br>10.93<br>304<br>813<br>734<br>594<br>347<br>970<br>733<br>1183<br>1484<br>1490                                                                                                                                                                                                                                                                                                                                                                                                                                                                                                                                                                                                                                                                                                                                                                                                                                                                                                                                                                                                                                                                                                                                                                                                                                                                                                                                                                                                                                                                                                                                                                                                                                                                                                                                                                                                                                                                                                                                                                                                                                                                                                                                                                                                                                                                                                                                                                                                                                                                                                                                                                                                                                                                        | 3.65<br>5.37<br>10.22<br>6.36<br>5.59<br>7.13<br>7.13<br>7.13<br>7.13<br>1.37<br>6.36<br>10.94<br>5.08<br>19.51<br>12.58<br>2.02<br>4.71<br>9.94<br>6.99<br>4.44<br>1.66                                                                                                                                                                                                                                                                                                                                                                                                                                                                                                                                                                                                                                                                                                                                                                                                                                                                                                                                                                                                                                                                                                                                                                                                                                                                                                                                                                                                                                                                                                                                                                                                                                                                                                                                                                                                                                                                                                                                                                                                                                                                                                                                                                                                                                                                                                                                                                                                                                                                                                                                                                                                                                                                                                                                                                                                                                                                                                                                                                                                                         |
| 195   523   16   16   16   16   16   16   16   1                                                                                                                                                                                                                                                                                                                                                                                                                                                                                                                                                                                                                                                                                                                                                                                                                                                                                                                                                                                                                                                                                                                                                                                                                                                                                                                                                                                                                                                                                                                                                                                                                                                                                                                                                                                                                                                                                                                                                                                                                                                                             | 4.00<br>1.18<br>0.68<br>1.52<br>9.30<br>1.06<br>3.625<br>1.14<br>0.143<br>3.55<br>4.40<br>0.73<br>1.14<br>4.00<br>1.23<br>6.15<br>3.95<br>0.61<br>2.50<br>0.82<br>8.00<br>1.85<br>1.42<br>0.175<br>0.175                                                                                                                                                                                                                                                                                                                                                                                                                                                                                                                                                                                                                                                                                                                                                                                                                                                                                                                                                                                                                                                                                                                                                                                                                                                                                                                                                                                                                                                                                                                                                                                                                                                                                                                                                                                                                                                                                                                                                                                                                                                                                                                                                                                                                                                                                                                                                                                                                                                                                                                                                                                                                               | 1 10<br>0 00<br>1 60<br>1 60<br>0 142<br>3 60<br>4 35<br>0 74<br>1 16<br>3 975<br>1 29<br>0 73<br>2 50<br>0 87<br>8 05<br>1 94<br>1 80<br>0 37                                                                                                                                                                                                                                                                                                                                                                                                                                                                                 | 0 86<br>1 46<br>1.05<br>3.66<br>9.14<br>3.55<br>9.72<br>1 10<br>3 975<br>1 24<br>3 95<br>0 64<br>8 00<br>1 86<br>1 80<br>0 35<br>0 78<br>1 80<br>0 35<br>0 78<br>1 80<br>0 0 0 0 0 0 0 0 0 0 0 0 0 0 0 0 0 0                                                                                                                                                                                                                                                                                                                                                                                                                                                                                                                                                                                                                                                                                                                                                                                                                                                                                                                                                                                                                                                                                                                                                                                                                                                                                                                                                                                                                                                                                                                                                                                                                                                                     | 0 87<br>1.49<br>9 29<br>1 08<br>3 575<br>1.11<br>0.141<br>3 50<br>4 276<br>0 72<br>1 13<br>5 975<br>1 28<br>6 00<br>3 975<br>0 72<br>2 42<br>0 84<br>8 90<br>1 92<br>1 80<br>1 92<br>1 80<br>1 92<br>1 80<br>1 92<br>1 80<br>1 92<br>1 80<br>1 92<br>1 80<br>1 92<br>1 93<br>1 94<br>1 94<br>1 94<br>1 94<br>1 94<br>1 94<br>1 94<br>1 94                                                                                                                                                                                                                                                                                                                                                                                                                                                                                                                                                                                                                                                                                                                                                                                                                                                                                                                                                                                                                                                                                                                                                                                                                                                                                                                                                                                                                                                                                                                                                                                                                                                                                                                                                                                                                                                                                                                                                                                                                                                                                                                                                                                                                                                                                                                                                                                                                                                                                                                                                                                                                                                                                                                                                                                                                                                       | 0 88<br>1 60<br>9 30<br>1 07<br>3 60<br>0 143<br>3 576<br>4 35<br>0 73<br>1 14<br>4 00<br>1 29<br>6 20<br>4 00<br>0 73<br>2 45<br>0 86<br>8 06<br>1 94<br>1 84<br>0 16<br>1 75<br>1 76<br>1 76<br>1 77<br>1 70<br>1 875                                                                                         | 1 19<br>0 67<br>1 49<br>9 30<br>1 07<br>3 576<br>1 14<br>0 141<br>3 576<br>4 35<br>0 73<br>2 45<br>0 85<br>0 85<br>0 99<br>1 80<br>0 16<br>1 80<br>0 16<br>1 80<br>0 17<br>0 18<br>0 1 | +0.01<br>-0.03<br>-0.03<br>-0.05<br>-0.05<br>-0.05<br>-0.05<br>-0.05<br>-0.05<br>-0.05<br>-0.05<br>-0.05<br>-0.05<br>-0.05<br>-0.05<br>-0.05<br>-0.05<br>-0.05<br>-0.05<br>-0.05<br>-0.05<br>-0.05<br>-0.05<br>-0.05<br>-0.05<br>-0.05<br>-0.05<br>-0.05<br>-0.05<br>-0.05<br>-0.05<br>-0.05<br>-0.05<br>-0.05<br>-0.05<br>-0.05<br>-0.05<br>-0.05<br>-0.05<br>-0.05<br>-0.05<br>-0.05<br>-0.05<br>-0.05<br>-0.05<br>-0.05<br>-0.05<br>-0.05<br>-0.05<br>-0.05<br>-0.05<br>-0.05<br>-0.05<br>-0.05<br>-0.05<br>-0.05<br>-0.05<br>-0.05<br>-0.05<br>-0.05<br>-0.05<br>-0.05<br>-0.05<br>-0.05<br>-0.05<br>-0.05<br>-0.05<br>-0.05<br>-0.05<br>-0.05<br>-0.05<br>-0.05<br>-0.05<br>-0.05<br>-0.05<br>-0.05<br>-0.05<br>-0.05<br>-0.05<br>-0.05<br>-0.05<br>-0.05<br>-0.05<br>-0.05<br>-0.05<br>-0.05<br>-0.05<br>-0.05<br>-0.05<br>-0.05<br>-0.05<br>-0.05<br>-0.05<br>-0.05<br>-0.05<br>-0.05<br>-0.05<br>-0.05<br>-0.05<br>-0.05<br>-0.05<br>-0.05<br>-0.05<br>-0.05<br>-0.05<br>-0.05<br>-0.05<br>-0.05<br>-0.05<br>-0.05<br>-0.05<br>-0.05<br>-0.05<br>-0.05<br>-0.05<br>-0.05<br>-0.05<br>-0.05<br>-0.05<br>-0.05<br>-0.05<br>-0.05<br>-0.05<br>-0.05<br>-0.05<br>-0.05<br>-0.05<br>-0.05<br>-0.05<br>-0.05<br>-0.05<br>-0.05<br>-0.05<br>-0.05<br>-0.05<br>-0.05<br>-0.05<br>-0.05<br>-0.05<br>-0.05<br>-0.05<br>-0.05<br>-0.05<br>-0.05<br>-0.05<br>-0.05<br>-0.05<br>-0.05<br>-0.05<br>-0.05<br>-0.05<br>-0.05<br>-0.05<br>-0.05<br>-0.05<br>-0.05<br>-0.05<br>-0.05<br>-0.05<br>-0.05<br>-0.05<br>-0.05<br>-0.05<br>-0.05<br>-0.05<br>-0.05<br>-0.05<br>-0.05<br>-0.05<br>-0.05<br>-0.05<br>-0.05<br>-0.05<br>-0.05<br>-0.05<br>-0.05<br>-0.05<br>-0.05<br>-0.05<br>-0.05<br>-0.05<br>-0.05<br>-0.05<br>-0.05<br>-0.05<br>-0.05<br>-0.05<br>-0.05<br>-0.05<br>-0.05<br>-0.05<br>-0.05<br>-0.05<br>-0.05<br>-0.05<br>-0.05<br>-0.05<br>-0.05<br>-0.05<br>-0.05<br>-0.05<br>-0.05<br>-0.05<br>-0.05<br>-0.05<br>-0.05<br>-0.05<br>-0.05<br>-0.05<br>-0.05<br>-0.05<br>-0.05<br>-0.05<br>-0.05<br>-0.05<br>-0.05<br>-0.05<br>-0.05<br>-0.05<br>-0.05<br>-0.05<br>-0.05<br>-0.05<br>-0.05<br>-0.05<br>-0.05<br>-0.05<br>-0.05<br>-0.05<br>-0.05<br>-0.05<br>-0.05<br>-0.05<br>-0.05<br>-0.05<br>-0.05<br>-0.05<br>-0.05<br>-0.05<br>-0.05<br>-0.05<br>-0.05<br>-0.05<br>-0.05<br>-0.05<br>-0.05<br>-0.05<br>-0.05<br>-0.05<br>-0.05<br>-0.05<br>-0.05<br>-0.05<br>-0.05<br>-0.05<br>-0.05<br>-0.05<br>-0.05<br>-0.05<br>-0.05<br>-0.05<br>-0.05<br>-0.05<br>-0.05<br>-0.05<br>-0.05<br>-0.05<br>-0.05<br>-0.05<br>-0.05<br>-0.05<br>-0.05<br>-0.05<br>-0.05<br>-0.05<br>-0.05<br>-0.05<br>-0.05<br>-0.05<br>-0.05<br>-0.05<br>-0.05<br>-0.05<br>-0.05<br>-0.05<br>-0.05<br>-0.05<br>-0.05<br>-0.05<br>-0.05<br>-0.05<br>-0.05<br>-0 | 168<br>-83<br>-63<br>-74<br>-74<br>-75<br>-175<br>-105<br>-105<br>-105<br>-105<br>-105<br>-105<br>-105<br>-10                                                          | 362,000<br>2,594,000<br>303,000<br>7,774,400<br>10,000<br>10,000<br>10,000<br>10,000<br>4,004,800<br>4,004,800<br>6,000<br>6,000<br>6,000<br>210,500<br>774,000<br>6,000,000<br>210,500<br>7147,50<br>5,000<br>49,500,000<br>115,500<br>256,000<br>10,100<br>10,100<br>10,100<br>10,100<br>10,100<br>10,100<br>10,100<br>10,100<br>10,100<br>10,100<br>10,100<br>10,100<br>10,100<br>10,100<br>10,100<br>10,100<br>10,100<br>10,100<br>10,100<br>10,100<br>10,100<br>10,100<br>10,100<br>10,100<br>10,100<br>10,100<br>10,100<br>10,100<br>10,100<br>10,100<br>10,100<br>10,100<br>10,100<br>10,100<br>10,100<br>10,100<br>10,100<br>10,100<br>10,100<br>10,100<br>10,100<br>10,100<br>10,100<br>10,100<br>10,100<br>10,100<br>10,100<br>10,100<br>10,100<br>10,100<br>10,100<br>10,100<br>10,100<br>10,100<br>10,100<br>10,100<br>10,100<br>10,100<br>10,100<br>10,100<br>10,100<br>10,100<br>10,100<br>10,100<br>10,100<br>10,100<br>10,100<br>10,100<br>10,100<br>10,100<br>10,100<br>10,100<br>10,100<br>10,100<br>10,100<br>10,100<br>10,100<br>10,100<br>10,100<br>10,100<br>10,100<br>10,100<br>10,100<br>10,100<br>10,100<br>10,100<br>10,100<br>10,100<br>10,100<br>10,100<br>10,100<br>10,100<br>10,100<br>10,100<br>10,100<br>10,100<br>10,100<br>10,100<br>10,100<br>10,100<br>10,100<br>10,100<br>10,100<br>10,100<br>10,100<br>10,100<br>10,100<br>10,100<br>10,100<br>10,100<br>10,100<br>10,100<br>10,100<br>10,100<br>10,100<br>10,100<br>10,100<br>10,100<br>10,100<br>10,100<br>10,100<br>10,100<br>10,100<br>10,100<br>10,100<br>10,100<br>10,100<br>10,100<br>10,100<br>10,100<br>10,100<br>10,100<br>10,100<br>10,100<br>10,100<br>10,100<br>10,100<br>10,100<br>10,100<br>10,100<br>10,100<br>10,100<br>10,100<br>10,100<br>10,100<br>10,100<br>10,100<br>10,100<br>10,100<br>10,100<br>10,100<br>10,100<br>10,100<br>10,100<br>10,100<br>10,100<br>10,100<br>10,100<br>10,100<br>10,100<br>10,100<br>10,100<br>10,100<br>10,100<br>10,100<br>10,100<br>10,100<br>10,100<br>10,100<br>10,100<br>10,100<br>10,100<br>10,100<br>10,100<br>10,100<br>10,100<br>10,100<br>10,100<br>10,100<br>10,100<br>10,100<br>10,100<br>10,100<br>10,100<br>10,100<br>10,100<br>10,100<br>10,100<br>10,100<br>10,100<br>10,100<br>10,100<br>10,100<br>10,100<br>10,100<br>10,100<br>10,100<br>10,100<br>10,100<br>10,100<br>10,100<br>10,100<br>10,100<br>10,100<br>10,100<br>10,100<br>10,100<br>10,100<br>10,100<br>10,100<br>10,100<br>10,100<br>10,100<br>10,100<br>10,100<br>10,100<br>10,100<br>10,100<br>10,100<br>10,100<br>10,100<br>10,100<br>10,100<br>10,100<br>10,100<br>10,100<br>10,100<br>10,100<br>10,100<br>10,100<br>10,100<br>10,100<br>10,100<br>10,100<br>10,100<br>10,100<br>10,100<br>10,100<br>10,100<br>10,100<br>10,100<br>10,100<br>10,100<br>10,100<br>10,100<br>10,100<br>10,100<br>10,100<br>10,100<br>10,100<br>10,100<br>10,100<br>10,100<br>10,100<br>10,100<br>10,100<br>10,100<br>10,100<br>10,100<br>10,100<br>10,100<br>10,100<br>10,100<br>10,100<br>10,100<br>10,100<br>10,100 | 428,400<br>2269,100<br>451,540<br>451,540<br>228,080<br>2,563,250<br>43,500<br>43,500<br>43,500<br>43,500<br>43,500<br>43,500<br>7,355,460<br>7,355,460<br>1,206,750<br>1,206,750<br>1,3584,239<br>1,3584,239<br>1,3584,239<br>1,3584,239<br>1,3584,239<br>1,3584,239<br>1,3584,239<br>1,3584,239<br>1,3584,239<br>1,3584,239<br>1,3584,239<br>1,3584,239<br>1,3584,239<br>1,3584,239<br>1,3584,239<br>1,3584,239<br>1,3584,239<br>1,3584,239<br>1,3584,239<br>1,3584,239<br>1,3584,239<br>1,3584,239<br>1,3584,239<br>1,3584,239<br>1,3584,239<br>1,3584,239<br>1,3584,239<br>1,3584,239<br>1,3584,239<br>1,3584,239<br>1,3584,239<br>1,3584,239<br>1,3584,239<br>1,3584,239<br>1,3584,239<br>1,3584,239<br>1,3584,239<br>1,3584,239<br>1,3584,239<br>1,3584,239<br>1,3584,239<br>1,3584,239<br>1,3584,239<br>1,3584,239<br>1,3584,239<br>1,3584,239<br>1,3584,239<br>1,3584,239<br>1,3584,239<br>1,3584,239<br>1,3584,239<br>1,3584,239<br>1,3584,239<br>1,3584,239<br>1,3584,239<br>1,3584,239<br>1,3584,239<br>1,3584,239<br>1,3584,239<br>1,3584,239<br>1,3584,239<br>1,3584,239<br>1,3584,239<br>1,3584,239<br>1,3584,239<br>1,3584,239<br>1,3584,239<br>1,3584,239<br>1,3584,239<br>1,3584,239<br>1,3584,239<br>1,3584,239<br>1,3584,239<br>1,3584,239<br>1,3584,239<br>1,3584,239<br>1,3584,239<br>1,3584,239<br>1,3584,239<br>1,3584,239<br>1,3584,239<br>1,3584,239<br>1,3584,239<br>1,3584,239<br>1,3584,239<br>1,3584,239<br>1,3584,239<br>1,3584,239<br>1,3584,239<br>1,3584,239<br>1,3584,239<br>1,3584,239<br>1,3584,239<br>1,3584,239<br>1,3584,239<br>1,3584,239<br>1,3584,239<br>1,3584,239<br>1,3584,239<br>1,3584,239<br>1,3584,239<br>1,3584,239<br>1,3584,239<br>1,3584,239<br>1,3584,239<br>1,3584,239<br>1,3584,239<br>1,3584,239<br>1,3584,239<br>1,3584,239<br>1,3584,239<br>1,3584,239<br>1,3584,239<br>1,3584,239<br>1,3584,239<br>1,3584,239<br>1,3584,239<br>1,3584,239<br>1,3584,239<br>1,3584,239<br>1,3584,239<br>1,3584,239<br>1,3584,239<br>1,3584,239<br>1,3584,239<br>1,3584,239<br>1,3584,239<br>1,3584,239<br>1,3584,239<br>1,3584,239<br>1,3584,239<br>1,3584,239<br>1,3584,239<br>1,3584,239<br>1,3584,239<br>1,3584,239<br>1,3584,239<br>1,3584,239<br>1,3584,239<br>1,3584,239<br>1,3584,239<br>1,3584,239<br>1,3584,239<br>1,3584,239<br>1,3584,239<br>1,3584,239<br>1,3584,239<br>1,3584,239<br>1,3584,239<br>1,3584,239<br>1,3584,239<br>1,3584,239<br>1,3584,239<br>1,3584,239<br>1,3584,239<br>1,3584,239<br>1,3584,239<br>1,3584,239<br>1                                                                                                           | 0 40<br>0 30<br>0 30<br>0 36<br>0 36<br>0 39<br>0 05<br>1 22<br>0 08<br>0 1 36<br>0 26<br>0 26<br>0 26<br>0 26<br>0 26<br>0 26<br>0 38<br>1 36<br>0 38<br>1 36<br>1 36 | 561<br>580<br>880<br>669<br>793<br>704<br>673<br>673<br>673<br>675<br>531<br>548<br>10.93<br>3.04<br>8.13<br>7.34<br>5.94<br>3.47<br>9.70<br>9.70<br>11.03<br>11.03<br>10.41<br>10.41<br>10.41<br>10.41<br>10.41<br>10.41<br>10.41<br>10.41<br>10.41<br>10.41<br>10.41<br>10.41<br>10.41<br>10.41<br>10.41<br>10.41<br>10.41<br>10.41<br>10.41<br>10.41<br>10.41<br>10.41<br>10.41<br>10.41<br>10.41<br>10.41<br>10.41<br>10.41<br>10.41<br>10.41<br>10.41<br>10.41<br>10.41<br>10.41<br>10.41<br>10.41<br>10.41<br>10.41<br>10.41<br>10.41<br>10.41<br>10.41<br>10.41<br>10.41<br>10.41<br>10.41<br>10.41<br>10.41<br>10.41<br>10.41<br>10.41<br>10.41<br>10.41<br>10.41<br>10.41<br>10.41<br>10.41<br>10.41<br>10.41<br>10.41<br>10.41<br>10.41<br>10.41<br>10.41<br>10.41<br>10.41<br>10.41<br>10.41<br>10.41<br>10.41<br>10.41<br>10.41<br>10.41<br>10.41<br>10.41<br>10.41<br>10.41<br>10.41<br>10.41<br>10.41<br>10.41<br>10.41<br>10.41<br>10.41<br>10.41<br>10.41<br>10.41<br>10.41<br>10.41<br>10.41<br>10.41<br>10.41<br>10.41<br>10.41<br>10.41<br>10.41<br>10.41<br>10.41<br>10.41<br>10.41<br>10.41<br>10.41<br>10.41<br>10.41<br>10.41<br>10.41<br>10.41<br>10.41<br>10.41<br>10.41<br>10.41<br>10.41<br>10.41<br>10.41<br>10.41<br>10.41<br>10.41<br>10.41<br>10.41<br>10.41<br>10.41<br>10.41<br>10.41<br>10.41<br>10.41<br>10.41<br>10.41<br>10.41<br>10.41<br>10.41<br>10.41<br>10.41<br>10.41<br>10.41<br>10.41<br>10.41<br>10.41<br>10.41<br>10.41<br>10.41<br>10.41<br>10.41<br>10.41<br>10.41<br>10.41<br>10.41<br>10.41<br>10.41<br>10.41<br>10.41<br>10.41<br>10.41<br>10.41<br>10.41<br>10.41<br>10.41<br>10.41<br>10.41<br>10.41<br>10.41<br>10.41<br>10.41<br>10.41<br>10.41<br>10.41<br>10.41<br>10.41<br>10.41<br>10.41<br>10.41<br>10.41<br>10.41<br>10.41<br>10.41<br>10.41<br>10.41<br>10.41<br>10.41<br>10.41<br>10.41<br>10.41<br>10.41<br>10.41<br>10.41<br>10.41<br>10.41<br>10.41<br>10.41<br>10.41<br>10.41<br>10.41<br>10.41<br>10.41<br>10.41<br>10.41<br>10.41<br>10.41<br>10.41<br>10.41<br>10.41<br>10.41<br>10.41<br>10.41<br>10.41<br>10.41<br>10.41<br>10.41<br>10.41<br>10.41<br>10.41<br>10.41<br>10.41<br>10.41<br>10.41<br>10.41<br>10.41<br>10.41<br>10.41<br>10.41<br>10.41<br>10.41<br>10.41<br>10.41<br>10.41<br>10.41<br>10.41<br>10.41<br>10.41<br>10.41<br>10.41<br>10.41<br>10.41<br>10.41<br>10.41<br>10.41<br>10.41<br>10.41<br>10.41<br>10.41<br>10.41<br>10.41<br>10.41<br>10.41<br>10.41<br>10.41<br>10.41<br>10.41<br>10.41<br>10.41<br>10.41<br>10.41<br>10.41<br>10.41<br>10.41<br>10.41<br>10.41<br>10.41<br>10.41<br>10.41<br>10.41<br>10.41<br>10.41<br>10.41<br>10.41<br>10.41<br>10.41<br>10.41<br>10.41<br>10.41<br>10.41<br>10.41<br>10.41<br>10.41<br>10.41<br>10.41                                                                                            | 3.65<br>6.37<br>10.22<br>6.36<br>5.59<br>7.13<br>7.13<br>7.13<br>7.13<br>7.13<br>1.37<br>6.36<br>10.94<br>5.08<br>19.51<br>12.58<br>2.02<br>4.71<br>9.94<br>6.99<br>14.44<br>1.16<br>1.16<br>1.16<br>1.16<br>1.16<br>1.16<br>1.1                                                                                                                                                                                                                                                                                                                                                                                                                                                                                                                                                                                                                                                                                                                                                                                                                                                                                                                                                                                                                                                                                                                                                                                                                                                                                                                                                                                                                                                                                                                                                                                                                                                                                                                                                                                                                                                                                                                                                                                                                                                                                                                                                                                                                                                                                                                                                                                                                                                                                                                                                                                                                                                                                                                                                                                                                                                                                                                                                                 |
| 195   523   16   16   16   16   17   18   18   18   18   18   18   19   19                                                                                                                                                                                                                                                                                                                                                                                                                                                                                                                                                                                                                                                                                                                                                                                                                                                                                                                                                                                                                                                                                                                                                                                                                                                                                                                                                                                                                                                                                                                                                                                                                                                                                                                                                                                                                                                                                                                                                                                                                                                   | 4.00<br>1.18<br>0.88<br>1.52<br>9.30<br>1.06<br>3.625<br>1.14<br>0.143<br>3.55<br>4.40<br>0.73<br>1.14<br>4.00<br>1.23<br>6.15<br>3.95<br>0.61<br>2.50<br>0.82<br>8.00<br>1.85<br>1.42<br>0.175<br>0.175<br>0.175                                                                                                                                                                                                                                                                                                                                                                                                                                                                                                                                                                                                                                                                                                                                                                                                                                                                                                                                                                                                                                                                                                                                                                                                                                                                                                                                                                                                                                                                                                                                                                                                                                                                                                                                                                                                                                                                                                                                                                                                                                                                                                                                                                                                                                                                                                                                                                                                                                                                                                                                                                                                                      | 1 10<br>0 00<br>1 60<br>1 60<br>1 60<br>0 142<br>8 60<br>4 35<br>0 74<br>1 16<br>3 975<br>1 29<br>3 975<br>0 73<br>2 50<br>0 87<br>8 95<br>1 94<br>1 80<br>0 37<br>0 87<br>8 97<br>1 90<br>0 97<br>1 90<br>1 97<br>1 97<br>1 97<br>1 97<br>1 97<br>1 97<br>1 97<br>1 97                                                                                                                                                                                                                                                                                                                                                        | 0 86<br>1 46<br>1.05<br>3.66<br>9.14<br>3.55<br>0 72<br>1 10<br>0 975<br>1 24<br>3 95<br>0 64<br>8 00<br>1 86<br>1 80<br>0 35<br>0 78<br>1 80<br>0 425<br>0 84<br>8 00<br>1 86<br>1 80<br>0 78<br>1 80<br>0 78<br>1 80<br>0 78<br>1 80<br>0 78<br>1 80<br>0 78<br>1 80<br>0 78<br>1 80<br>0 78<br>0 78<br>0 78<br>0 78<br>0 78<br>0 78<br>0 78<br>0                                                                                                                                                                                                                                                                                                                                                                                                                                                                                                                                                                                                                                                                                                                                                                                                                                                                                                                                                                                                                                                                                                                                                                                                                                                                                                                                                                                                                                                                                                                                                                                                                                                                                                                                                                                                                                                                                                                                                                                                                                                                                                                                                                                                                                                                                                                                                                                                                                                                                                                                                                                                                                                                                                                                                                                                                                              | 0 87<br>1.49<br>9 29<br>1 06<br>3 575<br>1.11<br>9 10<br>4 276<br>0 72<br>1 13<br>5 975<br>1 28<br>0 90<br>3 975<br>0 72<br>2 42<br>0 84<br>8 90<br>1 92<br>1 80<br>1 92<br>1 80<br>1 93<br>1 80<br>1 93<br>1 80<br>1 80<br>1 80<br>1 80<br>1 80<br>1 80<br>1 80<br>1 80                                                                                                                                                                                                                                                                                                                                                                                                                                                                                                                                                                                                                                                                                                                                                                                                                                                                                                                                                                                                                                                                                                                                                                                                                                                                                                                                                                                                                                                                                                                                                                                                                                                                                                                                                                                                                                                                                                                                                                                                                                                                                                                                                                                                                                                                                                                                                                                                                                                                                                                                                                                                                                                                                                                                                                                                                                                                                                                        | 0 88<br>1 60<br>9 30<br>1 07<br>3 60<br>0 143<br>3 576<br>4 35<br>0 73<br>1 14<br>4 00<br>1 29<br>6 20<br>4 00<br>0 73<br>2 45<br>0 86<br>8 06<br>1 94<br>1 84<br>0 16<br>1 75<br>1 76<br>4 70<br>7 10<br>1 875                                                                                                 | 1 19<br>0 67<br>1 49<br>9 30<br>1 07<br>3 576<br>1 14<br>0 141<br>3 576<br>1 28<br>6 15<br>3 976<br>1 28<br>6 15<br>3 976<br>0 45<br>0 45<br>0 46<br>0 47<br>0 | +0.01<br>-0.03<br>-0.03<br>-0.05<br>-0.05<br>-0.05<br>-0.05<br>-0.05<br>-0.05<br>-0.05<br>-0.05<br>-0.05<br>-0.05<br>-0.05<br>-0.05<br>-0.05<br>-0.05<br>-0.05<br>-0.05<br>-0.05<br>-0.05<br>-0.05<br>-0.05<br>-0.05<br>-0.05<br>-0.05<br>-0.05<br>-0.05<br>-0.05<br>-0.05<br>-0.05<br>-0.05<br>-0.05<br>-0.05<br>-0.05<br>-0.05<br>-0.05<br>-0.05<br>-0.05<br>-0.05<br>-0.05<br>-0.05<br>-0.05<br>-0.05<br>-0.05<br>-0.05<br>-0.05<br>-0.05<br>-0.05<br>-0.05<br>-0.05<br>-0.05<br>-0.05<br>-0.05<br>-0.05<br>-0.05<br>-0.05<br>-0.05<br>-0.05<br>-0.05<br>-0.05<br>-0.05<br>-0.05<br>-0.05<br>-0.05<br>-0.05<br>-0.05<br>-0.05<br>-0.05<br>-0.05<br>-0.05<br>-0.05<br>-0.05<br>-0.05<br>-0.05<br>-0.05<br>-0.05<br>-0.05<br>-0.05<br>-0.05<br>-0.05<br>-0.05<br>-0.05<br>-0.05<br>-0.05<br>-0.05<br>-0.05<br>-0.05<br>-0.05<br>-0.05<br>-0.05<br>-0.05<br>-0.05<br>-0.05<br>-0.05<br>-0.05<br>-0.05<br>-0.05<br>-0.05<br>-0.05<br>-0.05<br>-0.05<br>-0.05<br>-0.05<br>-0.05<br>-0.05<br>-0.05<br>-0.05<br>-0.05<br>-0.05<br>-0.05<br>-0.05<br>-0.05<br>-0.05<br>-0.05<br>-0.05<br>-0.05<br>-0.05<br>-0.05<br>-0.05<br>-0.05<br>-0.05<br>-0.05<br>-0.05<br>-0.05<br>-0.05<br>-0.05<br>-0.05<br>-0.05<br>-0.05<br>-0.05<br>-0.05<br>-0.05<br>-0.05<br>-0.05<br>-0.05<br>-0.05<br>-0.05<br>-0.05<br>-0.05<br>-0.05<br>-0.05<br>-0.05<br>-0.05<br>-0.05<br>-0.05<br>-0.05<br>-0.05<br>-0.05<br>-0.05<br>-0.05<br>-0.05<br>-0.05<br>-0.05<br>-0.05<br>-0.05<br>-0.05<br>-0.05<br>-0.05<br>-0.05<br>-0.05<br>-0.05<br>-0.05<br>-0.05<br>-0.05<br>-0.05<br>-0.05<br>-0.05<br>-0.05<br>-0.05<br>-0.05<br>-0.05<br>-0.05<br>-0.05<br>-0.05<br>-0.05<br>-0.05<br>-0.05<br>-0.05<br>-0.05<br>-0.05<br>-0.05<br>-0.05<br>-0.05<br>-0.05<br>-0.05<br>-0.05<br>-0.05<br>-0.05<br>-0.05<br>-0.05<br>-0.05<br>-0.05<br>-0.05<br>-0.05<br>-0.05<br>-0.05<br>-0.05<br>-0.05<br>-0.05<br>-0.05<br>-0.05<br>-0.05<br>-0.05<br>-0.05<br>-0.05<br>-0.05<br>-0.05<br>-0.05<br>-0.05<br>-0.05<br>-0.05<br>-0.05<br>-0.05<br>-0.05<br>-0.05<br>-0.05<br>-0.05<br>-0.05<br>-0.05<br>-0.05<br>-0.05<br>-0.05<br>-0.05<br>-0.05<br>-0.05<br>-0.05<br>-0.05<br>-0.05<br>-0.05<br>-0.05<br>-0.05<br>-0.05<br>-0.05<br>-0.05<br>-0.05<br>-0.05<br>-0.05<br>-0.05<br>-0.05<br>-0.05<br>-0.05<br>-0.05<br>-0.05<br>-0.05<br>-0.05<br>-0.05<br>-0.05<br>-0.05<br>-0.05<br>-0.05<br>-0.05<br>-0.05<br>-0.05<br>-0.05<br>-0.05<br>-0.05<br>-0.05<br>-0.05<br>-0.05<br>-0.05<br>-0.05<br>-0.05<br>-0.05<br>-0.05<br>-0.05<br>-0.05<br>-0.05<br>-0.05<br>-0.05<br>-0.05<br>-0.05<br>-0.05<br>-0.05<br>-0.05<br>-0.05<br>-0.05<br>-0.05<br>-0.05<br>-0.05<br>-0.05<br>-0.05<br>-0.05<br>-0.05<br>-0.05<br>-0.05<br>-0.05<br>-0.05<br>-0.05<br>-0.05<br>-0.05<br>-0.05<br>-0 | 168<br>-83<br>-63<br>-74<br>-74<br>-75<br>-175<br>-105<br>-105<br>-105<br>-105<br>-105<br>-105<br>-105<br>-10                                                          | 362,000<br>2,594,000<br>303,000<br>7,774,400<br>713,000<br>10,000<br>10,000<br>10,000<br>4,004,800<br>4,004,800<br>10,000<br>5,796,000<br>4,74,000<br>6,060,000<br>210,500<br>774,000<br>6,060,000<br>210,500<br>11,70,000<br>13,520,000<br>1,70,000<br>1,70,000                                                                                                                                                                                                                                                                                                                                                                                                                                                                                                                                                                                                                                                                                                                                                                                                                                                                                                                                                                                                                                                                                                                                                                                                                                                                                                                                                                                                                                                                                                                                                                                                                                                                                                                                                                                                                                                                                                                                                                                                                                                                                                                                                                                                                                                                                                                                                                                                                                                                                                                                                                                                                                                                                                                                                              | 428,400<br>2269,100<br>451,540<br>1,563,250<br>2,563,250<br>328,142<br>643,600<br>43,500<br>43,500<br>43,500<br>7,355,460<br>7,355,460<br>1,206,750<br>1,206,750<br>1,206,750<br>1,206,750<br>1,206,750<br>1,206,750<br>1,206,750<br>1,206,750<br>1,206,750<br>1,206,750<br>1,206,750<br>1,206,750<br>1,206,750<br>1,206,750<br>1,206,750<br>1,206,750<br>1,206,750<br>1,206,750<br>1,206,750<br>1,206,750<br>1,206,750<br>1,206,750<br>1,206,750<br>1,206,750<br>1,206,750<br>1,206,750<br>1,206,750<br>1,206,750<br>1,206,750<br>1,206,750<br>1,206,750<br>1,206,750<br>1,206,750<br>1,206,750<br>1,206,750<br>1,206,750<br>1,206,750<br>1,206,750<br>1,206,750<br>1,206,750<br>1,206,750<br>1,206,750<br>1,206,750<br>1,206,750<br>1,206,750<br>1,206,750<br>1,206,750<br>1,206,750<br>1,206,750<br>1,206,750<br>1,206,750<br>1,206,750<br>1,206,750<br>1,206,750<br>1,206,750<br>1,206,750<br>1,206,750<br>1,206,750<br>1,206,750<br>1,206,750<br>1,206,750<br>1,206,750<br>1,206,750<br>1,206,750<br>1,206,750<br>1,206,750<br>1,206,750<br>1,206,750<br>1,206,750<br>1,206,750<br>1,206,750<br>1,206,750<br>1,206,750<br>1,206,750<br>1,206,750<br>1,206,750<br>1,206,750<br>1,206,750<br>1,206,750<br>1,206,750<br>1,206,750<br>1,206,750<br>1,206,750<br>1,206,750<br>1,206,750<br>1,206,750<br>1,206,750<br>1,206,750<br>1,206,750<br>1,206,750<br>1,206,750<br>1,206,750<br>1,206,750<br>1,206,750<br>1,206,750<br>1,206,750<br>1,206,750<br>1,206,750<br>1,206,750<br>1,206,750<br>1,206,750<br>1,206,750<br>1,206,750<br>1,206,750<br>1,206,750<br>1,206,750<br>1,206,750<br>1,206,750<br>1,206,750<br>1,206,750<br>1,206,750<br>1,206,750<br>1,206,750<br>1,206,750<br>1,206,750<br>1,206,750<br>1,206,750<br>1,206,750<br>1,206,750<br>1,206,750<br>1,206,750<br>1,206,750<br>1,206,750<br>1,206,750<br>1,206,750<br>1,206,750<br>1,206,750<br>1,206,750<br>1,206,750<br>1,206,750<br>1,206,750<br>1,206,750<br>1,206,750<br>1,206,750<br>1,206,750<br>1,206,750<br>1,206,750<br>1,206,750<br>1,206,750<br>1,206,750<br>1,206,750<br>1,206,750<br>1,206,750<br>1,206,750<br>1,206,750<br>1,206,750<br>1,206,750<br>1,206,750<br>1,206,750<br>1,206,750<br>1,206,750<br>1,206,750<br>1,206,750<br>1,206,750<br>1,206,750<br>1,206,750<br>1,206,750<br>1,206,750<br>1,206,750<br>1,206,750<br>1,206,750<br>1,206,750<br>1,206,750<br>1,206,750<br>1,206,750<br>1,206,750<br>1,206,750<br>1,206,750<br>1,206,750<br>1,206,750<br>1,206,750<br>1,206,750<br>1,206,750<br>1,206,750<br>1,206,750<br>1,206,7                                                                                 | 0 40<br>0 30<br>0 30<br>0 36<br>0 36<br>0 39<br>0 05<br>1 22<br>0 05<br>1 35<br>0 26<br>0 26<br>0 26<br>0 27<br>0 38<br>1 35<br>0 26<br>0 26<br>0 27<br>0 38<br>1 35<br>0 26<br>0 38<br>1 35<br>0 44<br>2 36<br>0 12<br>1 36<br>0 2 4<br>0 36<br>1 37<br>0 38<br>1 35<br>0 44<br>1 35<br>0 44<br>1 35<br>0 44<br>1 35<br>0 46<br>1 36<br>0 12<br>1 36<br>0 13<br>0 13<br>0 13<br>0 13<br>0 14<br>0 15<br>0 16<br>0 16  | 561<br>580<br>880<br>669<br>703<br>704<br>673<br>673<br>673<br>675<br>531<br>548<br>10.93<br>3.04<br>8.13<br>7.34<br>5.94<br>3.47<br>5.70<br>5.70<br>6.73<br>6.73<br>6.75<br>6.75<br>6.75<br>6.75<br>6.75<br>6.75<br>6.75<br>6.75<br>6.75<br>6.75<br>6.75<br>6.75<br>6.75<br>6.75<br>6.75<br>6.75<br>6.75<br>6.75<br>6.75<br>6.75<br>6.75<br>6.75<br>6.75<br>6.75<br>6.75<br>6.75<br>6.75<br>6.75<br>6.75<br>6.75<br>6.75<br>6.75<br>6.75<br>6.75<br>6.75<br>6.75<br>6.75<br>6.75<br>6.75<br>6.75<br>6.75<br>6.75<br>6.75<br>6.75<br>6.75<br>6.75<br>6.75<br>6.75<br>6.75<br>6.75<br>6.75<br>6.75<br>6.75<br>6.75<br>6.75<br>6.75<br>6.75<br>6.75<br>6.75<br>6.75<br>6.75<br>6.75<br>6.75<br>6.75<br>6.75<br>6.75<br>6.75<br>6.75<br>6.75<br>6.75<br>6.75<br>6.75<br>6.75<br>6.75<br>6.75<br>6.75<br>6.75<br>6.75<br>6.75<br>6.75<br>6.75<br>6.75<br>6.75<br>6.75<br>6.75<br>6.75<br>6.75<br>6.75<br>6.75<br>6.75<br>6.75<br>6.75<br>6.75<br>6.75<br>6.75<br>6.75<br>6.75<br>6.75<br>6.75<br>6.75<br>6.75<br>6.75<br>6.75<br>6.75<br>6.75<br>6.75<br>6.75<br>6.75<br>6.75<br>6.75<br>6.75<br>6.75<br>6.75<br>6.75<br>6.75<br>6.75<br>6.75<br>6.75<br>6.75<br>6.75<br>6.75<br>6.75<br>6.75<br>6.75<br>6.75<br>6.75<br>6.75<br>6.75<br>6.75<br>6.75<br>6.75<br>6.75<br>6.75<br>6.75<br>6.75<br>6.75<br>6.75<br>6.75<br>6.75<br>6.75<br>6.75<br>6.75<br>6.75<br>6.75<br>6.75<br>6.75<br>6.75<br>6.75<br>6.75<br>6.75<br>6.75<br>6.75<br>6.75<br>6.75<br>6.75<br>6.75<br>6.75<br>6.75<br>6.75<br>6.75<br>6.75<br>6.75<br>6.75<br>6.75<br>6.75<br>6.75<br>6.75<br>6.75<br>6.75<br>6.75<br>6.75<br>6.75<br>6.75<br>6.75<br>6.75<br>6.75<br>6.75<br>6.75<br>6.75<br>6.75<br>6.75<br>6.75<br>6.75<br>6.75<br>6.75<br>6.75<br>6.75<br>6.75<br>6.75<br>6.75<br>6.75<br>6.75<br>6.75<br>6.75<br>6.75<br>6.75<br>6.75<br>6.75<br>6.75<br>6.75<br>6.75<br>6.75<br>6.75<br>6.75<br>6.75<br>6.75<br>6.75<br>6.75<br>6.75<br>6.75<br>6.75<br>6.75<br>6.75<br>6.75<br>6.75<br>6.75<br>6.75<br>6.75<br>6.75<br>6.75<br>6.75<br>6.75<br>6.75<br>6.75<br>6.75<br>6.75<br>6.75<br>6.75<br>6.75<br>6.75<br>6.75<br>6.75<br>6.75<br>6.75<br>6.75<br>6.75<br>6.75<br>6.75<br>6.75<br>6.75<br>6.75<br>6.75<br>6.75<br>6.75<br>6.75<br>6.75<br>6.75<br>6.75<br>6.75<br>6.75<br>6.75<br>6.75<br>6.75<br>6.75<br>6.75<br>6.75<br>6.75<br>6.75<br>6.75<br>6.75<br>6.75<br>6.75<br>6.75<br>6.75<br>6.75<br>6.75<br>6.75<br>6.75<br>6.75<br>6.75<br>6.75<br>6.75<br>6.75<br>6.75<br>6.75<br>6.75<br>6.75<br>6.75<br>6.75<br>6.75<br>6.75<br>6.75<br>6.75<br>6.75<br>6.75<br>6.75<br>6.75<br>6.75<br>6.75<br>6.75<br>6.75<br>6.75<br>6.75<br>6.75<br>6.75<br>6.75<br>6.75<br>6.75<br>6.75<br>6.75<br>6.75<br>6.75<br>6.75<br>6.75<br>6.75<br>6.75<br>6.75<br>6.75<br>6.75<br>6.75<br>6.75<br>6.75<br>6.75<br>6.75<br>6.75<br>6.75<br>6.75<br>6.75<br>6.75<br>6.75<br>6.75 | 3.65<br>5.37<br>10.22<br>6.36<br>5.59<br>7.13<br>7.13<br>7.13<br>7.13<br>1.37<br>6.36<br>10.94<br>5.08<br>19.51<br>12.58<br>2.02<br>4.71<br>9.94<br>6.99<br>14.44<br>1.36<br>1.36<br>1.36<br>1.36<br>1.36<br>1.36<br>1.36<br>1.36                                                                                                                                                                                                                                                                                                                                                                                                                                                                                                                                                                                                                                                                                                                                                                                                                                                                                                                                                                                                                                                                                                                                                                                                                                                                                                                                                                                                                                                                                                                                                                                                                                                                                                                                                                                                                                                                                                                                                                                                                                                                                                                                                                                                                                                                                                                                                                                                                                                                                                                                                                                                                                                                                                                                                                                                                                                                                                                                                                |
| 195   523   新興國際   20   229   民間   234   文曜日神   234   文曜日神   234   文曜日神   38   521   本事   30   448   海東南田   31   448   海東南田   32   486   月北南東   32   489   548   55   508   南日   175   273   南南東   175   273   南東   175   33   東京   東京   175   33   東京   東京   東京   東京   東京   東京   東京                                                                                                                                                                                                                                                                                                                                                                                                                                                                                                                                                                                                                                                                                                                                                                                                                                                                                                                                                                                                                                                                                                                                                                                                                                                                                                                                                                                                                                                                                                                                                                                               | 4.00<br>1.18<br>0.88<br>1.52<br>9.30<br>1.06<br>3.625<br>1.14<br>0.143<br>3.55<br>4.40<br>0.73<br>1.14<br>4.00<br>1.23<br>6.15<br>3.95<br>0.61<br>2.50<br>0.82<br>8.00<br>1.85<br>1.42<br>0.175<br>0.175<br>0.175<br>0.175<br>0.175                                                                                                                                                                                                                                                                                                                                                                                                                                                                                                                                                                                                                                                                                                                                                                                                                                                                                                                                                                                                                                                                                                                                                                                                                                                                                                                                                                                                                                                                                                                                                                                                                                                                                                                                                                                                                                                                                                                                                                                                                                                                                                                                                                                                                                                                                                                                                                                                                                                                                                                                                                                                    | 1 10<br>0 00<br>1 60<br>1 60<br>1 60<br>0 142<br>3 60<br>4 35<br>0 74<br>1 16<br>3 975<br>1 29<br>3 975<br>0 73<br>2 50<br>0 87<br>8 05<br>1 94<br>1 80<br>0 37<br>4 70<br>7 30<br>7 30<br>7 30<br>7 30<br>7 30<br>7 30<br>7 30<br>7                                                                                                                                                                                                                                                                                                                                                                                           | 0 86<br>1 46<br>1.05<br>3.66<br>9.14<br>3.55<br>9.72<br>1 10<br>3 975<br>1 24<br>3 95<br>0 64<br>8 00<br>1 86<br>1 80<br>0 35<br>0 78<br>1 80<br>0 35<br>0 78<br>1 80<br>0 78<br>0 78<br>0 78<br>0 78<br>0 78<br>0 78<br>0 78<br>0                                                                                                                                                                                                                                                                                                                                                                                                                                                                                                                                                                                                                                                                                                                                                                                                                                                                                                                                                                                                                                                                                                                                                                                                                                                                                                                                                                                                                                                                                                                                                                                                                                                                                                                                                                                                                                                                                                                                                                                                                                                                                                                                                                                                                                                                                                                                                                                                                                                                                                                                                                                                                                                                                                                                                                                                                               | 0 87<br>1.49<br>9 29<br>1 08<br>3 575<br>1.11<br>0.141<br>3 50<br>4 276<br>0 72<br>1 38<br>0 975<br>0 72<br>2 42<br>0 80<br>1 92<br>1 80<br>1 92<br>1 80<br>1 92<br>1 80<br>1 92<br>1 80<br>1 93<br>1 94<br>1 95<br>1 97<br>1 97<br>1 97<br>1 97<br>1 97<br>1 97<br>1 97<br>1 97                                                                                                                                                                                                                                                                                                                                                                                                                                                                                                                                                                                                                                                                                                                                                                                                                                                                                                                                                                                                                                                                                                                                                                                                                                                                                                                                                                                                                                                                                                                                                                                                                                                                                                                                                                                                                                                                                                                                                                                                                                                                                                                                                                                                                                                                                                                                                                                                                                                                                                                                                                                                                                                                                                                                                                                                                                                                                                                | 0 88<br>1 60<br>9 30<br>1 07<br>3 60<br>0 143<br>3 576<br>4 35<br>0 73<br>1 14<br>4 00<br>1 29<br>6 20<br>4 00<br>0 73<br>2 45<br>0 86<br>8 55<br>0 78<br>1 94<br>1 84<br>1 84<br>1 84<br>1 84<br>1 84<br>1 84<br>1 84<br>1 8                                                                                   | 1 19<br>0 67<br>1 49<br>9 30<br>1 07<br>3 576<br>1 14<br>0 141<br>3 576<br>1 28<br>6 15<br>3 976<br>1 28<br>6 15<br>3 976<br>0 45<br>0 45<br>0 46<br>0 47<br>0 | +0.01<br>-0.03<br>-0.03<br>-0.05<br>-0.05<br>-0.05<br>-0.05<br>-0.05<br>-0.05<br>-0.05<br>-0.05<br>-0.05<br>-0.05<br>-0.05<br>-0.05<br>-0.05<br>-0.05<br>-0.05<br>-0.05<br>-0.05<br>-0.05<br>-0.05<br>-0.05<br>-0.05<br>-0.05<br>-0.05<br>-0.05<br>-0.05<br>-0.05<br>-0.05<br>-0.05<br>-0.05<br>-0.05<br>-0.05<br>-0.05<br>-0.05<br>-0.05<br>-0.05<br>-0.05<br>-0.05<br>-0.05<br>-0.05<br>-0.05<br>-0.05<br>-0.05<br>-0.05<br>-0.05<br>-0.05<br>-0.05<br>-0.05<br>-0.05<br>-0.05<br>-0.05<br>-0.05<br>-0.05<br>-0.05<br>-0.05<br>-0.05<br>-0.05<br>-0.05<br>-0.05<br>-0.05<br>-0.05<br>-0.05<br>-0.05<br>-0.05<br>-0.05<br>-0.05<br>-0.05<br>-0.05<br>-0.05<br>-0.05<br>-0.05<br>-0.05<br>-0.05<br>-0.05<br>-0.05<br>-0.05<br>-0.05<br>-0.05<br>-0.05<br>-0.05<br>-0.05<br>-0.05<br>-0.05<br>-0.05<br>-0.05<br>-0.05<br>-0.05<br>-0.05<br>-0.05<br>-0.05<br>-0.05<br>-0.05<br>-0.05<br>-0.05<br>-0.05<br>-0.05<br>-0.05<br>-0.05<br>-0.05<br>-0.05<br>-0.05<br>-0.05<br>-0.05<br>-0.05<br>-0.05<br>-0.05<br>-0.05<br>-0.05<br>-0.05<br>-0.05<br>-0.05<br>-0.05<br>-0.05<br>-0.05<br>-0.05<br>-0.05<br>-0.05<br>-0.05<br>-0.05<br>-0.05<br>-0.05<br>-0.05<br>-0.05<br>-0.05<br>-0.05<br>-0.05<br>-0.05<br>-0.05<br>-0.05<br>-0.05<br>-0.05<br>-0.05<br>-0.05<br>-0.05<br>-0.05<br>-0.05<br>-0.05<br>-0.05<br>-0.05<br>-0.05<br>-0.05<br>-0.05<br>-0.05<br>-0.05<br>-0.05<br>-0.05<br>-0.05<br>-0.05<br>-0.05<br>-0.05<br>-0.05<br>-0.05<br>-0.05<br>-0.05<br>-0.05<br>-0.05<br>-0.05<br>-0.05<br>-0.05<br>-0.05<br>-0.05<br>-0.05<br>-0.05<br>-0.05<br>-0.05<br>-0.05<br>-0.05<br>-0.05<br>-0.05<br>-0.05<br>-0.05<br>-0.05<br>-0.05<br>-0.05<br>-0.05<br>-0.05<br>-0.05<br>-0.05<br>-0.05<br>-0.05<br>-0.05<br>-0.05<br>-0.05<br>-0.05<br>-0.05<br>-0.05<br>-0.05<br>-0.05<br>-0.05<br>-0.05<br>-0.05<br>-0.05<br>-0.05<br>-0.05<br>-0.05<br>-0.05<br>-0.05<br>-0.05<br>-0.05<br>-0.05<br>-0.05<br>-0.05<br>-0.05<br>-0.05<br>-0.05<br>-0.05<br>-0.05<br>-0.05<br>-0.05<br>-0.05<br>-0.05<br>-0.05<br>-0.05<br>-0.05<br>-0.05<br>-0.05<br>-0.05<br>-0.05<br>-0.05<br>-0.05<br>-0.05<br>-0.05<br>-0.05<br>-0.05<br>-0.05<br>-0.05<br>-0.05<br>-0.05<br>-0.05<br>-0.05<br>-0.05<br>-0.05<br>-0.05<br>-0.05<br>-0.05<br>-0.05<br>-0.05<br>-0.05<br>-0.05<br>-0.05<br>-0.05<br>-0.05<br>-0.05<br>-0.05<br>-0.05<br>-0.05<br>-0.05<br>-0.05<br>-0.05<br>-0.05<br>-0.05<br>-0.05<br>-0.05<br>-0.05<br>-0.05<br>-0.05<br>-0.05<br>-0.05<br>-0.05<br>-0.05<br>-0.05<br>-0.05<br>-0.05<br>-0.05<br>-0.05<br>-0.05<br>-0.05<br>-0.05<br>-0.05<br>-0.05<br>-0.05<br>-0.05<br>-0.05<br>-0.05<br>-0.05<br>-0.05<br>-0.05<br>-0.05<br>-0.05<br>-0.05<br>-0.05<br>-0.05<br>-0.05<br>-0.05<br>-0.05<br>-0.05<br>-0.05<br>-0.05<br>-0.05<br>-0.05<br>-0 | 168<br>-83<br>-63<br>-63<br>-74<br>-74<br>-75<br>-105<br>-105<br>-105<br>-105<br>-105<br>-105<br>-106<br>-105<br>-105<br>-105<br>-105<br>-105<br>-105<br>-105<br>-105  | 362,000<br>2,594,000<br>303,000<br>7,774,400<br>180,000<br>10,000<br>1,286,000<br>4,004,800<br>10,000<br>5,796,000<br>4,774,000<br>6,060,000<br>210,500<br>7,74,000<br>6,060,000<br>210,500<br>7,74,000<br>1,72,50<br>5,000<br>49,50,000<br>1,73,000<br>1,73,000<br>1,73,000<br>1,73,000                                                                                                                                                                                                                                                                                                                                                                                                                                                                                                                                                                                                                                                                                                                                                                                                                                                                                                                                                                                                                                                                                                                                                                                                                                                                                                                                                                                                                                                                                                                                                                                                                                                                                                                                                                                                                                                                                                                                                                                                                                                                                                                                                                                                                                                                                                                                                                                                                                                                                                                                                                                                                                                                                                                                      | 428,400<br>2269,100<br>451,540<br>1,563,250<br>2,563,250<br>329,142<br>643,600<br>43,500<br>43,500<br>43,500<br>7,355,460<br>7,355,460<br>1,206,750<br>1,206,750<br>1,206,750<br>1,206,750<br>1,206,750<br>1,206,750<br>1,206,750<br>1,206,750<br>1,206,750<br>1,206,750<br>1,206,750<br>1,206,750<br>1,206,750<br>1,206,750<br>1,206,750<br>1,206,750<br>1,206,750<br>1,206,750<br>1,206,750<br>1,206,750<br>1,206,750<br>1,206,750<br>1,206,750<br>1,206,750<br>1,206,750<br>1,206,750<br>1,206,750<br>1,206,750<br>1,206,750<br>1,206,750<br>1,206,750<br>1,206,750<br>1,206,750<br>1,206,750<br>1,206,750<br>1,206,750<br>1,206,750<br>1,206,750<br>1,206,750<br>1,206,750<br>1,206,750<br>1,206,750<br>1,206,750<br>1,206,750<br>1,206,750<br>1,206,750<br>1,206,750<br>1,206,750<br>1,206,750<br>1,206,750<br>1,206,750<br>1,206,750<br>1,206,750<br>1,206,750<br>1,206,750<br>1,206,750<br>1,206,750<br>1,206,750<br>1,206,750<br>1,206,750<br>1,206,750<br>1,206,750<br>1,206,750<br>1,206,750<br>1,206,750<br>1,206,750<br>1,206,750<br>1,206,750<br>1,206,750<br>1,206,750<br>1,206,750<br>1,206,750<br>1,206,750<br>1,206,750<br>1,206,750<br>1,206,750<br>1,206,750<br>1,206,750<br>1,206,750<br>1,206,750<br>1,206,750<br>1,206,750<br>1,206,750<br>1,206,750<br>1,206,750<br>1,206,750<br>1,206,750<br>1,206,750<br>1,206,750<br>1,206,750<br>1,206,750<br>1,206,750<br>1,206,750<br>1,206,750<br>1,206,750<br>1,206,750<br>1,206,750<br>1,206,750<br>1,206,750<br>1,206,750<br>1,206,750<br>1,206,750<br>1,206,750<br>1,206,750<br>1,206,750<br>1,206,750<br>1,206,750<br>1,206,750<br>1,206,750<br>1,206,750<br>1,206,750<br>1,206,750<br>1,206,750<br>1,206,750<br>1,206,750<br>1,206,750<br>1,206,750<br>1,206,750<br>1,206,750<br>1,206,750<br>1,206,750<br>1,206,750<br>1,206,750<br>1,206,750<br>1,206,750<br>1,206,750<br>1,206,750<br>1,206,750<br>1,206,750<br>1,206,750<br>1,206,750<br>1,206,750<br>1,206,750<br>1,206,750<br>1,206,750<br>1,206,750<br>1,206,750<br>1,206,750<br>1,206,750<br>1,206,750<br>1,206,750<br>1,206,750<br>1,206,750<br>1,206,750<br>1,206,750<br>1,206,750<br>1,206,750<br>1,206,750<br>1,206,750<br>1,206,750<br>1,206,750<br>1,206,750<br>1,206,750<br>1,206,750<br>1,206,750<br>1,206,750<br>1,206,750<br>1,206,750<br>1,206,750<br>1,206,750<br>1,206,750<br>1,206,750<br>1,206,750<br>1,206,750<br>1,206,750<br>1,206,750<br>1,206,750<br>1,206,750<br>1,206,750<br>1,206,750<br>1,206,750<br>1,206,750<br>1,206,750<br>1,206,750<br>1,206,750<br>1,206,7                                                                                 | 0 40<br>0 30<br>0 30<br>0 36<br>0 36<br>0 39<br>0 05<br>1 22<br>0 05<br>1 35<br>0 26<br>0 26<br>0 26<br>0 27<br>0 38<br>1 35<br>0 26<br>0 26<br>0 27<br>0 38<br>1 35<br>0 26<br>0 38<br>1 35<br>0 44<br>2 36<br>0 12<br>1 36<br>0 2 4<br>0 36<br>1 37<br>0 38<br>1 35<br>0 44<br>1 35<br>0 44<br>1 35<br>0 44<br>1 35<br>0 46<br>1 36<br>0 12<br>1 36<br>0 13<br>0 13<br>0 13<br>0 13<br>0 14<br>0 15<br>0 16<br>0 16  | 561<br>580<br>880<br>669<br>703<br>704<br>673<br>673<br>673<br>675<br>531<br>548<br>10.93<br>304<br>813<br>734<br>594<br>347<br>570<br>594<br>347<br>570<br>673<br>675<br>675<br>675<br>675<br>675<br>675<br>675<br>675                                                                                                                                                                                                                                                                                                                                                                                                                                                                                                                                                                                                                                                                                                                                                                                                                                                                                                                                                                                                                                                                                                                                                                                                                                                                                                                                                                                                                                                                                                                                                                                                                                                                                                                                                                                                                                                                                                                                                                                                                                                                                                                                                                                                                                                                                                                                                                                                                                                                                                                                                                                                                   | 3.65<br>5.37<br>10.22<br>6.36<br>5.59<br>7.13<br>7.13<br>7.13<br>7.13<br>1.37<br>6.36<br>10.94<br>5.08<br>19.51<br>12.58<br>2.02<br>4.71<br>9.94<br>6.99<br>14.44<br>1.36<br>1.36<br>1.36<br>1.36<br>1.36<br>1.36<br>1.36<br>1.36                                                                                                                                                                                                                                                                                                                                                                                                                                                                                                                                                                                                                                                                                                                                                                                                                                                                                                                                                                                                                                                                                                                                                                                                                                                                                                                                                                                                                                                                                                                                                                                                                                                                                                                                                                                                                                                                                                                                                                                                                                                                                                                                                                                                                                                                                                                                                                                                                                                                                                                                                                                                                                                                                                                                                                                                                                                                                                                                                                |
| 229                                                                                                                                                                                                                                                                                                                                                                                                                                                                                                                                                                                                                                                                                                                                                                                                                                                                                                                                                                                                                                                                                                                                                                                                                                                                                                                                                                                                                                                                                                                                                                                                                                                                                                                                                                                                                                                                                                                                                                                                                                                                                                                          | 4.00<br>1.18<br>0.69<br>1.57<br>9.30<br>1.06<br>3.625<br>1.14<br>0.143<br>3.55<br>4.40<br>0.73<br>1.14<br>4.00<br>1.23<br>6.15<br>3.95<br>0.61<br>2.50<br>0.82<br>8.00<br>1.85<br>1.42<br>0.175<br>1.63<br>1.63<br>1.63<br>1.63<br>1.63<br>1.63<br>1.63<br>1.63<br>1.63<br>1.63<br>1.63<br>1.63<br>1.63<br>1.63<br>1.63<br>1.63<br>1.63<br>1.63<br>1.63<br>1.63<br>1.63<br>1.63<br>1.63<br>1.63<br>1.63<br>1.63<br>1.63<br>1.63<br>1.63<br>1.63<br>1.63<br>1.63<br>1.63<br>1.63<br>1.63<br>1.63<br>1.63<br>1.63<br>1.63<br>1.63<br>1.63<br>1.63<br>1.63<br>1.63<br>1.63<br>1.63<br>1.63<br>1.63<br>1.63<br>1.63<br>1.63<br>1.63<br>1.63<br>1.63<br>1.63<br>1.63<br>1.63<br>1.63<br>1.63<br>1.63<br>1.63<br>1.63<br>1.63<br>1.63<br>1.63<br>1.63<br>1.63<br>1.63<br>1.63<br>1.63<br>1.63<br>1.63<br>1.63<br>1.63<br>1.63<br>1.63<br>1.63<br>1.63<br>1.63<br>1.63<br>1.63<br>1.63<br>1.63<br>1.63<br>1.63<br>1.63<br>1.63<br>1.63<br>1.63<br>1.63<br>1.63<br>1.63<br>1.63<br>1.63<br>1.63<br>1.63<br>1.63<br>1.63<br>1.63<br>1.63<br>1.63<br>1.63<br>1.63<br>1.63<br>1.63<br>1.63<br>1.63<br>1.63<br>1.63<br>1.63<br>1.63<br>1.63<br>1.63<br>1.63<br>1.63<br>1.63<br>1.63<br>1.63<br>1.63<br>1.63<br>1.63<br>1.63<br>1.63<br>1.63<br>1.63<br>1.63<br>1.63<br>1.63<br>1.63<br>1.63<br>1.63<br>1.63<br>1.63<br>1.63<br>1.63<br>1.63<br>1.63<br>1.63<br>1.63<br>1.63<br>1.63<br>1.63<br>1.63<br>1.63<br>1.63<br>1.63<br>1.63<br>1.63<br>1.63<br>1.63<br>1.63<br>1.63<br>1.63<br>1.63<br>1.63<br>1.63<br>1.63<br>1.63<br>1.63<br>1.63<br>1.63<br>1.63<br>1.63<br>1.63<br>1.63<br>1.63<br>1.63<br>1.63<br>1.63<br>1.63<br>1.63<br>1.63<br>1.63<br>1.63<br>1.63<br>1.63<br>1.63<br>1.63<br>1.63<br>1.63<br>1.63<br>1.63<br>1.63<br>1.63<br>1.63<br>1.63<br>1.63<br>1.63<br>1.63<br>1.63<br>1.63<br>1.63<br>1.63<br>1.63<br>1.63<br>1.63<br>1.63<br>1.63<br>1.63<br>1.63<br>1.63<br>1.63<br>1.63<br>1.63<br>1.63<br>1.63<br>1.63<br>1.63<br>1.63<br>1.63<br>1.63<br>1.63<br>1.63<br>1.63<br>1.63<br>1.63<br>1.63<br>1.63<br>1.63<br>1.63<br>1.63<br>1.63<br>1.63<br>1.63<br>1.63<br>1.63<br>1.63<br>1.63<br>1.63<br>1.63<br>1.63<br>1.63<br>1.63<br>1.63<br>1.63<br>1.63<br>1.63<br>1.63<br>1.63<br>1.63<br>1.63<br>1.63<br>1.63<br>1.63<br>1.63<br>1.63<br>1.63<br>1.63<br>1.63<br>1.63<br>1.63<br>1.63<br>1.63<br>1.63<br>1.63<br>1.63<br>1.63<br>1.63<br>1.63<br>1.63<br>1.63<br>1.63<br>1.63<br>1.63<br>1.63<br>1.63<br>1.63<br>1.63<br>1.63<br>1.63<br>1.63<br>1.63<br>1.63<br>1.63<br>1.63<br>1.63<br>1.63<br>1.63<br>1.63<br>1.63<br>1.63<br>1.63<br>1.63<br>1.63<br>1.63<br>1.63<br>1.63<br>1.63<br>1.63<br>1.63<br>1.63<br>1.63<br>1.63<br>1.63<br>1.63<br>1.63<br>1.63<br>1.63<br>1.63<br>1.63<br>1.63<br>1.63<br>1.63<br>1.63<br>1.63<br>1.63<br>1.63<br>1.63<br>1.63<br>1.63<br>1.63<br>1.63<br>1.63<br>1.63<br>1.63<br>1.63<br>1.6 | 1 10<br>0 00<br>1 60<br>1 60<br>1 60<br>0 142<br>3 60<br>4 35<br>0 74<br>1 16<br>3 975<br>1 29<br>0 73<br>2 50<br>0 87<br>8 05<br>1 94<br>1 80<br>0 37<br>0 37<br>0 37<br>0 37<br>0 37<br>0 37<br>0 37<br>0 3                                                                                                                                                                                                                                                                                                                                                                                                                  | 0.86<br>1.46<br>1.05<br>3.66<br>0.14<br>3.55<br>0.72<br>1.10<br>0.14<br>3.55<br>0.72<br>1.10<br>0.15<br>0.14<br>3.55<br>0.72<br>1.24<br>0.64<br>8.00<br>0.18<br>0.18<br>0.18<br>0.18<br>0.18<br>0.18<br>0.18                                                                                                                                                                                                                                                                                                                                                                                                                                                                                                                                                                                                                                                                                                                                                                                                                                                                                                                                                                                                                                                                                                                                                                                                                                                                                                                                                                                                                                                                                                                                                                                                                                                                                                                                                                                                                                                                                                                                                                                                                                                                                                                                                                                                                                                                                                                                                                                                                                                                                                                                                                                                                                                                                                                                                                                                                                                                                                                                                                                     | 0 87<br>1.49<br>9 29<br>1 08<br>3 575<br>1.11<br>9 10<br>1 28<br>0 72<br>1 3 975<br>1 28<br>0 975<br>0 72<br>2 42<br>0 80<br>1 92<br>1 80<br>1 80<br>1 80<br>1 80<br>1 80<br>1 80<br>1 80<br>1 80                                                                                                                                                                                                                                                                                                                                                                                                                                                                                                                                                                                                                                                                                                                                                                                                                                                                                                                                                                                                                                                                                                                                                                                                                                                                                                                                                                                                                                                                                                                                                                                                                                                                                                                                                                                                                                                                                                                                                                                                                                                                                                                                                                                                                                                                                                                                                                                                                                                                                                                                                                                                                                                                                                                                                                                                                                                                                                                                                                                               | 0 88<br>1 60<br>9 30<br>1 07<br>3 60<br>0 143<br>4 35<br>0 73<br>1 14<br>0 00<br>1 29<br>0 0 73<br>2 45<br>0 86<br>0 80<br>1 94<br>1 84<br>1 84<br>1 85<br>0 76<br>1 94<br>1 84<br>1 85<br>0 76<br>1 94<br>1 84<br>1 85<br>0 76<br>1 96<br>0 76<br>1 97<br>1 97<br>1 97<br>1 97<br>1 97<br>1 97<br>1 97<br>1 97 | 1 19<br>0 67<br>1 49<br>9 30<br>1 07<br>3 576<br>1 14<br>0 141<br>3 576<br>1 28<br>6 15<br>3 97<br>1 28<br>6 15<br>3 97<br>0 73<br>2 45<br>0 85<br>0 91<br>1 80<br>0 78<br>1 90<br>1 9 | +0.01<br>-0.03<br>-0.03<br>-0.05<br>-0.05<br>-0.05<br>-0.05<br>-0.05<br>-0.05<br>-0.05<br>-0.05<br>-0.05<br>-0.05<br>-0.05<br>-0.05<br>-0.05<br>-0.05<br>-0.05<br>-0.05<br>-0.05<br>-0.05<br>-0.05<br>-0.05<br>-0.05<br>-0.05<br>-0.05<br>-0.05<br>-0.05<br>-0.05<br>-0.05<br>-0.05<br>-0.05<br>-0.05<br>-0.05<br>-0.05<br>-0.05<br>-0.05<br>-0.05<br>-0.05<br>-0.05<br>-0.05<br>-0.05<br>-0.05<br>-0.05<br>-0.05<br>-0.05<br>-0.05<br>-0.05<br>-0.05<br>-0.05<br>-0.05<br>-0.05<br>-0.05<br>-0.05<br>-0.05<br>-0.05<br>-0.05<br>-0.05<br>-0.05<br>-0.05<br>-0.05<br>-0.05<br>-0.05<br>-0.05<br>-0.05<br>-0.05<br>-0.05<br>-0.05<br>-0.05<br>-0.05<br>-0.05<br>-0.05<br>-0.05<br>-0.05<br>-0.05<br>-0.05<br>-0.05<br>-0.05<br>-0.05<br>-0.05<br>-0.05<br>-0.05<br>-0.05<br>-0.05<br>-0.05<br>-0.05<br>-0.05<br>-0.05<br>-0.05<br>-0.05<br>-0.05<br>-0.05<br>-0.05<br>-0.05<br>-0.05<br>-0.05<br>-0.05<br>-0.05<br>-0.05<br>-0.05<br>-0.05<br>-0.05<br>-0.05<br>-0.05<br>-0.05<br>-0.05<br>-0.05<br>-0.05<br>-0.05<br>-0.05<br>-0.05<br>-0.05<br>-0.05<br>-0.05<br>-0.05<br>-0.05<br>-0.05<br>-0.05<br>-0.05<br>-0.05<br>-0.05<br>-0.05<br>-0.05<br>-0.05<br>-0.05<br>-0.05<br>-0.05<br>-0.05<br>-0.05<br>-0.05<br>-0.05<br>-0.05<br>-0.05<br>-0.05<br>-0.05<br>-0.05<br>-0.05<br>-0.05<br>-0.05<br>-0.05<br>-0.05<br>-0.05<br>-0.05<br>-0.05<br>-0.05<br>-0.05<br>-0.05<br>-0.05<br>-0.05<br>-0.05<br>-0.05<br>-0.05<br>-0.05<br>-0.05<br>-0.05<br>-0.05<br>-0.05<br>-0.05<br>-0.05<br>-0.05<br>-0.05<br>-0.05<br>-0.05<br>-0.05<br>-0.05<br>-0.05<br>-0.05<br>-0.05<br>-0.05<br>-0.05<br>-0.05<br>-0.05<br>-0.05<br>-0.05<br>-0.05<br>-0.05<br>-0.05<br>-0.05<br>-0.05<br>-0.05<br>-0.05<br>-0.05<br>-0.05<br>-0.05<br>-0.05<br>-0.05<br>-0.05<br>-0.05<br>-0.05<br>-0.05<br>-0.05<br>-0.05<br>-0.05<br>-0.05<br>-0.05<br>-0.05<br>-0.05<br>-0.05<br>-0.05<br>-0.05<br>-0.05<br>-0.05<br>-0.05<br>-0.05<br>-0.05<br>-0.05<br>-0.05<br>-0.05<br>-0.05<br>-0.05<br>-0.05<br>-0.05<br>-0.05<br>-0.05<br>-0.05<br>-0.05<br>-0.05<br>-0.05<br>-0.05<br>-0.05<br>-0.05<br>-0.05<br>-0.05<br>-0.05<br>-0.05<br>-0.05<br>-0.05<br>-0.05<br>-0.05<br>-0.05<br>-0.05<br>-0.05<br>-0.05<br>-0.05<br>-0.05<br>-0.05<br>-0.05<br>-0.05<br>-0.05<br>-0.05<br>-0.05<br>-0.05<br>-0.05<br>-0.05<br>-0.05<br>-0.05<br>-0.05<br>-0.05<br>-0.05<br>-0.05<br>-0.05<br>-0.05<br>-0.05<br>-0.05<br>-0.05<br>-0.05<br>-0.05<br>-0.05<br>-0.05<br>-0.05<br>-0.05<br>-0.05<br>-0.05<br>-0.05<br>-0.05<br>-0.05<br>-0.05<br>-0.05<br>-0.05<br>-0.05<br>-0.05<br>-0.05<br>-0.05<br>-0.05<br>-0.05<br>-0.05<br>-0.05<br>-0.05<br>-0.05<br>-0.05<br>-0.05<br>-0.05<br>-0.05<br>-0.05<br>-0.05<br>-0.05<br>-0.05<br>-0.05<br>-0.05<br>-0.05<br>-0.05<br>-0.05<br>-0 | 168<br>-83<br>-53<br>-74<br>-74<br>-75<br>-175<br>-185<br>-180<br>-184<br>-184<br>-184<br>-184<br>-186<br>-184<br>-184<br>-184<br>-184<br>-184<br>-184<br>-184<br>-184 | 362,000<br>2,594,000<br>303,000<br>7,774,400<br>180,000<br>10,000<br>1,286,000<br>4,004,800<br>10,000<br>5,796,000<br>450,000<br>450,000<br>49,50,000<br>1,74,000<br>1,74,000<br>49,50,000<br>1,74,000<br>1,74,000<br>1,74,000<br>1,74,000<br>1,74,000<br>1,74,000<br>1,74,000<br>1,74,000<br>1,74,000<br>1,74,000<br>1,74,000<br>1,74,000<br>1,74,000<br>1,74,000<br>1,74,000<br>1,74,000<br>1,74,000<br>1,74,000<br>1,74,000<br>1,74,000<br>1,74,000<br>1,74,000<br>1,74,000<br>1,74,000<br>1,74,000<br>1,74,000<br>1,74,000<br>1,74,000<br>1,74,000<br>1,74,000<br>1,74,000<br>1,74,000<br>1,74,000<br>1,74,000<br>1,74,000<br>1,74,000<br>1,74,000<br>1,74,000<br>1,74,000<br>1,74,000<br>1,74,000                                                                                                                                                                                                                                                                                                                                                                                                                                                                                                                                                                                                                                                                                                                                                                                                                                                                                                                                                                                                                                                                                                                                                                                                                                                                                                                                                                                                                                                                                                                                                                                                                                                                                                                                                                                                                                                                                                                                                                                                                                                                                                                                                                                                                                                                                                                        | 428,400<br>2269,100<br>451,540<br>1,563,250<br>329,142<br>643,600<br>43,500<br>936,460<br>43,500<br>936,460<br>1,355,460<br>1,355,460<br>1,365,460<br>1,365,460<br>1,436,650<br>1,436,650<br>1,436,650<br>1,436,650<br>1,436,650<br>1,436,650<br>1,436,650<br>1,436,650<br>1,436,650<br>1,436,650<br>1,436,650<br>1,436,650<br>1,436,650<br>1,436,650<br>1,436,650<br>1,436,650<br>1,436,650<br>1,436,650<br>1,436,650<br>1,436,650<br>1,436,650<br>1,436,650<br>1,436,650<br>1,436,650<br>1,436,650<br>1,436,650<br>1,436,650<br>1,436,650<br>1,436,650<br>1,436,650<br>1,436,650<br>1,436,650<br>1,436,650<br>1,436,650<br>1,436,650<br>1,436,650<br>1,436,650<br>1,436,650<br>1,436,650<br>1,436,650<br>1,436,650<br>1,436,650<br>1,436,650<br>1,436,650<br>1,436,650<br>1,436,650<br>1,436,650<br>1,436,650<br>1,436,650<br>1,436,650<br>1,436,650<br>1,436,650<br>1,436,650<br>1,436,650<br>1,436,650<br>1,436,650<br>1,436,650<br>1,436,650<br>1,436,650<br>1,436,650<br>1,436,650<br>1,436,650<br>1,436,650<br>1,436,650<br>1,436,650<br>1,436,650<br>1,436,650<br>1,436,650<br>1,436,650<br>1,436,650<br>1,436,650<br>1,436,650<br>1,436,650<br>1,436,650<br>1,436,650<br>1,436,650<br>1,436,650<br>1,436,650<br>1,436,650<br>1,436,650<br>1,436,650<br>1,436,650<br>1,436,650<br>1,436,650<br>1,436,650<br>1,436,650<br>1,436,650<br>1,436,650<br>1,436,650<br>1,436,650<br>1,436,650<br>1,436,650<br>1,436,650<br>1,436,650<br>1,436,650<br>1,436,650<br>1,436,650<br>1,436,650<br>1,436,650<br>1,436,650<br>1,436,650<br>1,436,650<br>1,436,650<br>1,436,650<br>1,436,650<br>1,436,650<br>1,436,650<br>1,436,650<br>1,436,650<br>1,436,650<br>1,436,650<br>1,436,650<br>1,436,650<br>1,436,650<br>1,436,650<br>1,436,650<br>1,436,650<br>1,436,650<br>1,436,650<br>1,436,650<br>1,436,650<br>1,436,650<br>1,436,650<br>1,436,650<br>1,436,650<br>1,436,650<br>1,436,650<br>1,436,650<br>1,436,650<br>1,436,650<br>1,436,650<br>1,436,650<br>1,436,650<br>1,436,650<br>1,436,650<br>1,436,650<br>1,436,650<br>1,436,650<br>1,436,650<br>1,436,650<br>1,436,650<br>1,436,650<br>1,436,650<br>1,436,650<br>1,436,650<br>1,436,650<br>1,436,650<br>1,436,650<br>1,436,650<br>1,436,650<br>1,436,650<br>1,436,650<br>1,436,650<br>1,436,650<br>1,436,650<br>1,436,650<br>1,436,650<br>1,436,650<br>1,436,650<br>1,436,650<br>1,436,650<br>1,436,650<br>1,436,650<br>1,436,650<br>1,436,650<br>1,436,650<br>1,436,650<br>1,436,650<br>1,436,650<br>1,436,650<br>1,436,650<br>1,436,650<br>1,436,650<br>1,436,65                                                                                 | 0 40<br>0 30<br>0 30<br>0 36<br>0 36<br>0 39<br>0 05<br>1 22<br>0 05<br>1 35<br>0 26<br>0 26<br>0 27<br>0 38<br>1 35<br>0 26<br>0 27<br>0 36<br>1 35<br>0 26<br>0 27<br>1 35<br>0 26<br>1 35<br>0 27<br>1 35<br>0 27<br>1 35<br>0 26<br>1 36<br>0 37<br>1 37<br>1 37<br>1 38<br>1 36<br>1 36   | 561<br>580<br>880<br>669<br>793<br>704<br>673<br>673<br>675<br>531<br>548<br>10.93<br>3.04<br>8.13<br>7.34<br>5.94<br>3.47<br>9.70<br>11.03<br>11.03<br>11.03<br>11.03<br>12.49                                                                                                                                                                                                                                                                                                                                                                                                                                                                                                                                                                                                                                                                                                                                                                                                                                                                                                                                                                                                                                                                                                                                                                                                                                                                                                                                                                                                                                                                                                                                                                                                                                                                                                                                                                                                                                                                                                                                                                                                                                                                                                                                                                                                                                                                                                                                                                                                                                                                                                                                                                                                                                                           | 3.65<br>5.37<br>10.22<br>6.36<br>5.59<br>7.13<br>7.13<br>7.13<br>7.13<br>1.37<br>6.36<br>10.94<br>5.08<br>19.51<br>12.58<br>2.02<br>4.71<br>9.94<br>6.99<br>4.44<br>1.46<br>1.46<br>1.46<br>1.46<br>1.46<br>1.46<br>1.46                                                                                                                                                                                                                                                                                                                                                                                                                                                                                                                                                                                                                                                                                                                                                                                                                                                                                                                                                                                                                                                                                                                                                                                                                                                                                                                                                                                                                                                                                                                                                                                                                                                                                                                                                                                                                                                                                                                                                                                                                                                                                                                                                                                                                                                                                                                                                                                                                                                                                                                                                                                                                                                                                                                                                                                                                                                                                                                                                                         |
| 29                                                                                                                                                                                                                                                                                                                                                                                                                                                                                                                                                                                                                                                                                                                                                                                                                                                                                                                                                                                                                                                                                                                                                                                                                                                                                                                                                                                                                                                                                                                                                                                                                                                                                                                                                                                                                                                                                                                                                                                                                                                                                                                           | 4.00<br>1.18<br>0.68<br>1.52<br>9.30<br>1.06<br>3.625<br>1.14<br>0.143<br>3.55<br>4.40<br>0.73<br>1.14<br>4.00<br>1.23<br>6.16<br>3.95<br>0.61<br>2.50<br>0.82<br>8.00<br>1.85<br>1.42<br>0.175<br>0.175<br>0.175<br>0.175                                                                                                                                                                                                                                                                                                                                                                                                                                                                                                                                                                                                                                                                                                                                                                                                                                                                                                                                                                                                                                                                                                                                                                                                                                                                                                                                                                                                                                                                                                                                                                                                                                                                                                                                                                                                                                                                                                                                                                                                                                                                                                                                                                                                                                                                                                                                                                                                                                                                                                                                                                                                             | 1 10<br>0 00<br>1 60<br>1 60<br>1 60<br>0 142<br>8 60<br>4 35<br>0 74<br>1 16<br>3 975<br>0 73<br>2 50<br>0 87<br>8 05<br>1 94<br>1 80<br>0 37<br>0 87<br>0 87<br>0 87<br>0 87<br>1 80<br>0 73<br>2 80<br>0 73<br>0 73<br>0 73<br>0 73<br>0 73<br>0 73<br>0 74<br>0 75<br>0 75<br>0 75<br>0 75<br>0 75<br>0 75<br>0 75<br>0 75 | 0.86<br>1.46<br>1.05<br>3.66<br>9.14<br>3.55<br>0.72<br>1.10<br>0.975<br>1.24<br>0.64<br>0.65<br>0.75<br>0.86<br>0.86<br>0.86<br>0.86<br>0.86<br>0.86<br>0.86<br>0.86                                                                                                                                                                                                                                                                                                                                                                                                                                                                                                                                                                                                                                                                                                                                                                                                                                                                                                                                                                                                                                                                                                                                                                                                                                                                                                                                                                                                                                                                                                                                                                                                                                                                                                                                                                                                                                                                                                                                                                                                                                                                                                                                                                                                                                                                                                                                                                                                                                                                                                                                                                                                                                                                                                                                                                                                                                                                                                                                                                                                                            | 0 87<br>1.49<br>9 29<br>1 06<br>3 575<br>1.11<br>3 50<br>4 276<br>0 72<br>1 3 975<br>1 28<br>0 975<br>0 72<br>2 42<br>0 84<br>0 1 92<br>1 855<br>1 | 0 88<br>1 60<br>9 30<br>1 07<br>3 60<br>0 143<br>3 576<br>4 35<br>0 73<br>1 14<br>4 00<br>1 29<br>6 20<br>6 20<br>6 20<br>6 20<br>6 20<br>6 20<br>7 3<br>8 5<br>5<br>6 7<br>8 6<br>7 8<br>7 8<br>7 8<br>7 8<br>7 8<br>7 8<br>7 8<br>7 8<br>7 8<br>7 8                                                           | 1 19<br>0 67<br>1 49<br>9 30<br>1 07<br>3 576<br>1 14<br>0 141<br>3 576<br>1 28<br>1 3 6<br>1 3 7<br>1                                                                                        | +0.01<br>-0.03<br>-0.03<br>-0.05<br>-0.05<br>-0.05<br>-0.05<br>-0.05<br>-0.05<br>-0.05<br>-0.05<br>-0.05<br>-0.05<br>-0.05<br>-0.05<br>-0.05<br>-0.05<br>-0.05<br>-0.05<br>-0.05<br>-0.05<br>-0.05<br>-0.05<br>-0.05<br>-0.05<br>-0.05<br>-0.05<br>-0.05<br>-0.05<br>-0.05<br>-0.05<br>-0.05<br>-0.05<br>-0.05<br>-0.05<br>-0.05<br>-0.05<br>-0.05<br>-0.05<br>-0.05<br>-0.05<br>-0.05<br>-0.05<br>-0.05<br>-0.05<br>-0.05<br>-0.05<br>-0.05<br>-0.05<br>-0.05<br>-0.05<br>-0.05<br>-0.05<br>-0.05<br>-0.05<br>-0.05<br>-0.05<br>-0.05<br>-0.05<br>-0.05<br>-0.05<br>-0.05<br>-0.05<br>-0.05<br>-0.05<br>-0.05<br>-0.05<br>-0.05<br>-0.05<br>-0.05<br>-0.05<br>-0.05<br>-0.05<br>-0.05<br>-0.05<br>-0.05<br>-0.05<br>-0.05<br>-0.05<br>-0.05<br>-0.05<br>-0.05<br>-0.05<br>-0.05<br>-0.05<br>-0.05<br>-0.05<br>-0.05<br>-0.05<br>-0.05<br>-0.05<br>-0.05<br>-0.05<br>-0.05<br>-0.05<br>-0.05<br>-0.05<br>-0.05<br>-0.05<br>-0.05<br>-0.05<br>-0.05<br>-0.05<br>-0.05<br>-0.05<br>-0.05<br>-0.05<br>-0.05<br>-0.05<br>-0.05<br>-0.05<br>-0.05<br>-0.05<br>-0.05<br>-0.05<br>-0.05<br>-0.05<br>-0.05<br>-0.05<br>-0.05<br>-0.05<br>-0.05<br>-0.05<br>-0.05<br>-0.05<br>-0.05<br>-0.05<br>-0.05<br>-0.05<br>-0.05<br>-0.05<br>-0.05<br>-0.05<br>-0.05<br>-0.05<br>-0.05<br>-0.05<br>-0.05<br>-0.05<br>-0.05<br>-0.05<br>-0.05<br>-0.05<br>-0.05<br>-0.05<br>-0.05<br>-0.05<br>-0.05<br>-0.05<br>-0.05<br>-0.05<br>-0.05<br>-0.05<br>-0.05<br>-0.05<br>-0.05<br>-0.05<br>-0.05<br>-0.05<br>-0.05<br>-0.05<br>-0.05<br>-0.05<br>-0.05<br>-0.05<br>-0.05<br>-0.05<br>-0.05<br>-0.05<br>-0.05<br>-0.05<br>-0.05<br>-0.05<br>-0.05<br>-0.05<br>-0.05<br>-0.05<br>-0.05<br>-0.05<br>-0.05<br>-0.05<br>-0.05<br>-0.05<br>-0.05<br>-0.05<br>-0.05<br>-0.05<br>-0.05<br>-0.05<br>-0.05<br>-0.05<br>-0.05<br>-0.05<br>-0.05<br>-0.05<br>-0.05<br>-0.05<br>-0.05<br>-0.05<br>-0.05<br>-0.05<br>-0.05<br>-0.05<br>-0.05<br>-0.05<br>-0.05<br>-0.05<br>-0.05<br>-0.05<br>-0.05<br>-0.05<br>-0.05<br>-0.05<br>-0.05<br>-0.05<br>-0.05<br>-0.05<br>-0.05<br>-0.05<br>-0.05<br>-0.05<br>-0.05<br>-0.05<br>-0.05<br>-0.05<br>-0.05<br>-0.05<br>-0.05<br>-0.05<br>-0.05<br>-0.05<br>-0.05<br>-0.05<br>-0.05<br>-0.05<br>-0.05<br>-0.05<br>-0.05<br>-0.05<br>-0.05<br>-0.05<br>-0.05<br>-0.05<br>-0.05<br>-0.05<br>-0.05<br>-0.05<br>-0.05<br>-0.05<br>-0.05<br>-0.05<br>-0.05<br>-0.05<br>-0.05<br>-0.05<br>-0.05<br>-0.05<br>-0.05<br>-0.05<br>-0.05<br>-0.05<br>-0.05<br>-0.05<br>-0.05<br>-0.05<br>-0.05<br>-0.05<br>-0.05<br>-0.05<br>-0.05<br>-0.05<br>-0.05<br>-0.05<br>-0.05<br>-0.05<br>-0.05<br>-0.05<br>-0.05<br>-0.05<br>-0.05<br>-0.05<br>-0.05<br>-0.05<br>-0.05<br>-0.05<br>-0.05<br>-0.05<br>-0.05<br>-0.05<br>-0.05<br>-0.05<br>-0.05<br>-0 | 168<br>-83<br>-63<br>-74<br>-74<br>-75<br>-175<br>-105<br>-105<br>-105<br>-105<br>-105<br>-105<br>-105<br>-10                                                          | 362,000<br>2,594,000<br>303,000<br>7,774,400<br>10,000<br>10,000<br>10,000<br>10,000<br>4,004,800<br>4,004,800<br>10,000<br>5,796,000<br>4,107,50<br>5,000<br>49,100,000<br>210,500<br>7,147,50<br>5,000<br>49,100,000<br>1,12,50<br>1,12,50<br>5,000<br>49,100,000<br>1,12,50<br>1,12,50<br>1,13,000<br>1,13,000<br>1,13,000<br>1,13,000<br>1,13,000<br>1,13,000<br>1,13,000<br>1,13,000<br>1,13,000<br>1,13,000<br>1,13,000<br>1,13,000                                                                                                                                                                                                                                                                                                                                                                                                                                                                                                                                                                                                                                                                                                                                                                                                                                                                                                                                                                                                                                                                                                                                                                                                                                                                                                                                                                                                                                                                                                                                                                                                                                                                                                                                                                                                                                                                                                                                                                                                                                                                                                                                                                                                                                                                                                                                                                                                                                                                                                                                                                                     | 428,400 2269,100 451,540 451,540 451,540 451,540 451,540 451,540 451,540 451,540 451,540 451,540 451,540 451,540 451,540 451,541 661,541 661,541 661,541 661,541 661,541 661,541 661,541 661,541 661,541 661,541 661,541 661,541 661,541 661,541 661,541 661,541 661,541 661,541 661,541 661,541 661,541 661,541 661,541 661,541 661,541 661,541 661,541 661,541 661,541 661,541 661,541 661,541 661,541 661,541 661,541 661,541 661,541 661,541 661,541 661,541 661,541 661,541 661,541 661,541 661,541 661,541 661,541 661,541 661,541 661,541 661,541 661,541 661,541 661,541 661,541 661,541 661,541 661,541 661,541 661,541 661,541 661,541 661,541 661,541 661,541 661,541 661,541 661,541 661,541 661,541 661,541 661,541 661,541 661,541 661,541 661,541 661,541 661,541 661,541 661,541 661,541 661,541 661,541 661,541 661,541 661,541 661,541 661,541 661,541 661,541 661,541 661,541 661,541 661,541 661,541 661,541 661,541 661,541 661,541 661,541 661,541 661,541 661,541 661,541 661,541 661,541 661,541 661,541 661,541 661,541 661,541 661,541 661,541 661,541 661,541 661,541 661,541 661,541 661,541 661,541 661,541 661,541 661,541 661,541 661,541 661,541 661,541 661,541 661,541 661,541 661,541 661,541 661,541 661,541 661,541 661,541 661,541 661,541 661,541 661,541 661,541 661,541 661,541 661,541 661,541 661,541 661,541 661,541 661,541 661,541 661,541 661,541 661,541 661,541 661,541 661,541 661,541 661,541 661,541 661,541 661,541 661,541 661,541 661,541 661,541 661,541 661,541 661,541 661,541 661,541 661,541 661,541 661,541 661,541 661,541 661,541 661,541 661,541 661,541 661,541 661,541 661,541 661,541 661,541 661,541 661,541 661,541 661,541 661,541 661,541 661,541 661,541 661,541 661,541 661,541 661,541 661,541 661,541 661,541 661,541 661,541 661,541 661,541 661,541 661,541 661,541 661,541 661,541 661,541 661,541 661,541 661,541 661,541 661,541 661,541 661,541 661,541 661,541 661,541 661,541 661,541 661,541 661,541 661,541 661,541 661,541 661,541 661,541 661,541 661,541 661,541 661,541 661,541 661,541 661,541 661,541 661,541 661,541 661,541 661,5                                                                                                                                                                                                                                                                                                                                                                                                                                                                       | 0 40<br>0 30<br>0 30<br>0 36<br>0 36<br>0 39<br>0 039<br>0                                                                                               | 561<br>580<br>880<br>669<br>793<br>704<br>673<br>673<br>673<br>675<br>531<br>548<br>10.93<br>3.04<br>8.13<br>7.34<br>5.94<br>3.47<br>5.70<br>5.70<br>6.73<br>6.75<br>6.75<br>6.75<br>6.75<br>6.75<br>6.75<br>6.75<br>6.75<br>6.75<br>6.75<br>6.75<br>6.75<br>6.75<br>6.75<br>6.75<br>6.75<br>6.75<br>6.75<br>6.75<br>6.75<br>6.75<br>6.75<br>6.75<br>6.75<br>6.75<br>6.75<br>6.75<br>6.75<br>6.75<br>6.75<br>6.75<br>6.75<br>6.75<br>6.75<br>6.75<br>6.75<br>6.75<br>6.75<br>6.75<br>6.75<br>6.75<br>6.75<br>6.75<br>6.75<br>6.75<br>6.75<br>6.75<br>6.75<br>6.75<br>6.75<br>6.75<br>6.75<br>6.75<br>6.75<br>6.75<br>6.75<br>6.75<br>6.75<br>6.75<br>6.75<br>6.75<br>6.75<br>6.75<br>6.75<br>6.75<br>6.75<br>6.75<br>6.75<br>6.75<br>6.75<br>6.75<br>6.75<br>6.75<br>6.75<br>6.75<br>6.75<br>6.75<br>6.75<br>6.75<br>6.75<br>6.75<br>6.75<br>6.75<br>6.75<br>6.75<br>6.75<br>6.75<br>6.75<br>6.75<br>6.75<br>6.75<br>6.75<br>6.75<br>6.75<br>6.75<br>6.75<br>6.75<br>6.75<br>6.75<br>6.75<br>6.75<br>6.75<br>6.75<br>6.75<br>6.75<br>6.75<br>6.75<br>6.75<br>6.75<br>6.75<br>6.75<br>6.75<br>6.75<br>6.75<br>6.75<br>6.75<br>6.75<br>6.75<br>6.75<br>6.75<br>6.75<br>6.75<br>6.75<br>6.75<br>6.75<br>6.75<br>6.75<br>6.75<br>6.75<br>6.75<br>6.75<br>6.75<br>6.75<br>6.75<br>6.75<br>6.75<br>6.75<br>6.75<br>6.75<br>6.75<br>6.75<br>6.75<br>6.75<br>6.75<br>6.75<br>6.75<br>6.75<br>6.75<br>6.75<br>6.75<br>6.75<br>6.75<br>6.75<br>6.75<br>6.75<br>6.75<br>6.75<br>6.75<br>6.75<br>6.75<br>6.75<br>6.75<br>6.75<br>6.75<br>6.75<br>6.75<br>6.75<br>6.75<br>6.75<br>6.75<br>6.75<br>6.75<br>6.75<br>6.75<br>6.75<br>6.75<br>6.75<br>6.75<br>6.75<br>6.75<br>6.75<br>6.75<br>6.75<br>6.75<br>6.75<br>6.75<br>6.75<br>6.75<br>6.75<br>6.75<br>6.75<br>6.75<br>6.75<br>6.75<br>6.75<br>6.75<br>6.75<br>6.75<br>6.75<br>6.75<br>6.75<br>6.75<br>6.75<br>6.75<br>6.75<br>6.75<br>6.75<br>6.75<br>6.75<br>6.75<br>6.75<br>6.75<br>6.75<br>6.75<br>6.75<br>6.75<br>6.75<br>6.75<br>6.75<br>6.75<br>6.75<br>6.75<br>6.75<br>6.75<br>6.75<br>6.75<br>6.75<br>6.75<br>6.75<br>6.75<br>6.75<br>6.75<br>6.75<br>6.75<br>6.75<br>6.75<br>6.75<br>6.75<br>6.75<br>6.75<br>6.75<br>6.75<br>6.75<br>6.75<br>6.75<br>6.75<br>6.75<br>6.75<br>6.75<br>6.75<br>6.75<br>6.75<br>6.75<br>6.75<br>6.75<br>6.75<br>6.75<br>6.75<br>6.75<br>6.75<br>6.75<br>6.75<br>6.75<br>6.75<br>6.75<br>6.75<br>6.75<br>6.75<br>6.75<br>6.75<br>6.75<br>6.75<br>6.75<br>6.75<br>6.75<br>6.75<br>6.75<br>6.75<br>6.75<br>6.75<br>6.75<br>6.75<br>6.75<br>6.75<br>6.75<br>6.75<br>6.75<br>6.75<br>6.75<br>6.75<br>6.75<br>6.75<br>6.75<br>6.75<br>6.75<br>6.75<br>6.75<br>6.75<br>6.75<br>6.75<br>6.75<br>6.75<br>6.75<br>6.75<br>6.75<br>6.75<br>6.75<br>6.75<br>6.75<br>6.75<br>6.75<br>6.75<br>6.75<br>6.75<br>6.75<br>6.75<br>6.75<br>6.75<br>6.75<br>6.75<br>6.75<br>6.75 | 3.65<br>5.37<br>10.22<br>6.36<br>5.59<br>7.13<br>7.13<br>7.13<br>7.13<br>1.37<br>6.36<br>10.94<br>10.94<br>10.94<br>10.94<br>10.94<br>10.94<br>10.94<br>10.94<br>10.94<br>10.94<br>10.94<br>10.94<br>10.94<br>10.94<br>10.94<br>10.94<br>10.94<br>10.94<br>10.94<br>10.94<br>10.94<br>10.94<br>10.94<br>10.94<br>10.94<br>10.94<br>10.94<br>10.94<br>10.94<br>10.94<br>10.94<br>10.94<br>10.94<br>10.94<br>10.94<br>10.94<br>10.94<br>10.94<br>10.94<br>10.94<br>10.94<br>10.94<br>10.94<br>10.94<br>10.94<br>10.94<br>10.94<br>10.94<br>10.94<br>10.94<br>10.94<br>10.94<br>10.94<br>10.94<br>10.94<br>10.94<br>10.94<br>10.94<br>10.94<br>10.94<br>10.94<br>10.94<br>10.94<br>10.94<br>10.94<br>10.94<br>10.94<br>10.94<br>10.94<br>10.94<br>10.94<br>10.94<br>10.94<br>10.94<br>10.94<br>10.94<br>10.94<br>10.94<br>10.94<br>10.94<br>10.94<br>10.94<br>10.94<br>10.94<br>10.94<br>10.94<br>10.94<br>10.94<br>10.94<br>10.94<br>10.94<br>10.94<br>10.94<br>10.94<br>10.94<br>10.94<br>10.94<br>10.94<br>10.94<br>10.94<br>10.94<br>10.94<br>10.94<br>10.94<br>10.94<br>10.94<br>10.94<br>10.94<br>10.94<br>10.94<br>10.94<br>10.94<br>10.94<br>10.94<br>10.94<br>10.94<br>10.94<br>10.94<br>10.94<br>10.94<br>10.94<br>10.94<br>10.94<br>10.94<br>10.94<br>10.94<br>10.94<br>10.94<br>10.94<br>10.94<br>10.94<br>10.94<br>10.94<br>10.94<br>10.94<br>10.94<br>10.94<br>10.94<br>10.94<br>10.94<br>10.94<br>10.94<br>10.94<br>10.94<br>10.94<br>10.94<br>10.94<br>10.94<br>10.94<br>10.94<br>10.94<br>10.94<br>10.94<br>10.94<br>10.94<br>10.94<br>10.94<br>10.94<br>10.94<br>10.94<br>10.94<br>10.94<br>10.94<br>10.94<br>10.94<br>10.94<br>10.94<br>10.94<br>10.94<br>10.94<br>10.94<br>10.94<br>10.94<br>10.94<br>10.94<br>10.94<br>10.94<br>10.94<br>10.94<br>10.94<br>10.94<br>10.94<br>10.94<br>10.94<br>10.94<br>10.94<br>10.94<br>10.94<br>10.94<br>10.94<br>10.94<br>10.94<br>10.94<br>10.94<br>10.94<br>10.94<br>10.94<br>10.94<br>10.94<br>10.94<br>10.94<br>10.94<br>10.94<br>10.94<br>10.94<br>10.94<br>10.94<br>10.94<br>10.94<br>10.94<br>10.94<br>10.94<br>10.94<br>10.94<br>10.94<br>10.94<br>10.94<br>10.94<br>10.94<br>10.94<br>10.94<br>10.94<br>10.94<br>10.94<br>10.94<br>10.94<br>10.94<br>10.94<br>10.94<br>10.94<br>10.94<br>10.94<br>10.94<br>10.94<br>10.94<br>10.94<br>10.94<br>10.94<br>10.94<br>10.94<br>10.94<br>10.94<br>10.94<br>10.94<br>10.94<br>10.94<br>10.94<br>10.94<br>10.94<br>10.94<br>10.94<br>10.94<br>10.94<br>10.94<br>10.94<br>10.94<br>10.94<br>10.94<br>10.94<br>10.94<br>10.94<br>10.94<br>10.94<br>10.94<br>10.94<br>10.94<br>10.94<br>10.94<br>10.94<br>10.94<br>10.94<br>10.94<br>10.94<br>10.94<br>10.94<br>10.94<br>10.94<br>10.94<br>10.94<br>10.94<br>10.94<br>10.94<br>10.94<br>10.94<br>10.94<br>10.94<br>10.94<br>10.94<br>10.94<br>10.94<br>10.94<br>10.94<br>10.94<br>10.94<br>10.94<br>10.94<br>10.94<br>10.94<br>10.94<br>10.94<br>10.94<br>10.94<br>10.94<br>10.94<br>10.94<br>10.94<br>10.94<br>10.94<br>10.94<br>10.94<br>10.94<br>10.94<br>10.94<br>10.94<br>10.94<br>10.94<br>10.94<br>10.94<br>10.94<br>10.94<br>10.94<br>10.94<br>10.94<br>10.94<br>10.94<br>10.94<br>10.94<br>10.94<br>10.94<br>10.94<br>10.94<br>10.9 |

| 今年<br>最高價                       | 代號 股票名稱                                       | 上日牧市                            | 最高                                        | 最低                                                                                                                                                                                                                                                                                                                                                                                                                                                                                                                                                                                                                                                                                                                                                                                                                                                                                                                                                                                                                                                                                                                                                                                                                                                                                                                                                                                                                                                                                                                                                                                                                                                                                                                                                                                                                                                                                                                                                                                                                                                                                                                             | 最後 <sup>以</sup><br>買入            | <b>東</b> 世                       | 牧市                             | 升跌                         | 升鉄<br>次序                                | 成交股數                                           | 成交金額                              | . R/S                                 | P/E                            |
|---------------------------------|-----------------------------------------------|---------------------------------|-------------------------------------------|--------------------------------------------------------------------------------------------------------------------------------------------------------------------------------------------------------------------------------------------------------------------------------------------------------------------------------------------------------------------------------------------------------------------------------------------------------------------------------------------------------------------------------------------------------------------------------------------------------------------------------------------------------------------------------------------------------------------------------------------------------------------------------------------------------------------------------------------------------------------------------------------------------------------------------------------------------------------------------------------------------------------------------------------------------------------------------------------------------------------------------------------------------------------------------------------------------------------------------------------------------------------------------------------------------------------------------------------------------------------------------------------------------------------------------------------------------------------------------------------------------------------------------------------------------------------------------------------------------------------------------------------------------------------------------------------------------------------------------------------------------------------------------------------------------------------------------------------------------------------------------------------------------------------------------------------------------------------------------------------------------------------------------------------------------------------------------------------------------------------------------|----------------------------------|----------------------------------|--------------------------------|----------------------------|-----------------------------------------|------------------------------------------------|-----------------------------------|---------------------------------------|--------------------------------|
| 5.15<br>13.20<br>6.20           | 045 大 瀬 店<br>161   玛格肯県<br>422 文華東方           | 4 775<br>13.50<br>5 95          | 5.90                                      | 4,775<br>-<br>5.90                                                                                                                                                                                                                                                                                                                                                                                                                                                                                                                                                                                                                                                                                                                                                                                                                                                                                                                                                                                                                                                                                                                                                                                                                                                                                                                                                                                                                                                                                                                                                                                                                                                                                                                                                                                                                                                                                                                                                                                                                                                                                                             | 4 80<br>-<br>5 90                | 4 625<br>13 50<br>5.95           | 4.80<br>13.50<br>5 90          | +0.025<br>-0.08            | +93<br>111                              | 253,500<br>224,400                             | 1,217,525                         | 4 59<br>2.01                          | 12.82                          |
| 7 25<br>1 09<br>6 05            | 071 美 麗 華<br>542 聖禄集団本<br>084 新世界酒店           | 7 00<br>1 00<br>6 00            | 6.95<br>1.04<br>6.00                      | 6.90<br>1.02<br>6.00                                                                                                                                                                                                                                                                                                                                                                                                                                                                                                                                                                                                                                                                                                                                                                                                                                                                                                                                                                                                                                                                                                                                                                                                                                                                                                                                                                                                                                                                                                                                                                                                                                                                                                                                                                                                                                                                                                                                                                                                                                                                                                           | 6 85<br>1 03<br>6 00             | 6.95<br>1.04<br>6.05             | 6 90<br>1 04<br>6 00           | -0.10<br>+0.04<br>-        | -71<br>+26<br>-                         | 1,366,000<br>50,000                            | 441,935<br>1,411,600<br>300,000   | 0 35<br>2 04                          | 31.05<br>6 19<br>9.76          |
| 8 00<br>2 65<br>1 26            | 223 肖樂企業<br>078 西蒙迪达<br>235 紅 再 台             | 8 00<br>2 30<br>1 00            | 8,00<br>2,325<br>1 00                     | 2 30<br>1 00                                                                                                                                                                                                                                                                                                                                                                                                                                                                                                                                                                                                                                                                                                                                                                                                                                                                                                                                                                                                                                                                                                                                                                                                                                                                                                                                                                                                                                                                                                                                                                                                                                                                                                                                                                                                                                                                                                                                                                                                                                                                                                                   | 8 00<br>2 30<br>0 98             | 8 05<br>2 325<br>1 02            | 8 00<br>2 30<br>1 00           | = ==                       | -                                       | 6,000<br>405,440<br>60,000                     | 48 000<br>935 118<br>50 000       | -                                     | 18 63<br>9.04                  |
|                                 |                                               |                                 |                                           |                                                                                                                                                                                                                                                                                                                                                                                                                                                                                                                                                                                                                                                                                                                                                                                                                                                                                                                                                                                                                                                                                                                                                                                                                                                                                                                                                                                                                                                                                                                                                                                                                                                                                                                                                                                                                                                                                                                                                                                                                                                                                                                                |                                  |                                  | 61 DD                          |                            |                                         | 400                                            | 24 400                            | 20 73                                 |                                |
| 70 00<br>13 80<br>25 0<br>15 80 | 360 大連軟額<br>002 中華電力<br>026 中華汽車車<br>032 毎底陸環 | 61.00<br>13.00<br>24.00         | . 61 00  <br>13.20<br>24 00<br>14.50      | 61 00<br>13,00<br>23 80<br>14 50                                                                                                                                                                                                                                                                                                                                                                                                                                                                                                                                                                                                                                                                                                                                                                                                                                                                                                                                                                                                                                                                                                                                                                                                                                                                                                                                                                                                                                                                                                                                                                                                                                                                                                                                                                                                                                                                                                                                                                                                                                                                                               | 61 00<br>13 00<br>23 90<br>14 40 | 61 50<br>13 20<br>24 00<br>14 50 | 13 10<br>24 00<br>14 50        | +0.10                      | +73<br>-                                | 854,608<br>13,000<br>2,000                     | 11,171,711<br>310,700<br>29,000   | 4.45<br>8 16                          | 10.77<br>18 62<br>8 80         |
| 10 604<br>8 118<br>5 45         | 003 中蘇煤氣<br>008 港燈集團★<br>050 香港小崎             | 10.10<br>7.55<br>4.875          | 10.00<br>7 55<br>4 90                     | 9.90<br>7.50<br>4.85                                                                                                                                                                                                                                                                                                                                                                                                                                                                                                                                                                                                                                                                                                                                                                                                                                                                                                                                                                                                                                                                                                                                                                                                                                                                                                                                                                                                                                                                                                                                                                                                                                                                                                                                                                                                                                                                                                                                                                                                                                                                                                           | 9 90<br>7 50<br>4 875            | 9 95<br>7 55<br>4 90             | 9 95<br>7 50<br>4 875          | -0.15<br>-0.05             | ∸67<br>−127                             | 680,600<br>1 884,500<br>12,000                 | 6,576,390<br>14,138,425<br>58 525 | 3.38<br>2.56                          | 20,28<br>8.85<br>12 6.0        |
| 5 70                            | 008 香港電訊<br>062 九龍汽車                          | 5.40<br>6.85                    | 5 40<br>6 90                              | 5.30<br>6.85                                                                                                                                                                                                                                                                                                                                                                                                                                                                                                                                                                                                                                                                                                                                                                                                                                                                                                                                                                                                                                                                                                                                                                                                                                                                                                                                                                                                                                                                                                                                                                                                                                                                                                                                                                                                                                                                                                                                                                                                                                                                                                                   | 5 35<br>6 85                     | 5.40<br>6.90                     | 5.35<br>6.85                   | - 0,05<br>-                | -102<br>-                               | 1,955,666<br>19,998                            | 10,467,450<br>137,213             |                                       | 16 37<br>10 82                 |
| ດ 75                            | 188 正大國際                                      | D.65                            | 0 66                                      | 0.65                                                                                                                                                                                                                                                                                                                                                                                                                                                                                                                                                                                                                                                                                                                                                                                                                                                                                                                                                                                                                                                                                                                                                                                                                                                                                                                                                                                                                                                                                                                                                                                                                                                                                                                                                                                                                                                                                                                                                                                                                                                                                                                           | 0 65                             | 0 66                             | 0 66                           | +001                       | + 44                                    | 102,000                                        | 66,800                            | 0 22                                  | 13 52                          |
| 0 78<br>1 02<br>9 80            | 378 城市資源<br>513 担和珠碩 3<br>353 牛奶國際            | 0.385<br>0.72<br>8.95           | .039<br>072<br>8.95                       | 0.37<br>0.69<br>8.60                                                                                                                                                                                                                                                                                                                                                                                                                                                                                                                                                                                                                                                                                                                                                                                                                                                                                                                                                                                                                                                                                                                                                                                                                                                                                                                                                                                                                                                                                                                                                                                                                                                                                                                                                                                                                                                                                                                                                                                                                                                                                                           | 0 385<br>0 69<br>8 75            | 0 395<br>0 70<br>8 80            | 0 385<br>0 70<br>8 80          | - 0.02<br>- 0.15           | -29<br>60                               | 252,000<br>1,676,000<br>1,331,000              | 97,680<br>1,181,280<br>11,772,600 | 0.24                                  | 4 62<br>13 86                  |
| 13.80<br>0.99<br>1.03           | 113 連生創建<br>036 連束接資國際<br>147 親系機構            | 12 90<br>0.86<br>0 95           | 13 00<br>0 06<br>0 96                     | 12 80<br>0.06<br>0.93                                                                                                                                                                                                                                                                                                                                                                                                                                                                                                                                                                                                                                                                                                                                                                                                                                                                                                                                                                                                                                                                                                                                                                                                                                                                                                                                                                                                                                                                                                                                                                                                                                                                                                                                                                                                                                                                                                                                                                                                                                                                                                          | 12 90<br>0 86<br>0 93            | 13 00<br>0.90<br>0.94            | 0 86<br>0 94                   | -001                       | -90                                     | 625,400<br>16,000<br>9,232,300                 | 8,061,320<br>13,760<br>8,698,601  |                                       | 19.08<br><br>184.31            |
| 0 83<br>. 1.31<br>12'40         | 343 于邱晓傅<br>280 景福集園<br>066 班 F 俳A            | 0.70<br>1,24<br>12.00           | 071<br>126                                | 0.69<br>1.25                                                                                                                                                                                                                                                                                                                                                                                                                                                                                                                                                                                                                                                                                                                                                                                                                                                                                                                                                                                                                                                                                                                                                                                                                                                                                                                                                                                                                                                                                                                                                                                                                                                                                                                                                                                                                                                                                                                                                                                                                                                                                                                   | . 070<br>124<br>1170             | 125<br>1200                      | 0.71<br>1.25<br>12.00          | +0.01<br>+0.01             | +49<br>+71                              | 241,998<br>2,001,000                           | 169 159<br>2,502 260              | The second second second              | 6 57<br>7 74                   |
| 1,14.<br>9,20                   | 192 班 F MB<br>067 立 興會<br>204 NewsCorp        | 9.15                            | 9 20<br>                                  | 9.15                                                                                                                                                                                                                                                                                                                                                                                                                                                                                                                                                                                                                                                                                                                                                                                                                                                                                                                                                                                                                                                                                                                                                                                                                                                                                                                                                                                                                                                                                                                                                                                                                                                                                                                                                                                                                                                                                                                                                                                                                                                                                                                           | 1 08<br>9 15                     | 9 25                             | 9 20                           | +0.05                      | +91                                     | 47,000                                         | 492,950                           |                                       | 7 10                           |
| 1,32,<br>4 00<br>8.30           | 018 東方報為<br>080 部氏公司<br>241 瑞興高資              | 1.26<br>3.75<br>6.05            | 1 27<br>3 75<br>6 65                      | 1.23<br>3.725<br>6.05                                                                                                                                                                                                                                                                                                                                                                                                                                                                                                                                                                                                                                                                                                                                                                                                                                                                                                                                                                                                                                                                                                                                                                                                                                                                                                                                                                                                                                                                                                                                                                                                                                                                                                                                                                                                                                                                                                                                                                                                                                                                                                          | 1 26<br>3 725<br>6 05            | 1 28<br>3 75<br>6 10             | 1 26<br>2 725<br>6 05          | -0 025<br>-                | -124<br>-                               | 4,522,000<br>114,000<br>22,000                 | 5,666,500<br>427,350<br>193,100   | 1 27<br>2 06                          | 8 98<br>7 74<br>14 35          |
| 4.825<br>2.575<br>-0.54         | 781 先 、施<br>233 夏島集團<br>417 謝 瑞 駿             | 2.075<br>0.49                   | 4.30<br>2.10<br>0.485                     | 4.30<br>2.075<br>0.48                                                                                                                                                                                                                                                                                                                                                                                                                                                                                                                                                                                                                                                                                                                                                                                                                                                                                                                                                                                                                                                                                                                                                                                                                                                                                                                                                                                                                                                                                                                                                                                                                                                                                                                                                                                                                                                                                                                                                                                                                                                                                                          | 4 275<br>2 075<br>0 48           | 4 30<br>2 10<br>0 485            | 4 30<br>2 10<br>0 485          | -0.005<br>+0.025<br>-0.005 | -81<br>+57<br>-96                       | 20,000<br>120,000<br>1,532,164                 | 86 000<br>251 750<br>742,265      | 0.71<br>0.16                          | 40 80<br>6 37<br>3 55          |
| 0.66<br><b>B.10</b><br>7.55     | 279 東 方 和<br>511 羅幌廣橋<br>289 永安公司             | 7.95<br>7.35                    | 0 63 '<br>8 00<br>7,50                    | 0.62<br>8.00<br>7.35                                                                                                                                                                                                                                                                                                                                                                                                                                                                                                                                                                                                                                                                                                                                                                                                                                                                                                                                                                                                                                                                                                                                                                                                                                                                                                                                                                                                                                                                                                                                                                                                                                                                                                                                                                                                                                                                                                                                                                                                                                                                                                           | 0 63 .<br>7 95<br>7.45           | 0.64<br>8.00<br>7.50             | 0 63<br>8 00<br>7 45           | +0.05<br>+0.10             | +83<br>+51                              | 862,000<br>15,000<br>624,350                   | 539,660<br>120,000<br>4 629,248   | 2 72<br>2 53                          | 9.41<br>11.65                  |
| 2 00                            | 292.八百米香港                                     | 1.72                            | 1.74                                      | 1,72                                                                                                                                                                                                                                                                                                                                                                                                                                                                                                                                                                                                                                                                                                                                                                                                                                                                                                                                                                                                                                                                                                                                                                                                                                                                                                                                                                                                                                                                                                                                                                                                                                                                                                                                                                                                                                                                                                                                                                                                                                                                                                                           | 1 73                             | 17,4                             | 1 73                           | 4-0.01                     | +89                                     | 382 000                                        | 061,520                           | 0.59                                  | 14.77                          |
|                                 | 建镍 地堡                                         |                                 |                                           |                                                                                                                                                                                                                                                                                                                                                                                                                                                                                                                                                                                                                                                                                                                                                                                                                                                                                                                                                                                                                                                                                                                                                                                                                                                                                                                                                                                                                                                                                                                                                                                                                                                                                                                                                                                                                                                                                                                                                                                                                                                                                                                                |                                  |                                  |                                |                            |                                         | 40.00                                          | 2,464,132                         |                                       | 7 09                           |
| 1,11                            | 373 聯合為外<br>058 聯合地產<br>260-聯合與榮              | 0.92<br>- 0.475<br>- 0.92       | 0 93<br>3.475<br>0 93                     | 0.91<br>3,45<br>0.90                                                                                                                                                                                                                                                                                                                                                                                                                                                                                                                                                                                                                                                                                                                                                                                                                                                                                                                                                                                                                                                                                                                                                                                                                                                                                                                                                                                                                                                                                                                                                                                                                                                                                                                                                                                                                                                                                                                                                                                                                                                                                                           | 0.92<br>3.425<br>0.92            | 0.93<br>3.45<br>0.94             | 0.92<br>3.45<br>0.98           | -0.025<br>+0.01            | -119<br>+60<br>+67                      | 2 6/8,200<br>#B1,040<br>752,250<br>5 111,396   | 1,661,234<br>691,923              | 1.17                                  | 7 09<br>6 26<br>2,39<br>9,90   |
| 3.15<br>0.22<br>5.60%           | 101 別火間業<br>Q22 註 細 安<br>A34 Beazer Asia      | 2.875<br>0 194<br>5.30          | 0.194<br>5.30                             | 2 875<br>0 19<br>5 30                                                                                                                                                                                                                                                                                                                                                                                                                                                                                                                                                                                                                                                                                                                                                                                                                                                                                                                                                                                                                                                                                                                                                                                                                                                                                                                                                                                                                                                                                                                                                                                                                                                                                                                                                                                                                                                                                                                                                                                                                                                                                                          | 2.90<br>0.192<br>5.25            | 2 95<br>0 193<br>5 30            | 2,90<br>0.192<br>5.30          | -0 025<br>-0 002           | +67<br>-95<br>-                         | 5,111,396<br>2,330,000<br>50,000<br>42,864,000 | 448,729<br>265,000<br>70,940,280  | 0 07                                  | 15.74<br>12.48<br>10.26        |
| 2.25<br>5.8                     |                                               | 1.76<br>2.05<br>0.40.           | 1,76<br>2,125                             | 2 05<br>2 05<br>-<br>1 33                                                                                                                                                                                                                                                                                                                                                                                                                                                                                                                                                                                                                                                                                                                                                                                                                                                                                                                                                                                                                                                                                                                                                                                                                                                                                                                                                                                                                                                                                                                                                                                                                                                                                                                                                                                                                                                                                                                                                                                                                                                                                                      | 1.66<br>2.051<br>0.45,<br>1.35   | 1 67<br>2.075<br>0 46<br>1 36    | 1.87<br>2.075<br>0:46<br>1.35  | -0 09<br>+0 025            | +55                                     | 42 864,000<br>14,552,100<br>                   |                                   | 0.16                                  | 1.43                           |
| V2.09                           |                                               | 1.35<br>1.72<br>1174            | 1:36<br>174<br>14:80                      | 1 33<br>1,7,1<br>11,50                                                                                                                                                                                                                                                                                                                                                                                                                                                                                                                                                                                                                                                                                                                                                                                                                                                                                                                                                                                                                                                                                                                                                                                                                                                                                                                                                                                                                                                                                                                                                                                                                                                                                                                                                                                                                                                                                                                                                                                                                                                                                                         | 1,35                             | 1 36<br>1 74<br>11.80            | 1.35<br>1.73<br>11.70          | +001                       | +89                                     | 2,464,000<br>3,213,000                         | . 4,244,300                       | 0.59                                  | 6.97<br>9.27                   |
| 0.98<br>2.55<br>0.73            | 1303年並建築<br>127 年人選集<br>216 建装電装              | 0 89<br>4 92<br>2 2 6 9 8       | 1 (4) (4) (4) (4) (4) (4) (4) (4) (4) (4) | 0.87.<br>3.90<br>0.88                                                                                                                                                                                                                                                                                                                                                                                                                                                                                                                                                                                                                                                                                                                                                                                                                                                                                                                                                                                                                                                                                                                                                                                                                                                                                                                                                                                                                                                                                                                                                                                                                                                                                                                                                                                                                                                                                                                                                                                                                                                                                                          | 0 89<br>1.93<br>0 68             | 0.90°<br>1.95<br>0.69            | 0.89<br>1,94<br>0.68           | +9.02<br>-0.01             | +62<br>-70                              | 456,000<br>2,171,399<br>632,000                | 401,080<br>4,161,868<br>430,180   | 0 66                                  | 3.31<br>9.95<br>6.14           |
| 3 975                           | 120 四海地址1000 条<br>125 四 5地位2000<br>544 大岡混紅土  |                                 | 3 70<br>4.55                              | 3.70                                                                                                                                                                                                                                                                                                                                                                                                                                                                                                                                                                                                                                                                                                                                                                                                                                                                                                                                                                                                                                                                                                                                                                                                                                                                                                                                                                                                                                                                                                                                                                                                                                                                                                                                                                                                                                                                                                                                                                                                                                                                                                                           | 3 60<br>4 475                    | 3.70.<br>4.50                    | 3.7D<br>4.475                  | -0.05                      | -87                                     | 2,000                                          | 7 400<br>1,281 425                | 1 26                                  | 30 40<br>13 88                 |
| 0 0 1<br>1 66<br>0 95           | 156 為口服用<br>128 安華定業<br>035 流泉液原              | 0.73<br>1.46<br>0.77            | 0.78<br>1.45                              | 0.73<br>1.44                                                                                                                                                                                                                                                                                                                                                                                                                                                                                                                                                                                                                                                                                                                                                                                                                                                                                                                                                                                                                                                                                                                                                                                                                                                                                                                                                                                                                                                                                                                                                                                                                                                                                                                                                                                                                                                                                                                                                                                                                                                                                                                   | 0.77                             | 0.78<br>0.45                     | 0.7B<br>1.44<br>0.76           | +0.05<br>-0.01<br>-0.01    | .+9<br>-121<br>-76                      | 9,662,081<br>251,797<br>4,358,500              | 7,316,216<br>363,962              | 0.27                                  | 41 27<br>7.92<br>13 77         |
| 1.56                            | 132 納一城市<br>135 純一年前<br>571 原建國際              | 1.43<br>Q 80                    | 0.82                                      | 0.80                                                                                                                                                                                                                                                                                                                                                                                                                                                                                                                                                                                                                                                                                                                                                                                                                                                                                                                                                                                                                                                                                                                                                                                                                                                                                                                                                                                                                                                                                                                                                                                                                                                                                                                                                                                                                                                                                                                                                                                                                                                                                                                           | 0.81                             | 1.45                             | 1 44                           | +0.01                      | +76                                     | 532,000<br>聖 <b>华東貴</b><br>5,022,000           | 755,320                           |                                       | 3.70<br>16.04                  |
| 1 34<br>4.75<br>0 99            | 140 金山地底<br>041 鷹 程<br>270 粤湖投資               | 4.225<br>0.85                   | 1.27<br>4.225<br>0.86                     | - FE 4                                                                                                                                                                                                                                                                                                                                                                                                                                                                                                                                                                                                                                                                                                                                                                                                                                                                                                                                                                                                                                                                                                                                                                                                                                                                                                                                                                                                                                                                                                                                                                                                                                                                                                                                                                                                                                                                                                                                                                                                                                                                                                                         | 0.85                             | 1 20<br>4,225<br>0 89            | •1.25<br>4.20<br>0.86          | -0.03<br>-0.025<br>-0.02   | -40<br>-134<br>-43                      | 3,125,000<br>2,021,306<br>52,000               | 9,901,070<br>9,513,209            | 3.43                                  | 3.79                           |
| 5.30<br>2.75<br>2.075           | 010 恒 陶 052 夏利文                               | 4.86<br>2.60<br>1.96            | 4,876<br>2 50<br>1 95                     | 4 65<br>2,50<br>1,93                                                                                                                                                                                                                                                                                                                                                                                                                                                                                                                                                                                                                                                                                                                                                                                                                                                                                                                                                                                                                                                                                                                                                                                                                                                                                                                                                                                                                                                                                                                                                                                                                                                                                                                                                                                                                                                                                                                                                                                                                                                                                                           | 4.85<br>2.475<br>1.93            | 4.875<br>2.55<br>1.94            | 4.876<br>2.50                  | +0 D25<br>-0.02            | -1-94<br><br>                           | 1,102,000<br>360,000<br>3,660,000              | 5,348,850<br>900,000              | 1 56<br>0 55                          | 5.94<br>7.03<br>7.19           |
| 7.45<br>8.35<br>0.435           | 012 恒基地度<br>007 鷹 地                           | 7.00<br>7.85<br>0.396           | 7 00<br>7 90<br>0 40                      | 8.85<br>7.75<br>0.39                                                                                                                                                                                                                                                                                                                                                                                                                                                                                                                                                                                                                                                                                                                                                                                                                                                                                                                                                                                                                                                                                                                                                                                                                                                                                                                                                                                                                                                                                                                                                                                                                                                                                                                                                                                                                                                                                                                                                                                                                                                                                                           | 7.80<br>0.89                     | 6.90<br>7.85<br>0.40             | 6.90<br>7.80<br>0.395          | -0.10<br>0.05              | -71<br>-129                             | 827,900<br>1,843,000<br>12,232,034             | 5,708,485<br>10,484,100           | 2 65                                  | 6.39<br>13.22<br>18.60         |
| 4.80,<br>0.91                   | 049 監察信託A<br>153 置業保託B<br>480 公夏硕業            | 4.45<br>0.84<br>3.05            | 4 175                                     | 4.45<br>2.925                                                                                                                                                                                                                                                                                                                                                                                                                                                                                                                                                                                                                                                                                                                                                                                                                                                                                                                                                                                                                                                                                                                                                                                                                                                                                                                                                                                                                                                                                                                                                                                                                                                                                                                                                                                                                                                                                                                                                                                                                                                                                                                  |                                  | A-A/5                            | 4.45<br>0.04<br>2.95           | <b>2.1</b> 0               | —<br>, —<br>,;—421                      | 90,791<br>8,015<br>- 33,419,200                |                                   | 0.29                                  | .7,30<br>6,89<br>. 8,05        |
| 1.01<br>1.43<br>3.025           | 159 河聯投資<br>160 遊園置業<br>084 合和實業本             | 0.90<br>1.35<br>2.90            | 1 35<br>2 926                             | 1.34<br>2.86                                                                                                                                                                                                                                                                                                                                                                                                                                                                                                                                                                                                                                                                                                                                                                                                                                                                                                                                                                                                                                                                                                                                                                                                                                                                                                                                                                                                                                                                                                                                                                                                                                                                                                                                                                                                                                                                                                                                                                                                                                                                                                                   | 0.90<br>#.54~                    | 0,83<br>1.3 <b>6</b><br>3.625    | 0.90<br>1 35<br>2.90           | ,<br>-                     | -                                       | 366,200<br>2,136,500                           | 490,686                           | 0 46                                  | 4,50<br>4,68<br>8,65           |
| 3.925<br>1 16                   | 352 合和實施(優)                                   | 3 675                           | 370                                       | 3.675                                                                                                                                                                                                                                                                                                                                                                                                                                                                                                                                                                                                                                                                                                                                                                                                                                                                                                                                                                                                                                                                                                                                                                                                                                                                                                                                                                                                                                                                                                                                                                                                                                                                                                                                                                                                                                                                                                                                                                                                                                                                                                                          | ASSES 111                        | 4                                | 3 675                          |                            | -58                                     | 37 000<br>10,493 999                           | 136,100                           |                                       | 1 77<br>31.46                  |
| 1.28<br>1.33<br>5,20            | 014 希伽奥樂<br>165 明輝發展<br>171 國際管業              | 1.18<br>1.18<br>5.30            | 1.18                                      | 1.16                                                                                                                                                                                                                                                                                                                                                                                                                                                                                                                                                                                                                                                                                                                                                                                                                                                                                                                                                                                                                                                                                                                                                                                                                                                                                                                                                                                                                                                                                                                                                                                                                                                                                                                                                                                                                                                                                                                                                                                                                                                                                                                           | 34                               |                                  | 1.17<br>1.18<br>5.30           | -0:01                      | <u>-108</u>                             | 3,515,000<br>100,000                           |                                   |                                       | 11 32<br>33.81<br>5 59         |
| 1.12<br>2.50<br>2.525           | 173 惠基國際<br>181 啓 明<br>184 激战投资               | 1.05<br>2.35<br>2.40            | 2.40                                      | 1,03                                                                                                                                                                                                                                                                                                                                                                                                                                                                                                                                                                                                                                                                                                                                                                                                                                                                                                                                                                                                                                                                                                                                                                                                                                                                                                                                                                                                                                                                                                                                                                                                                                                                                                                                                                                                                                                                                                                                                                                                                                                                                                                           | 1.03°<br>2.375<br>2.35           | 1.04                             | 1 04<br>2 35<br>2.40           | -0.00                      | <u>-</u> ,100                           | 289,311<br>-<br>74,000                         | 300,463<br>174,860                | 0.80<br>0 0.82                        | 20.43<br>3 64<br>3 14          |
| 0.31<br>4.15<br>6.30            | 185 建焊纸混<br>190 版 份 和<br>188 届 4 時            | 0 26<br>3 775<br>5 80           | 0.286<br>3.76<br>8.80                     | 0.27<br>3.70<br>8.60                                                                                                                                                                                                                                                                                                                                                                                                                                                                                                                                                                                                                                                                                                                                                                                                                                                                                                                                                                                                                                                                                                                                                                                                                                                                                                                                                                                                                                                                                                                                                                                                                                                                                                                                                                                                                                                                                                                                                                                                                                                                                                           | 3.675<br>5 60                    | 0.285<br>3.70<br>6,65            | 0 285<br>3.70<br>5 65          | +0 005<br>-0.075<br>-0.15  | +43<br>-52<br>-34                       | 56,000<br>125,000<br>942,000                   | 464,876<br>5,373,600              | 5 1.26<br>0 1.92                      | 11.52<br>12.29                 |
| ,2.20<br>1.29<br>0.91           | 063 LET Facilic<br>488 解新發展<br>484 解新發展(禮)    | 172                             | - 100 G                                   | 1.11                                                                                                                                                                                                                                                                                                                                                                                                                                                                                                                                                                                                                                                                                                                                                                                                                                                                                                                                                                                                                                                                                                                                                                                                                                                                                                                                                                                                                                                                                                                                                                                                                                                                                                                                                                                                                                                                                                                                                                                                                                                                                                                           | 1.70<br>1.12<br>0.85             | 1.70<br>1.13<br>> 0.87           | 1 70<br>1.12<br>0 86           | -0 05                      | -80                                     | 181,350<br>442,000                             | 494,66                            | 0.38<br>- 0.29                        | 13.86                          |
| 2.825<br>0.475                  | 198 大喜地                                       | 0.40                            | 0.40                                      | 2.725<br>0.395                                                                                                                                                                                                                                                                                                                                                                                                                                                                                                                                                                                                                                                                                                                                                                                                                                                                                                                                                                                                                                                                                                                                                                                                                                                                                                                                                                                                                                                                                                                                                                                                                                                                                                                                                                                                                                                                                                                                                                                                                                                                                                                 | 0.40                             | 2.80<br>0.405                    | 2.725<br>0.40                  | -                          |                                         | 2,000<br>暫停買責<br>450,000                       | ,                                 | 0.14                                  | 2 9B<br>90.91                  |
| 0.35<br>41 78<br>11 30          | 202 独年世集<br>158 東印度校<br>2017 斯世界役成本           | 35.60<br>10.00                  | 35 50<br>10.00                            | 38.25<br>9.90                                                                                                                                                                                                                                                                                                                                                                                                                                                                                                                                                                                                                                                                                                                                                                                                                                                                                                                                                                                                                                                                                                                                                                                                                                                                                                                                                                                                                                                                                                                                                                                                                                                                                                                                                                                                                                                                                                                                                                                                                                                                                                                  | 0 275<br>34.76<br>9 90           | 0 285<br>35 25<br>8 95           | 35.25<br>9,95                  | -0.25<br>-0.05             | - 120<br>- 189                          |                                                |                                   | 4 3.38                                | 68.29<br>8 7 1<br>9 2 1        |
| 0 49<br>1 14<br>6 00            | 257 平致多問<br>219 滋易國際<br>220 器利地查              | 0.48<br>0.92<br>5.25            | 0,90                                      | 0.90                                                                                                                                                                                                                                                                                                                                                                                                                                                                                                                                                                                                                                                                                                                                                                                                                                                                                                                                                                                                                                                                                                                                                                                                                                                                                                                                                                                                                                                                                                                                                                                                                                                                                                                                                                                                                                                                                                                                                                                                                                                                                                                           | 0 86<br>5.15                     | 0 48<br>0 90<br>6 20             | 0 48<br>0 90<br>5 20           | -0.02<br>-0.05             | -45                                     | 50,000                                         | -                                 | - 1.77                                | 20.45<br>15.57                 |
| 3 00<br>2 85<br>1 50            | 073 白 村 保<br>163 東風馨國際<br>589 保華國際            | 2 825<br>2 275<br>1 27          | 2.475<br>1.29                             | 124                                                                                                                                                                                                                                                                                                                                                                                                                                                                                                                                                                                                                                                                                                                                                                                                                                                                                                                                                                                                                                                                                                                                                                                                                                                                                                                                                                                                                                                                                                                                                                                                                                                                                                                                                                                                                                                                                                                                                                                                                                                                                                                            | 1.26                             | 1 27                             | 1.26                           | +0175<br>-001              | -115                                    |                                                | 2,197,85<br>1,661,79              | 0.83                                  | 3.92                           |
| 3 125<br>6 35<br>1 21           | 077 株計5地企A<br>226 時到10進日                      | 2 80<br>0 00°                   | 2.775<br>5.95<br>1.16                     | 2.778<br>5 95<br>1.16                                                                                                                                                                                                                                                                                                                                                                                                                                                                                                                                                                                                                                                                                                                                                                                                                                                                                                                                                                                                                                                                                                                                                                                                                                                                                                                                                                                                                                                                                                                                                                                                                                                                                                                                                                                                                                                                                                                                                                                                                                                                                                          | 5.95<br>1.16                     | 2 776<br>6 00<br>1 16<br>4 65    | 2,775<br>5.95<br>1,15<br>4,60  | -0.025<br>-0.06            | -104<br>-112                            |                                                | 11,90                             | 2 02                                  | 9.03<br>6.31<br>8.03<br>251.37 |
| 4 726<br>0 80<br>1 20           | 281 川川集園<br>238 森 滿 含章                        | 4.60<br>0.62<br>1.16            | 0.62                                      | 1.17                                                                                                                                                                                                                                                                                                                                                                                                                                                                                                                                                                                                                                                                                                                                                                                                                                                                                                                                                                                                                                                                                                                                                                                                                                                                                                                                                                                                                                                                                                                                                                                                                                                                                                                                                                                                                                                                                                                                                                                                                                                                                                                           | 4.45<br>0.61<br>1.10             | 1 20<br>0 62                     | 0.61                           | -0.01<br>+0.03             | -62<br>+33                              | 2,649,736<br>2,620,000                         | 2,991,000                         | 0 0 21<br>0 0 45                      | . 17.43<br>16.26<br>15.25      |
| 3 40<br>2 571<br>1.65           | 240 海恰實業                                      | 3.075<br>2.125<br>1.63<br>13.40 |                                           | Application or the last of the | 2.975<br>2.125<br>1.64<br>13.30  | 3 06<br>2 16<br>1 65             | 3 05<br>2 125<br>1.64<br>13 30 | -0.026<br>-0.026           | +,87                                    | 350,000<br>122,000                             | 740.750<br>199.560                | 0 072<br>0 038                        |                                |
| 14.50<br>1.07<br>3.05<br>0.51   | 203 附聯物業<br>245 促進地產<br>063 信和證券。             | 13.40<br>0.86<br>2.85<br>0.455  | 0.84<br>2.85                              | 0 82<br>2 80<br>0 45                                                                                                                                                                                                                                                                                                                                                                                                                                                                                                                                                                                                                                                                                                                                                                                                                                                                                                                                                                                                                                                                                                                                                                                                                                                                                                                                                                                                                                                                                                                                                                                                                                                                                                                                                                                                                                                                                                                                                                                                                                                                                                           | 0.83<br>2.80<br>0.46             | 0 84<br>2 85<br>0 456            | 0.84<br>2.825                  | -0 02<br>0 025             | -41                                     | 1,121,714                                      | 936 920<br>1 453,750              | 0 0 0 0 0 0 0 0 0 0 0 0 0 0 0 0 0 0 0 | 0.03                           |
| 0.51<br>0.48<br>- 16.00<br>3.32 | 247 信和地強<br>085 人 新                           | 0.435<br>0.435<br>15.80<br>2.65 | and the second section in part 1.         | 0 43<br>15 80                                                                                                                                                                                                                                                                                                                                                                                                                                                                                                                                                                                                                                                                                                                                                                                                                                                                                                                                                                                                                                                                                                                                                                                                                                                                                                                                                                                                                                                                                                                                                                                                                                                                                                                                                                                                                                                                                                                                                                                                                                                                                                                  | 0.43<br>15.80<br>2.90            | 0.435<br>15 90<br>2.925          | 0 435<br>15 80                 |                            |                                         | 2,760,000<br>55,500<br>1,328,000               | 1 191,16<br>876,05                | 0 0 15<br>0 5 37                      | 9.06<br>14.57<br>13.90         |
| 4 22<br>4.02<br>2.70            | 000 人呂集                                       | 2.85<br>4.00<br>3.875<br>2.35   | 4 026                                     | 3 975                                                                                                                                                                                                                                                                                                                                                                                                                                                                                                                                                                                                                                                                                                                                                                                                                                                                                                                                                                                                                                                                                                                                                                                                                                                                                                                                                                                                                                                                                                                                                                                                                                                                                                                                                                                                                                                                                                                                                                                                                                                                                                                          |                                  | 4 00<br>3 85<br>2 375            | 3 975<br>3 95                  | 4 . mm . + w               | -130                                    | 544,250                                        | 2 173 39<br>626 82                | 4 135<br>4 131                        | 3.39<br>7.46<br>29.58          |
| 1.21<br>3.028<br>1.41           | 091 德榮建獎                                      | 1 05<br>3 00<br>1 24            | 1 04<br>3 025<br>1 24                     | 1.01                                                                                                                                                                                                                                                                                                                                                                                                                                                                                                                                                                                                                                                                                                                                                                                                                                                                                                                                                                                                                                                                                                                                                                                                                                                                                                                                                                                                                                                                                                                                                                                                                                                                                                                                                                                                                                                                                                                                                                                                                                                                                                                           | 1.01                             | 1.03<br>3.025<br>1.25            | 1 01<br>3 025<br>1.24          | -0 04<br>-1 0 025<br>      | 18<br>170                               | 536 000<br>116 000<br>638 000                  | 551,90<br>349,50                  | 0 0 34                                | 110B1<br>D1 16                 |
| 1.72                            | 028 大安中國會<br>266 天 唐白座<br>267 泰衛發展會           | 117<br>162<br>130               | 1 23<br>1 54<br>1 35                      | 1 16<br>1 52                                                                                                                                                                                                                                                                                                                                                                                                                                                                                                                                                                                                                                                                                                                                                                                                                                                                                                                                                                                                                                                                                                                                                                                                                                                                                                                                                                                                                                                                                                                                                                                                                                                                                                                                                                                                                                                                                                                                                                                                                                                                                                                   | 1 23                             | 1.54<br>1.54                     | 1.23<br>1.52<br>1.32           | +006<br>-010<br>+002       | +14<br>7<br>+44                         | 6,688 000<br>35 600<br>13,490 000              | 6,919,08<br>54,02                 | 0 0 42<br>4 0 52                      | 31 /0<br>7.75                  |
| 1.17<br>6.00<br>7.85            | 278 单道世来<br>283 神益世来<br>004 九 配 倉             | 0 39<br>4 75<br>7 45            | 0.05<br>7.45                              | 7 40                                                                                                                                                                                                                                                                                                                                                                                                                                                                                                                                                                                                                                                                                                                                                                                                                                                                                                                                                                                                                                                                                                                                                                                                                                                                                                                                                                                                                                                                                                                                                                                                                                                                                                                                                                                                                                                                                                                                                                                                                                                                                                                           | 0 94<br>4 70<br>7 40             | 0.97<br>4.80<br>7.45             | 0 95<br>4 75<br>7.45           | -003                       | -26<br>-                                | 36 000<br>564,412                              | 94,20                             | 0 0 32<br>- 1 61<br>6 2 63            | 2 25<br>15 45<br>12 62         |
| 2 30<br>0 10<br>2 70            | 287 永後選業<br>288 永 高 基<br>291 永 達 礼            | 2 05<br>0 17 I<br>1 80          | 0 172<br>1 86                             | 017                                                                                                                                                                                                                                                                                                                                                                                                                                                                                                                                                                                                                                                                                                                                                                                                                                                                                                                                                                                                                                                                                                                                                                                                                                                                                                                                                                                                                                                                                                                                                                                                                                                                                                                                                                                                                                                                                                                                                                                                                                                                                                                            | 2 05<br>0 17<br>1 82             | 2.10<br>Q.+72<br>1.86            | 2.05<br>0.172<br>1.84          | +004                       | +38                                     | 330 000                                        | 56,38<br>36,56                    | 0 70<br>0 06<br>0 063                 | 7 62<br>245 71<br>62 14        |
| 365                             | १९७ १६ मध्य                                   | 365                             | 3 626<br>1 60                             | 4                                                                                                                                                                                                                                                                                                                                                                                                                                                                                                                                                                                                                                                                                                                                                                                                                                                                                                                                                                                                                                                                                                                                                                                                                                                                                                                                                                                                                                                                                                                                                                                                                                                                                                                                                                                                                                                                                                                                                                                                                                                                                                                              | 3 60<br>1 60                     | 3 625<br>1 64                    | 4                              |                            | <del>~~~</del>                          | 60 000                                         | 216,25                            | 0 123                                 | A the Thirt bearing            |
|                                 |                                               |                                 |                                           | ,                                                                                                                                                                                                                                                                                                                                                                                                                                                                                                                                                                                                                                                                                                                                                                                                                                                                                                                                                                                                                                                                                                                                                                                                                                                                                                                                                                                                                                                                                                                                                                                                                                                                                                                                                                                                                                                                                                                                                                                                                                                                                                                              |                                  |                                  |                                | ***********                |                                         |                                                |                                   |                                       |                                |
|                                 |                                               |                                 |                                           |                                                                                                                                                                                                                                                                                                                                                                                                                                                                                                                                                                                                                                                                                                                                                                                                                                                                                                                                                                                                                                                                                                                                                                                                                                                                                                                                                                                                                                                                                                                                                                                                                                                                                                                                                                                                                                                                                                                                                                                                                                                                                                                                |                                  |                                  |                                |                            |                                         | A amin                                         | + +                               |                                       |                                |
|                                 | 30°                                           |                                 |                                           |                                                                                                                                                                                                                                                                                                                                                                                                                                                                                                                                                                                                                                                                                                                                                                                                                                                                                                                                                                                                                                                                                                                                                                                                                                                                                                                                                                                                                                                                                                                                                                                                                                                                                                                                                                                                                                                                                                                                                                                                                                                                                                                                |                                  |                                  |                                |                            |                                         | -                                              |                                   |                                       | T                              |
|                                 | A See Marky and an in the second              | , ,                             |                                           |                                                                                                                                                                                                                                                                                                                                                                                                                                                                                                                                                                                                                                                                                                                                                                                                                                                                                                                                                                                                                                                                                                                                                                                                                                                                                                                                                                                                                                                                                                                                                                                                                                                                                                                                                                                                                                                                                                                                                                                                                                                                                                                                |                                  |                                  |                                |                            | *************************************** |                                                |                                   |                                       |                                |
| 1                               |                                               |                                 |                                           |                                                                                                                                                                                                                                                                                                                                                                                                                                                                                                                                                                                                                                                                                                                                                                                                                                                                                                                                                                                                                                                                                                                                                                                                                                                                                                                                                                                                                                                                                                                                                                                                                                                                                                                                                                                                                                                                                                                                                                                                                                                                                                                                |                                  |                                  |                                |                            |                                         |                                                |                                   |                                       |                                |
|                                 |                                               |                                 |                                           |                                                                                                                                                                                                                                                                                                                                                                                                                                                                                                                                                                                                                                                                                                                                                                                                                                                                                                                                                                                                                                                                                                                                                                                                                                                                                                                                                                                                                                                                                                                                                                                                                                                                                                                                                                                                                                                                                                                                                                                                                                                                                                                                |                                  |                                  |                                |                            |                                         |                                                |                                   |                                       |                                |
|                                 | - · ·                                         | +                               | 1                                         | 1                                                                                                                                                                                                                                                                                                                                                                                                                                                                                                                                                                                                                                                                                                                                                                                                                                                                                                                                                                                                                                                                                                                                                                                                                                                                                                                                                                                                                                                                                                                                                                                                                                                                                                                                                                                                                                                                                                                                                                                                                                                                                                                              | 1 .                              |                                  | 1                              |                            | •                                       | _                                              |                                   |                                       |                                |
|                                 |                                               |                                 |                                           |                                                                                                                                                                                                                                                                                                                                                                                                                                                                                                                                                                                                                                                                                                                                                                                                                                                                                                                                                                                                                                                                                                                                                                                                                                                                                                                                                                                                                                                                                                                                                                                                                                                                                                                                                                                                                                                                                                                                                                                                                                                                                                                                |                                  |                                  |                                |                            | 75.00                                   |                                                |                                   |                                       |                                |
| 121.0                           |                                               | 9 15                            | 9 15                                      | ή Q                                                                                                                                                                                                                                                                                                                                                                                                                                                                                                                                                                                                                                                                                                                                                                                                                                                                                                                                                                                                                                                                                                                                                                                                                                                                                                                                                                                                                                                                                                                                                                                                                                                                                                                                                                                                                                                                                                                                                                                                                                                                                                                            | 915                              | 9 20<br>0 49                     | ) 1:                           |                            | 7 5:36 4.2                              | 18,600                                         |                                   |                                       |                                |
| 124.5                           | 162 虎 - 剣<br>170 - L乗lx真                      | 9 15<br>0 499                   |                                           |                                                                                                                                                                                                                                                                                                                                                                                                                                                                                                                                                                                                                                                                                                                                                                                                                                                                                                                                                                                                                                                                                                                                                                                                                                                                                                                                                                                                                                                                                                                                                                                                                                                                                                                                                                                                                                                                                                                                                                                                                                                                                                                                | 1 -                              | , -                              | ) I:<br>) 481                  | 6.01                       | 44                                      | 18,600<br>70 000                               |                                   |                                       |                                |

湿運命給交途前將莫

百

和股價表現頗穩

務發展至中菲泰

定穩務業技科利興營

爲作有作合資台與關

年份

6/03/86-31/12/90

06/05/88-31/12/93

21/12/87-- 31/12/90

01/03/88 ~31/12/93

01/97/88 - 30/08/91

01/02/87 - 31/12/91

01/10/88+31/10/91

10/04/87 - 30/08/91

11/10/87 31/12/92

恒生分類指數

代號 股聚名稱

476 播音 每外

466 ROBINA

144 R 12 11 300

111 书纸集为

475 15

香港指數: 1932.50

認股價

2/3

131

7 80

2595.66

估

塢

自是事



| 今年<br>最高價                                 | 代號 酸聚名物            | 上日枚市                                                                                                                                                                                                                                                                                                                                                                                                                                                                                                                                                                                                                                                                                                                                                                                                                                                                                                                                                                                                                                                                                                                                                                                                                                                                                                                                                                                                                                                                                                                                                                                                                                                                                                                                                                                                                                                                                                                                                                                                                                                                                                                           | 級高        |
|-------------------------------------------|--------------------|--------------------------------------------------------------------------------------------------------------------------------------------------------------------------------------------------------------------------------------------------------------------------------------------------------------------------------------------------------------------------------------------------------------------------------------------------------------------------------------------------------------------------------------------------------------------------------------------------------------------------------------------------------------------------------------------------------------------------------------------------------------------------------------------------------------------------------------------------------------------------------------------------------------------------------------------------------------------------------------------------------------------------------------------------------------------------------------------------------------------------------------------------------------------------------------------------------------------------------------------------------------------------------------------------------------------------------------------------------------------------------------------------------------------------------------------------------------------------------------------------------------------------------------------------------------------------------------------------------------------------------------------------------------------------------------------------------------------------------------------------------------------------------------------------------------------------------------------------------------------------------------------------------------------------------------------------------------------------------------------------------------------------------------------------------------------------------------------------------------------------------|-----------|
| F. 18 18 18 18 18 18 18 18 18 18 18 18 18 | 3400 4 500 2 2 2 2 | The second secon |           |
| <b>等於於</b>                                |                    | A Landing St.                                                                                                                                                                                                                                                                                                                                                                                                                                                                                                                                                                                                                                                                                                                                                                                                                                                                                                                                                                                                                                                                                                                                                                                                                                                                                                                                                                                                                                                                                                                                                                                                                                                                                                                                                                                                                                                                                                                                                                                                                                                                                                                  | <b>学生</b> |
| 9 95                                      | 021 聯合企業           | 9 85                                                                                                                                                                                                                                                                                                                                                                                                                                                                                                                                                                                                                                                                                                                                                                                                                                                                                                                                                                                                                                                                                                                                                                                                                                                                                                                                                                                                                                                                                                                                                                                                                                                                                                                                                                                                                                                                                                                                                                                                                                                                                                                           | -         |
| 10.50                                     | 103 亞洲保險           | 9.80                                                                                                                                                                                                                                                                                                                                                                                                                                                                                                                                                                                                                                                                                                                                                                                                                                                                                                                                                                                                                                                                                                                                                                                                                                                                                                                                                                                                                                                                                                                                                                                                                                                                                                                                                                                                                                                                                                                                                                                                                                                                                                                           |           |
| 18,30                                     | 023 東亞維行           | 13.30                                                                                                                                                                                                                                                                                                                                                                                                                                                                                                                                                                                                                                                                                                                                                                                                                                                                                                                                                                                                                                                                                                                                                                                                                                                                                                                                                                                                                                                                                                                                                                                                                                                                                                                                                                                                                                                                                                                                                                                                                                                                                                                          | 13.30     |
| 3.70                                      | 123 高宏觀錄▲          | 3.375                                                                                                                                                                                                                                                                                                                                                                                                                                                                                                                                                                                                                                                                                                                                                                                                                                                                                                                                                                                                                                                                                                                                                                                                                                                                                                                                                                                                                                                                                                                                                                                                                                                                                                                                                                                                                                                                                                                                                                                                                                                                                                                          | 3.37      |
|                                           | 110 中国東方           |                                                                                                                                                                                                                                                                                                                                                                                                                                                                                                                                                                                                                                                                                                                                                                                                                                                                                                                                                                                                                                                                                                                                                                                                                                                                                                                                                                                                                                                                                                                                                                                                                                                                                                                                                                                                                                                                                                                                                                                                                                                                                                                                |           |
| 2 05                                      | 121 紀徳賈樂           | 1 85                                                                                                                                                                                                                                                                                                                                                                                                                                                                                                                                                                                                                                                                                                                                                                                                                                                                                                                                                                                                                                                                                                                                                                                                                                                                                                                                                                                                                                                                                                                                                                                                                                                                                                                                                                                                                                                                                                                                                                                                                                                                                                                           | 1,91      |
| 1 24                                      | 106 Crusader       | 0.85                                                                                                                                                                                                                                                                                                                                                                                                                                                                                                                                                                                                                                                                                                                                                                                                                                                                                                                                                                                                                                                                                                                                                                                                                                                                                                                                                                                                                                                                                                                                                                                                                                                                                                                                                                                                                                                                                                                                                                                                                                                                                                                           | 0.89      |
| 6 45                                      | 440 大新金雕           | 6.40                                                                                                                                                                                                                                                                                                                                                                                                                                                                                                                                                                                                                                                                                                                                                                                                                                                                                                                                                                                                                                                                                                                                                                                                                                                                                                                                                                                                                                                                                                                                                                                                                                                                                                                                                                                                                                                                                                                                                                                                                                                                                                                           | 6 40      |
| . 153                                     | 053 劇亨集團           | 1.38                                                                                                                                                                                                                                                                                                                                                                                                                                                                                                                                                                                                                                                                                                                                                                                                                                                                                                                                                                                                                                                                                                                                                                                                                                                                                                                                                                                                                                                                                                                                                                                                                                                                                                                                                                                                                                                                                                                                                                                                                                                                                                                           | 1 39      |
|                                           | 129 財務地庫。          |                                                                                                                                                                                                                                                                                                                                                                                                                                                                                                                                                                                                                                                                                                                                                                                                                                                                                                                                                                                                                                                                                                                                                                                                                                                                                                                                                                                                                                                                                                                                                                                                                                                                                                                                                                                                                                                                                                                                                                                                                                                                                                                                |           |
| 0.031                                     |                    | 0.026                                                                                                                                                                                                                                                                                                                                                                                                                                                                                                                                                                                                                                                                                                                                                                                                                                                                                                                                                                                                                                                                                                                                                                                                                                                                                                                                                                                                                                                                                                                                                                                                                                                                                                                                                                                                                                                                                                                                                                                                                                                                                                                          | 0.02      |
| 7.85                                      | 497 第一大平(優)        | 7.85                                                                                                                                                                                                                                                                                                                                                                                                                                                                                                                                                                                                                                                                                                                                                                                                                                                                                                                                                                                                                                                                                                                                                                                                                                                                                                                                                                                                                                                                                                                                                                                                                                                                                                                                                                                                                                                                                                                                                                                                                                                                                                                           | ·         |
| 1.60                                      | 142 第一人平           | 1.49                                                                                                                                                                                                                                                                                                                                                                                                                                                                                                                                                                                                                                                                                                                                                                                                                                                                                                                                                                                                                                                                                                                                                                                                                                                                                                                                                                                                                                                                                                                                                                                                                                                                                                                                                                                                                                                                                                                                                                                                                                                                                                                           | 1 53      |
| 3 175                                     | 214 第一人特資庫         | 2.875                                                                                                                                                                                                                                                                                                                                                                                                                                                                                                                                                                                                                                                                                                                                                                                                                                                                                                                                                                                                                                                                                                                                                                                                                                                                                                                                                                                                                                                                                                                                                                                                                                                                                                                                                                                                                                                                                                                                                                                                                                                                                                                          |           |
| 20.50                                     | 011 傾生銀行           | 19.20                                                                                                                                                                                                                                                                                                                                                                                                                                                                                                                                                                                                                                                                                                                                                                                                                                                                                                                                                                                                                                                                                                                                                                                                                                                                                                                                                                                                                                                                                                                                                                                                                                                                                                                                                                                                                                                                                                                                                                                                                                                                                                                          | 19 30     |
| 6.781                                     | 005 隨豐銀行           | 5.85                                                                                                                                                                                                                                                                                                                                                                                                                                                                                                                                                                                                                                                                                                                                                                                                                                                                                                                                                                                                                                                                                                                                                                                                                                                                                                                                                                                                                                                                                                                                                                                                                                                                                                                                                                                                                                                                                                                                                                                                                                                                                                                           | 5.85      |
| 10 70                                     | 145 建塑質款           | 10.20                                                                                                                                                                                                                                                                                                                                                                                                                                                                                                                                                                                                                                                                                                                                                                                                                                                                                                                                                                                                                                                                                                                                                                                                                                                                                                                                                                                                                                                                                                                                                                                                                                                                                                                                                                                                                                                                                                                                                                                                                                                                                                                          | ·         |
| 1.58                                      | 183 基珠銀行           | 1.32                                                                                                                                                                                                                                                                                                                                                                                                                                                                                                                                                                                                                                                                                                                                                                                                                                                                                                                                                                                                                                                                                                                                                                                                                                                                                                                                                                                                                                                                                                                                                                                                                                                                                                                                                                                                                                                                                                                                                                                                                                                                                                                           |           |
| 4 00                                      | 197 倫太保險           | 3.763                                                                                                                                                                                                                                                                                                                                                                                                                                                                                                                                                                                                                                                                                                                                                                                                                                                                                                                                                                                                                                                                                                                                                                                                                                                                                                                                                                                                                                                                                                                                                                                                                                                                                                                                                                                                                                                                                                                                                                                                                                                                                                                          |           |
| 0.62                                      | 376 無勝證券           | . 052                                                                                                                                                                                                                                                                                                                                                                                                                                                                                                                                                                                                                                                                                                                                                                                                                                                                                                                                                                                                                                                                                                                                                                                                                                                                                                                                                                                                                                                                                                                                                                                                                                                                                                                                                                                                                                                                                                                                                                                                                                                                                                                          | 0.66      |
| 0.88                                      | 222 阿信集團           | 0.54                                                                                                                                                                                                                                                                                                                                                                                                                                                                                                                                                                                                                                                                                                                                                                                                                                                                                                                                                                                                                                                                                                                                                                                                                                                                                                                                                                                                                                                                                                                                                                                                                                                                                                                                                                                                                                                                                                                                                                                                                                                                                                                           | 0.54      |
|                                           | 495 白 4) 大         |                                                                                                                                                                                                                                                                                                                                                                                                                                                                                                                                                                                                                                                                                                                                                                                                                                                                                                                                                                                                                                                                                                                                                                                                                                                                                                                                                                                                                                                                                                                                                                                                                                                                                                                                                                                                                                                                                                                                                                                                                                                                                                                                |           |
| 0.66                                      | 226 黑意护務           | 0.54                                                                                                                                                                                                                                                                                                                                                                                                                                                                                                                                                                                                                                                                                                                                                                                                                                                                                                                                                                                                                                                                                                                                                                                                                                                                                                                                                                                                                                                                                                                                                                                                                                                                                                                                                                                                                                                                                                                                                                                                                                                                                                                           |           |
| 0.40                                      | 227 火紫國際 1         | 0.35                                                                                                                                                                                                                                                                                                                                                                                                                                                                                                                                                                                                                                                                                                                                                                                                                                                                                                                                                                                                                                                                                                                                                                                                                                                                                                                                                                                                                                                                                                                                                                                                                                                                                                                                                                                                                                                                                                                                                                                                                                                                                                                           | 0.33      |
| 2.20                                      | 086 新鴻基公司▲。        | 1.98                                                                                                                                                                                                                                                                                                                                                                                                                                                                                                                                                                                                                                                                                                                                                                                                                                                                                                                                                                                                                                                                                                                                                                                                                                                                                                                                                                                                                                                                                                                                                                                                                                                                                                                                                                                                                                                                                                                                                                                                                                                                                                                           | 197       |
| 2 35                                      | 265 應利投資           | 2.20                                                                                                                                                                                                                                                                                                                                                                                                                                                                                                                                                                                                                                                                                                                                                                                                                                                                                                                                                                                                                                                                                                                                                                                                                                                                                                                                                                                                                                                                                                                                                                                                                                                                                                                                                                                                                                                                                                                                                                                                                                                                                                                           | 5 50      |
| 1.28                                      | 258 湯臣太平洋          | 0.90                                                                                                                                                                                                                                                                                                                                                                                                                                                                                                                                                                                                                                                                                                                                                                                                                                                                                                                                                                                                                                                                                                                                                                                                                                                                                                                                                                                                                                                                                                                                                                                                                                                                                                                                                                                                                                                                                                                                                                                                                                                                                                                           | 0.92      |
| 1.8d                                      | 349 英聯銀行本          | 1 66                                                                                                                                                                                                                                                                                                                                                                                                                                                                                                                                                                                                                                                                                                                                                                                                                                                                                                                                                                                                                                                                                                                                                                                                                                                                                                                                                                                                                                                                                                                                                                                                                                                                                                                                                                                                                                                                                                                                                                                                                                                                                                                           | 1.66      |
|                                           | 274 人基银行           | 24 00                                                                                                                                                                                                                                                                                                                                                                                                                                                                                                                                                                                                                                                                                                                                                                                                                                                                                                                                                                                                                                                                                                                                                                                                                                                                                                                                                                                                                                                                                                                                                                                                                                                                                                                                                                                                                                                                                                                                                                                                                                                                                                                          |           |
| 33 50                                     | 096 水料 旅行          | 29.50                                                                                                                                                                                                                                                                                                                                                                                                                                                                                                                                                                                                                                                                                                                                                                                                                                                                                                                                                                                                                                                                                                                                                                                                                                                                                                                                                                                                                                                                                                                                                                                                                                                                                                                                                                                                                                                                                                                                                                                                                                                                                                                          | 29 60     |
|                                           | 1                  |                                                                                                                                                                                                                                                                                                                                                                                                                                                                                                                                                                                                                                                                                                                                                                                                                                                                                                                                                                                                                                                                                                                                                                                                                                                                                                                                                                                                                                                                                                                                                                                                                                                                                                                                                                                                                                                                                                                                                                                                                                                                                                                                | 1.1       |
|                                           |                    |                                                                                                                                                                                                                                                                                                                                                                                                                                                                                                                                                                                                                                                                                                                                                                                                                                                                                                                                                                                                                                                                                                                                                                                                                                                                                                                                                                                                                                                                                                                                                                                                                                                                                                                                                                                                                                                                                                                                                                                                                                                                                                                                |           |
|                                           |                    |                                                                                                                                                                                                                                                                                                                                                                                                                                                                                                                                                                                                                                                                                                                                                                                                                                                                                                                                                                                                                                                                                                                                                                                                                                                                                                                                                                                                                                                                                                                                                                                                                                                                                                                                                                                                                                                                                                                                                                                                                                                                                                                                | ,         |
|                                           | 1                  | 1,1                                                                                                                                                                                                                                                                                                                                                                                                                                                                                                                                                                                                                                                                                                                                                                                                                                                                                                                                                                                                                                                                                                                                                                                                                                                                                                                                                                                                                                                                                                                                                                                                                                                                                                                                                                                                                                                                                                                                                                                                                                                                                                                            | h         |

|       |                                                                                                                                                                                                                                                                                                                                                                                                                                                                                                                                                                                                                                                                                                                                                                                                                                                                                                                                                                                                                                                                                                                                                                                                                                                                                                                                                                                                                                                                                                                                                                                                                                                                                                                                                                                                                                                                                                                                                                                                                                                                                                                                | 7       |   |
|-------|--------------------------------------------------------------------------------------------------------------------------------------------------------------------------------------------------------------------------------------------------------------------------------------------------------------------------------------------------------------------------------------------------------------------------------------------------------------------------------------------------------------------------------------------------------------------------------------------------------------------------------------------------------------------------------------------------------------------------------------------------------------------------------------------------------------------------------------------------------------------------------------------------------------------------------------------------------------------------------------------------------------------------------------------------------------------------------------------------------------------------------------------------------------------------------------------------------------------------------------------------------------------------------------------------------------------------------------------------------------------------------------------------------------------------------------------------------------------------------------------------------------------------------------------------------------------------------------------------------------------------------------------------------------------------------------------------------------------------------------------------------------------------------------------------------------------------------------------------------------------------------------------------------------------------------------------------------------------------------------------------------------------------------------------------------------------------------------------------------------------------------|---------|---|
| p by  |                                                                                                                                                                                                                                                                                                                                                                                                                                                                                                                                                                                                                                                                                                                                                                                                                                                                                                                                                                                                                                                                                                                                                                                                                                                                                                                                                                                                                                                                                                                                                                                                                                                                                                                                                                                                                                                                                                                                                                                                                                                                                                                                |         | , |
|       |                                                                                                                                                                                                                                                                                                                                                                                                                                                                                                                                                                                                                                                                                                                                                                                                                                                                                                                                                                                                                                                                                                                                                                                                                                                                                                                                                                                                                                                                                                                                                                                                                                                                                                                                                                                                                                                                                                                                                                                                                                                                                                                                | 1)      |   |
|       |                                                                                                                                                                                                                                                                                                                                                                                                                                                                                                                                                                                                                                                                                                                                                                                                                                                                                                                                                                                                                                                                                                                                                                                                                                                                                                                                                                                                                                                                                                                                                                                                                                                                                                                                                                                                                                                                                                                                                                                                                                                                                                                                | 11      |   |
|       |                                                                                                                                                                                                                                                                                                                                                                                                                                                                                                                                                                                                                                                                                                                                                                                                                                                                                                                                                                                                                                                                                                                                                                                                                                                                                                                                                                                                                                                                                                                                                                                                                                                                                                                                                                                                                                                                                                                                                                                                                                                                                                                                |         |   |
| 140   | 104 冠亞爾英                                                                                                                                                                                                                                                                                                                                                                                                                                                                                                                                                                                                                                                                                                                                                                                                                                                                                                                                                                                                                                                                                                                                                                                                                                                                                                                                                                                                                                                                                                                                                                                                                                                                                                                                                                                                                                                                                                                                                                                                                                                                                                                       | 1,32    |   |
| 2 50  | 271 亚州武器                                                                                                                                                                                                                                                                                                                                                                                                                                                                                                                                                                                                                                                                                                                                                                                                                                                                                                                                                                                                                                                                                                                                                                                                                                                                                                                                                                                                                                                                                                                                                                                                                                                                                                                                                                                                                                                                                                                                                                                                                                                                                                                       | 2 30    |   |
| 1.08  | 024 賽成集團 -                                                                                                                                                                                                                                                                                                                                                                                                                                                                                                                                                                                                                                                                                                                                                                                                                                                                                                                                                                                                                                                                                                                                                                                                                                                                                                                                                                                                                                                                                                                                                                                                                                                                                                                                                                                                                                                                                                                                                                                                                                                                                                                     | 0 95    |   |
| 1 65  | 025 地士國際                                                                                                                                                                                                                                                                                                                                                                                                                                                                                                                                                                                                                                                                                                                                                                                                                                                                                                                                                                                                                                                                                                                                                                                                                                                                                                                                                                                                                                                                                                                                                                                                                                                                                                                                                                                                                                                                                                                                                                                                                                                                                                                       | f 82    |   |
| 2.80  | 116周生生                                                                                                                                                                                                                                                                                                                                                                                                                                                                                                                                                                                                                                                                                                                                                                                                                                                                                                                                                                                                                                                                                                                                                                                                                                                                                                                                                                                                                                                                                                                                                                                                                                                                                                                                                                                                                                                                                                                                                                                                                                                                                                                         | 2 55    | · |
| 0.62  | 367 祥士被博                                                                                                                                                                                                                                                                                                                                                                                                                                                                                                                                                                                                                                                                                                                                                                                                                                                                                                                                                                                                                                                                                                                                                                                                                                                                                                                                                                                                                                                                                                                                                                                                                                                                                                                                                                                                                                                                                                                                                                                                                                                                                                                       | 0.59    |   |
| 0.90  | 508 其出商幾國際                                                                                                                                                                                                                                                                                                                                                                                                                                                                                                                                                                                                                                                                                                                                                                                                                                                                                                                                                                                                                                                                                                                                                                                                                                                                                                                                                                                                                                                                                                                                                                                                                                                                                                                                                                                                                                                                                                                                                                                                                                                                                                                     | 0.84    |   |
| 111   | 441 海海洋流行                                                                                                                                                                                                                                                                                                                                                                                                                                                                                                                                                                                                                                                                                                                                                                                                                                                                                                                                                                                                                                                                                                                                                                                                                                                                                                                                                                                                                                                                                                                                                                                                                                                                                                                                                                                                                                                                                                                                                                                                                                                                                                                      | 0.83    |   |
| 0.29  | 284 22.40 ₽₹                                                                                                                                                                                                                                                                                                                                                                                                                                                                                                                                                                                                                                                                                                                                                                                                                                                                                                                                                                                                                                                                                                                                                                                                                                                                                                                                                                                                                                                                                                                                                                                                                                                                                                                                                                                                                                                                                                                                                                                                                                                                                                                   | 0.265   |   |
| 10.80 | D13 和起黄坤本                                                                                                                                                                                                                                                                                                                                                                                                                                                                                                                                                                                                                                                                                                                                                                                                                                                                                                                                                                                                                                                                                                                                                                                                                                                                                                                                                                                                                                                                                                                                                                                                                                                                                                                                                                                                                                                                                                                                                                                                                                                                                                                      | 10.30   | ' |
| 4 65  | 165 滋本系集團                                                                                                                                                                                                                                                                                                                                                                                                                                                                                                                                                                                                                                                                                                                                                                                                                                                                                                                                                                                                                                                                                                                                                                                                                                                                                                                                                                                                                                                                                                                                                                                                                                                                                                                                                                                                                                                                                                                                                                                                                                                                                                                      | 4.85    |   |
| 0.92  | 176 志正降際                                                                                                                                                                                                                                                                                                                                                                                                                                                                                                                                                                                                                                                                                                                                                                                                                                                                                                                                                                                                                                                                                                                                                                                                                                                                                                                                                                                                                                                                                                                                                                                                                                                                                                                                                                                                                                                                                                                                                                                                                                                                                                                       | 0.92    |   |
| 30.00 | D15 作的利用空机管                                                                                                                                                                                                                                                                                                                                                                                                                                                                                                                                                                                                                                                                                                                                                                                                                                                                                                                                                                                                                                                                                                                                                                                                                                                                                                                                                                                                                                                                                                                                                                                                                                                                                                                                                                                                                                                                                                                                                                                                                                                                                                                    | > 28.80 | ŀ |
| 17.70 | 208 作和策略                                                                                                                                                                                                                                                                                                                                                                                                                                                                                                                                                                                                                                                                                                                                                                                                                                                                                                                                                                                                                                                                                                                                                                                                                                                                                                                                                                                                                                                                                                                                                                                                                                                                                                                                                                                                                                                                                                                                                                                                                                                                                                                       | 16.50   | , |
| 15.40 | 209 他和策略(優)                                                                                                                                                                                                                                                                                                                                                                                                                                                                                                                                                                                                                                                                                                                                                                                                                                                                                                                                                                                                                                                                                                                                                                                                                                                                                                                                                                                                                                                                                                                                                                                                                                                                                                                                                                                                                                                                                                                                                                                                                                                                                                                    | 16.00   |   |
| 1.25  | 174 奇感集團者                                                                                                                                                                                                                                                                                                                                                                                                                                                                                                                                                                                                                                                                                                                                                                                                                                                                                                                                                                                                                                                                                                                                                                                                                                                                                                                                                                                                                                                                                                                                                                                                                                                                                                                                                                                                                                                                                                                                                                                                                                                                                                                      | 1.24    |   |
| 4.075 | 194 廖 劇 周                                                                                                                                                                                                                                                                                                                                                                                                                                                                                                                                                                                                                                                                                                                                                                                                                                                                                                                                                                                                                                                                                                                                                                                                                                                                                                                                                                                                                                                                                                                                                                                                                                                                                                                                                                                                                                                                                                                                                                                                                                                                                                                      | 3.76    |   |
|       | 070 德智發展                                                                                                                                                                                                                                                                                                                                                                                                                                                                                                                                                                                                                                                                                                                                                                                                                                                                                                                                                                                                                                                                                                                                                                                                                                                                                                                                                                                                                                                                                                                                                                                                                                                                                                                                                                                                                                                                                                                                                                                                                                                                                                                       |         | 4 |
|       | 205 Mega Pac                                                                                                                                                                                                                                                                                                                                                                                                                                                                                                                                                                                                                                                                                                                                                                                                                                                                                                                                                                                                                                                                                                                                                                                                                                                                                                                                                                                                                                                                                                                                                                                                                                                                                                                                                                                                                                                                                                                                                                                                                                                                                                                   |         | 1 |
| 1.06  | 478 名力集團                                                                                                                                                                                                                                                                                                                                                                                                                                                                                                                                                                                                                                                                                                                                                                                                                                                                                                                                                                                                                                                                                                                                                                                                                                                                                                                                                                                                                                                                                                                                                                                                                                                                                                                                                                                                                                                                                                                                                                                                                                                                                                                       | 0.97    |   |
|       | 218 王 集 團                                                                                                                                                                                                                                                                                                                                                                                                                                                                                                                                                                                                                                                                                                                                                                                                                                                                                                                                                                                                                                                                                                                                                                                                                                                                                                                                                                                                                                                                                                                                                                                                                                                                                                                                                                                                                                                                                                                                                                                                                                                                                                                      | 1,21,1  |   |
| 5.10  | 438 太平協和 /                                                                                                                                                                                                                                                                                                                                                                                                                                                                                                                                                                                                                                                                                                                                                                                                                                                                                                                                                                                                                                                                                                                                                                                                                                                                                                                                                                                                                                                                                                                                                                                                                                                                                                                                                                                                                                                                                                                                                                                                                                                                                                                     | 5.00    |   |
| 0,57  | 282, 百编門候展                                                                                                                                                                                                                                                                                                                                                                                                                                                                                                                                                                                                                                                                                                                                                                                                                                                                                                                                                                                                                                                                                                                                                                                                                                                                                                                                                                                                                                                                                                                                                                                                                                                                                                                                                                                                                                                                                                                                                                                                                                                                                                                     | 0.48    |   |
| 2.90  | 224 建生面牌                                                                                                                                                                                                                                                                                                                                                                                                                                                                                                                                                                                                                                                                                                                                                                                                                                                                                                                                                                                                                                                                                                                                                                                                                                                                                                                                                                                                                                                                                                                                                                                                                                                                                                                                                                                                                                                                                                                                                                                                                                                                                                                       | 2.775   |   |
| 3.225 | 249 森 那 第                                                                                                                                                                                                                                                                                                                                                                                                                                                                                                                                                                                                                                                                                                                                                                                                                                                                                                                                                                                                                                                                                                                                                                                                                                                                                                                                                                                                                                                                                                                                                                                                                                                                                                                                                                                                                                                                                                                                                                                                                                                                                                                      | 3.225   |   |
| 0.72  | 253 解: 他投資                                                                                                                                                                                                                                                                                                                                                                                                                                                                                                                                                                                                                                                                                                                                                                                                                                                                                                                                                                                                                                                                                                                                                                                                                                                                                                                                                                                                                                                                                                                                                                                                                                                                                                                                                                                                                                                                                                                                                                                                                                                                                                                     | 0.63    |   |
| 17.70 | 019 太古洋行A                                                                                                                                                                                                                                                                                                                                                                                                                                                                                                                                                                                                                                                                                                                                                                                                                                                                                                                                                                                                                                                                                                                                                                                                                                                                                                                                                                                                                                                                                                                                                                                                                                                                                                                                                                                                                                                                                                                                                                                                                                                                                                                      | 17.80   |   |
| 3.025 |                                                                                                                                                                                                                                                                                                                                                                                                                                                                                                                                                                                                                                                                                                                                                                                                                                                                                                                                                                                                                                                                                                                                                                                                                                                                                                                                                                                                                                                                                                                                                                                                                                                                                                                                                                                                                                                                                                                                                                                                                                                                                                                                | 2.95    |   |
| 1,03  | 009 電視企業                                                                                                                                                                                                                                                                                                                                                                                                                                                                                                                                                                                                                                                                                                                                                                                                                                                                                                                                                                                                                                                                                                                                                                                                                                                                                                                                                                                                                                                                                                                                                                                                                                                                                                                                                                                                                                                                                                                                                                                                                                                                                                                       | 1:00    |   |
| 1.70  | 369 富澤國際                                                                                                                                                                                                                                                                                                                                                                                                                                                                                                                                                                                                                                                                                                                                                                                                                                                                                                                                                                                                                                                                                                                                                                                                                                                                                                                                                                                                                                                                                                                                                                                                                                                                                                                                                                                                                                                                                                                                                                                                                                                                                                                       | 1.58    | _ |
| 13 40 | 290 永安集団                                                                                                                                                                                                                                                                                                                                                                                                                                                                                                                                                                                                                                                                                                                                                                                                                                                                                                                                                                                                                                                                                                                                                                                                                                                                                                                                                                                                                                                                                                                                                                                                                                                                                                                                                                                                                                                                                                                                                                                                                                                                                                                       | 12 50   |   |
| 0.82  | 532 王氏港行                                                                                                                                                                                                                                                                                                                                                                                                                                                                                                                                                                                                                                                                                                                                                                                                                                                                                                                                                                                                                                                                                                                                                                                                                                                                                                                                                                                                                                                                                                                                                                                                                                                                                                                                                                                                                                                                                                                                                                                                                                                                                                                       | 0.80    |   |
|       | And the second s |         |   |

1 02 1 95 1 85 1.95 522 ASM太平洋會 1,09 1 D9 0,36 0 35 124 043 | 好图原 0.39 481 中國印染 1.23 1 28 1.49. 1.31 单能地產▲ 116 密德石油 0.40 0.47 | 031 東力換資 88.0 1 16 118 火筒収模 2.875 122 編 魚 恒 2.70 2.675 0.68 070 487 瓶 摇 桶 0.54 033 依利安達4 0.51 0.62 1.27 --1.84 295 萬順實驗 3.30 3.50 4 075 034 梁 燕 髙 0.95 0.95 1.00 | 420 | 松田集団 0.82 0.86 0.86 136 適用電子會 1.94 1.90 2.125 040 金山實業 19.10 19.00 22.40 044 港機工程 0.184 114 此利計 垃 0 179 0.101 3.40 . 8.40 154 海港電粉 1.18 1.17 047 合映集團 1.31 1.33 187 以版4/拉 152 排 和 见 0.73 0 77 3 00 --305 172 重島印象 6 30 8 35 179 (海呂東)機快 630 --195 195 2.075 56/ 海坎科研 1.21 1.21 180 (湖,安地,前 1.27 4.65 2 55 499 11 1 3T 5 2,45 2.55 0.69 10.70 0.74 186 指 神 集 [ ] 1 88 8 40 101 触針國際 1.89 6.40 411 m 1.98 339 W POWLY 1.46 1 42 366 附近南流 670 5.65 0.86 6.60 12 南洋集團 0.88 213 與代班子 1 57 1.69 178 水油主果 1.75 10.80 0.73 10 90 075 郑显集團 0.72 243 片板圆壁 0.33 0.325

3 00-

0.50

4 00

0 88

1 62

9 30

1 06

3 625

1 14

0 143

3 55

440

9.14

4.00

123

3 95

250

0.82

8 00

1 85

1 d2

0.475

8 50

. 80

5.50

7.55

4725

5 bb

3.00

0.237

21.20

18,

(I da

0.52

5 05 173

J 18

7.35

3 025

0.62

1.19 0.90 1,60

107

360

3 60

116

3 9 7 6

1 29

3 976

0.73

250

007

8 05 1.94

8.55

0.79

680

280

470

7.30

3 675

0.237

3 625

88

0 <del>0</del>8

o 92 5 80

III

21.00

4 05

0 355 | 623 古 異國際條件 3.30 229 DECHEN 0 62 472 18 h 4 3 1 234 | 東級和職 236 生力啤酒 | 521 日來職業 448 精美難服 091 DH F SEA WE WERE 250 6 611 6 4月15 月底及陽 084 育九海嶺 D 185 078 AR AM 146 人平地町 0594 规語、樂本 450 脚带走團

518 🔊 🏗 🛨 🛊 6 90 272 14991 株 4 175 2/3 凸南集團 0.78 440 友利森紙會 2626 333 课场逐步删 0.87 413 並強制器▲★ 8.65 098 前機編業 1.94 ★ 1 月 1 000 = 1 198 294 № 124/A 0 305 298 至生實業

293 国事航空 व्यव्य के विकास 5 智 y 张 not be bein a 267 71 5 栄養 217 415,3816 34. \$ 9.044

311 人 涿 築 557 城市西 GW 35.4 45.

1,15 格樹 酉1.。A

100 0.19 at he

U 164 1J6 搭顧的 6

前ロ→のミコマ及乃會進 收补数。 力跌% 公司名稱 收出價 升跌%

1.00

1.76

3875

1 80

0.32

0.28

4.425

2.80

0.57

0.31

1.52

13.10

14 50

0.116

1 96

0.025

0.72

0.105

0.39

0.42

0.077

04/5

0.076

0.056

0.38

0.166

0.086

2.15

0.061

0.48

0,049

0.044

收市

101.00

00.00

92 25

6150

101 10

0.335

0.243

0 32

0.127

0.30

157

13 00

0.025

071

0 37

0 385

041

0.067

0.47

0076

0.054

0.36

0.16

a Q82

210

0 061 0 45

0 049

92 25

<sub>\*</sub>0.480 十4.65 萬邦航業W92 十4.28 惠泰國際W93

升跌 升跌次序

+95

-0.050

+0.005

<u> - 0.00∏</u>

-0.006

-0.010

~0010

~-0 200

40.00

\_\_\_\_

+ 0 002

4 0 0 18

4100

-0.002

10.002

10.015

~ 0.001

F 0 04

0,003

<u>0 cos</u>

0.50

0.50

4 4 100 0

0.005

-54

-26

35

1.2d

1 22

113

11

··· 0.008 --- 8

\*+30.50 金山實業W91

量交類

100,200

5,718 000

1 662 000

4 000

000,08

500,000

54**B**,000

20,200

4 094

5,514 000

452,000

198,000

<u>660,388</u>

144 196

885 000

476,000

410,000

810 000

518,200

1.068,800

8 044 691

346,254

730,000

3 060 000 500 000

39,020 000

1,140,000

37,545,000

230

港灣區是人生七元

升战%

<del>--</del>10.81

-9.37

-6.38

-6.25

-5.92

-5.76

-5.49

-4.49

行使價

8 00

8 76

1.18

12 B7

3 76

0.71

3 52

0.90

0.93

20 13

0.94

3 12

13 47

14.11

1.12

4.56

t 18 1 02

1.37 1.59 1.59 0.29 0.36 0.26

0.55 0.34

現價量率

8 33

# 91

3.91 7.59

0.330

0.870

0.044

0.075

0.127

0.049

0.085

0.170

2.275

0 465

15.94

28 96

35 34

39 40

274

-- B 83

-292

63.04

47.88

\_\_\_\_

13,70

9.15

6 06

17,55

210 99

40 91

67 66

6 49

58 73 -- 1 81

3 82

33 15

109 62

182 29

19.53

- 0.24 21 7J

1,600

1,300

溢情为。

"一3.17 世紀城市W92 1.930。十4.32 魔德接到 THE WATER 認股價 1 00 1.00 7.00 7 00 01/01/93-31/12/94 7 00 02/31/67 31/08/91 9.00 3 925 180 0.80

0.60

3 20

0.56

0.80

6,40

1,38

1.22

0.03

1 60

7 65

7 bb

1 00

z 9**2** -

1 99

0.51

1 32

1.50

5 00

460

3.47

080

1 20

0.95

132

1.15

164

0.20

6 50

0.50

0.80

6 25

7.00

7 00

0.00

4 00

7 25

10 13

8 95

0 249, 0 325

0.59

0 135

4,425

2.80

0.57

1.52

13 30

14 50

1 87

0.028

D 185

0.38

0.51

0.39

0009

0.49

0.676

0.054

0.365

0.167

0.091

0.061

<u>0.44</u> 0.052

0.047

.01 00

**6**0 00

91.00

92.25

 $62\ 00$ 

101 50

0.32

0 132

0 02/

0.73

0.188

0.37 0.5]

0 <u>19</u> 0 <u>43</u>5

0 079

0.49

0.076

0.057

0.385

0.175

0800

2 175

0.061

0.50

0.049

0 046

92.25

105 เกิ

. . . . . . . . . .

**--|** m (

收市價。 弄跌點 公司名籍

0.730 十19.67 彩星集團

2.450

39,020,000 高日發展 37,545,000 羅氏國際 37,187,000 34,105,000 天安中國 24,970,000 変 美 髙 王氏工業 7,850,000 1代於 解膜名稱 38 . JE ME. M 380 % M A 2 0 98 H 41 363 In 19 A 340 東方 毎外

公司名稱

友利國訊

華胤馨國際

明仁企業

62,538,000

49,360,000

42,864,000

行使價 渝價% 升跌次序 就交量 酸低 收削 升跌 長高 上日牧帝 57.11 5,640,000 0.094 0.094 400,000 + 0.005 0.26 + 41 508,520 -- 1 37 -0.020- 31 0.74 .0 7G 3 64 200,704 0.93 0.93 0 93 0.93. 102,000 145 88 0 176 <u>-0.004 1</u> 0.176 207,094 180,80 0.075 00/5 -0.0050.08 2,007,000 +35 0.79 0.81 Q 84 70,000 0.255 73.95 1,274,000 28,90 +0.03 | 120 0.71 074 721,400 9.88 0.43 0.43 6 7BD 000 32 09 0 559 0.211 0 225 180,000 64 43 +0.0070 176 145,500 90 97 0 164 3 46 640,000 286 95 0 057 + 0 003 0.057 3,745,000 -0 004 0 236 31 53 ,350,000 -0.0030.122,462,000 20 47 60 1 69 121195 0.051 05 00 0 235 64,000 45 37 0 37 ,460,000 0.57 0.90 785,000 165 00 0.128 0 125 7,308,000 16.03 0 386 0.405 | 1 0 03 62 5 18,000 20,44 0.135 0.024 4 30 2464 +0.026 4,380,000 0.34 0.886 0.375 1 566,500 0 163 0.001 0.16 0 162 246 288 6 000 D.004 185 68 0.182 0 187 0.182 3 75 2 00 0 005 0 040 168,000 0.41 0 40 867 000 6297 3 11 0.32 0 35 0 33 1 83 2 57 4 28 0.050 431 236 1 93 0 356 940,098 193 36 92 30,000 0.366 0 355 10.11 369.200 107.38 -0.020 ~52 156 000 24,970,000 3,13 B1.60 0 0 1 0 0 486 0.49 0.24 0 042 1 62 9 35 38 42 0 045 1 62 +0.001 6 12 7 75 0 86 0 93 1 60 24,000 6,000 601,498 27 50 - <u>0 03</u>0 0.85 9 40 116 96 -0.001 0.21 108,300 20,000 ~0.53 087 -0.0300.87 0.56 1.45 0.8018 45 0.58 1 48 3 15 860 000 8 50 -0.020-75 1.47 4 /3 28 71 1 13

-0.010

0 485

0 248

0 192

0.53

0.475

0.52

0.248

0 193

0 005

-0 007

162

30

3.971.750

178,703

360,000

803,750

70,940,280 愛 美 高W90

₹ 558,200 遠生實業W90

36934,400 天安中國W90

34,179,804 興利 洋海(1915)

38:300,004 海嘉實業

01/01/09 31/12/90 554 再製門機構 526 3743 main 21/04/89 - 30/05/92 527 Jak 1 WAR 21/04/89-31/12/93 22/07/88-30/06/91 491 高泉港店 25/01/80 - 31/12/90 359 11点集集 25/01/88-31/12/92 368 1. 4 1 1 06/02/88-31/12/93 476 北北北部 株 26/09/88 - 26/09/91 504 南新四腿團 6/3 索羅門人占 01/03/90-25/01/93 660 \* MP1706 13/10/89-13/10/92 22/12/87 - 03/12/08 4.36 八山 14服 01/02/88--31/03/95 246 均衡資本 30/10/87--30/08/80 449 黄金和胸 01/11/89-30/09/92 537 15 Mi \$ 1 01/01/87 - 31/12/90 056 南海林地港 01/01/87 - 31/12/92 357 新海基地度 503 国集化数 08/09/88--30/11/90 31/10/88-15/12/0/ 512 依爾企業 453 信制置後 01/01/88/ 01/12/90 365 信有置象 01/06/87-31/03/91 457 信机设体 01/01/88 31/12/90 248 [基準 [1] 相 504 开前 通序 01/08/87-31/12/91 01/10/88 -31/08/91 446 整施投資 01/01/88-31/12/90 21/04/88 31/12/91 483 資产資金 01/09/69 26/09/90 631 人生地洋 431 本網條路 01/11/8/ 31/12/91 092 ATHARY 21/03/69 31/03/92 0.27 未坚 19到 01707767 30736790 570 淋巴 人生 // 16/02/90 15/02/03 490 M In M Q1/07/88 · 31/12/92 31/0//88 31/12/94 492 All 16 to 614 同 母 任 01/04/89 3 /04/91 31/01/88 31/07/90 370 6 Marsh 15/02/89 31/12/9 520 1 ы № /1 346 / 解 的 01/41/86 31/12/90 01/02/88 447 水 围 参 30/08/87--- 11/12/90 421 1 八 4 報 01/01/92- 31/12/32 469 赤上胸幕 01/04/88--30/08/90 467 点生构队 代號 公司名稱 1 27 8 27 2 15 603 八瓦集ノ 新 補 衝 9 1 605 7日ネケ 債券93 1 18 601 Je at the #95 29 77 டம் மாங்கீர்க்கி 2 77 o O Panaar · 本有92 ndg Parchast 表分92 271 6 70 bO3 Partbas 1 本存92 1 96 686 Wall 1 0

3 37

5 00 0.25 11/05/87-31/12/94 416、从水域的 1.25 01/07/91-27/12/91 558 Mith. 845 40 1 1 1 At Doca 1 1.50 20/01/88-31/12/92 03/08/88~30/06/91 3.06 502 4. 维 地產 0.436 436 R ( 100 PA 03/11/87-31/12/93 2.00 28/06/88-31/03/81 400 F AM K 0.169 hot! U 人造家 26/07/88-31/12/93 3 60 07/10/87 -31/12/95 404 草人衛等 0.054(4/06/88-31/03/91 473 中華聯聯 18/03/87-31/12/92 , 19 व वीकार्य 048 前 1 税格 21/05/87-51/12/92 468 前 4.蝶梢 01/01/93-31/12/94 674 bessten 09/04/90 - 10/02/95 01/01/86 - 30/06/92 8 00 379 減 6 曜 月 0 235 545 10 相採用 13/12/89: 31/12/91 489 + 40305 01/07/88 31/12/92 U1/08/88-30/06/91 494 16 90 10 01/04/89 31/03/92 462 古 植海湖 01/04/88 31/03/93 0 131 437 (64 63 01/01/88 - 31/12/92 0.60 433 H 18 W 01/09/87 31/12/92 04/09/87- 31/12/91 344 6 19 3 4 0 <u>137</u> 0 <u>35</u> 3 60 26/03/87 31/12/90 3/4 % 4 4 2.BQ 01/11/86 - 31/10/94 Mo 1/2 & 2 29/07/88 -30/06/91 2 00 496 (4) 单位 0.161 0.186 1.20 429 1 1 13 Pe 30/10/87 - 31/12/92 2.29 507 52 1 19 rt 08/08/88-30/09/91 06/01/86-31/12/91 0.983 5 00 205 中,人特敦等 7.80 01/12/88-30/11/91 .10 's \$6 of 1 05 28/02/90 31/12/92 · 72 一直國際 01/12/87-01/12/91 Faller i De .. 3 75 091 255 18/07/86 -30/09/92 143 🙀, 193 01/08/87-30/09/94 4 B M. 0355 01/01/89 23/12/91 2 00 1 00 6 书籍的 ் இழிக்க நடி 10/07/89-30/06/91 01/01/88 -31/12/92 9 50 436 10 19 2 66 0 495 5/09/88-31/08/91 · 06 5 1 1/2 25 46 0 044 01/04/88-31/12/91 · / 4 · (4 利 3 9 40 01/01/88 15/12/92 15/05/85-31/12/91 (4) 1 2) 1b 0 65 0 208 49 B . 34. 8 22/01/90 31/12/92 0.50 096 515-51%/規構 01/01/89 -31/12/90 0 66 1 49 司在 龙 划数 象 07/07/87 31/12/92 01/07/90~31/12/91 151 。桂鹤家 1 13 3.60 11/09/89 -- 10/09/92 oda ora∂na P″ 1,592 000 0 48 -0020 -16 0.465 0 46 2 275 0.48526/10/67 31/12/93 43 A41. 14 20 000 -- 0 100 230 2 275 2.375 6.00 01/07/69-30/04/92 576 21 5 4 0.046 0.048 01/10/67 31/12/94 424 Emilia M 0 159 8 10 0 159 0 155 606 664 +00004 1 00 0.155 01/04/68- 31/12/98 - 76 EDD&衝 450,000 - <u>56</u> 8 05 8 00 16 49 8.20 22/12/60 15/10/92 0.1 4 301 000 0 165 -0 00B 0.17 0 17 0.178 J /66/08 31/07/90 A D Da. TARR W 1 03 1 03 3 /01/90 31/01/93 51 1 1 1 1 1 69,300 0.050 59 2 90 50/10/88 - 57/10/85 3 00 295 641 10 1 1

137

0.48

0.53

មិនិទទ័

2.20

275

0.49

9 193

31/05/06 31/12/9

J / 6/418 11/07/94

D 70 2790 3 71279

31/61.88 3 /12/90

\$1768789 30706797

01709787 5.712792

01/12/89 30/11/33

379 i - 4ac

4. a non ilk

1 . 1 ap at 1 !!

4 8 + 181 3 h

1 9 12 15 War

111 49 9 19

1 11 41 2 11

海鷹寶樂

和記黃埔

太古洋行

新世界發展

彩星集團

奔達國際

長江實施

2 X X X

九龍元老盃賽

快達行勇奪標

有

戰

| | 電

楚天飛龍巨燈

水質下

降生態惡

一業汚染

摧殘長

**杯業部開始建設** 

護林體系

傳統彩燈工藝和現 學 燈

扩

會

華南 2 奇兵 歓今 映天 港九影院聯合席 雅丹 鐵血猛龍 大師 無悔今生 秦 俑 主义 捉姦 天師 發播血鐵 姦師 久天 液情一束 船僧國券 館儀公劇 北白、奇意西 和南中俠凍縣 亭花洪洗血

五今 育 兵

**小五最** 複後

出老

П

中

師

北越北北

南北

和

監徐 製克

記載

がまれる。

客途

恨

的四十

濟經波

寧

中國道教學校

**屋有大小城** 的工

在北京成

秋 恨 師夜雨像點鐵場时 提場情試三將飛珠 姦天午雲級四龍早

宜不童兒

姦捉師天

日中 大法四十 結內點點 局情三九

第十三日

棋體育節

健美

匯演之

我

五今

方,奇 天 路同雨風点 味溶藥量學 单今 治獎四任英鐵早 擦三點你驅魔體 眼

路同兩風 組裁訓任石足者都今 二都家裁繼潮巡早 人强菜選賣過火宙

路同雨風情

斯羅

h

師捉

野郯姐表

人的融今美 女職早都

王虎粵點門**執**強混今新 化輔飛神四金脚為早費 城海

旅落早樂墳鬼點今影 和.水孔今新山猛四都

人累情只問不街命 美多怕!足頭喪

場午加坡第6新。夜開

儿,鞘,爪,脚,和,先, 喻,新 主,虎,勇,查,生,情都

1571 123 2 紅倫巴 3 約敦黎

人由自學學 加针打費人專園夜點場 3 根工辦繼釣金場年四年

奇性兵戦 44 織 四 塊板漿 松 四 雅 早 本 四 雅 早 日 本 四 雅 早 日

院(I) 場五天今

今 就逢投艷 姦人胎鬼 逸促師天

校姐 妳

客途秋恨 客途秋恨

天師捉姦

部早条山路 6 天城北 洪流花亦洗

兵 寒砥不命 美怕足喪 人情間街 多!頭

献五今 映場天 <sup>並見合確小</sup>

姦 兵

性奇

院的奇

場五天今 客途秋 性戰奇 殿天師 南 鐵血基體 捉 恨 兵 人生 咸的 縣 廣 章 践 濕 時 親 價 命 女 醫 刻 蜜 四

五今 梅天 基鐵 糕 糖 糖 陳 吳 群百如君 院(2) 梅六今 主 墈 

玉梁茄臭 辐能建鑑 榮仁德鴻

侯胡和劉 華 耀耀福寶 島 彬國特華

雖獲晉軍羅馬

决賽週

美國國家足球隊

未受國內

外重視

台電視機才只有八台收工程流外圖賽時,每一下工

景膺雙料冠軍

**冼泰東勞軍祝捷** 

區發開

映献天今 恨秋途 和北南日

奇

出老脏虎

献五今 映場天

客途址

九龍元老盃賽

兵

P.XV 彩 育

快達行勇奪標

健美

**で進演**

人我見

第卅三

星島張育生完場前單 **撤國**王 種樂 Ŋ, 、赴會拔平 徐愚 思



頒獎後與演出者之健美匯演後港

莞角





**置攀重國家公開賽成香港黃煙明參加菲律** 

皿洗洪花亭

南 監徐 製克

自

問題

林憶蓮與

王傑走埠 人警鐘

李香琴請大

裴艷

百

無

座差

無

2:45 一侧腰神州 1:40 義人條恩

5:50 新鬼太郎

9:00 新聞·人氣·財糧事件 9:35 流雕之機 11:35 荷色生香

12:05 食削減別/經濟快訊 12:20 歐洲遊遊軍派(決) 代藝人 無綫明珠台

5:50 The race upns 6:15 M F& &

6:45 姓 [ 人之思

0145 名人豪举谢 11 (15 夜期遊園

7:15 新洲

8 17 21 23 26 28 34 35

1 2 6 11 15 19 22 25 30 33 39 43

20 30 17

MARK

日六十月四年午庚曆夏

**毛舜筠為擴** 生活圈子

**茶**/

然 世 家 擬 拍 電 影 加輔警服







謂 後靠實力 慣皇帝



發財單號碼

2 6 2 2 9

第32期

第31期

6**0**09

大號碼雙胆

41

34

Ø 6 Ø 9 9

中號碼雙胆

20

最近十期開獎紀錄

細號碼雙胆

8

(4)獨家安排品階 中菲式火焗 馬尼拉住六星之巴拉沙,碧瑶住凱悅 乘搭國泰,早機去,晚機返 天天田發, 可延期返港 Andrew Andrews ---

⇒共和人ル団星光(₹1529-1532年 田原早期ロ人) / Spit 108 9487 文明 各層層 大湖中山線湖 医体大胆 1701 寸彩。 5218161 9**6**0) ※ 両部的に同点的域です (701 ※ - 4100+/3で値)。 - 内臓薬の痛り10回りは11日の 1700 り並 駐海地域の →展開同日時制 (D) (M) P → 2 (D) (M) 型 (公園/開西教公司) 一種 エー・マリンとくさく り 神経 887448 Q# ~ 報(報行)(200 - 141 - 141 - 141 - 141 - 141 - 141 - 141 - 141 - 141 - 141 - 141 - 141 - 141 - 141 - 141 - 141 - 141 - 141 - 141 - 141 - 141 - 141 - 141 - 141 - 141 - 141 - 141 - 141 - 141 - 141 - 141 - 141 - 141 - 141 - 141 - 141 - 141 - 141 - 141 - 141 - 141 - 141 - 141 - 141 - 141 - 141 - 141 - 141 - 141 - 141 - 141 - 141 - 141 - 141 - 141 - 141 - 141 - 141 - 141 - 141 - 141 - 141 - 141 - 141 - 141 - 141 - 141 - 141 - 141 - 141 - 141 - 141 - 141 - 141 - 141 - 141 - 141 - 141 - 141 - 141 - 141 - 141 - 141 - 141 - 141 - 141 - 141 - 141 - 141 - 141 - 141 - 141 - 141 - 141 - 141 - 141 - 141 - 141 - 141 - 141 - 141 - 141 - 141 - 141 - 141 - 141 - 141 - 141 - 141 - 141 - 141 - 141 - 141 - 141 - 141 - 141 - 141 - 141 - 141 - 141 - 141 - 141 - 141 - 141 - 141 - 141 - 141 - 141 - 141 - 141 - 141 - 141 - 141 - 141 - 141 - 141 - 141 - 141 - 141 - 141 - 141 - 141 - 141 - 141 - 141 - 141 - 141 - 141 - 141 - 141 - 141 - 141 - 141 - 141 - 141 - 141 - 141 - 141 - 141 - 141 - 141 - 141 - 141 - 141 - 141 - 141 - 141 - 141 - 141 - 141 - 141 - 141 - 141 - 141 - 141 - 141 - 141 - 141 - 141 - 141 - 141 - 141 - 141 - 141 - 141 - 141 - 141 - 141 - 141 - 141 - 141 - 141 - 141 - 141 - 141 - 141 - 141 - 141 - 141 - 141 - 141 - 141 - 141 - 141 - 141 - 141 - 141 - 141 - 141 - 141 - 141 - 141 - 141 - 141 - 141 - 141 - 141 - 141 - 141 - 141 - 141 - 141 - 141 - 141 - 141 - 141 - 141 - 141 - 141 - 141 - 141 - 141 - 141 - 141 - 141 - 141 - 141 - 141 - 141 - 141 - 141 - 141 - 141 - 141 - 141 - 141 - 141 - 141 - 141 - 141 - 141 - 141 - 141 - 141 - 141 - 141 - 141 - 141 - 141 - 141 - 141 - 141 - 141 - 141 - 141 - 141 - 141 - 141 - 141 - 141 - 141 - 141 - 141 - 141 - 141 - 141 - 141 - 141 - 141 - 141 - 141 - 141 - 141 - 141 - 141 - 141 - 141 - 141 - 141 - 141 - 141 - 141 - 141 - 141 - 141 - 141 - 141 - 141 - 141 - 141 - 141 - 141 - 141 - 141 - 141 - 141 - 141 - 141 - 141 - 141 - 141 - 141 - 141 - 141 - 141 - 141 - 141 - 141 - 141 - 141 - 141 - 141 - 141 - 141 - 141 - 141 - 141 - 141 - 141 - 141 - 141 - 141 - 141 - 141 - 141 - 141 - 141 - 141 - 141 - 通門南海市バナフ5原町代海電中で1203軍 339122

**受機果用機能要求工程的機能** 

and and a second of the second · At the same of t

歌星演繹 音樂會

最後的原

發財雙號碼

16

第34期

期

幸運雙胆提

供

6 8 8 9

第36期

**6** 9 9 9

第35期

近期旺門號碼:



自





樓最信價



中區量高火道中46號號年大厦1103室(車拳酒播機上 5217205 5268305 網羅周世樓中心2101室、松坂屋樓 2")

硅均偏较通636兢毁行中心903-4套 3325659 坐廣地鐵站南豐中心721室 4920248 4150806 省域地鐵總站省城廣場1億137及142室 7973023 票務專聯業人2019年产进681至一一 Y K man A L & 整題 Man A F Policy M K B

布吉島、P.P.基島、曼谷五天、七天 由 \$ 4090 組 清邁、曼谷、仁廟、華欣、布吉島九天 \$5340 多增益:(1)温耀人工海漠園 (2)模型坡

布吉島、曼谷五天、七天

布古島住宿兩晚或三晚任君選擇 \*布吉島安排新行程PP華島\* 乘搭國泰、泰航、天天出發:可延期返港

馬來亞 (模城·怡保·邦略·島) 六天 \$ 4590 東北、北海道廸士尼七天 **泰星六天 \$5410** 

行程種類最多、成本最高 乘國泰、馬航、華航、早去晚返 逢一、二、三、四、五、六出發

日本北海道六天、七天 由\$7590起 \$7690 韓國本州廸士尼八天 \$7790 韓國九州八天 由\$4130起 韓國濫賜四天、五天

天天出發,回程可停東京,大阪或台北

(六)九族文化村

台北四天 \$3040 台灣環島六天 \$3980 台北花蓮四天 \$3140 環島阿里山七天 \$4450 台北花蓮高雄六天 \$3980 暖島阿里山八天 \$4920 \*早機去,晚機返 \*純粹旅行團,不是帶貨團

多增遊:(1)碧桃灣、麗清灣、百島嶼 (2)紅磨坊夜總會 (3)餐膳於中國城酒家

(4)獨家安排品階 中非式火蝸 馬尼拉住六星之巴拉沙,碧瑶住飘悦 乘搭國泰、早機去、晚機返 天天出發,可延期返港

# 清排。

馬尼拉·魯桃源五天 盟华媛 \$3,250 馬尼拉、碧桃源、碧坻 大天豪華團 \$3,450 馬尼拉、宿霧五天

\$3,790 惠華團 馬尼拉、宿霧、碧桃灣 七天豪華團 \$4,590 菲泰七天豪華團

s4,390

## 泰國、印度

曼谷、芭堤雅 **\$3,590**1 五・七大豪華團 布吉島、曼谷、芭堤雅 七八天豪華團 \$4,690』

曼谷、華欣、七岩、芭堤雅 七、八天豪華團 \$4,190叔 布吉島四天豪華團 \$3,690 点 印度八天豪華團 \$7,980

Canadian

# 馬星、印尼

由\$3390起

馬星(檳城、馬六甲、豐頂高原) 七大超級豪華團 \$5,490 馬星(橫城、邦略島) 七天超級豪華團 \$5,490 馬星泰九天豪華團 \$6,590

印尼峇里島、日港、椰加達 七天豪華團 s5,990 印尼爪哇島九天環島遊 \$6,790

# 桂林、北京

北京五、六天豪華 \$3,990€ 直航團 直航團 桂林五人豪華 s1,890a 異直航團 直航團 華東七天豪華 直航團 \$3,790 西安、鄭州、洛陽八天 直航團 13,690

福建武夷山五、八天

52,490s

豪華直航團

海南島五人豪華 \$1,890

昆明五大豪華 \$2,350ks 清遠、小三峽、飛體山、 廣州三天豪華團:590。 順德、中山、珠海三天 泉華團 s568u

中山、珠海兩天 豪華團 \$348 kg

CALL MICHAEL CONTRACTOR OF THE PROPERTY AND ADDRESS OF THE PARTY.

天天出發(回程可停留台北)台證收150元

澳門兩天超值 图单爆 海拉\$520起

澳門酒店十船票 海鱼 410年 代訂, 異門劉锐、文華東方、總統、

**增加、富徽、监地**类新酒店 請金詢(17369]]] 代訂世界各地機樂及酒店。 請查詢:7350333

獨立包團・請查詢:7354846 **青星截离果油吸世界通行 光磁棒接焊接** 編家後車・請責約:8426111

牌開編號 350018

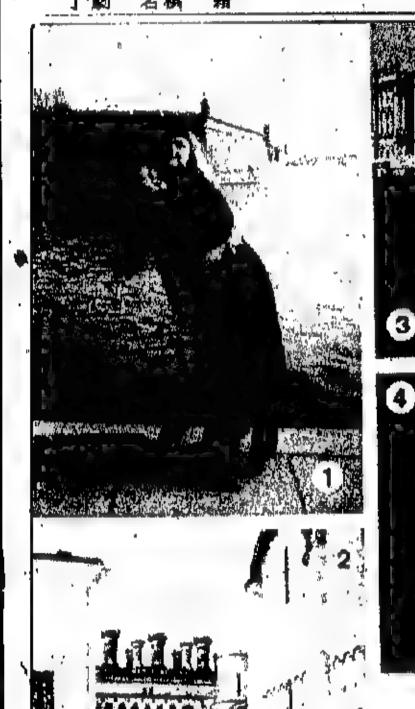


Morning Steel

▼元献大沙陆翼先行1225 1932年 田浜早頃ロ人。 7368368 9**14**7 **▼■ 簡單記入議外的緊急下伸入深170℃3**率 5418(61-944) ★ 同地推議銘件)短付売 1701 ※ 4105473 6 M→ 九 前頭数 通知時級額4140 3704 ラ東 株 所項組絡。 3 52 0 955 ( 8 84) 

進1504 地區的機一份;中區首人在原稿監查。 88544B1 q# → 観機頻毎中1 ・也上に85% 34000// 3412001 4額 ■海門劇製市(71 /5)試験代商集中 (T203章 339122 **有關出資公認時間關係例**表 1

毛舜筠為擴大生活圈子 參加輔警服務社

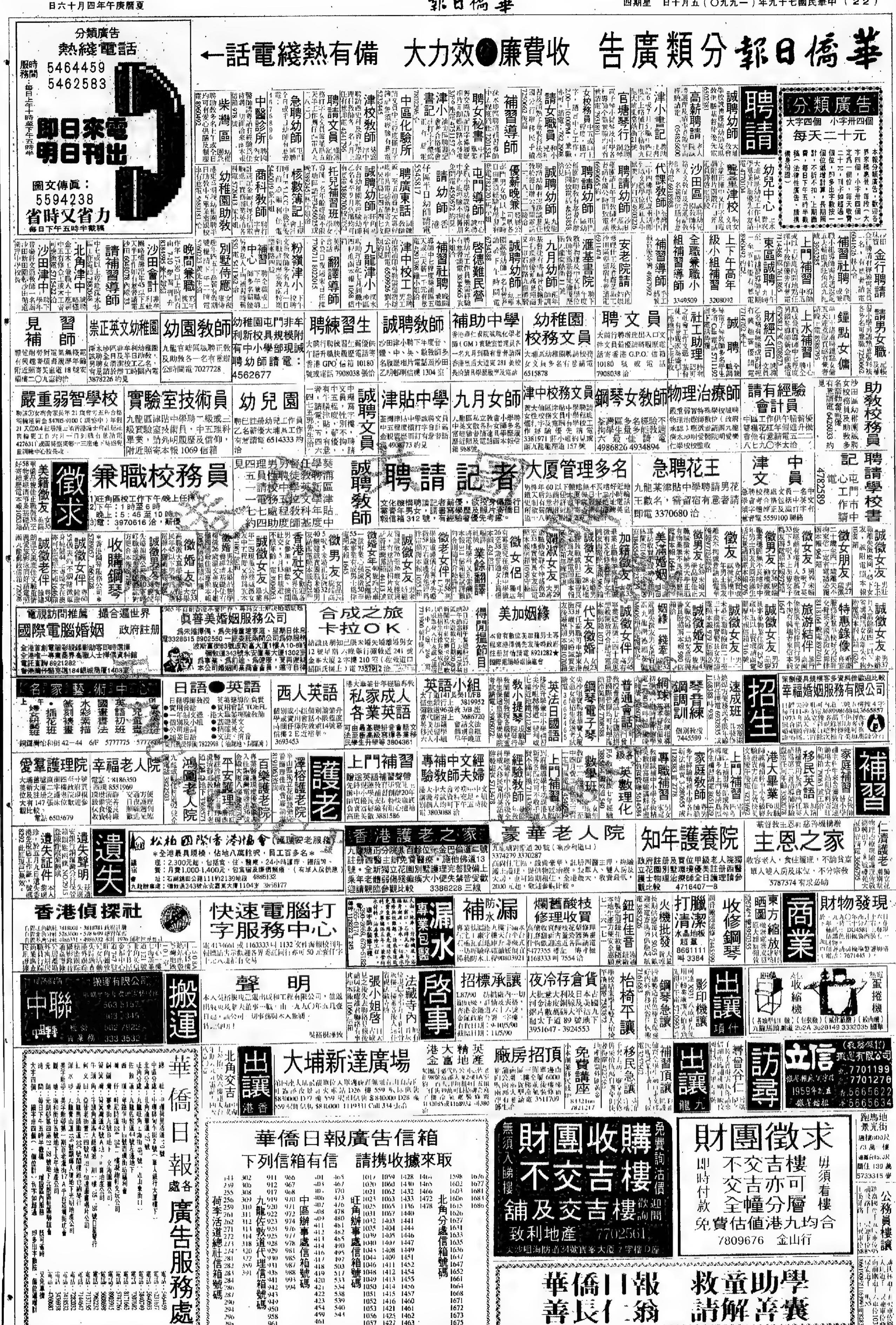


|        | 敕         | 近十期阴    | 的樊和舜                        |
|--------|-----------|---------|-----------------------------|
| 27 期   | 24        | 月 K. H. | Ф <b>13494</b> 669 • 61     |
| 28 期   | 14        | 月十日:    | <b>80000000.6</b>           |
| 29 期   | įЧ        | 开上海比    | <b>OUGHSO ·  A</b>          |
| 30 114 | py        | 开上出     | 378 <b>48</b> 600           |
| 31 M   | pq        | 并十九日。   | <b>www</b>                  |
| 32 明   | μų        | 并护四九    | 00000000 · 6                |
| 3J W   | РЧ        | 并扩大压    | (1)(1)(2)(2)(2)(2)(3) · (1) |
| 34 期   | £i'       | A · W   | ®®®®®® • ®                  |
| 35 期   | $\vec{B}$ | H Thi   | ③ <b>(b4)6635 · 4</b>       |
| 36 W   | ıi.       | 升八田:    | <b>@BBBBB</b> • 6           |
|        |           |         |                             |
|        |           |         |                             |

|          | <b>洲</b> 號碼要胆               |                       |                                         |                                              |                    |                     |   |                                         |                   | F                                         | 7             | 7.1 | A.                                  | Z.                                      |
|----------|-----------------------------|-----------------------|-----------------------------------------|----------------------------------------------|--------------------|---------------------|---|-----------------------------------------|-------------------|-------------------------------------------|---------------|-----|-------------------------------------|-----------------------------------------|
|          |                             | 3                     | 3                                       | }                                            | 8                  |                     |   |                                         |                   |                                           | 20            | 0   |                                     | 26                                      |
| 最近十期開獎表格 | (1) (2) (m) (m) (m) (7) (m) | 19 (9 U (9 (9 (5) (6) | Û 0 0 0 0 0 0 0 0 0 0 0 0 0 0 0 0 0 0 0 | 20 20 30 30 30 30 30 30 30 30 30 30 30 30 30 | Û 35 ê 00 38 ê9 ê9 | (\$) (\$) (\$) (\$) | ŝ | 900000000000000000000000000000000000000 | 0 0 0 0 0 0 0 0 0 | \$ 60 00 00 00 00 00 00 00 00 00 00 00 00 | 0 0 0 0 0 0 0 | 49  | (1) (2) (3) (4) (6) (9) (9) (1) (B) | @ 0 0 0 0 0 0 0 0 0 0 0 0 0 0 0 0 0 0 0 |
|          | 1                           | And                   | راهو هوا                                |                                              | An.                | 1                   |   | , April                                 | ~~                | A. 1                                      | m             |     |                                     | Are                                     |

日欣馬馬雄怡和本土土

MAERSK 西非 ELIA MAERSK東非 AISHAN 西非 BERG 南非



1664

1668

1672 1673

1675

1056 1425 1462

台北越南直飛服務

華

富

十二、邊

+=

可望明年

四月首航

認識航

\_容更易瞭解

圖文傳眞

習師

米哈脫夫 MAKSIM 解解MAXLOV澳洲

ASIAN PEARL

XING HAT HE

KAP BABINEVSK

康利來馬士基CORNELIA MAERSK阿拉伯灣

AL. AHMADIAH

SWAN REEFER

有某拉雅·BUNGA 用AYA

新卑黎亚斯ZIM PIRABLIS

TREE FRES. ADAMS

HAME SEYANG ACE

野學維治大型組OCEAN SIRIUS

海島鄉 SARGODHA

新海河

(停泊)(公司)

堻

十五 相

1-6

弗撒曼特爾

古大港加爾各答

新寶

**製託査詢 8921282** \*

香油灣停船停道184銀城商厦1403至

大埔邊鐵寬街四至計號「電話:8186350 業新大厦二字樓政府置 | 近環 8551969 位及註册之题老院規模 環境清靜 "交通方便 大有 147 張床位歡迎簽 | 設備完善 日夜簸趴 **化食優長 照顧週到** 

香港偵探社

自胜业 年分钟 5783600 · 5783699 福州保州 | 證 冬灣分前 4986331、4986332 本前 1976 削前世界 據產踪居婚據背踪影查動並規心、至皇號業 搬運有限公司 國際學學供於家格

ቝጜቒጜቒዸቒዸቒቔቒቔፙቔቔቔቔቔቔቔኯፙኯ*ቒጜቔጜቒጜቒጜቝ*ቔቔቔቔ፟

(停泊)(公司) OOCL AMITY 中午 MING CHUN 上午9時 運MARINE FORTUNER 上午6時 QCEAN ELITE下午5時 日本 KUO LUNG上午6時 T. WENDA 上午8時 玫瑰 PRIMROSE中午 CHIN CHUN 下午9時 加州主制CALIFORNIA JUPITER 上年9時 美國 安娜馬士基ANNA MAERSK下午3時 歐洲 GOLD ORLI下午2時 ZIM KAOHSIUNG 上午4時 台灣 PRES. TYLER 上年7時 美國 EVER GENTLE上午9.時 美國 TA TUNG 2 中午 MILD OCEAN 上午10時 上海 刚 建 考 EAMON BAY上午6時 高雄 ALLIGATOR PRIDE下作9時美國 KOTA BINTANG下午11時新加坡 SHIZUISHAN上午2時 蕪湖 UNITED WAY下年10時 釜山 ANDHIKA WANASATYA F年10時印尼B16 HAI LIH下午4時 瑞克婆斯灭津RICKMERS T'JIN年夜歐洲 ALLIGATOR HOPE 下午10時新加坡 ZHE PENG下午4時 F.E. BEAUTY 上午10晚 天津 液革列士告顧NL, VAN LINSCHOTEN

MILD TRAN EVER VALUE上的時 台灣 CH POINTE NOIRE 下华1時 基礎 敢 GALLANTHY上年8時 大連 阿爾卑斯丸ALPS。MARU上午5時 日本 人 SKYMAN上年基礎 鞭麥上 KHUD ROMAS 勿地扫馬上基METTE MAERSK 下午10時 III XIUSHAN DONAN 6 上午5.30 仇的八虎。 藝哈明橋 MANHATTAN BRIDGE美國 TOYAMA上午8時 利来基利文NL。CLEMENT下午4時 日本 國際橋 光大二號 KWANG TA 2 馬上基採文MAERSK TANGO 下午9時 台中 新華八號 XINHUA 8 上午10時 學 YE WANG JIANG 中午 44 海陸橋 朝 则陽公國 CHOYANG PARK下年10時歐洲 LIUXUQUAN L年10時 - 肖岛 Q. 間發碼頭金 發 圖 布 329 MINHAI 329 上午41時 上海 蜂拉利曲 VALERIA 上午6寺 江 XIANG JIANG 上海 傑水東 EVERLOPE 楊子在 號YANGZI JIANGI L 年7時 時局 昌 英 ZHEYING F4-9時 東方博愛 OOCL CHARITY 國 家 KUO CHIA (何處來)(日朝)(公前) (船名)(四名) 可立馬 COLIMA 東京勝利 TOKYO SENATOR ■ TSK CHORUS 日本 爱國者 SL.PATRIOT 世行推出 SEYYANG ACE 東方鴻運 OOGL FORTUNE ANXIN 新海華 NEW HAIHUA

**源 MARINE HAWK** 

職與 :號 FOO HSING 2

**興 HAIXING** 

电池明珠 ASIAN PEARL

拉球性輪 BERLIN EXPRESS 查爾斯角 NAPE CHARLES 馬士基關梁MAERSK PINTO 印度快幅 INDLAN EXPRESS H SL. FREEDOM 預譯斯總統PRES.ADAMS 娜斯馬上莊PARS MAERSK 美洲丸 AMERICA WARU MAKSAN MIKHAYLOV日本 丽 秀 加 AND ASOKA 加路城土 KARLOWICZ 利提馬上基LEISE MAERSK JUTLANDIA SD.GALLIA EVER OBTAIN 新加坡欧莉SLINGAPORE GLORY基础 FAIR COSMOS IGN七號 DONAM 7 CRANACH 天台山 TIAN TAI SHAN QIN TAL DANAOS KEUMGANG GLORY VILLE DE SATURNE 体士这一號VESTA 1 HAI CHUN CHEMISKY MEKHANIK BARDETETSKIY新加州 FAIR BRIDGE FE RICH 放利伯獎利MURRAYEVERETT 中華瑞祥 R.R.RATNA WH 202 MALAYSIA GLORY ZAGREB KING HWA MARINE PEACE 和半乘函 HP DONGNAM 体土達--號VESTA 1 達 FAIR COSMOS. 斯里馬桑 LANKA SRIRMATH! 基隆 新利休诺 ZIN LIVORNO ANDROMEDIA STAR 台灣 航船家 SL.NAVIGATOR 日本海 JAPAN SEA **M MALAN** 版 HALIN 圖和碧 TUHOBIC 海皇贤玉 NEP.TOPAZ 体 KUO WE! 新卑象曲斯ZIM PIRAEUS 美上美 BOONKRONG 2 .LÆ MILD SUN NA. & WAH YEE 華 資為拉雅 BUNGA RAYA 郵 選明珠 NORASHI PEARL RATU KONSORTIUM 日本 RAYA HAPPINESS

光 KUO KWANG

城 E CHENG

阿希里風 AHLERS BREEZE

阿亚美亞 AL.AHMADIAH

保上連路 SD、ESTERO

EVER GAINING

十二 十二 藤 下三 水 l·四 十四 准 十五 欧 十四 新 1424 光鋒貨糧 PJONEER CONTAINER台灣 阿拉伯灣 十四 怕

HINGSON下午 MING CHUNTE TIAN YUE下午 維多利面灣VICTORIA BAY 上午 AL AHMADIAH上午6時,百木 浆利应安娜LLOYDIANA上午 MONT BLANC MARU 下午地中海 NEP AMBERTA PACIFIC MARU上午 T WENDA下午 PRES TYLER下午 NAN PENGTA NEW HAILEE下午 YULUSHAN下午 TOYAMA 下午 ZIM KAOHSIUNG 上午1.30 歐洲 **EVER VALUE** 下午 LUFENG 下午 SUCHANG F4 UNITEDWAY下午 DONAM 6下午 TA, TUNG 2下4 阿爾科斯丸ALPS MARU 下午 繼魚騎傲 ALLIGATOR PRIDE 上午新加坡 加州主神 CALIFORNIA JUPITER中午阿北太平洋現代權 日 郵 龍上馬士基AXEL MAERSK 春 CHIN CHUN上午 新加坡 金奥利 GOLD ORLIF午 城 KOTA BINTANG下午 高雄日本 DCEAN ELITE上午 金 以 塊 DRIMROSE下午 • (往何處)(日期)(公司) 通 (無名)(四名) 直舉列上告顧NL.VAN LINSCHOTEN加勒比海南第一十二 西南太平洋 可立馬 COLIMA 曼克頓橋 MANHATTAN BRIDGE四南太平洋紅約 型力揭土基AXEL MAERSK 西北太平洋紐約 娜斯馬·上基LARS MAERSK 直解斯角 CAPE CHARLES 紐約 阿美利山丸AMERICA MARU 西北太平洋

(時間)

MING LONGEVITY上午8時,紅鷺

BEATE OLDENDORFF下午 南美

EVER GENTLE下午

站 新 图HYUNDAI INNOVATOR下午

KAMAKURA 下午6時

下二 馬上基 西南太平洋紐約 十二 馬上巷 十三 日,郵 欄 榮 渝 NATIONAL DIGNITY 洛杉磯三禧市 亚牌上概統PRES.ADAMS 西化太洋紐約 · 由 SL.FREEDOM 一四化太洋紐約 上三 海 隆 航海家 SL.NAVIGATOR 西化太洋紐約 十二 体 成利土星 VILLE DE SATURNE 地中海 柏林快輪 BERLIN EXPRESS 利足馬上基LEISE MAERSK 百혦斯基 MEKHANIK BARDETSKIY熱那亞那不勒 十三 選 ZEGREB EVER GAINING 十四 宏 光 崩加 堡 LANGEBERG 歐洲 CRANACH

達

十四 欣

台灣

中四 怕 和

茂利伯英利MURRAYEVERET" 印度快輪 INDIAN EXPRESS **推 TSK CHROUS** SL.VOYAGER 十三,能利來 AND, WANASATYA DANAOS DEJA-BHUM 新加坡歌莉SINGAPORE GLORY日基新加坡巴生庇能十三 迦 ANDHIKA ASOKA NIEN JIANG MARINE FORTUNER 都 RATU KONSORTIUM 妈尼拉街務 福洋火量星OCEAN SIRIUS 康利來馬士基CORNELIA MAERSK 中準開降 R.R. BATNA 桐電美電 AL AHMADIAH CHEMISKY CHEMISKY 日本・ 光大二號 KWANG TA 2 JIN JIANG 曼哈頓佛 MANHATTAN BRIDGE日本 途 HAI DA 興凍 利 GOOD LEADER 陶阁七號 DONAM 7 福興二號 FOO HSING 2 ir Addiang HE HANGANG GLORY 洋 MILD OCEAN 張家准闸东 SULONG RAYA HAPPINESS 玛尼毗斯 MALAYSIA GLORY 崎 百国山 SHIZUISHAN 👑 SUHE 魏恒勇士 KH CHIVALRY YI. XIANG JIANG - 48 - 48 - 10 招商周 十四 M MALAN 上四 航 FAIR BRIDGE 雄 開 MIN HAI 109 陸 関例109 招商局 IL LIN JIANG 蝴 十四 景 華

十二萬 一欣 治 推洋行 '十四',姬利來 招商逛 十四 水 隆 十四 雅 觀 昌 小五 昌 十二 川 十二 馬士基 十二 招頭局 小二 朝 聯 上江 海 小三 永 裕 十三 太 平 十里 東 字 小三 輝 驧 十二 錐 山 十三 昌 宏 十三 海 豐 十三 華 夏 十四 資 版 十四 輝 騰 十四 華 國

连 FAIR COSMCS 验山 十三 摊 成 學拉利亞 VALERIA F.E. RICH 林 | 利率馬上基LEISE MAERSK 展利來馬士基CORNELIA MAERSK東非 建 天台山 TIANTAISHAN

十二 日 郵 欣 洋 十三 周上基 十四 馬士基 十四 华 怡 士五 怕 和

全港面創電腦彩脫錄影切各別時滾擇 全港唯一專業商界高職人士擇偶資料館

- 歡迎光號





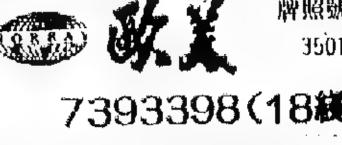


兼機票 \$2388起

機較減534減難效。6次783分 6中級減時,時於減18%時275至 2物變形。6份721005次減 1減緩緩不均均一數理的所。6份 -暑期旅遊佳訊-

公司在六至九月有大量

| 1188                                                                                                                                                                                                                                                                                                                                                                                                                                                                                                                                                                                                                                                                                                                                                                                                                                                                                                                                                                                                                                                                                                                                                                                                                                                                                                                                                                                                                                                                                                                                                                                                                                                                                                                                                                                                                                                                                                                                                                                                                                                                                                                          |                                                 | 380 8080                                                                                                                                                     |  |
|-------------------------------------------------------------------------------------------------------------------------------------------------------------------------------------------------------------------------------------------------------------------------------------------------------------------------------------------------------------------------------------------------------------------------------------------------------------------------------------------------------------------------------------------------------------------------------------------------------------------------------------------------------------------------------------------------------------------------------------------------------------------------------------------------------------------------------------------------------------------------------------------------------------------------------------------------------------------------------------------------------------------------------------------------------------------------------------------------------------------------------------------------------------------------------------------------------------------------------------------------------------------------------------------------------------------------------------------------------------------------------------------------------------------------------------------------------------------------------------------------------------------------------------------------------------------------------------------------------------------------------------------------------------------------------------------------------------------------------------------------------------------------------------------------------------------------------------------------------------------------------------------------------------------------------------------------------------------------------------------------------------------------------------------------------------------------------------------------------------------------------|-------------------------------------------------|--------------------------------------------------------------------------------------------------------------------------------------------------------------|--|
| 跳操作專業<br>精辦台灣及                                                                                                                                                                                                                                                                                                                                                                                                                                                                                                                                                                                                                                                                                                                                                                                                                                                                                                                                                                                                                                                                                                                                                                                                                                                                                                                                                                                                                                                                                                                                                                                                                                                                                                                                                                                                                                                                                                                                                                                                                                                                                                                | 代訂世界各東南亞各地                                      | 地平價機票*                                                                                                                                                       |  |
| 24 2500 (24 3080 (25 3080 (25 3080 (25 3080 (25 3080 (25 3080 (25 3080 (25 3080 (25 3080 (25 3080 (25 3080 (25 3080 (25 3080 (25 3080 (25 3080 (25 3080 (25 3080 (25 3080 (25 3080 (25 3080 (25 3080 (25 3080 (25 3080 (25 3080 (25 3080 (25 3080 (25 3080 (25 3080 (25 3080 (25 3080 (25 3080 (25 3080 (25 3080 (25 3080 (25 3080 (25 3080 (25 3080 (25 3080 (25 3080 (25 3080 (25 3080 (25 3080 (25 3080 (25 3080 (25 3080 (25 3080 (25 3080 (25 3080 (25 3080 (25 3080 (25 3080 (25 3080 (25 3080 (25 3080 (25 3080 (25 3080 (25 3080 (25 3080 (25 3080 (25 3080 (25 3080 (25 3080 (25 3080 (25 3080 (25 3080 (25 3080 (25 3080 (25 3080 (25 3080 (25 3080 (25 3080 (25 3080 (25 3080 (25 3080 (25 3080 (25 3080 (25 3080 (25 3080 (25 3080 (25 3080 (25 3080 (25 3080 (25 3080 (25 3080 (25 3080 (25 3080 (25 3080 (25 3080 (25 3080 (25 3080 (25 3080 (25 3080 (25 3080 (25 3080 (25 3080 (25 3080 (25 3080 (25 3080 (25 3080 (25 3080 (25 3080 (25 3080 (25 3080 (25 3080 (25 3080 (25 3080 (25 3080 (25 3080 (25 3080 (25 3080 (25 3080 (25 3080 (25 3080 (25 3080 (25 3080 (25 3080 (25 3080 (25 3080 (25 3080 (25 3080 (25 3080 (25 3080 (25 3080 (25 3080 (25 3080 (25 3080 (25 3080 (25 3080 (25 3080 (25 3080 (25 3080 (25 3080 (25 3080 (25 3080 (25 3080 (25 3080 (25 3080 (25 3080 (25 3080 (25 3080 (25 3080 (25 3080 (25 3080 (25 3080 (25 3080 (25 3080 (25 3080 (25 3080 (25 3080 (25 3080 (25 3080 (25 3080 (25 3080 (25 3080 (25 3080 (25 3080 (25 3080 (25 3080 (25 3080 (25 3080 (25 3080 (25 3080 (25 3080 (25 3080 (25 3080 (25 3080 (25 3080 (25 3080 (25 3080 (25 3080 (25 3080 (25 3080 (25 3080 (25 3080 (25 3080 (25 3080 (25 3080 (25 3080 (25 3080 (25 3080 (25 3080 (25 3080 (25 3080 (25 3080 (25 3080 (25 3080 (25 3080 (25 3080 (25 3080 (25 3080 (25 3080 (25 3080 (25 3080 (25 3080 (25 3080 (25 3080 (25 3080 (25 3080 (25 3080 (25 3080 (25 3080 (25 3080 (25 3080 (25 3080 (25 3080 (25 3080 (25 3080 (25 3080 (25 3080 (25 3080 (25 3080 (25 3080 (25 3080 (25 3080 (25 3080 (25 3080 (25 3080 (25 3080 (25 3080 (25 3080 (25 3080 (25 3080 (25 3080 (25 3080 (25 3080 (25 3080 (25 | 生,級等(产,<br>(4 A (m)<br>) (4 A (m)<br>) (4 B (m) | → 編 数:2/b(<br>□ 報:2/b(<br>□ 報:2/b(<br>□ 報:2/b(<br>□ 11:3/9)。<br>★ □ 11:3/9]。<br>★ □ 11:3/9]。<br>★ □ 11:3/9]。<br>★ □ 11:3/9]。<br>★ □ 11:3/9]。<br>★ □ 11:3/9]。 |  |



7393398 (18織)

代辦世界各地廉價。 酒店

失沙祖加連威老道8 A 10號加威中心 4501~3室(潼打銀行樓上)









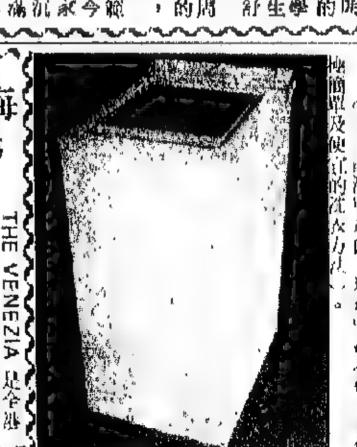






地址:

瞭解男友



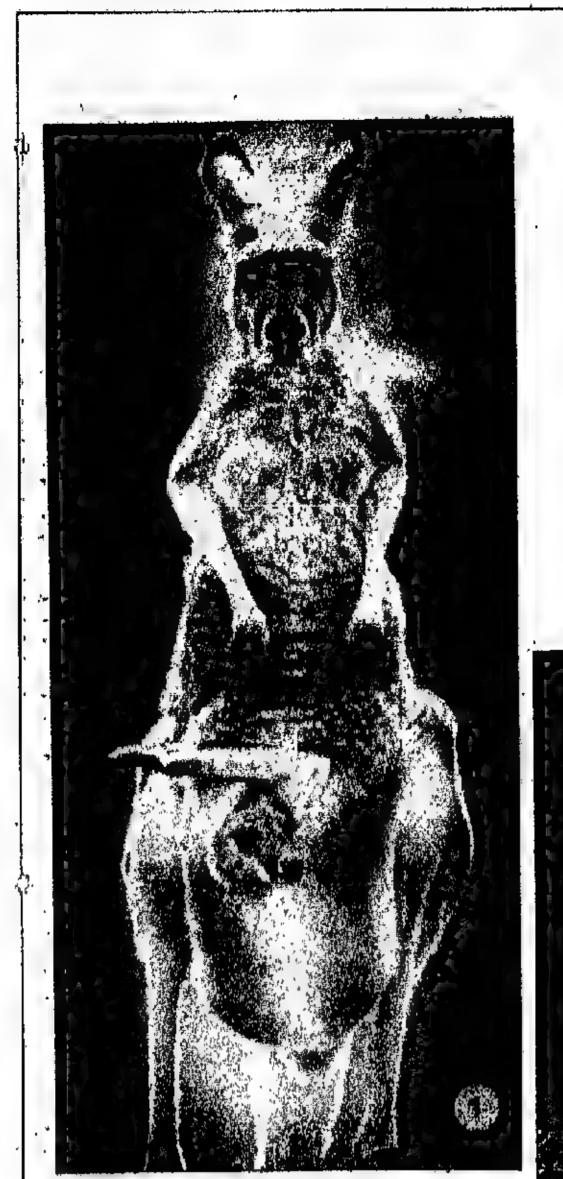


· 有活動時的聚張 有活動時的聚張 · 有活動時的聚張 營育教的義意有 宙傳何。 起间, (學小學學仁) 相, (學小學學仁) 起同, 了為 计 做 看 以 五 1 二 年 , 學 可 教 找 子 開 生 記 大 短 至 二 一 一 以 有 參 。 心 以 是 。 知 上 月 九 起 和 图 加 对 的 來 我 可 的 六 十 〇

AOKE KAO 與個有電子數



· 接上 (成 ) 推 ( ) 推 ( ) 推 ( ) 推 ( ) 推 ( ) 推 ( ) 推 ( ) 推 ( ) 推 ( ) 推 ( ) 和 ( ) 和 ( ) 和 ( ) 和 ( ) 和 ( ) 和 ( ) 和 ( ) 和 ( ) 和 ( ) 和 ( ) 和 ( ) 和 ( ) 和 ( ) 和 ( ) 和 ( ) 和 ( ) 和 ( ) 和 ( ) 和 ( ) 和 ( ) 和 ( ) 和 ( ) 和 ( ) 和 ( ) 和 ( ) 和 ( ) 和 ( ) 和 ( ) 和 ( ) 和 ( ) 和 ( ) 和 ( ) 和 ( ) 和 ( ) 和 ( ) 和 ( ) 和 ( ) 和 ( ) 和 ( ) 和 ( ) 和 ( ) 和 ( ) 和 ( ) 和 ( ) 和 ( ) 和 ( ) 和 ( ) 和 ( ) 和 ( ) 和 ( ) 和 ( ) 和 ( ) 和 ( ) 和 ( ) 和 ( ) 和 ( ) 和 ( ) 和 ( ) 和 ( ) 和 ( ) 和 ( ) 和 ( ) 和 ( ) 和 ( ) 和 ( ) 和 ( ) 和 ( ) 和 ( ) 和 ( ) 和 ( ) 和 ( ) 和 ( ) 和 ( ) 和 ( ) 和 ( ) 和 ( ) 和 ( ) 和 ( ) 和 ( ) 和 ( ) 和 ( ) 和 ( ) 和 ( ) 和 ( ) 和 ( ) 和 ( ) 和 ( ) 和 ( ) 和 ( ) 和 ( ) 和 ( ) 和 ( ) 和 ( ) 和 ( ) 和 ( ) 和 ( ) 和 ( ) 和 ( ) 和 ( ) 和 ( ) 和 ( ) 和 ( ) 和 ( ) 和 ( ) 和 ( ) 和 ( ) 和 ( ) 和 ( ) 和 ( ) 和 ( ) 和 ( ) 和 ( ) 和 ( ) 和 ( ) 和 ( ) 和 ( ) 和 ( ) 和 ( ) 和 ( ) 和 ( ) 和 ( ) 和 ( ) 和 ( ) 和 ( ) 和 ( ) 和 ( ) 和 ( ) 和 ( ) 和 ( ) 和 ( ) 和 ( ) 和 ( ) 和 ( ) 和 ( ) 和 ( ) 和 ( ) 和 ( ) 和 ( ) 和 ( ) 和 ( ) 和 ( ) 和 ( ) 和 ( ) 和 ( ) 和 ( ) 和 ( ) 和 ( ) 和 ( ) 和 ( ) 和 ( ) 和 ( ) 和 ( ) 和 ( ) 和 ( ) 和 ( ) 和 ( ) 和 ( ) 和 ( ) 和 ( ) 和 ( ) 和 ( ) 和 ( ) 和 ( ) 和 ( ) 和 ( ) 和 ( ) 和 ( ) 和 ( ) 和 ( ) 和 ( ) 和 ( ) 和 ( ) 和 ( ) 和 ( ) 和 ( ) 和 ( ) 和 ( ) 和 ( ) 和 ( ) 和 ( ) 和 ( ) 和 ( ) 和 ( ) 和 ( ) 和 ( ) 和 ( ) 和 ( ) 和 ( ) 和 ( ) 和 ( ) 和 ( ) 和 ( ) 和 ( ) 和 ( ) 和 ( ) 和 ( ) 和 ( ) 和 ( ) 和 ( ) 和 ( ) 和 ( ) 和 ( ) 和 ( ) 和 ( ) 和 ( ) 和 ( ) 和 ( ) 和 ( ) 和 ( ) 和 ( ) 和 ( ) 和 ( ) 和 ( ) 和 ( ) 和 ( ) 和 ( ) 和 ( ) 和 ( ) 和 ( ) 和 ( ) 和 ( ) 和 ( ) 和 ( ) 和 ( ) 和 ( ) 和 ( ) 和 ( ) 和 ( ) 和 ( ) 和 ( ) 和 ( ) 和 ( ) 和 ( ) 和 ( ) 和 ( ) 和 ( ) 和 ( ) 和 ( ) 和 ( ) 和 ( ) 和 ( ) 和 ( ) 和 ( ) 和 ( ) 和 ( ) 和 ( ) 和 ( ) 和 ( ) 和 ( ) 和 ( ) 和 ( ) 和 ( ) 和 ( ) 和 ( ) 和 ( ) 和 ( ) 和 ( ) 和 ( ) 和 ( ) 和 ( ) 和 ( ) 和 ( ) 和 ( ) 和 ( ) 和 ( ) 和 ( ) 和 ( ) 和 ( ) 和 ( ) 和 ( ) 和 ( ) 和 ( ) 和 ( ) 和 ( ) 和 ( ) 和 ( ) 和 ( ) 和 ( ) 和 ( ) 和 ( ) 和 (











與趣參加者













\$5,680 東京五天

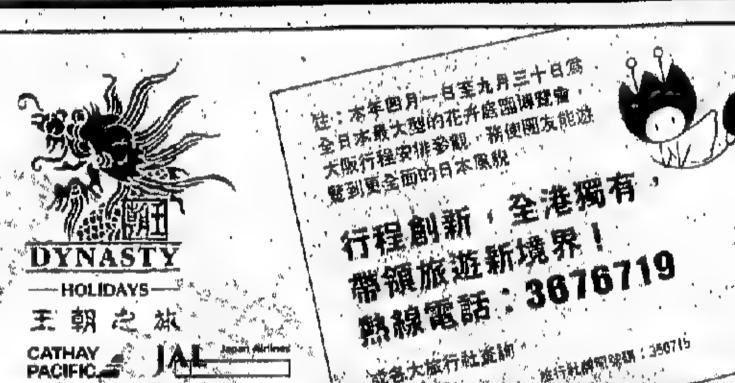
逢星期一、三出號

東京、名古屋五天 S5,680 \$6,400

太阪旅程遊覽花卉庭園博覽會

\$6,400/\$7,180

**今**阿友更學舒適寫意。在之萬博更顯後宋今 金沢本、九州海陸空團



南美洲、澳洲及歐洲

\*電腦訂位快捷妥當\*社團訂位特價優待

## 菲律賓專線 韓國專線 碧桃源》碧瑶 \$4190起 漢城4/5天

\$4690 慶州、釜山5天 雪嶽山5天 \$4690 \$5790 全韓國7天 濟州4/5天 \$4290起 漢城、台北6天 \$5190

\$3250起\*\* 碧桃源 馬尼拉、宿霧、 \$3850起 除了原有的1晚蘇魯夜總會外,獨家 , 節目精彩,實不容錯過!!

一桂林市旅遊局鼎力贊助

保證住宿墓來登文華大酒店。劉悅太酒店。新鴻江飯店

香港中環皇后大道中 70號

泰國

訪四面佛芭堤雅

海鮮乳猪皇帝餐

早去晚返可停留

大酒店設備

祖電話週全

單人登房160元

雙人套房220元

冷氣浴厠電

\$3170起

夜間旅遊專業文憑課程 電腦直接定位·價錢公道絕不取巧 ★免費旅遊★增廣見聞★ ) 本學院場育旅遊業之英材達千多名以上,大部份任職各2 享用免費溫泉浴

▼801旅遊從業員交憑課程 = 803票務交憑課程IATA 中環租底利街10號實與大廈5/F502室、中央街市側。

班角揮敦道655胡紅生行1512至 專售各地平價機票

日資機構 • 信心保證 日本自助旅遊套餐 · 歡迎獨立自組團,專業代辦歐洲,樂加,澳묎團 熱線電話:7211348 8683399

代理航空公司協辦之各地旅行團

星加坡

馬來亞

一署期旅遊佳訊一 本公司在六至九月有大量 前往美加、歐、澳、紐之特平

機位,歡迎來電查詢。

# 民

成功率幾達百分之百,現在港見客代辦移民 本公司 1)循正規法律辦理,故申請者勿需浪費大量金錢。 2:不收訂金,申請者在港見移民官,批准後,始付手續費。

③申請中各項諮詢,全部免費。 4)到加報到時接機及代訂廉價酒店、宿舍等及全部諮詢服務。

報到後,代申請就學兒童之牛奶金、及申請者工作店及醫療店、 以及一切有關事項諮詢

如有意申請移民加拿大者,請駕臨本公司或電話垂詢,務使稱心滿意。 牌照號碼: 240028 香港旅遊移民顧問公司 / 飛網號碼: 240028 傳町: 1168883-755 駱先生

②旺角彌敷道60/新興大厦2207室 22:385002/ 集團經營。 貧房百閒。 歡迎華僑。 台灣。 大陸客

①彌敷道737金輪大厦電梯10字口座 ## 3928169

金輪賓館・新興旅社

加拿人溫哥華總行 688-8321 加拿大多倫多辦事處 924-8833

· 旅遊\* ・旅行團 本社特約代理

INDONESIA PARADISE TOUR INDONESIA EXPERIENCE TOUR / AMI6188 超越因人嚴難團 4150 大 A II1級 日本東京國上尼五天屬難盟 5690 中華台北級則台灣旅行團 3040起 非航報明升建實五英國 3120 国九冠深积25人44(0速3,0b)致·代频印尼簸银所務多次體

特别介紹 台 11.正 3/大飯店 單 380 雙 550 代記 喬珠 "当司及各地商店,代奶世界各地麻價機果

馬尼拉、碧濤灣四、五、七天團\$2860元 馬尼拉、宿霧五、八、七大團由\$3690€ 田\$4490人 非泰聯直しい九人園 来住 宿國際知省五星 級人潤店 **平行模楠心莱劃,做型比較** 

「詳情請向各大旅行計中一 这非律實航空公司五部



⟨Ø | 40 | 13 | 78, 3 | ▲ 电影性网络用。 水柏脂 共生存义



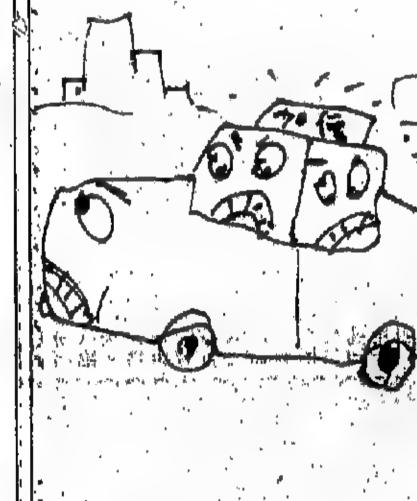
牌照號碼:

7393398(18線) 代辦世界各地廉價:

酒店

尖沙阻加連威老道8 A-10號加威中心 1501 3室(潼打銀行樓上)







持中華民國本土護照可免簽證往星馬南韓、印尼並代辦美加簽證 800移居山灣(含中華民國永久居民身份證)

台北機票十3晚天成飯店\$1880、特快10天出台證\$150 地址:九龍旺角彌敦道618號好望角大厦1010室。

加拿大愛民頓辦事處 425-8425

— 日遊 CAD 39

豆天 \$ 130.00

# 柴灣區/青衣區

蔥清電 8960491 或 4955595。

## 柏立基教育學院校友會 何壽基學校型「中景學」

## 聘幼師·幼兒工作員

与意者請電 4133270 約見。

# 丁毓珠幼兒園

業、跟政府薪酬、東區工作、 五月到職,有壓請電 8859622。

# 某大文化機構

六上午九時半至一時正。有意 **酱請電 5490882 內線 20** 部小姐洽(歡迎學生應徵)

# 屯門津中

聘中、英學位會計打字文憑 或學位教師九月到職 電 4666871 約見

# 誠聘教師

沙島區東教會中學誠體下年度央 又, 化學, 生物及電腦科學位教師 薪酬照教署教師薪級,

有意者請備履歷寄本報 549 信箱

惡作

則

來看是非曲值是不易分辨的。

後確是到了不肯回頭的極樂世界

東帶來絕望。」

答必問有

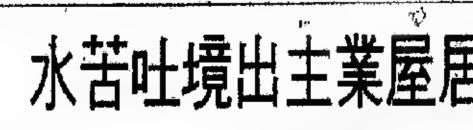
「愛情的開始充滿希望」愛情的結

平價武器市場

嚴格的

醸酒法

速成的



# 嗎長部防國當安履陳

也日是 經紀秋炒外 損業

愛女

with Lenin's ghost

Writer shares his hotel room

究竟有何根據患病勿去飲茶

HAND IN

內閣會議--開完,他就遞交了解島。 EACH STUDENT HAS TO HAND IN A COMPOSITION." 每個學生都要又一篇作文。 HE PROMISED TO HAND IN THE MONEY

他答應第二天一早就把錢交上去。 I'VE HANDED IN MY PAPER, THE QUESTIONS ARE

COPIES GIVEN TO THE PRESS REPRESENTATIVES.

玲白

あ亦た。極望身之道, 建美界圖表示在功亦 時不對出行, 因用亦後再作幾分難跳碰達動過日 永邁畫排印,置有保持有條,特異的效果。

散兩拍一 

事實。 「智然記得,但是不明我 所有自己的苦衷,但已不明我 所有自己的苦衷,但是不明白, 所有自己的苦衷,但是不明白, 所有自己的苦衷,但我不明白, 學結徐明時,對你說過有苦衷, 學結徐明時,對你說過有苦衷, 學結徐明時,對你說過有苦衷,



柴灣區/青衣區

一)幼稚園正教,薪優,以受訓優先。

(二)幼稚園助教,中學程度,

無須經驗,有晋升機會。

有意請電 8960491 或 4955595。

柏立基教育學院校友會

· 學技環境雅潔。獨立職堂運動場。空調教師室。

·電腦體理文體。與少點項工作·同工典注教學·

聘幼師·幼兒工作員

**若**類區幼稚園及幼兒園誠聘幼師

及幼兒工作員經驗及註冊優先,

港九街坊婦女會

丁毓珠幼兒園

聘請已註册幼兒工作員,中五畢

業,跟政府薪酬,東區工作,

五月到職,有意請電 8859622。

某大文化機構

鳴請兼職送件員一名·時間星

六上午九時半至一時正。有意

寄請電 5490882 內線 20

鄧小姐洽(歡迎學生應徵)

一至五下生二時至六時星期

有意者請電 4133270 約見。

**孟德**,供午膳制服,

教學氣気愉快·學生聽教·同工器展才華·

不成型。有担負、有才華・愛學生・肯質幹・

建全即約見·不合原件退回·請備回郵信封》

等源并被會發住·S.T. 取缺在土席以上·

何壽基學校 电门· 田景邨 第四號校舍

日六十月四年午庚月

**未通常排泄,曾有保持苗條、精麗的效果。** 

# 葵涌津中

聘下學年度英文科學位教師及中史 **銀中文科(上修中史)教師各一** 名,90年9月3日到職。 有意者請附履歷近照及聯絡 電話函華僑日報信箱 1469 號

## 銅鑼灣津中 津中聘請

政府津贴英文中學聘請90-91年度 學位及支憑教師 (一)中四至中七會計及商會教師 )女體育教師 (三)英文課教師

有意詳履歷近照函香港上環必列啫 士街 70 號校長收

## 教會新辦 資助幼兒園

粤基督徒幼兒工作員及女工多名·电 門區工作跟政府薪給,有意請繕履歷 近照寄元朗郵政信箱 124 號。

## 港島南區 津贴中學

(三层) 位。被印 中文件、數學科、中史科 而交級文任 製術科、家政科 (三)實驗證技術對(有/用級)

中學頭考工科及格,包括英文及任何兩科 有 建中油装油投函。 香港黃竹坑警校道 2 號樹仁中學校長收

上水津小

九月頒班,聘各科甲級教師多

名,基督徒更佳、誠意者請詳

附履歷連近照及聯絡電話寄華

僑円報郵箱 1468號合則約見。

RECEPTIONIST

簿記女文員

中五或以上程度能打字薪優。

煩書履歷、年歲、所欲薪酬。

皇道十八號安福樓 209 室

安發有限公司約治。

- 時至八時 )

附近照、地址、電話寄香港英

家計會婦女工作推進員

診所文員

有藿香請附履歷近腳崙灣仔軒尼討道 130 修

順中心十樓香港庭計劃指導會行政幹事收

required by

Company

experience

Poon for interview.

Female,

Insurance

standard,

essential.

5455877 Miss

Central.

# 砌至上水沸清為 32 分鐘)有意者請巡

本校校建良好。他於上水火車站則(紅

(1)學位:中文、歷史、英文繁經濟

(2)文憑或學位:音樂兼教中文

詩函香港網鑼灣東院道 11 號佛教黃鳳翎中學

津中教師

港島津贴女子中學誠聘九月到職教師

;(一)英國語文科學位教師。(二)家政科

(中一至中三)文憑教師。有意應徵

者請於5月19日前親繕申請兩附履

歷及近照。寄香港跑馬地川光道 11

號校長收。

①英文及地理。

①與文科

②佛器及中文科;

②中史及中文科

③電腦及數學科

因擴建校舍增加班額誠聯。

(甲) 文憑教師二名任教

(乙) 學位教師三名任教

誠聘下學年度教師

函新界上水器團團 造道教聯合會鄧顯 紀念中學或達 6726820 誠聘幼師

紅磡黃繡棒園威廉幼稚園高薪將請 幼師多名學審經驗及已受訓優先。 另聘校工多名。

有意請電 3332886

# 聘請敎師

九龍津中聘請下學年數學物理 電腦及英文各科學位教師請繞 履歷附近照函新薄崗太子道 596 號校長收

# 新新金行請

男女性收銀員薪津 4500 元起 有陽升機會需具人事擴保供膳有薪假 朋及醫療保健請親繕履歷近照地址電 話函寄九龍中央郵箱 70345 號或辦公 時間電 7356998 莫先生或李先生約治守秘

## 大厦管理多名

男性, 年 58 以下, 有往院醫療保 險,近地鐵天后站,商住大厦,每日 十二小時輸更制,有意者詳書年歲。 履歷、地址、電話,所欲薪酬附近照 寄香港銅鑼灣英皇道 18 號 安福樓 209 室約冷。

已贴友性中學會考其社會編利工作經驗爲住 某人物公司聘請大厦管理員申請 女性中學會考程度每星期工作五天半(下午

中環德輔道中120-126 號

深水埗區津貼中學誠聘技工, 工作時間由八時至五時, 日薪 \$193 有意請電 7792926 洽。

一九九〇年五月一日起調整新價目 基本位(2格×2.75时)每天\$130.00 超越此面積每一方时\$40.00

誠聘下午班教師多名·籍中五畢業或

以上程度(天主教徒優先),有意者

調面履歷、電話、近照寄香港西營盤

第三街一七九號聖類斯中學,小學校

五邑司徒浩中學誠聘五風率十二

日到職預科英文學位敎師

有意者請電 3405916 王先生。

Garment-Shipping Clerk:

任期至七月中,

## 天主教津中 私立小學

1 數學科學位教師 2.體育科文憑教師 3.家政科文憑教師 4 英文科學位教師 5 電腦科學位教師

誠聘下學年教師

## 有意者請詳繕歷近照寄 为疆深水埗永明街五號

(2)設計與工藝科

在禁訪部 4623188 5100 90-91 年度各科學位/文憑教師「有滿計 繕履壓面屯門大興邨佛教沈香林紀念中學

聘請敎師

# 代課教師

(4)两史科代課(五月二十一日至七月)。

# U.K. Expart Firm Invites:

18-24. Form 5. Typing, related experience. advantage; immediately vacacanney 港島弱智學校、聘請全職及代課教 \*Auratative Salary + Bonus 師多名,(即日到職及九〇年九月 \*Provide Linch + Medial/Devial Cure \*Travel Benefit + Good Prospects 到職)。師範或大專畢業均可。 Pleuse phous 3699918 Ms Lam or sent 請電 5549352 約見。 resume to 14/F 27-27A cumeron Rd. TST

## 高薪補習教師 月薪\$5000一\$6500

港半山區幼兒園及幼稚園時請幼師 及所教數名。它註册者優先鐵用 繕版歷函華僑日報信箱 548 號一號 晚上上時半後 電 5499596 商洽。

# 大埔津中

(D)學位教師:任教英文、經濟、電腦、濟史·中文、生物。 (2)文憑教師:任教裝文、家政(九零年九月到職)。 (3)校工:植稚修设園藝者優先《九零年八月中旬到職》。 應改善請詳續脫絕附近照電話與香港網線測學龍道 25 號香 港和15年會繼校監改。信封左下角請註明「應徵教席」。 應改校工工字様。

誠聘文員

中環寫字樓、傳請文員、性別不

拘,中五程度,薪優,有午膳津

斯·有意者,請**電五四六一四七** 

五郭先生洽。

## 幼稚園教師 幼兒工作員

通過各界逐級基礎的目標

及現在可能館晚上進修課程。

16: 7968419 12 7968436

(中國門: 16年) : 所付起,有效對應額。 2月26年(中國第二日: 16年) : 有工作權數。

(3)的教及文学、下4地、雷遊遊、有戰稅

公司福和優厚,公園金,醫療及旅遊律店等。

另聘晚上初中貌瞰教師多名。(每週五天工作

幼兒中心聊註册幼兒工作員,及 經驗註冊幼師多名。 頭角淘大花園彩霞道一號聖德肋撒洽。

薪金照政府薪級表。瑪履歷證件近照至年

## 葵涌區玩具廠 聘請女文員

中国域以上程度 减打字、字體端正 Jack 工作經驗。

# 屯門津中 《全日或半日均项》

在商品证: 4296442 湖小姐给

鳴中、英學位會計打字文憑 或學位教師九月到職 電 4666871 約見

## 聘請大厦管理員

者請列明年齡、經驗、待遇函中 環置業有限公司

香港商業銀行大厦 20 樓 A 座

## 聘公會教區福利協會 誠聘

幼兒工作員(兼弱) 申請者籍持有中學會考證會。其中兩科考 獲巨級或以上,年廿一或以上,須具幼兒 工作經驗及持有幼兒護理證書" **臺灣區工作。** 申請蓄請電 4200928 羅主任約見。

# 觀塘津中教師

誠聘下學年下列教職 ()學位教師: 英文、經濟、數學 ()文版/學位教師:音樂、商業、賣 (三)交憑教師:英文 有意治計函附履歷及近照寄秀茂坪曉 育徑 4 號校長收或電 7774313

# 誠聘教師

港島區某教會中學誠勝下年度英 文,化學,生物及電腦科學位教師 薪酬照教署教師薪級,

有應者請備履歷寄本報 549 信箱

3

游泳是一種健身之道,健美舞師表示在游 時不習出汗,因而沐後再年幾分鐘跳縄運動讓

有意外收穫

受姐姐影响

陳加玲

里頂部系井削步白彩來型之盟外,惟排入失踏交體者。乃南外,維排實皆爲常到之地。此關明此解明監帶而當大頭蝦之縣。但 經之母頭

歌星,該人非他,李進洪是也。原來但不只聽得,而且與珍亦隨鄉往,泡左一陣。令貝莎大願者爲發現新玩卡拉OK。 巴薩薩尼之洪哥,一再來電。訂今晚散席拉大隊去物美,可能餐而歸。

**W**们航海去也,属係地球中航後做左數年中西報記者,念頭。早越佢修讀文史於中大,舉醫兩菜,亦喜公關·摩之見閱廣學之越菜也。 巴西佳麗勝泰菲 

到越南,但质如有小本版作投资者,有父老認爲不祥人,逐之,歸爲生年

前便一度祝贺林鄉堂生辰快樂。 新年一度祝贺林鄉堂生命將有廿年一當時那 東歌生月而舉行叙藝聯歡。 慶祝生月而舉行叙藝聯歡。 慶祝生月而舉行叙藝聯歡。 慶祝生月而舉行叙藝聯歡。 慶祝生月而舉行叙藝聯歡。 一度祝贺林鄉堂主命將有廿年一當時那 一度祝贺林鄉堂主命將有廿年一當時那 一度祝贺林鄉堂主命將有廿年一當時那 一度祝贺林鄉堂主意快樂。 一度祝贺林鄉堂主意快樂。 一度祝贺林鄉堂主意快樂。

錦堂與 月新光 的,但他们都强唱了時代曲。 的,但他们都强唱了時代曲。 於繼高下。南風唱一眼水流年一, 於繼高下。南風唱一眼水流年一, 以繼高下。南風唱一眼水流年一, 時,便唱卡拉OK的時代曲。 等劇藝人已經不是保守版 一里是跟土湖流,不唱身曲 了,已是跟土湖流,不唱身曲 台緣 製制 有但數是《光 學對人物相 曲於,劇們鄉

家、實不失損。竊爆就預開日,所寓森森 之南越在森森,去像被飾首之碼森,拉搜被中 ,牌金務服年十之胎頗線無獲運斑妹妹與即金 ,即金亦服年十之胎類線無獲運斑妹妹與即金 ,即錢金非,品物之性愈紀有其乃此,去竊被亦 。借可為極故,者則斷以

了待以目試要則,象那的孩女小脫擬否能玲加,了來味人女許少出願

火槽漫出照有未暫,友朋好是只此復,會認為一是只實其

,子男好個一是確忠偉葉過不,像對的要計(2)日心已自是不並方對且況, 了不逃也逃緣有他與是若,定天由份緣,個供好個一到找能他塞希也心內

的傳江做是作話被更,溫愈描愈免以,非追講多得想不,綠隨切一以所

?则抓拍他剩的旗否是玠加

竞第,他拍出体架員人政行准藝與出傳頻頻月近,週間清楚的她於至

携 手

俊賢並無搏懵 言可畏

近不是問題,嚴重要是反應 山不是問題,嚴重要是反應 ,故應很滿意。」 ,故應很滿意。」 林 青 觀 為 張 曼 玉 整 理 秀 髮 。 新受到影响,到 是女友的事。 友公朋子之後, 急,所以今後也不

最高 主 背

光率

搶手

麗高 幾輝 光 望

是難用鍵型來形容。 是難用鍵型來形容。 類似,會很有滿足破 機動作無礎是玩命一 類似,個拍出來的效果 是與一個拍出來的效果



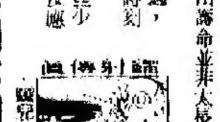












四十長久立足,所以,我才决定擺脫花脚中長久立足,所以,我才决定擺脫花與樂園中不乏觀女,靠個觀字是無法在與樂園中不乏觀女,靠個觀字是無法在與樂園中不乏觀女,靠個觀字是無法在與樂園中不乏觀女,靠個觀字是無法在

資深社 欲郊 工談挽救荃灣邊緣靑 母需與社 間 題

身 單 屋 臨 e toke

居

,灌輸一個正確方向給他們,因現時一般的青年中心,所舉辦的活動,並不能母作出更多的聯系,兩清互相補足。加上社工會接受專業的訓練,較容易與遺験的問題,社會工作者要担當一個怎樣的角式呢?黃氏認為此工局負起致青父生,被社會所遵疑。最後,居住環境亦要改善,是他不良份子。年時人自制力較弱,好奇實玩,無法抗拒物然的誘惑,故此與都是一些低下層階級,年時人對享受物懲的需求更成切。造成他們多數在外釋,整濟區大部份人居住在一些舊型屋邮,居住單位狹窄,家人之間磨擦漸多報彼此間更趨密切,影响更深遠。 發放此間更趨密切,影响更深遠。 發放此間更趨密切,影响更深速。 發放此間更趨密切,影响更深速。 發放此間更趨密切,影响更深速。 發放此間更趨密切,影响更深速。 發放此間更趨密切,影响更深速。 發放此間更趨密切,影响更深速。 發放此間更趨密切,影响更深速。 發展,都是一些低下層階級,年時人對享受物懲的需求更成切。造成他們多數在外 發放此間更趨密切,影响更深速。 發展,都是是很大的反感。所以謀求问 是於現時社會正急劇的轉變,年青人面對着轉找自我身份、形像的問題。特別

森溪 看面。 画物風氣你置時當 利出他?打總行知:代然 的海若 解部一一的算



吃罷上班時間剛好

結婚早餐非品有之

所經之順頭,皆有其足跡所到

一轉而航海去也,與係地球中航樂技做左數年中西報記者,念頭牌。早歲但儲職文史於中大,學之越南菜,亦喜公關標之見閱廣 巴西佳麗勝泰菲

性數 便常會抱幾守關,執着不肯放手性數 便常會抱幾守關,執着不肯放手的數字關,執着不肯放手供,服光短,腦子不靈活,眼前有無。如不悟出這道理,物都爲己用。如不悟出這道理,物都爲己用。如不悟出這道理,

曼

日六十月四年午庚曆

月新光

乐蕙芬 結 台緣

所書之越菜也。 拼盆中之越式卷卷,蒜茸大頭蝦用菜歷史悠久 - 貝沙一向越爲

时卡拉OK 二點也不會陌生。本的,但他們都選唱了時代曲。 你避芬唱一朋友一,可與阿倫 林錦堂唱一朋友一,可與阿倫 林錦堂唱一朋友一,可與阿倫 中遇高下。南屬唱一祝福一,感 明祖 一一旦是版上湖底,不唱要曲 一一里是版上湖底,不唱要曲 一一里是版上湖底,不唱要曲

朝花 息消邮新 日六十月四年午庚曆夏

臾 品 登

訊簡

醫院新建大樓 百多張增至上一一年可落 顧客如雲 至七百張

**荃灣大會堂學辦** 醉人音樂欣賞會

二口在签档大會堂展 —— F — 音樂會「醉人」 三口在签档大會堂展 —— F — 音樂會「醉人

伊一位的山水不在灰是大事大型。 伊一位的山水不在灰是大事大型。 中一位的山水不在灰是大事大型。 中一位的山水不在灰是大事大型。 一位的山水不在灰是大事大型。 一位的山水不在灰是大事大型。

科學監禁

花

朝

2撤家,瞵好倜氲,一不多久就弄安了。但美心多、香港人情搬屋!他們一來就幾條大漢,

角趣名

席正林永不言休息

是不折不

扣工作狂

是個村童,已至人醫院。 二(八)(鐵廠,具有他附過的槍,他當然是不能推卸

10 mg 10 mg

天眼通神

CXXXXXXX 魚翅。紅燒魚翅 世界四分之三的人都在一些的事實作惟們自己處一們與香港表述不夠單是民運份于参加,全一类洲的委內瑙拉把連條「反應比較冷淡,不許;民主女棒數不一觸心和參與,甚至拉丁「家的事,因此香港

郭日橋華 象萬村樂僑 日六十月四年午庚曆夏 他們的名字是 空氣淨 或缺乏常識所導 赤松 橋 恰則 苦 聯 出 大 到 人 多 地 上 伶 之 。 , 現 齊 一 赴 年 失 空 掛 事 一 已 , 。 條 関 。 了 的一往情深,她感到自己也深深的感慨举,少被是感受到以文對自己就是根據道一何老話嗎,如何會道就是根據道一何老話嗎,如何會道就是根據道一何老話嗎,如何會道 . 禁有以文一**队。** 以文呢,他不 世,只要空氣污濁一點, 世,只要空氣污濁一點, 是一時出來。 一般可,雖且里也不見, 一般可,雖且里也不見, 一般可,雖且里也不見, 一般可,雖且里也不見, 一般此之後,彩虹更難得 一般了。

子楚

、真的

人沒有碰到一個看高遠明前後的張建着一一兩個助理護士,運送著東西,探病的的陽光廟得懶懶嬌艷,走廊上個面走場的陽光廟得懶懶嬌艷,走廊上個面走場,下午扶著高遠明,慢慢走出走廊,下午一一一一一一一一一一一一一

司

意